

GEOLOGICA HUNGARICA

FASCICULI INSTITUTI GEOLOGICI HUNGARIAE
AD ILLUSTRANDAM NOTIONEM GEOLOGICAM
ET PALAEONTOLOGICAM

SERIES PALAEONTOLOGICA FASCICULUS 48

DR. J. KÓKAY: CENTRAL AND EASTERN PARATETHYAN INTERRELATIONS
IN THE LIGHT OF LATE BADENIAN SALINITY CONDITIONS

DR. KÓKAY JÓZSEF: A KÖZÉPSŐ- ÉS A KELETI-PARATETHYS KAPCSOLATA
A FELSŐ-BÁDENI TENTER SÓTARTALOM-VISZONYAI TÜKRÉBEN

DR. M. BOHN-HAVAS: A STUDY OF OTTNANGIAN MOLLUSCS FROM THE
EASTERN BORSOD BASIN (N HUNGARY)

DR. BOHNNÉ DR. HAVAS MARGIT: A KELET-BORSODI MEDENCE
OTTNANGI KÉPZŐDMÉNYEINEK MOLLUSCA VIZSGÁLATA

DR. I. KORECZ-LAKY: A STUDY OF OTTNANGIAN FORAMINIFERS
FROM THE EASTERN BORSOD BASIN (N HUNGARY)

KORECZNÉ DR. LAKY ILONA: A KELET-BORSODI MEDENCE
OTTNANGI KÉPZŐDMÉNYEINEK FORAMINIFERA VIZSGÁLATA

Lektor:
DR. BODA JENŐ
DR. HÁMOR GÉZA

Szakreferens:
DR. HÁMOR GÉZA

Technikai szerkesztő:
RÉMI RÓBERTNÉ

Fordító:
KECSKÉS BÉLA
T. Bíró KATALIN

Nyelvi lektor:
DR. VÉGH SÁNDOR

HU ISSN 03 67 4150

Megjelent a Műszaki Könyvkiadó gondozásában
Budapest, 1985

Felelős kiadó: DR. HÁMOR GÉZA

Műszaki vezető: Kőriza Károly. Műszaki szerkesztő: Metzker Sándor. A könyv formátuma: A4. Terjedelem: 30 A/5 ív. Példányszám: 880. Ábrák száma: 52. Betűcsalád és -méret: Extended, gm/gm. Papír minősége: 120 g műnyomó. Azonossági szám: 01562



Egyetemi Nyomda — 85.3367 Budapest, 1985
Felelős vezető: Sümeghi Zoltán igazgató

DR. J. KÓKAY: Central and Eastern Paratethyan interrelations in the light of Late Badenian salinity conditions	7
Introduction	9
I. Upper Badenian reference sections from Hungary	13
1. Budapest	13
Exposures at Örs vezér tér	13
The exposure of Keresztúri út	16
The exposure at Rákosi vasúti delta (railway-cut of Rákos)	22
Other occurrences from Budapest	25
2. Southern foreland of the Transdanubian Central Range	26
a) The Mány—Zsámbék area	26
Borehole Perbál 5	26
Borehole Mány 8	28
Borehole Mány 192	28
Borehole Perbál 6	29
b) Balaton Highland	31
Borehole Tihany 62	31
Borehole Balatonakali 40	31
c) Tapolca Basin	35
Borehole Hegymagas 78/18	35
Borehole Hegymagas 84	37
3. Mecsek Mountains	37
The lignite area of Hidas	37
The exposure of the highway to Pécsvárad	37
II. Other occurrences of E Paratethyan immigrants into the Central Paratethys	41
III. Paleoecology and paleogeography	43
1. On the salinity of the Konkian sea	43
2. The role of sea currents	44
3. The problem of Indo-Pacific connections	47
4. Chokrakian and Sarmatian species	48
5. Evolution of the paleogeographic connections and salinity conditions of the Middle Paratethys in Badenian time	48
IV. Paleontological descriptions	52
References	73
Plates	77
DR. M. BOHN-HAVAS: A study of Ottangian molluscs from the Eastern Borsod Basin (N Hungary)	97
Introduction	99
I. Geological setting and fauna of the areas explored	100
Area 1: Újdiósgyőr-Forrásvölgy	100
Area 2: Tardona—Peres	105
Area 3: Felsőnyárád—Sajógalgóc	105
Area 4: Duzsnok (Sajószentpéter)	110
II. Paleoecological evaluation	112
Salgótarján Brown-Coal Formation: paleoecological description of the benthonic Mollusca associations	113
Spatial relations of biofacies	115
Biofacies variations in space and time in the E Borsod Basin	117
III. Paleogeographic interpretation	121
IV. Biostratigraphic interpretation	124

References	143
Plates	147
DR. J. KORECZ-LAKY: A study of Otnangian foraminifers from the Eastern Borsod Basin (N Hungary)	179
Introduction	181
I. The Újdiósgyőr-Forrásvölgy area of study	182
Borehole Diósgyőr 366/3	182
Borehole Diósgyőr 367/13	185
II. The Tardona — Peres area of study	185
Borehole Tardona 66	185
Borehole Tardona 69	185
Borehole Tardona 78	189
III. Study areas Feketevölgy VI and VII	189
Borehole Sajógalgóc 10	189
Borehole Sajógalgóc 22	189
Borehole Kurittyán 630	190
Borehole Kurittyán 631	190
Borehole Ormosbánya 322	190
Borehole Ormosbánya 323	191
Borehole Felsőnyárád 6	191
Borehole Felsőnyárád 300	191
Borehole Felsőnyárád 301	192
Borehole Jákfalva 55	193
IV. The Duzsnok (Sajószentpéter) area of study	194
Borehole Sajószentpéter 120	195
Borehole Sajószentpéter 121	197
Borehole Sajószentpéter 123	197
Borehole Sajószentpéter 126	197
Stratigraphical evaluation	198
Paleogeographical relations	206
Paleoecological conclusions	206
Summary	208
References	219
Plates	221
* * *	
DR. KÓKAY JÓZSEF: A Középső- és a Keleti-Paratethys kapcsolata a felső-bádeni tenger sótartalom-viszonyai tükrében	68
Irodalom	73
Fényképtáblák	77
DR. BOHNNÉ DR. HAVAS MARGIT: A kelet-borsodi medence otnangi képződményeinek Mollusca vizsgálata	129
Bevezetés	129
I. A kutatási területek földtani felépítése és faunisztikai jellemzése	130
1. Újdiósgyőr-Forrásvölgy kutatási terület	130
2. Tardona — Peres kutatási terület	132
3. Felsőnyárád — Sajógalgóc kutatási terület	132
4. Duzsnok (Sajószentpéter) kutatási terület	133
II. Paleoökológiai értékelés	135
A Salgótarjáni Barnakőszén Formáció bentosz Mollusca asszociációjának paleoökológiai jellemzése	135
A biofácierek térbeli kapcsolatai	137
A biofácierek térfelvételi változásai a kelet-borsodi medencében	137
III. Ősföldrajzi értékelés	140
IV. Biosztratigráfiai értékelés	142
Irodalom	143
Fényképtáblák	147
KORECZNÉ DR. LAKY ILONA: A kelet-borsodi medence otnangi képződményeinek Foraminifera vizsgálata	209
Bevezetés	209
I. Újdiósgyőr-forrásvölgyi kutatási terület	210
Diósgyőr 366/3. sz. fúrás	210
Diósgyőr 367/13. sz. fúrás	210

II. Tardona—peresi kutatási terület	211
Tardona 66. sz. fúrás	211
Tardona 69. sz. fúrás	211
Tardona 78. sz. fúrás	211
III. Feketevölgy VI—VII. kutatási terület	212
Sajógalgóc 10. sz. fúrás	212
Sajógaigóc 22. sz. fúrás	212
Kurittyán 630. sz. fúrás	212
Kurittyán 631. sz. fúrás	212
Ormosbánya 322. sz. fúrás	213
Ormosbánya 323. sz. fúrás	213
Felsőnyárád 296. sz. fúrás	213
Felsőnyárád 300. sz. fúrás	213
Felsőnyárád 301. sz. fúrás	213
Jákfalva 55. sz. fúrás	213
IV. Duzsnoki (Sajószentpéteri) kutatási terület	214
Sajószentpéter 120. sz. fúrás	214
Sajószentpéter 121. sz. fúrás	214
Sajószentpéter 123. sz. fúrás	214
Sajószentpéter 126. sz. fúrás	214
Rétegtani értékelés	215
Ősföldrajzi kapcsolatok	216
Paleoökológiai következtetések	216
Összefoglalás	218
Irodalom	219
Fényképtáblák	221

**CENTRAL AND EASTERN PARATETHYAN
INTERRELATIONS IN THE LIGHT OF LATE BADENIAN
SALINITY CONDITIONS**

by
DR. J. KÓKAY

**A KÖZÉPSŐ- ÉS A KELETI-PARATETHYS KAPCSOLATA
A FELSŐ-BÁDENI TENGER SÓTARTALOM-VISZONYAI TÜKRÉBEN**

Írta:
DR. KÓKAY JÓZSEF

CENTRAL AND EASTERN PARATETHYAN INTERRELATIONS IN THE LIGHT OF LATE BADENIAN SALINITY CONDITIONS

INTRODUCTION

In 1965, upon request by the Hungarian Geological Institute (MÁFI), I carried out a study of Miocene megafossils found in core samples from borehole Perbál 5. Beneath formations of certainly Sarmatian age, at the top of Upper Badenian marine deposits, I identified *Spaniodontella* sp. and *Cultellus* sp., molluscan species quite unusual in the Badenian of the Central Paratethys and clearly indicative of connections with the Eastern Paratethys. Reckoning with further data and materials to be gained through large-scale mineral explorations, I put then the rock samples aside.

In his work on the Miocene of the eastern Mecsek Mts (1970), G. HÁMOR deals with a formation of Pécsvárad that resembles the facies of "Buglow" type. From a limestone not studied paleontologically in any detail, he mentions two characteristic molluscan species: *Venus konkensis* and *Congeria sandbergeri*. He takes the formation to be of Sarmatian age "without deducing any further stratigraphic conclusions".

Subsequently, new samples were gained from exploratory drilling made in the Mánya—Zsámbék basin and in the Tapolca Basin (Fig. 1). Towards the end of the 1970's, exposures were made at the construction sites of Örs vezér tér and the nearby Keresztúri út, in Budapest. From the Upper Badenian marine deposits exposed there, fossils were collected layer by layer (J. KÓKAY—S. MIHÁLY—P. MÜLLER 1984).

A summarizing deal with this extremely rich and peculiar molluscan assemblage and its faciological interpretation was stimulating enough for me to take the liberty of writing this account. By this work I wish to answer questions concerning the latest Badenian history of the Central Paratethys, hitherto not properly elucidated. In other words, my primary goal has not been to present Upper Badenian sequences to the reader, but just to study at closer scrutiny those features suggestive of Eastern Paratethyan connections, to summarize them in an event-stratigraphical and paleogeographical frame, relying first of all and most purposefully on malacological results.

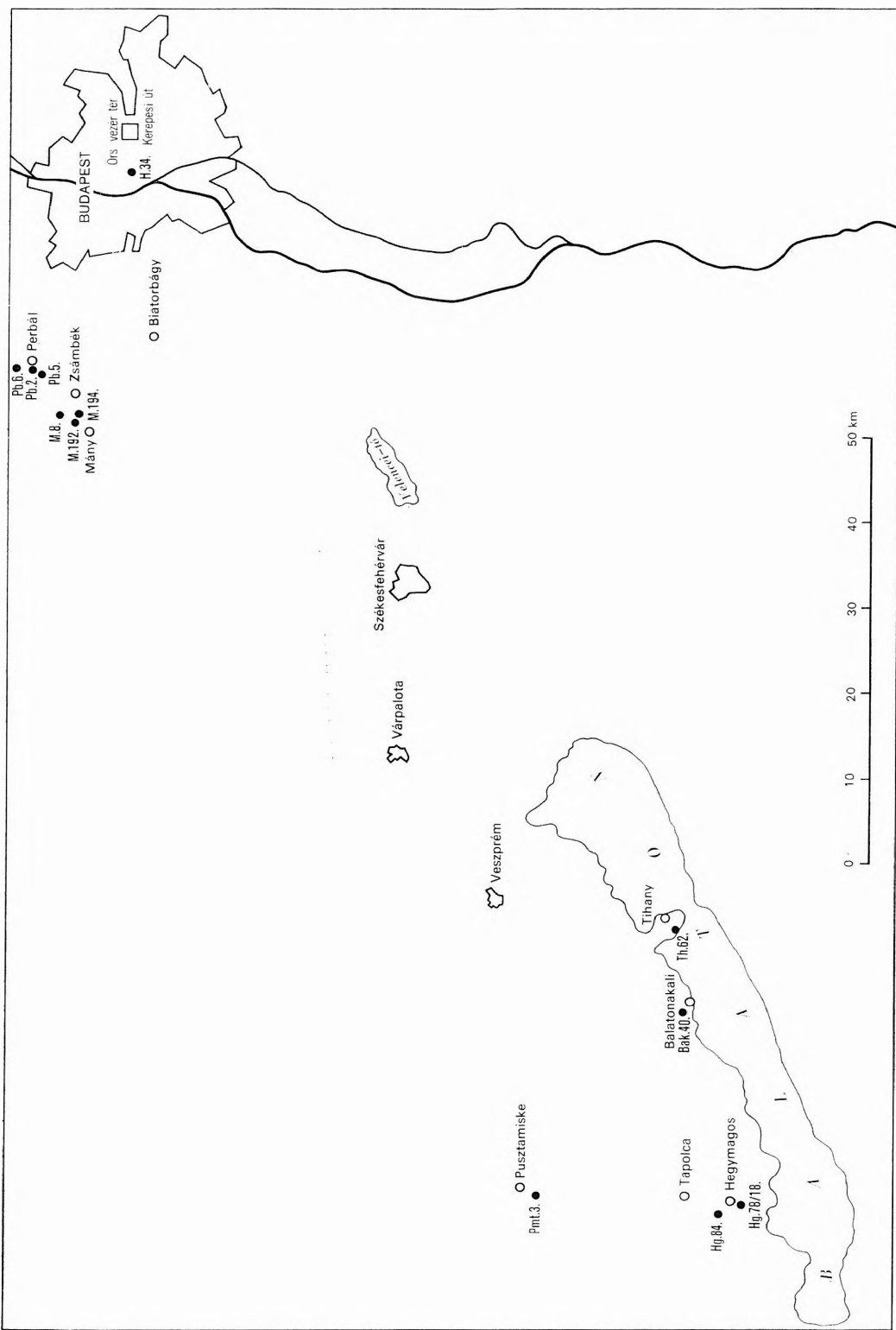
Only formations assigned to the Upper Badenian "Kosovian" substages (SENEŠ—STEININGER—PAPP 1978) have been worthy of dealing with for a more detailed examination and evaluation, since Badenian deposits older than these are practically devoid of faunal elements of interest for the subject chosen.

The local nomenclature of Miocene stratigraphy, as proposed by A. PAPP and J. SENEŠ (1978) and R. L. MERKLIN (1953) and others, is presented in Table 1.

For this study, the knowledge of the "Konkian" stage of the Eastern Paratethys has been essential. The Konkian was described, after N. SOKOLOV's key section (1899), by N. ANDRUSOV (1916) near Veselyanka village by the river Konka on the northern Black Sea coast. The holostotype of the Konkian represents only the upper part of what is contained in the full notion of the stage, a part called the "Veselyanka" horizon or "substage" (F. F. STEININGER—L. NEVESSKAYA 1975; p. 252). The lower part is called the "Sartaganian" horizon or substage (*ibid.*, p. 319).

Some earlier authors (R. L. MERKLIN 1953; MERKLIN—NEVESSKAYA 1955; E. POPA-DIMIAN 1962; E. KOJUMDGIEVA—B. STRASIMIROV 1965) distinguished the basal Konkian as a separate horizon which they called the "Kartvell" Beds (substage). This one, however, cannot be considered to represent a definite horizon. It is by and large a shallow-water sandy facies counterpart of the lower part of the Sartaganian sequence, being characterized by the abundance of Pholas forms. For this reason, it has not been included in the stratigraphic scale adopted for the Neogene of the Paratethys (STEININGER—NEVESSKAYA 1975) as a separate stratigraphic unit, however, some authors may be expected to use it in their forthcoming studies.

MERKLIN (1953) proposed to use the term "Veselyankian" for the upper part of the Konkian, and he takes it to be equivalent to the "Buglowian" horizon (in s.s. LASKAREV 1903). The priority belongs to the term Veselyankian—a name commonly adopted in the latest literature. The long dispute about the "Buglowian" and Konkian beds is already closed (A. PAPP—J. SENEŠ 1978, F. MARINESCU—J. SENEŠ 1974) and the scale featured in Table 1 has been accepted by me too.



*Fig. 1. Location chart of boreholes and outcrops
I. ábra. Fúrások és feltárások helyszínei*

Table 1 — 1. táblázat

Stratigraphic nomenclature and correlation of the Miocene in the Central and Eastern Paratethys
A Középső- és Keleti-Paratethys miocén rétegtani nevezéktana és korrelációja

Central Paratethys	Eastern Paratethys	
	Stage	Substage, horizon
“Lower Pannonian”		Meotian Chersonian Bessarabian Volhyrian
Sarmatian	Sarmatian	
Upper Badenian (Kosovian)	Konkian	Veselyankian (Buglovian) Sartaganian (Lower Konkian)
Middle Badenian (Wieliczian)	Karaganian	
Lower Badenian (Moranian)	Chokrakian	
Karpatian – Ottangian	Tarkhanian	
	Kozachurian	
Eggenburgian	Sakaraulian	

The Konkian is overlain by the Sarmatian, being underlain by the “Karaganian” (Spaniodontella-bearing) stage.

It is to be noted that in literature the E Paratethyan faunal province is referred to as Crimo-Caucasian, Ponto-Caspian or Euxino-Caspian as well.

* * *

I would like to express my gratitude to colleagues S. MIHÁLY and P. MÜLLER, who helped me in collecting the material and studying the profiles. To P. MÜLLER I am particularly indebted, in addition, for his assistance in preparing silicon rubber moulds. Without this, I would not have been ready for getting my work on.

1. Budapest

Having penetrated the eastern foreland of the present-day Buda Mountains from the south, the Late Badenian sea deposited a marine sedimentary sequence, from 10 to 30 m thick, in the fore-deep. The large-scale building projects launched in latest years have opened a good many of new rock exposures.

Exposures at Örs vezér tér

During foundations for the department store Sugár Áruház, Badenian formations were exposed (Fig. 2 and 3).

Canalization in neighbouring Kerepesi út has exposed the lower part of the Upper Badenian marine sequence, i.e. marine beds deposited in normal-saline seawater with reef-building corals and with no molluscs of E Paratethyan origin.

1. The oldest bed is well-sorted small-grained sand 5.8 m thick, the so-called "Main Sand" bed (J. KÓKAY—S. MIHÁLY—P. MÜLLER 1984). The rich fauna of the sand is represented by Pecten and Scutella. *Flabellipecten leythajanus* and *Pecten adjunctus* as well as *Scutella vindobonensis* are predominant. From the formation in question, 13 Echinoidea species were determined by S. MIHÁLY, 5 Decapoda taxa by P. MÜLLER and 45 Mollusca species by me. These include 7 species (e.g. *Loripes dujardini*, *Ervilia miopusilla*, *Theodoxus pictus*, etc.) that favoured a brachyhaline environment as well. They do not abound in the exposure. 5 species occur in the Sarmatian as well.

2. Above the sand, 2.2 m of fossil-rich limestone, a weakly cemented bioclast, follows. (In the papers cited just above, it is referred to as "Upper Limestone".) A characteristic feature of the rock is the abundance of small-sized Chlamys species (most frequent forms: *Chlamys malvinae*, *Ch. opercularis*, *Ch. rákosense*). The total number of taxa I could distinguish has been only 132, of which 14 Pectinidae. From among the molluscs, none is indicative of an E Paratethyan connection, 9 species liked brackish-water environments (but these are just sporadic) and I have found only 3 species occurring in the Sarmatian, too (*Loripes dentatus niveus*, *Terebralia bidentata lignitarum*, *Polinices catena helicina*).

In addition to the Mollusca, 8 Echinoidea and 9 Decapoda were found too. Among Foraminifera, *Borelis melo* abounds in the rock. In addition to it, there is another larger Foraminifera, too, determined by I. KORECZ-LAKY, with some reserve though, as *Spirolina ramosa ukrainica* DÍDKOVSKIJ 1959 (Plate I, f. 1, 2). Its original occurrence is known from the S Ukrainian deposits of the Meotian sea. The agreement is very good, but whereas the specimens described from there vary between 0.6 and 1.0 mm, here they are 2 to 4 mm in size. The form in question occurs from the very base of the Badenian sequence up to its topmost part, and not only in Budapest, but even farther west (Mány, Balatonakali), and even in the Mecsek Mts (Pécsvárad). — As verbally stated by I. CICHA, he had never met it at other Central Paratethyan localities. Since the species in question is known only from Meotian deposits and since the Meotian sea communicated with the Mediterranean, the possibility that this Spirolina species too has immigrated from the Mediterranean is quite plausible. This possibility should be regarded, however, just as a hypothesis, as it has not yet been recovered from the Mediterranean Miocene.

Many thin-shelled Chlamys and similarly thin-shelled Echinoidea, together with spicules of Silicospongia, as preserved in one mass, moreover ramosc Bryozoan colonies and the sedimentation circumstances suggest that the water depth reached 40 to 50 m and the water was, of course, normal saline.

3. The "Upper Limestone" is conformably overlain by 0.5 m of white, loose, pulverulent lime mud. Molluscan casts recognizable in the rock: *Chlamys* cfr. *biaense*, *Loripes dujardini*, *Cardium ruthenicum*, *Ervilia pusilla dissita*, *Lutraria* cfr. *angusta*, *Hydrobia ventrosa*, *Actaeocina lajonkaireana*.

From among the seven molluscs, the presence of *Cardium* and *Ervilia* suggests an E Paratethyan influence, and five of them occur in the Sarmatian as well. A decrease in salinity is obvious, so the seawater seems to have had a salinity of about 20‰. The presence of *Chlamys* and *Lutraria* species proves that the deposit is of Badenian age.

In the washing residue, *Elphidium macellum*, *Ammonia beccarii*, *Spirolina* sp. and Miliolidea are found.

This formation does not differ at all from the limestone overlying it, as far as the character of the fauna is concerned.

4. Superimposed on the former is a compact, hard limestone (0.8 m) getting distinctly bedded higher up the profile. It is characterized by the presence of yellowish-grey, unequally disseminated, fine air-fall tuff, by a low amount of biotite and the scarcity of molluscan casts. Pores due to root tracks are observable in the upper part.

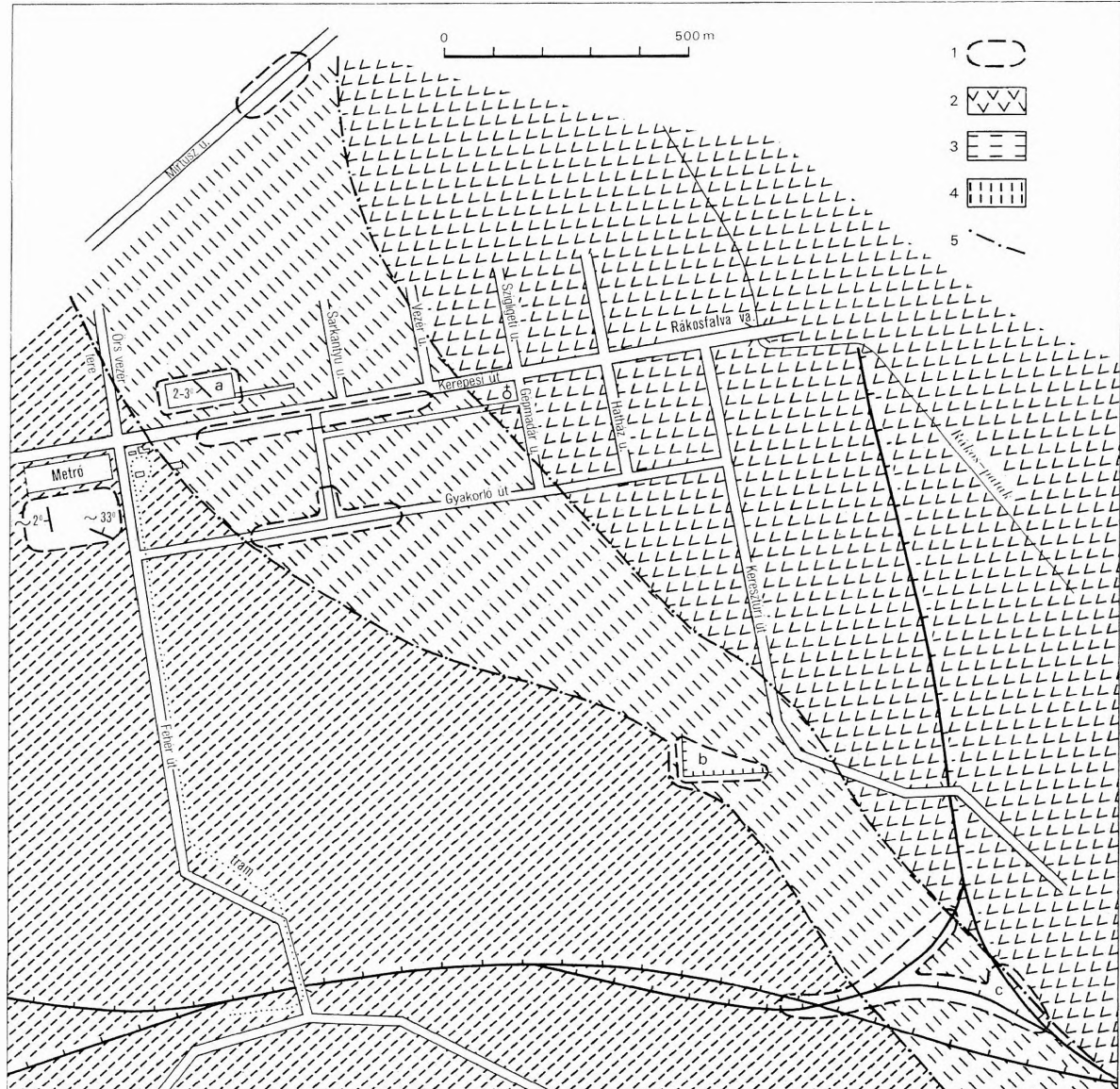


Fig. 2. Layout of exposures around Örs vezér tér and Keresztúri út
(J. KÓKAY—S. MIHÁLY—P. MÜLLER 1984)

1. Exposures: a) Örs vezér tér (Department Store Sugár), b) Keresztúri út, c) Rákosi vasúti delta. 2. Middle Rhyolite Tuff, 3. Upper Badenian, 4. Sarmatian. 5. Boundaries of extension of Upper Badenian deposits

2. ábra. Az Örs vezér tér és a Keresztúri út környéki feltárásiok helyszínrajza
(KÓKAY J.—MIHÁLY S.—MÜLLER P. 1984)

1. Feltárásiok: a) Örs vezér tér (Sugár Áruház), b) Keresztúri út, c) Rákosi vasúti delta. 2. Középső riolittufa,
3. felső-bádeni rétegek, 4. szarmata rétegek. 5. A felső-bádeni képződmények feltételezett határa

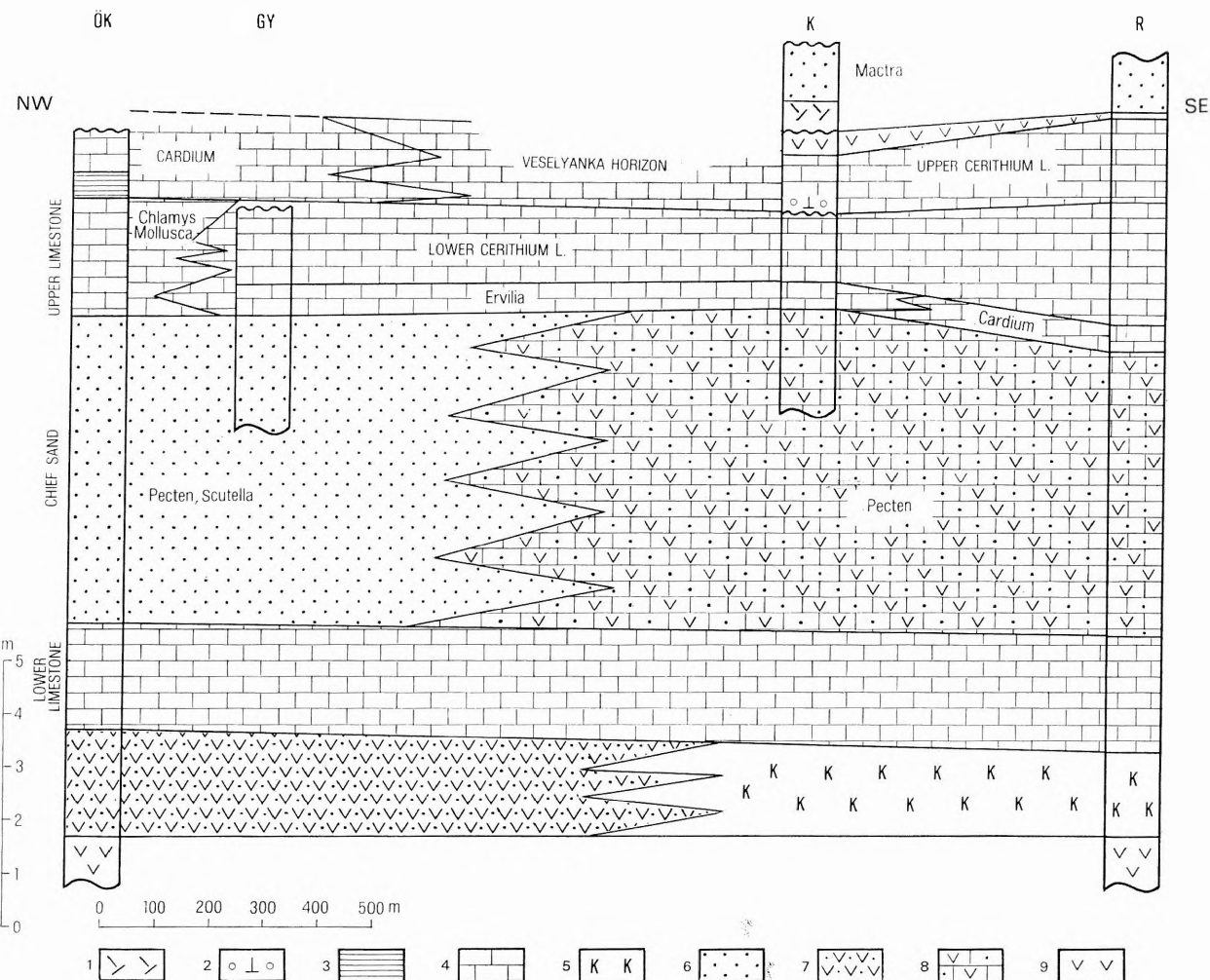


Fig. 3. Facies profile of the Upper Badenian as developed in exposures in Budapest
 ÖK = Órs vezér tér and Kerepesi út, Gy = Gyakorló út, K = Keresztúri út, R = Rákosi vasúti delta. — 1. Clastics,
 2. bioclasts, 3. lime-mud, 4. limestone, 5. coral reef, 6. sand, 7. tuffitic sand, 8. tuffitic unconsolidated sandstone,
 9. tuffite. Above the tuffite (K and R): Sarmatian

3. ábra. Felső-bádeni képződmények fáciesszérvénye a budapesti feltárások alapján

ÖK = Órs vezér tér és Kerepesi út, Gy = Gyakorló út, K = Keresztúri út, R = Rákosi vasúti delta. — 1. Durva törmelék,
 2. bioklaszt, 3. mézeszíp, 4. mészkő, 5. korallzátony, 6. homok, 7. tufitos homok, 8. tufitos laza homokkő, 9. tufit. A tufitréteg
 fedője (K és R): szarmata

By grinding a total of about 100 kg of rock, we could collect a molluscan fauna consisting of 33 taxa. One species from the root-track-patterned upper zone (*Pomatias* sp.) is a terrestrial one. The most frequent species (Table 2) are: *Cardium ruthenicum* var., *Chlamys diaphana*, *Ervilia pusilla dissita* and *Mactra basteroti konkensis*. Out of a total of 32 marine species 14 are suggestive of an E Paratethyan origin, 25 are "philobrackish" and 17 occur in Sarmatian deposits as well.

I have assigned to species of E Paratethyan provenance even forms hitherto unknown from the eastern Middle Miocene, their occurrence having been restricted to the Sarmatian (*Cardium* cfr. *kaudense volhynicum*, *C. lithopodolicum*, *Mactra andruzzowi*, *Calliostoma* cfr. *angulatum spirocarinatum*).

Typically Central Paratethyan forms within the faunal assemblage are 12 (Badenian) species: *Lima inflata*, *Taras rotundatus*, *Lucina fragilis lecointreae*, *Calliostoma turricula*, *Sandbergeria perspussa*, *Alaba costellata anomala*, etc.

7 forms are characteristic of the Middle Miocene of the E Paratethys: *Taras rotundatus*, *Cardium kokkupicum*, *Mactra basteroti*, *M. basteroti konkensis*, *Actaeocina lajonkaireana buhlovensis*, *Cylinchna melitopolitana* and *Ervilia trigonula*.

Cardium ruthenicum, *C. praecipitatum*, *Ervilia trigonula*, *E. pusilla dissita* are forms known both from Konkian and Sarmatian deposits.

From the 32 taxa, 24 are known in the Middle Miocene of Crimo-Caucasian as well.

Conclusions deduceable from the faunal assemblage:

a) The seawater is observed to have strongly decreased in salinity, having had a salinity of approximately 20 to 25‰ at the time of deposition of the bed (or rather at the lower boundary), but higher than the 12 to 16‰ figure suggested for the Sarmatian sea (see Table 2).*

b) In spite of the possible occurrence in Sarmatian beds of about a half of the fauna of the deposit, it is naturally pre-Sarmatian in age. This is suggested by the presence of Badenian and Middle Miocene elements of E Paratethyan provenance (see the description of species).

c) The faunal assemblage as a whole greatly resembles that of the Veselyankian (Buglovian) substage, i.e. the upper part of the Konkian stage (MARINESCU—SENEŠ 1974, p. 137):

- transitional species between the marine Miocene and the E Paratethyan endemic forms: *Loripes dentatus niveus*, *Ervilia trigonula*, *Mactra basteroti konkensis*;

- Miocene forms of Mediterranean type: *Lima inflata*, *Chlamys diaphana*, *Taras rotundatus*, etc;

- forms common in both the Veselyankian and the Sarmatian beds: *Ervilia pusilla dissita*, *Loripes dujardini*, *Cardium praeplicatum*, *C. ruthenicum*, *C. lithopodolicum*, *Pirenella hartbergensis schildbachensis*, etc.

In my opinion, and as shown by the examination of the fauna just outlined, the white calcareous silt and compact limestone above the "Upper Limestone" of Örs vezér tér represent, as final member of the Badenian sequence, the Veselyankian horizon.

Among Foraminifera, the representatives of Miliolidea and *Spirolina laubei* are most frequent, whereas *Spirolina* sp. and *Borelis melo* also occur but in rare cases.

The limestone bed is overlain in the exposure by Quaternary gravels, but, a couple of metres farther dipwards (W), already Sarmatian clay was observed as exposed.

The exposure of Keresztúri út

The road-cut made at a distance of 1.3 km SSE of the Örs vezér tér shopping centre (KÓKAY—MIHÁLY—MÜLLER 1984) is about 3 to 4 m high (Fig. 2 and 3). This exposure too begins with the so-called "Main Sand" which, however, is followed here not by the purely marine "Upper Limestone" of Örs vezér tér with smaller pectinids, being overlain:

1. by 0.55 m of *Ervilia* limestone which is dirty white to drab, strongly porous owing to dissolution of abundant *Ervilia* shells, loose and unbedded. *Ervilia dissita* and *E. miopusilla* are the most frequent species in the formation. A total of 34 molluscan taxa could be collected. In addition to *Ervilia*, the following forms are rather frequent and typical: *Theodoxus pictus nivosus*, *Cerithium europaeum*, *C. crenatum procrenatum*, *Nassa schönni*, *Glycymeris obtusatus*, *Taras rotundatus caucasicus*, *Cardium ruthenicum*, *Gastrarium eximium*, *Donacilla cornea*, *Thracia papyracea*. 5 forms derive from the E Paratethys: *Taras rotundatus caucasicus*, *Ervilia trigonula*, *E. pusilla dissita*, *Cardium praeplicatum*, *C. ruthenicum*. — The 34 species present include 7 that are common in the Sarmatian as well and, in addition, there are 16 philobrackish species. The non-philobrackish ones (e.g. *Glycymeris obtusatus*, *Codokia leonina*, etc.) are usually of small growth, being juvenile specimens.

A reduction in the size of molluses not favouring a seawater of reduced salinity in the Black Sea is mentioned by M. BACESCU—G. MÜLLER—M. GOMOIU (1971, p. 180).

J. SENEŠ (1956) believes the sediment characterized by the abundance of *Ervilia* to have been formed in a seawater of a salinity of about 20 to 22‰, namely in the so-called "laminaria" zone (3 to 28 m depth).

2. 1.25 m of limestone, bedded, with *Cerithium* and *Spirolina* ("Lower Cerithium Limestone"), representing, in its upper half, a bioclast showing a cross-lamination reflecting the effect of wave action. It includes beds abounding with *Cerithium*, while thin interlayers show the presence of *Mesodesma (Donacilla) corneum*, a tiny bivalve associated with *Loripes* species. [*Mesodesma corneum* is common in both the Black Sea and the oligohaline Sea of Azov too, being observable mainly on a sandy bottom (O. A. SKARLATO—J. I. STARABOGATOV 1972, p. 225).] In beds of bioclastic character *Spirolina rimosa ukrainica* specimens of 2 to 3 mm size and *Borelis melo* are quite frequent.

From the limestone, I have determined 105 molluscan species of which about 40% is philobrackish, 18 forms are common in the Sarmatian as well and the following 10 forms are of Ponto-Caspian

* I have made estimates to assess the salinity demand and tolerance of the individual molluscan taxa. The salinity ranges adopted were borrowed from HILTERMANN (KÓKAY 1966) with the only difference that the oligohaline range was combined into what I referred to as "aligsós" ("scarcely saline"). For the estimates I used, in addition, data from SENEŠ (1955, 1956), ŠVAGROVSKY (1960), BACESCU—MÜLLER—GOMOIU (1971) and others, as well as my own observations (1966; 1967a). The salinity ranges are shown here on the salinity column of bore-hole Hegymagos 78/18 (Fig. 7). In Tables 2 and 4 to 6, I have split the upper brackish range (20—30‰) into two parts (20—25 and 25—30‰).

provenance: *Bittium reticulatum konkensis*, *Cylichna melitopolitana*, *Modiolus incrassatus*, *M. incrassatus buglovensis*, *Taras rotundatus caucasicus*, *Cardium ruthenicum*, *C. praeplicatum*, *C. obsoletum subjuv.*, *Irus gregarius modestus*, *Ervilia trigonula*.

Most frequent forms in the fauna are: *Theodoxus pictus*, *Pirenella hartbergensis rüdti*, *P. biseriata*, *Sandbergeria perpusilla*, *Bittium reticulatum*, *Cerithium europaeum*, *C. boettgeri*, *C. crenatum podhorcen- se*, *C. bronni*, *Cantharus exsculptus*, *Nassa schönni*, *Actaeocina lajonkaireana*, *Modiolus mytiloides*, *Cardium ruthenicum*, *Venus basteroti latilamellata*, *Ervilia miopusilla*, *Donacilla cornea*.

This fauna too is characterized by the normal size of the philobrackish forms, while the forms requiring normal salinity are smaller, for the most part subjuvenile (e.g. *Diodora graeca*, *Scaphander lignarius targionius*, *Glycymeris obtusatus*, *Cancellaria lyrata*, etc.).

The salinity of the seawater seems to have risen a little bit higher than it was the case at the time of *Ervilia* limestone deposition, but it could not be more than 25‰. The fauna is very similar to the mollusc communities existing down to about 20 m depth in the Sea of Marmara (A. OSTROUMOV 1896), where the salinity is about 25‰ (K. NATTERER 1895).

Hence, the water depth seems to have been smaller, just a few m, than it was the case at the time of deposition of the underlying *Ervilia* limestone. This is suggested by the fact that the rock is for a considerable part bioclastic, moreover by a cross-bedding due to surf action, and by the intraformational accumulation of black *Ervilia* limestone nodules in the lower half of the deposit.

3. 0.05 m of gravelly limestone overlying with some unconformity the cross-bedded bioclastic formation. The pebbles include recognizable rounded debris deriving from the "Lower Cerithium Limestone" underneath. The most frequent molluscs are specimens of smaller size and of reduced ornamentation of *Cerithium europaeum* and representatives of *Pirenella hartbergensis rüdti*.

4. Next to follow in the profile is 0.1 m of Bryozoa – Vermes-bearing limestone. The rock is characterized by the presence of Foraminifera (mainly *Borelis melo*), beds with molluscan casts, mat-like colonies of Bryozoans and a maze of Vermes (*Serpula* sp.). In the Bryozoan colonies, tiny *Balanus* sp. specimens are often found. Some of a total of 53 identified molluscan species may have been redeposited from the underlying "Lower Cerithium Limestone", but the intact and double-valved forms occurring in the overlying formation as well must be regarded as certainly autochthonous.

From among the 53 taxa identified from the Bryozoan – Vermes bed, 32 are surely autochthonous; 6 forms are suggestive of E Paratethyan connections (6 of the 32 autochthonous forms are so, too): *Modiolus incrassatus*, *M. incrassatus buglovensis*, *Cardium ruthenicum*, *Paphia vitaliana infrasarmatica*, *Ervilia trigonula*, *Bittium reticulatum konkensis*.

28 of the 32 autochthonous species are philobrackish, 14 are indicative of the Badenian [e.g. *Diodora graeca*, *Murex (Hexaplex) austriacus*, *Nassa dorsaniformis*, *Clavatula schreibersi*, etc.]) and 13 are forms occurring in the Sarmatian as well.

5. A 0.65-m-thick layer of white, loose, medium- to small-grained, calcareous, tuffitic sandstone characterized by the high frequency of *Cerithium* ("Upper Cerithium Bed"), along with other molluscs.

Most frequent molluscan casts in the deposit belong to a subjuvenile *Cerithium europaeum* having a simplified, i.e. reduced, ornament suggestive of an environment with less favourable salinity conditions (reduced salinity). A reduction in size is observable in the case of other forms, ones of a higher salinity demand, as well (e.g. *Pyrgula* cf. *geometra juv.*).

From a total of 40 Mollusca species recovered from the bed in question, 22 are philobrackish, 10 occur in the Sarmatian as well and 10 derive from the E Paratethys. These are: *Modiolus incrassatus buglovensis*, *M. ustjurtensis*, *Taras rotundatus caucasicus*, *Cardium minyense*, *Paphia secunda*, *P. cf. vitaliana infrasarmatica*, *Cardium ruthenicum*, *C. praeplicatum*, *Ervilia trigonula*, *E. pusilla dissita*.

The first five of them are common only in the pre-Sarmatian deposits of the E Paratethys.

From the 40 species, 24 are indicative of the Badenian: *Gibbula affinis*, *Calliostoma planatum crassior*, *Rissoina polonica*, *Sandbergeria perpusilla*, *S. spiralissima*, *Alaba costellata anomala*, *Cerithium europaeum*, *Cantharus exsculptus*, *Chlamys rákosense*, etc. Form among the Foraminifera, *Borelis melo*, *Spirolina laibei*, *Spirolina* sp. and *Miliolina* are recognizable in the rock.

6. Next to follow higher up the profile is 0.25 m of oölitic, slightly tuffitic brownish-yellow limestone. The rock is poor in fossils, *Ervilia trigonula*, Bryozoa, *Spirolina* sp., Miliolidae and root traces being rarely observable.

7. 0.40 m of bentonitic dacite tuff with calcareous streaks in the middle of the bed.

8. 0.60 m of clastics composed of scarcely rounded debris of two underlying rock types (2 to 4 cm in diameter). Produced by wave action, the clastics have remained in situ, indicating ephemeral changes in sea level. The clastic bed is already considered to be a basal Sarmatian formation.

9. Approximately 1.0 m of grey medium- to fine-grained quartz sand with dacite pumice debris containing, at the base, calcareous sandstone streaks forming a kind of "veinlet". The interbedded layers show an upward increase in thickness and lime content. Mollusca fauna of the sandstone- and sandy limestone streaks or layers: *Calliostoma angulatum*, *Hydrobia* sp., *Cardium ruthenicum*, *C. cf. lithopodolicum*, *Cardium* sp., *Ervilia pusilla dissita*, *E. trigonula*, *Mactra eichwaldi*.

Table 2 – 2. táblázat

Molluscs of the Veselyanka Beds exposed in Budapest and in the southern foreland of the Transdanubian Central Range
A veszeljankai rétegek Mollusci a budapesti feltárásköztéri és a Dunántúli-középhegység déli előterében

	1	2	3	4	5	6	7	8	9	10	11	12	13	14	15	16	17	18	19
<i>Lucina (Loripinus) fragilis lecointreei</i>																			
CossM.—PEYR.	+																		
<i>Luceia (Spaniodontella) sokolovi</i> SLNZ.									○	+	+								
<i>Cardium obsoletum</i> EICHW.																			
<i>Cardium ruthenicum</i> HILB.																			
<i>Cardium kokkepicum</i> ANDR.																			
<i>Cardium lithopodolicum</i> DUB.																			
<i>Cardium irregularare</i> EICHW.																			
<i>Cardium cf. fischeriforme millelocum</i>									?										
SIDOR.																			
<i>Cardium cf. kaudense volymicum</i>																			
GRISCHK.																			
<i>Cardium praeplicatum</i> HILB.																			
<i>Cardium minyense</i> KÓKAY																			
<i>Cardium scylothecum</i> SOK.																			
<i>Cardium</i> sp.									×	×									
<i>Cardium (Acanthocardia) aculeatum</i>																			
platovii BOG.																			
<i>Cardium (Acanthocardia) paucicostatum</i>																			
Sow. var.																			
<i>Paricardium papillosum</i> POLI																			
<i>Paricardium subhispidum</i> HILB.																			
<i>Trachycardium multicostatum</i> BROCC.																			
<i>Trachycardium pseudomulticostatum</i> ZHIZH.																			
<i>Erycina</i> sp.																			
<i>Dosinia lupinus</i> L.																			
<i>Venus basterotii latilamellata</i> KAUT.																			
<i>Paphia vitaliana infrasarmatica</i> ANDR.																			
<i>Paphia secunda</i> BOG.																			
<i>Gastrarium eximium</i> HÖRN.																			
<i>Ervilia trigonula</i> SOK.																			
<i>Ervilia miopusilla</i> BOGSCH																			
<i>Ervilia pusilla dissita</i> EICHW.																			
<i>Abra reflexa</i> EICHW.																			
<i>Abra alba scyllica</i> SOK.																			
<i>Abra parabilis atlatica</i> MERKL.																			
<i>Abra taurolonga</i> SACCO																			
<i>Ludaria</i> cf. <i>primipara</i> EICHW.																			
<i>Macha basterotii</i> MAY.																			

+ = rare — elofordul, × = few — kevés, ○ = common — gyakori, ● = abundant — tömeges.

Table 2 - 2. táblázat (2)

1	2	3	4	5	6	7	8	9	10	11	12	13	14	15	16	17	18	19
<i>Sandbergeria spirallissima</i> DUB.	+																	
<i>Alaba costellata anomala</i> EICHW.	+																	
<i>Alaba pangymna</i> COSSM.																		
<i>Terebralia bidentata lignitarium</i> EICHW.																		
<i>Bitium spina</i> PARTSCH																		
<i>Bitium reticulatum</i> COSTA																		
<i>Bitium reticulatum konkensis</i> SOK.																		
<i>Cerithium europaeum</i> MAY. subjuv.																		
<i>Cerithium crenatum procreatum</i> SACCO subjuv.																		
<i>Cerithium vulgaratum miospinosum</i> SACCO																		
<i>Cerithium vulgaratum depresso-nudatum</i> SACCO																		
<i>Calyptraea chinensis</i> L.																		
<i>Calyptraea chinensis taurostriatella</i> SACCO																		
<i>Polinices catena helicina</i> BROCC.																		
<i>Pirula (Ficus) cf. geometra</i> BORS. juv.																		
<i>Murex (Hexaplex) austriacus</i> Tourn.																		
<i>Murex</i> sp.																		
<i>Cantharus exsculptus</i> DUJ. juv.																		
<i>Dorsanum</i> sp.																		
<i>Nassa dorsaniformis</i> SVAGR.																		
<i>Mitra</i> sp. (<i>ambigua hörnsei</i> MAY.?)																		
<i>Clavatula schreibersi</i> HÖRN.																		
<i>Ringicula auriculata buccinea</i> BROCC.																		
<i>Pyramidella plicosa</i> BRONN																		
<i>Eulimella nitidissima</i> MONT.																		
<i>Retusa truncatula</i> BRÜG.																		
<i>Actaeocina lajonkaireana</i> BAST.																		
<i>Actaeocina lajonkaireana bullorensis</i>																		
FRIEDB.																		
<i>Cylindra cf. meliopolitana</i> SOK.																		
<i>Cylindra cylindracea convoluta</i> BROCC.																		
<i>Pomatis</i> sp.																		

+ = rare — előfordul, × = few — kevés, ○ = common — gyakori, ● = abundant — tömeges.

The fauna includes no strictly Badenian form. *Mactra eichwaldi* is characteristic of the Sarmatian. All in all, the assemblage is diagnostic of the base of the Sarmatian.

Between the two exposures just described, at a distance of approximately 400 m from the Örs vezér ter site, there was another *exposure* that had resulted from canalization along Gyakorló út. This one exposed, essentially, a sequence lithologically and faunistically similar to the Keresztúri út exposure, but it extended vertically only up to the top of the "Lower Cerithium Beds".

The exposure at Rákosi vasiúti delta (railway-cut of Rákos)

The railway-cut of Rákos (Fig. 2) is found at a distance of 500 m or so SSE of the Keresztúri út exposure. Having a rich fauna and exposed in full, this Upper Badenian key section is to be revised for documentary purposes—a revision which my colleague P. MÜLLER and myself have already started. During the last 100 years a host of scientists have studied the sequence in question (I. LÖRENTHEY 1913b, E. VADÁSZ 1906, F. SCHAFARZIK—A. VENDL 1929, etc.).

Earlier authors believed the "Tortonian—Sarmatian" boundary to be continuous, but they did not examine it in detail. Relying on a scrutinized sampling and study, we have cleared the problems of definition of the boundary.

I shall refrain from discussing the whole Upper Badenian sequence exposed in the railway-cut, for I have not intended to present Upper Badenian key sections, but my aim has been to study exhaustively the E Paratethyan connections. For this reason, I shall restrict myself to featuring the upper half of the sequence only, comparing it with the profiles already discussed (see Fig. 3).

1. The 5-m-thick "Main Sand" mentioned in the previous profiles is overlain by 0.4 m of unconsolidated, calcareous, mollusc-cast-bearing sandstone of dirty white colour deposited, as shown by the fossils examined, in a seawater of normal salinity (euhaline molluscs, echinids).

2. Next to follow in the profile is 0.5 m of dirty white, unbedded fossil-rich *Cardium*—*Cerithium*—*Ervilia* limestone. On evidence of the preliminary sampling the fauna of the limestone consists of 23 molluscan species. Most frequent in the formations in question is the species *Cardium (Acanthocardia) barrandei schafferi*. This one is found in abundance in the rock, but is represented, as a rule, by juvenile to subjuvenile specimens. As is well known, *Cardium* was observed to decrease in size eastwards in the Baltic Sea in correspondence with the reduction of salinity. Obviously this is the case here too, since the 23 species include 13 forms that are philobrackish: *Cerithium crenatum communatum*, *C. turonense*, *C. boettgeri*, *Theodoxus pictus*, *Cardium ruthenicum*, *Ervilia* sp. etc. (As far as *Cardium barrandei schafferi* is concerned, I do not regard it as philobrackish, for it was exactly by reducing its size that that species "protested" against the harsh environment with a salinity disadvantageous for its growth.)

In the formation in question, I have found six Crimo-Caucasian elements, i.e. forms presumably originating therefrom. Here they are: *Cardium ruthenicum*, *Ervilia trigonula*, *E. pusilla dissita*, *Paphia secunda*, *Modiolus incrassatus sultanensis*, *Paphia vitaliana infrasarmatica*.

Five forms are habitual in the Sarmatian as well, but abundant Badenian elements leave no doubt as far as the age of the formation is concerned. Such Badenian forms (17) are for example: *Oxystele patula orientalis*, *Scaphander lignarius tragionius*, *Cerithium* species, *Sandbergeria perpusilla*, *Cardium barrendezi schafferi*, *Trachycardium multicostatum*, *Angulus planatus*, etc.

Conclusions: Here abouts the water of normal salinity did not come up to the normal seawater figure having been as low as approximately 22 to 25‰.

The rest of the sequence shows a pattern akin to that of the section exposed in Keresztúri út and described in the foregoing. The differences are as follows:

3. The sequence corresponding to the "Lower Cerithium Beds" (2.25 m) is poorer in fossils and P. MÜLLER identified an oncoid-stromatolite horizon in its lower zone. Its upper zone shows here too a wave action pattern of cross lamination.

4. Next to follow, with no unconformity, are 1.60 cm of "Upper Cerithium Beds" represented by sandy limestone with Cerithium-bearing and molluscan intercalations. The fauna of the "Upper Cerithium Beds" is similar to the molluscan assemblage recovered from the corresponding member of the Keresztúri út exposure. In this case too, *Cerithium europaeum* predominates with a similarly subdued ornament. It is interesting to note that a peculiar species indicative of Ponto-Caspian connections has been recovered too: *Cardium (Acanthocardia) platovi* which occurs in deposits belonging to the Konkian*.

* After finalizing his manuscript, MÜLLER (1984) found euryhaline Decapoda remains, *Pilumnopaeus paratethyensis* MÜLL. and *Diogenes* sp., in the sequence. Forms closely related to the first one are living off W and E Africa.

From the "Upper Cerithium Beds", I have distinguished 28 molluscan taxa of which 20 are philobrackish, 10 are indicative of the Badenian, 12 occur in the Sarmatian as well, and 9 bear witness to an E Paratethyan connection (Table 2).

5. The dacite tuffite formation in the Keresztúri út exposure was 40 cm, here it is only 1 to 2 cm, in thickness. Above it, the detrital zone representing the base of the Sarmatian is missing. Instead, the dacite tuff is followed by 0.4 m of yellowish-white marly sandstone with *Ervilia* sp., *Hydrobia* sp., *Spirolina* sp., Miliolidae and root tracks.

6. Next to follow above the former is a Sarmatian sand and sandstone sequence in which *Mactra eichwaldi* is quite frequent.

Conclusions concerning the Örs vezér tér—Keresztúri út—Rákos "vasúti delta" section line:

The Upper Badenian sequences from the Örs vezér tér up to the railway-cut of Rákos are by and large similar in facies (Fig. 2 and 3) with similar faunal assemblages typical of a seawater of normal salinity. The sequence overlying the "Main Sands", however, shows a marked differentiation of facies along the section line:

— Along Örs vezér tér and Kerepesi út, the deposition of abundantly fossiliferous limestone ("Upper Limestone") at a water depth of at least 40 m continued, resulting in 2.2 m thickness of sediment. Of a total of 132 molluscan species, 9 are capable of tolerating a certain degree (upper brachyhaline) of reduction in salinity (and these are only sporadic species), being habitual in the Sarmatian as well.

— On the other hand, in the surroundings of Gyakorló út, Keresztúri út and Rákos "vasúti delta", brachyhaline sediments were deposited in a shallow-water environment, resulting, at the Keresztúri út site, in a thickness of 1.80 m. From the sequence in question, I have distinguished a total of 118 molluscan taxa including 40% philobrackish forms, i.e. forms enduring or favouring a reduction in salinity, frequently abundant, with a great number of individuals. The molluscs favouring an environment of normal salinity are reduced in size with a subdued ornament. 21 of the 118 forms are common in the Sarmatian as well, while 10 derive from the E Paratethys.

The sequence of the corresponding horizon at Rákos "vasúti delta" is 2.75 m thick, being characterized, at Keresztúri út, by a rather poor fauna. There is a remarkable difference, however, between the *Ervilia* limestone bed of Keresztúri út and the stratigraphically equivalent *Cardium*—*Cerithium*—*Ervilia* limestone bed of Rákos. The fact is that the latter occupies, from an ecological viewpoint (depth of deposition and particularly salinity), an intermediate position between the "Upper Limestone" of Örs vezér tér and the *Ervilia* limestone. Hence, it is an intermediate type rather than a transition to the Sarmatian (SCHAFARZIK—VENDL 1929).

Consequently, the isochrony of the two facies is obvious. This is confirmed basically by the identity and traceability of the underlying sands and by the lack of an unconformity between the "Main Sand" and the bed subsequent to it.

The question to find out the causes responsible for the great difference in salinity over such a small distance and for the presence of two different, though isochronous, facies is crucial. Alternatives:

1. Isolation into a lagoon. There is no evidence of a landlocking of this kind, the formations in question being of different character.

2. A stream may have emptied into the nearby sea and the fresh- to brackish water of low specific weight would be spread, in a thickness of 10—20—30 m, on top of the more dense seawater. For this reason, the sediments deposited at low depths would be formed in a brackish-water environment, with a brachyhaline fauna, whereas the deeper zones would be inhabited by a fauna typical of an environment of normal salinity. This alternative should be rejected for the following reasons:

— This phenomenon, as we shall see in the forthcoming discussion, is observable over a much larger area. Given the presence of a paleogeographic archipelagic environment, the emptying of a giant river into it is inconceivable, for this would have produced enormous masses of deltaic deposits which is not the case here. In the time span in question the influx of land-derived materials was strongly reduced, which in itself indicates that no major river could be entering the sea in this area.

— The hypothesis in question does not account for the admixture of Crimo-Caucasian elements to the fauna here.

3. The only realistic explanation for the genetic dissimilarity reflected by the pre-existing salinity of the two isochronous formations is as follows:

Towards the end of Late Badenian time the Earth's crust movements led to a reduction of the communication with the Mediterranean, and at the same time the communication with the Konkian sea of the E Paratethys widened. This resulted in the Central Paratethys area in the development of sea current conditions similar to the case of the modern Sea of Marmara. The fact is that the slightly saline Black Sea water (16 to 18‰) overflows (via Bosphorus) the denser waters into the basin of

the Sea of Marmara, while underneath a water of normal salinity arrives from the Aegean Sea (via Dardanelles). (The Black Sea is entered, underneath, by the topmost waters of 22 to 23‰ salinity of the Sea of Marmara, as the depth critical in terms of salinity in the Bosphorus is as low as 30 m).

Putting together the above mosaics, it can be concluded that between what is now Rákosi "vasúti delta" and Örs vezér tere a somewhat elevated E—W striking ridge was formed in Late Badenian—Sarmatian time as a result of tectonic movements taken place at the boundary between the "Main Sand" and the "Upper Limestone".* The implications may be listed as follows:

— Towards the end of Late Badenian time brackish-water sediments were deposited into which the seawater that was coming from the east and was "diluted above" introduced E Paratethyan faunal elements. This resulted in a salinity state "thin above, normal underneath". In other words, two successions of strongly different facies were formed within a few hundred metres in the area in question.

- The deposits on this ridge are thinner.
- The topmost Badenian dacite tuff is thicker owing to incoming land-derived sediments.
- The "Upper Cerithium Beds" (with some detritus and a thin Bryozoa—Vermes bed at their base) overly unconformably the Lower Cerithium Beds, while at Rákosi "vasúti delta" their superposition is conformable. (At Örs vezér tér too, the superposition of the Veselyankian calcareous silt on the "Upper Limestone" sequence is conformable.)

* * *

Overlying the "Upper Limestone", the formations that yielded the fauna of Veselyankian type at the Örs vezér tér site are obviously in the same stratigraphic horizon as the Bryozoa—Vermes beds and the "Upper Cerithium Beds" of Keresztúri út and the "Upper Cerithium Beds" of Rákosi. At the Örs vezér tér site, the thickness of the deposit is at least 1.30 m, at the Keresztúri út site, the thickness down to the Sarmatian basal detritus is 1.45 m, while at Rákosi it is only 1.60 m. The faunal assemblages of the three localities are compared with one another in Table 2 and 3.

Table 3 — 3. táblázat

Mollusca fauna of Örs vezér tér (1), Keresztúri út (2) and Rákosi delta (3): a quantitative comparison
Az Örs vezér tér (1), a Keresztúri út (2) és a Rákosi delta (3) Mollusca faunájának számszerű összehasonlítása

Fauna	Localities		
	1	2	3
Total mollusc taxa	32	54	28
Philo-brackish	25	31	20
Suggestive of the Badenian	10	30	10
Present in the Sarmatian as well	17	17	12
Derives from the E Paratethys	14	12	9

As evident from the comparison, the dissimilarities are unessential from the viewpoint of facies and salinity. (Although the Keresztúri út deposit may seem to have been formed under somewhat higher salinity conditions, this difference may be due to the sandy bottom as well.) The basic feature is the same i.e. it is in these beds that the trend of the faunal composition to approach that of the Sarmatian and the decrease in salinity are most conspicuous. May I note that the foraminiferal assemblages show the same constitution in both occurrences. Decapods have been encountered only at Rákosi.

The slight unconformity between the Lower and Upper Cerithium Beds in the Keresztúri út section means that the existence of the Veselyankian substage can be interpreted diastrophically, in harmony with the change in lithology. This one, however, is not a local phenomenon, for in the holostратotype, the Upper Konkian sequence has transgressed over the Oligocene (N. SOKOLOV 1899; V. I. DIDKOVSKIY—V. G. KULICHENKO 1975, p. 50; F. F. STEININGER—L. NEVESSKAYA 1975, p. 249) with the Sartaganian missing from the section. In other profiles to be presented in this work too, the lithological change of the Veselyankian Beds as compared to the formations underlying them is remarkable.

The conclusion that is inferred from the above is that the molluscs of E Paratethyan provenance occurring beneath the formations corresponding to the Veselyankian substage are representatives of the Lower Konkian, i.e. Sartaganian, substage in the profiles here discussed.

* For the author's publications dealing with Miocene tectonic movements detectable in the Hungarian Central Range, see KÓKAY 1968, 1976, 1984, 1985, etc.

Other occurrences from Budapest

One of the METRO boreholes drilled in the metropolitan area of the capital (METRO H. 34) was put down opposite to the SZOT (National Trade Union Council) headquarters in Mező Imre út.

The borehole penetrated beneath the Quaternary, down to 21.70 m, Sarmatian beds, down to 40.80 m, an Upper Badenian marine sequence composed of alternating sand, sandstone and Leithakalk beds (Fig. 4). From 22.60 down to the base of the Upper Badenian, the succession was deposited in a seawater of normal salinity. In the 22.40 to 22.60 m interval the Ervilia—Mollusca-bearing sandy limestone contains the following megafossils: *Turritella bienaszi percincta* FRIEDB., *Sandbergeria perpusilla* GRAT., *Cerithium boettgeri* ŠVAGR., *C. crenatum procrenatum* SACCO, *Polinices catena helicina* BROCC., *Calyptraea chinensis* L., *Nassa dorsaniformis* ŠVAGR., *Actaeocina lajonkaireana* BAST., *Modiolus mytiloides* BRN., *Chlamys* sp., *Lutetia nitida* Rss., *Taras rotundatus* MONT., *Loripes dujardini* DESH., *Lucina fragilis lecointreae* COSSM. et PEYR., *Cardium rufenicum* HILB., *C. (Acanthocardia) platovi* BOG., *Trachycardium multicostatum* BROCC., *Dosinia lupinus lincta* PULTN., *Venus basteroti latilamellata* KAUT., *V. (Timoclea) konkensis* SOK., *Ervilia trigonula* SOK., *E. miopusilla* BOGSCH., *E. pusilla dissita* EICHW., *Mactra basteroti* MAY., *M. basteroti konkensis* SOK., *M. quasideltoides* BOG., *Lutraria* sp., *Angulus donacinus* L., *Macoma elliptica* BROCC., *Thracia pubescens* PULTN., *Thracia papyraceae* POLI.

From a total of 31 taxa, 13 may be considered to represent philobrackish forms, 6 are common in the Sarmatian as well and the following 7 are indicative of E Paratethyan connections: *Cardium rufenicum*, *C. platovi*, *Venus konkensis*, *Ervilia trigonula*, *E. pusilla dissita*, *Mactra basteroti konkensis*, *M. quasideltoides*. In terms of composition (likewise about 40% is constituted by philobrackish elements), the fauna stands close to the "Lower Cerithium Beds" of Keresztúri út, being characterized by similar salinity conditions. Noteworthy is the presence of *Venus konkensis* (2 specimens) which, together with *Mactra basteroti* and its subspecies *konkensis*, is characteristic of the Veselyankian. Such forms may occur in older formations—corresponding to the Sartaganian—as well. The presence of a third *Mactra* species, *M. quasideltoides*, is also interesting, for this one has hitherto been reported only from the Chokrakian.

The formation under discussion is considered by the present writer to be isochronous with the "Lower Cerithium" limestone of Keresztúri út (hence, pre-Veselyankian) and to have been formed under similar salinity conditions.

The overlying Ervilia—Bryozoa-bearing calcareous marl (21.70–21.90 m) with *Sandbergeria perpusilla*, *Ervilia trigonula* and *E. pusilla dissita* seems to have been deposited in Veselyankian time. This bed is the one with which the Upper Badenian sedimentary sequence ends.

Put down in Rottenbiller utca (Rottenbiller Street), borehole H.27/1 intersected, between 44.20 and 44.50 m, sandy silts from which I determined a Pirenella molluscan assemblage composed of 20 species. These include 13 philobrackish forms and a species of Konkian age, *Paphia secunda*.

The occurrence of Upper Badenian Leithakalk formations in the vicinity of Nagytétény on the southern margin of the Buda Hills has been known for a long time now. In the surroundings of the forest Kamara-erdő the sedimentation is continuous towards the Sarmatian. The uppermost few decimetres of the Upper Badenian sedimentary sequence bear already the imprint of a brackish water sedimentation, with Ponto-Caspian adventive elements such as *Cardium praeplicatum* being already recognizable in them.

In the Diósd area the older Sarmatian (Kozardian) overlies with a marked unconformity the marine Upper Badenian.

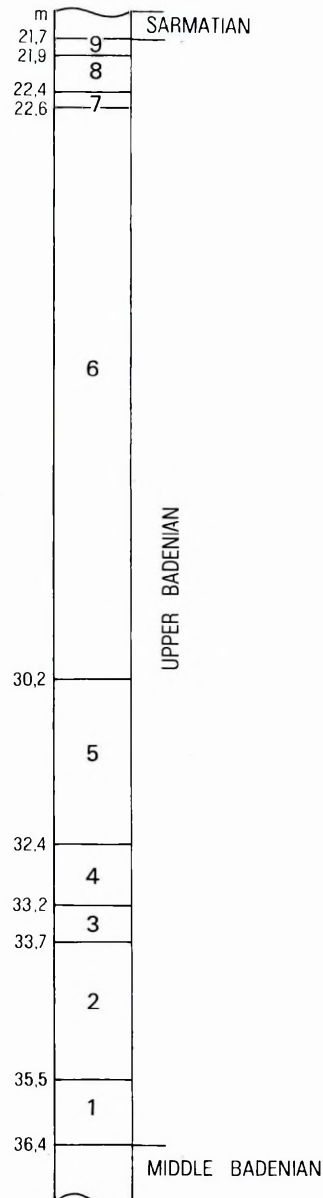


Fig. 4. Upper Badenian section of borehole Metro H. 34

1. Silt with bioturbations, 2. Pecten sandstone, 3. Leithakalk, 4. silty marl with Pecten, 5. sand,

6. Chlamys sandstone, 7. sandy molluscan limestone, 8. sand, 9. Ervilia-bearing calcareous marl

4. ábra. A Metró H. 34. sz. fűrás felső-bádeni szelvénye

1. Bioturbációs aleurit, 2. pectenes homokkő, 3. lajtamészkő, 4. pectenes aleuritos márga, 5. homok,

6. chlamysás homokkő, 7. homokos, molluscás mészkő, 8. homok, 9. erviliás mészmárga

2. Southern foreland of the Transdanubian Central Range

a) The Mány-Zsámék area

The Late Badenian and Sarmatian sea also ingressed from the southern main arm penetrated into the western foreland of what are now the Buda Mountains. Over a considerable part of the sedimentary basin the sedimentation is continuous through the stratigraphic boundary of the two stages. A scrutinized examination of core samples from several coal-exploratory boreholes spudded in the study area (Fig. 1) enabled me to gather information on the boundary events. Here are a few type sections of the studied boreholes (Fig. 5).

Borehole Perbál 5

Deepened in the southwest forefield of Perbál village, borehole Pb. 5 penetrated down to 178.10 m Sarmatian pelitic formations with a typically Sarmatian fauna. Underneath, from 178.10 to 178.30 m, diatomite-laminated calcareous marls with dacite tuffs followed, underlain, in turn, down to 178.80 m, by light greenish-grey silty argillaceous marls with a rich Mollusca fauna dominated by *Cardium scylothicum*. Among a total of 27 species, the following are most frequent (Table 2): *Musculus conditus*, *Cardium scylothicum*, *Spondiodontella sokolovi*, *Abra alba scythica*, *Cultellus scaphoideus*, *Corbula gibba*, *Bittium spina*, *Ringicula auriculata buccinea*.

All but 2 to 3 of the 27 taxa are philobrackish, an assemblage from which 4 species (*Cardium obsoletum*, *C. ruthenicum*, *Paphia vitaliana infrasarmatica*, *Abra reflexa*) occur also in the Sarmatian. 12 forms including *Cardium*, *Spaniodontella*, *Cultellus*, etc. suggest an E Paratethyan provenance. Badenian forms unknown from the E Paratethys are *Arca clathrata*, *Bittium spina*, *Abra taurolonga* and *Errilia miopusilla*. The argillaceous marls contain several Early Badenian taxa represented in the E Paratethys as well, e.g. *Musculus conditus*, *Chlamys diaphana*, *Corbula gibba*, *Ringicula auriculata buccinea*, *Parvicardium subhispidum*, etc.

Hence, the faunal assemblage of the formation in question is a typically Upper Konkian (Veselyankian) one, for 10 of a total of 27 taxa are indicative of such an age. In the type section too (SOKOLOV 1899) the abundance of *Cardium scylothicum* is conspicuous, being accompanied by *Spaniodontella sokolovi*, *Cardium ruthenicum*, *Abra alba scythica*, etc. From the same fauna, *Cultellus scaphoideus* is characteristic of the Chokrakian, *Modiolus ustjurtensis* being so of the Lower Konkian (Sartaganian) (Table 2).

The core fragment taken from the 178.80th m of the borehole is argillaceous *Corbula*—Mollusca marl markedly differing lithologically, in colour (darker), sand content and fracture, from the bed overlying it. A characteristic feature is the presence of *Corbula gibba* showing a marked frequency in the rock. A total of 16 taxa I have determined from it include 7 species that endured or even favoured brachyhaline seawater and that are not represented in the Sarmatian. Euxinic-Caspian relations are suggested by 5 species: *Cardium mányense*, *Abra alba scythica*, *A. parabilis attalica*, *Cultellus scaphoideus*, *Spaniodontella sokolovi*. Most frequent among the Badenian forms are *Corbula gibba*, *Turritella pythagorica* and *Nassa restitutiana*.

The sediment seems to have been deposited under conditions that corresponded to the limiting salinity between normal seawater and upper brackish-water. As proved by the composition of the fauna, the salinity of the seawater was higher than it was the case with the overlying Veselyankian *Cardium*-bearing argillaceous marl. Thus this formation already corresponds to the Sartaganian horizon.

In the borehole the Upper Badenian marine deposits (mainly silt and argillaceous marl) are recognizable as deep as to 197.70 m. At 182.50 m and 185.50 m an E Paratethyan element, *Cultellus scaphoideus*, was discovered.

Perbál Pb. 2, a water-exploratory borehole put down in the village, exposed a sedimentary sequence similar to that intersected by Pb. 5, but a bit thicker. The Upper Badenian, predominantly pelitic, persisted from 286.80 to 309.0 m. In the interval of 286.80—288.30 m a very similar formation assignable to the Veselyankian horizon occurs, just like it is the case with the 178.30—178.80 m interval of Pb. 5. The only difference is that here *Cardium scylothicum* is less frequent, while *Cultellus scaphoideus* and *Bittium spina* are more frequent. The sequence in question is underlain by argillaceous marls teeming with giant-sized (18—21 mm) *Corbula gibba* specimens and containing *Turritella pythagorica* as well.

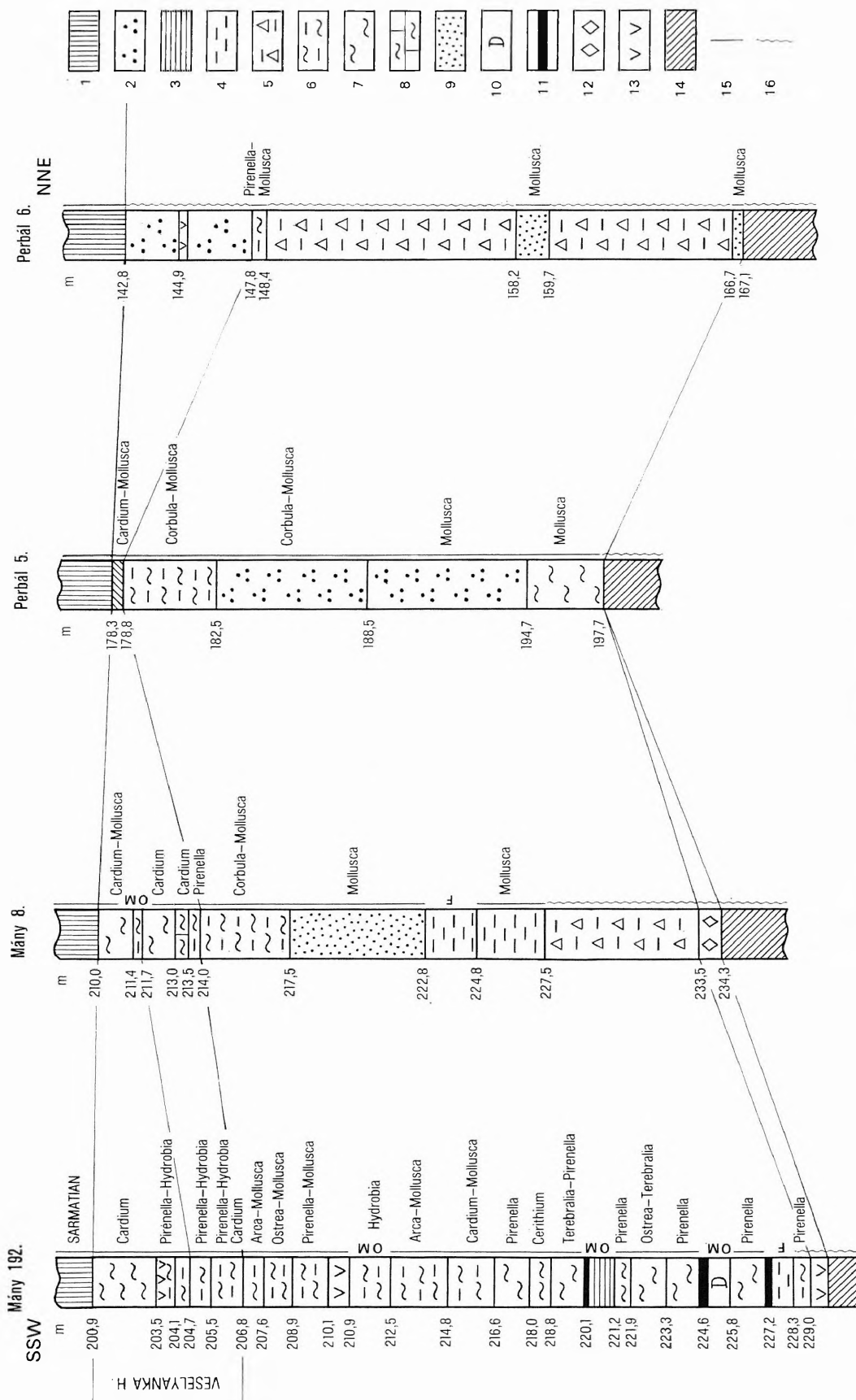


Fig. 5. Upper Badenian section of the boreholes of Mány and Perbál
1. Sarmatian sedimentary sequence, 2. silt, 3. lime mud, 4. clay, 5. variegated clay with calcareous concretions, 6. argillaceous marl, 7. marl, 8. calcareous marl, 9. sand, 10. diatomite, 11. lignite, 12. bentonite, 13. terebratite, 14. tuff, 15. Marine, 16. terrestrial, OM = oligo-miobaline, F = freshwater facies

1. Szarmata üledéksor, 2. aleurít, 3. mészsík, 4. agyag, 5. mészkökrécs agyag, 6. agyagmárga, 7. márga, 8. mészmárga, 9. homok, 10. diatomit, 11. lignit, 12. bentonit, 13. tufa, 14. bádeni üledéksor. — 15. Tenger, 16. szárazföldi, OM = oligomiobalne, F = édesvízi facies

Borehole Mány 8

Coal-exploratory borehole Mány M. 8 was put down at about 4 km northeast of the village of the same name.

1. The base of the Sarmatian was observed at 210.0 m with fine sandy marl and silt beds at the very bottom which contain the following, typically Sarmatian Mollusca fauna: *Musculus sarmaticus*, *Cardium praeplicatum*, *C. vindobonense*, *C. cfr. ruthenicum*, *Ervilia* sp., *Mactra eichwaldi*. They include no Badenian element.

2. Between 210.00 and 211.40 m, there is a silty molluscan marl with a thin interbedded bentonite layer. The rock contains *Taras rotundatus caucasicus*, *Cardium praeplicatum*, *C. mányense*, *Ervilia trigonula*, *E. pusilla dissita*, *Paphia secunda*, *Pirenella hartbergensis*.

All forms are philobrackish, with no Badenian element, but there are 3 E Paratethyan Middle Miocene forms: *Cardium mányense*, *Taras rotundatus caucasicus* and *Paphia secunda*, which in the Sarmatian did no longer occur.

3. Between 211.40 and 211.70 m there was an argillaceous marl with a fauna of mio-mesohaline character: *Planorbis*, *Gyraulus*, *Lymnaea*, *Hydrobia*, *Cardium* sp. The formation is uncharacteristic from the viewpoint of stratigraphic correlation.

4. The silty argillaceous marl of 211.70—213.00 m has yielded the following molluscan assemblage: *Musculus conditus*, *Anomia ephippium*, *Loripes dentatus*, *Cardium platovi*, *C. praeplicatum*, *C. mányense*, *Ervilia trigonula*, *E. pusilla dissita*, *Abra alba scythica*, *Cerithium crenatum procrenatum*.

All members of the fauna composed of ten taxa are more or less philobrackish, four ones are habitual in the Sarmatian as well, four are Badenian forms, and six are Crimo-Caucasian immigrants.

5. Underneath, between 213.00 and 213.50 m, there are greenish calcareous marls with the following molluscs: *Loripes dujardini*, *Cardium praeplicatum*, *C. mányense*, *C. platovi*, *Trachycardium pseudomulticostatum*, *Paphia secunda*, *Abra alba scythica*, *Dorsanum* sp., *Pirenella* sp. Of the 9 taxa, 6 are indicative of E Paratethyan connections including an interesting form, *Trachycardium pseudomulticostatum*, hitherto known from the Chokrakian.

6. From 213.50 to 214.00 m, greenish-grey argillaceous marls were intersected, with the following fauna: *Musculus conditus*, *Loripes dujardini*, *Cardium praeplicatum*, *Mactra* sp., *Gastrana fragilis*, *Pirenella hartbergensis*, *P. nodosoplicata eichwaldi*. One oriental element: *Cardium praeplicatum*. All but *Musculus conditus* may occur in the Sarmatian, too.

7. From 214.0 to 217.5 m the sediment shows quite different features, being represented by sandy argillaceous marls with a lot of molluscs. I have identified a total of 19 molluscs. *Lucina (Loripinus) globulosa* is most frequent. From the assemblage, 7 forms are philobrackish, 4 are oriental elements (*Cardium praeplicatum*, *C. ruthenicum*, *C. mányense*, *Paphia secunda*), 5 being encounterable in the Sarmatian too.

The varied sequence between 210.0 and 214.0 m is identified with the Veselyankian and the corresponding horizons cut in boreholes Pb. 2 and 5 (Table 2), the sequence underneath being correlated with the Lower Konkian (Sartaganian).

Borehole Mány 192

Borehole Mány M. 192, when intersecting the Sarmatian/Badenian boundary, exposed a continuous succession.

1. Hit at 200.90 m, the boundary was overlain by Sarmatian argillaceous marls with *Gibbula picta*, *Cardium vindobonense*, *Musculus sarmaticus* and *Modiolus incrassatus* (det. J. BODA).

2. From 200.90 m downwards the rock shows an increase in lime content. The marl to calcareous marl sequence yielded, down to 203.50 m, the following fossil assemblage: *Cardium mányense*, *C. praeplicatum*, *C. platovi*, *Ervilia* cfr. *trigonula*, *Pirenella hartbergensis*.

Of the 5 forms, 3 may also occur in the Sarmatian, 4 are indicative of the E Paratethys, from among these latter, *Cardium platovi* and *C. mányense* are characteristic of the Konkian substage. No species diagnostic of the Badenian was observed. Thus the Badenian age of the bed is proved by the Middle Miocene forms of the E Paratethys.

3. After 0.02 m of dacite tuff there followed, down to 204.10 m, argillaceous marls dominated by *Pirenella* at the top and by *Hydrobia* and *Cardium* at the base.

In the upper part of the bed *Pirenella nodosoplicata*, *P. schaueri* and *P. eichwaldi* are frequent. According to J. ŠVAGROVSKY (1960), the last-mentioned species may have had an optimum salinity demand of 10 to 20%, i.e. meso- to lower brachyhaline. SENEŠ (1956) estimated the optimum salinity demand of *Pirenella nodosoplicata* at 18 to 20%. The optimum salinity demand of *Hydrobia* varies between wide limits, being generally mio- to pliohaline. It is always the associated, non-*Hydrobia*,

fauna that decides (KÓKAY 1966). On evidence of the smaller Cardium forms (*C. mányense*) I suppose a habitat of meso- to pliohaline salinity. *Cardium*, *P. nodosoplicata eichwaldi* and *P. schaueri* testify to a pre-Sarmatian age of the sediment.

4. Down to 204.70 m an unfossiliferous argillaceous marl bed was intersected with pyritized root tracks. This suggests a very shallow water.

5. Down to 206.20 m the argillaceous marl sequence comprises beds characterized by various faunal assemblages: a *Hydrobia*—*Pirenella* (*P. hartbergensis rüdti*) assemblage, a *Miliolidea*—*Hydrobia*—*Pirenella* (*P. nodosoplicata*) assemblage, an assemblage composed merely of *Pirenella* and a *Terebralia*—*Cardium* assemblage. Down the profile the species gradually increased in number and, at 206.0 m, the following E Paratethyan forms could be identified: *Modiolus incrassatus buglovensis*, *Cardium praeplicatum* and *Paphia secunda*.

Badenian forms indicative of a seawater of higher salinity: *Cerithium europaeum* juv., *Alaba pangymna*, *Chlamys* cfr. *malvinae*, *Corbula gibba* and *Eulimella nitidissima*.

6. The argillaceous marls ranging from 206.20 to 206.80 m include *Pirenella*—*Terebralia*—*Cardium*—*Miliolidea*- and *Ostrea*—Mollusca-bearing intercalations. A total of 22 taxa have been distinguished. Of these, already only 7 might occur in the Sarmatian as well, but all are more or less philobrackish, and 4 derive from the E Paratethys (*Modiolus incrassatus buglovensis*, *Cardium praeplicatum*, *C. mányense* and *Paphia secunda*). In the lower part of the argillaceous marl *Arca diluvii* subjuv. and *Ostrea digitalina* already appear too. At the base the salinity seems to indicate already 20 to 22‰.

7. From 206.80 m on, a lithological change is observable (clay) with the appearance of molluscs in abundance. The fauna is richer in species, but, down to 207.10 m, it is still the *Pirenella*, forms favouring an environment of lower salinity, that are quite frequent. *Modiolus incrassatus* and *Cardium mányense*, forms indicative of an oriental influence, are not unfrequent either. 12 of the 22 molluscan species are philobrackish.

* * *

In the borehole the Upper Badenian sequence ranged from 200.90 to 229.00 m, with argillaceous rocks including three thin (15–30 cm) lignite seams with freshwater molluscs (*Lymnaea* sp., *Planorbis* sp.). It is only the molluscan argillaceous marls of the 208.60 to 208.90 m interval that may be regarded as sediments deposited in a seawater of normal salinity. In fact, even hermatypic coral fragments identified by P. MÜLLER as *Siderastraea crenulata* GOLDF. and *Cladangia conferta* REUSS have been recovered from the argillaceous marls. In P. MÜLLER's opinion, these are representatives of the most enduring species that are capable of living down to the lower limit of normal salinity (28–30‰). (Along with the corals there were 7 Mollusca species, including 2 philobrackish forms.) The Upper Badenian sequence is characterized by the abundance of *Cerithium* and *Pirenella* represented by varying associations.

Crimeo-Caucasian adventive forms are encounterable throughout the Upper Badenian sequence of the borehole. I found *Paphia secunda* and *Cardium mányense* already in the lowermost layer. These are recognizable throughout the section penetrated. *Modiolus incrassatus* occurred in a host of beds too. *Cardium praeplicatum* was recovered from 218.00 m and 212.50 m, *Venus* (*Timoclea*) *konkensis* subjuvenilis (one specimen) was found at 216.90 m (in *Pirenella*—Mollusca—*Miliolidea*-bearing argillaceous marls). I did find, in 207.40—and 213.40 m, specimens of *Abra parabilis attalica* too.

Thus, all in all, the number of Euxinic-Caspian forms I have been able to identify in the Upper Badenian sequence cut by the borehole has been as low as seven.

From the Upper Badenian section penetrated by drilling, I have assigned the formations between 200.90 and 206.80 m to the Veselyankian horizon, with a view to the probable reduced salinity which is supported primarily by the strongly philobrackish character of the fauna (Table 2). This sequence is identical with the Veselyankian beds of boreholes Perbál 2, 5 and Mánya 8.

Borehole Perbál 6

Borehole Perbál 6 was put down in the northern forefield of the village of the same name. The Upper Badenian sequence ranges from the basal surface of the Sarmatian (142.80 m) down to the bottom of the basal ingressive bed (167.10 m). Unlike the cases hitherto discussed, the borehole penetrated a marginal facies, having discovered three marine ingressive beds within the terrestrial, variegated clay and silt sequence with lime concretions.

1. Between the uppermost ingressive bed and the bottom of the Sarmatian (144.90–145.20 m) there is a dacite air-fall tuff layer which seems to be identical with the thin pyroclastic layer identified in Mánya 192 between 203.50 and 203.52 m and in other boreholes too. In Mánya 192, the interval ranging from 200.90 to 206.80 m has been assigned to the Veselyankian. The terrestrial sequence

between the basal surface of the Sarmatian and the top of the uppermost ingressive bed in Perbál 6 (142.80—147.80 m) is regarded as occupying the same stratigraphic position as the Veselyankian. This opinion of mine is confirmed by the fact that the bed of the uppermost marine ingression contains a fauna older in character as compared to the formations identified with the Veselyankian.

2. The upper part of the uppermost ingressive bed from 147.80 to 148.40 m is *Hydrobia*-bearing, while its lower part is *Pirenella*—*Mollusca*-bearing. Of the 35 *Mollusca* taxa, 20 are philobrackish, 13 are common in the Sarmatian as well and only 5 are indicative of E Paratethyan connections (Table 4). Let us quote them: *Mohrensternia pseudoinflate*, *M. multicostata*, *Newtoniella dertobicarinata agibatica*, *Cardium mányense* and *Paphia secunda*. [It should be noted that *Mohrensternia* cfr. *angulata* is not regarded as an immigrant from the east, for the species appears already in the Lower Badenian formations here too (J. KÓKAY 1966).]

The formation was deposited, undoubtedly, in a seawater of reduced salinity. In fact, the *Hydrobia*-bearing bed seems to be approximately meso- to pliohaline-, and the lower *Pirenella*—*Mollusca*-bearing beds are of higher brachyhaline origin (20—25‰).

3. The middle ingressive bed (158.20—159.70 m) seems to have been deposited in a quite shallow-water sea a few metres deep, with a remarkable fauna. In the rich molluscan assemblage I could distinguish a total of 78 taxa (including one terrestrial only).

The formation may have been deposited in a seawater of normal salinity, though displaying the lower salinity limit. It may have been affected from time to time by upper-brackish ingestions, but the resulting "lido"-type deposits were reworked by surf action. The existence of salinity conditions other than euhaline is suggested by the frequency of philobrackish forms (e.g. *Theodoxus pictus*, *Pirenella nodosoplicata*, *Actaeocina lajonkaireana*, *Loripes dentatus*, *Solen subfragilis*). 30 philobrackish forms can be distinguished in the fauna, and 12 may occur in the Sarmatian as well. Most interesting, however, are the 10 forms indicative of E Paratethyan connections, for, on the one hand, even forms unknown in the other discussed profiles are present, and, on the other hand, some species have been preserved in a large number and in an excellent preservation state: *Bittium reticulatum konkensis*, *Venus (Timoclea) konkensis* (frequent), *Paphia secunda* (unfrequent), *Irus gregarius modestus*, *Mactra basteroti konkensis*, *Corbula michalskii*, *Pholas bogatchevi*, *Ph. bogatchevi tanaica*, *Barnea ustjurtensis sinzovi*.

My remarks concerning the presence of Euxinic-Caspian elements are as follows:

It was similarly in the lower third of the Upper Badenian sequence of borehole Mánya 192 that I found specimens of *Venus konkensis*. Frequent in borehole Perbál 6, these are somewhat smaller in size compared to both the type (SOKOLOV 1899) and to specimens known from the higher parts of other profiles (see, in addition, the description of the species).

The presence of members of the family Pholadidae is noteworthy. Forms belonging to the genera *Pholas*—*Barnea* are frequent, in the Eastern Paratethys, at the base of the Sartaganian (in the "Kartvelian" — a term no longer in use), primarily in sandy facies. From the Veselyankian they have not been reported yet.

It would be very interesting to see how many forms known in the E Paratethys as Mediterranean (Badenian) immigrants are associated with the 10 Konkian species in the rich fauna in question. The figure we should like to know is at least 30 [e.g. *Pirenella nodosoplicata*, *Polinices catena helicina*, *Retusa truncatula*, *Arca diluvii*, *Divaricella ornata*, *Loripes dujardini*, *Miltha suessi* (= *M. kolesnikovi*!), *Eastonia rugosa*, *Donax intermedia*, *Solen subfragilis*, etc.].

Moreover, I found in the bed, in addition, two hermatypal coral fragments which P. MÜLLER determined as *Siderastraea* cfr. *felixi* ROZK. and *Porites* sp. The two coral genera are the most tolerant ones, being capable of living down to the lower limit of normal salinity (28—30‰). They may even have been washed in from the ingressive bed underneath.

4. The lowermost ingressive bed is an argillaceous sandstone (166.70—167.0 m). Out of a total of 25 *Mollusca* forms recovered by decantation, 11 are philobrackish (including *Theodoxus pictus* and *Pirenella nodosoplicata* as rather frequent forms), while 5 are encountered even in the Sarmatian. The only Euxinic-Caspian form I found was *Paphia secunda*. The bed in question seems to have been formed with highest probability in an environment of upper brackish salinity (20—25‰) (Table 4).

Conclusions on the Late Badenian salinity conditions of the Mánya (Bieske) basin:

The deep line of the bay lay in the eastern half of the north-south striking basin range. In the northern and western marginal areas the coast was more or less lagooned. In the lagoons the seawater was more diluted than elsewhere. In the lagoonal basin portion, between Mánya and Zsámbék villages, even a completely freshwater regime was occasionally established, as proved by the sequence exposed in borehole Mánya 192 already discussed (thin lignite seams with freshwater molluscs). At the same time, in other boreholes, e.g. Perbál 5 or 6, there is no trace of such a freshening. In the eastern half of the embayment, such lagoonal freshening phenomena are not known in the exposures either. At Biatorbággy, the Upper Badenian deposits with pectinids and echinids suggestive of a seawater of normal

salinity are terminated by a 0.40 to 0.50-m-thick limestone bed in which the casts of dissolved shells and internal moulds of tiny Gastropoda can be seen (*Theodoxus*, *Alaba*, *Hydrobia*, *Sandbergeria*, etc.). This bed appears to represent the Veselyankian horizon. It is overlain by sandy Sarmatian beds with *Mactra eichwaldi*.

Upon the borehole sections discussed I attempted to delimit the horizon corresponding to the Veselyankian substage, pointing out by this circumstance the gradual decrease in salinity and the sprawl of faunal elements of E Paratethyan provenance. In boreholes Mány 8 and 192 and in the Ervilia limestone of Pécsvárad to be discussed hereinafter, in the topmost decimetres, it is, paradoxically enough, the E Paratethyan Middle Miocene species rather than the Badenian elements that prove that we are still beneath the Sarmatian. In fact, the forms restricted to the Badenian (and, consequently, to the Central Paratethys as well) did not endure any further decrease in salinity, whereas some of the eastern Middle Miocene species still did.

b) Balaton Highland

The Upper Badenian formations of the Balaton Highland were discussed in an earlier work (KÓKAY 1967) by the present writer. As shown by the author's studies, the sea transgressed to the study area from the south, from the main sea arm that extended south of (and by and large parallel to) what is now Lake Balaton. The transgression was directed towards the Tapolca Bay, but one side-arm, beneath the Balaton basin, extended to the northeast too, up to the median line of Tihany Peninsula.

Borehole Tihany 62

Spudded along the western shore of the peninsula, borehole Th. 62 intersected Upper Badenian formations.

In the interval of 129.40–158.00 m, it traversed an Upper Badenian sequence (Fig. 6). From 147.00 to 149.50 m there were ill-preserved molluscs of lower brackish character dominated by *Pirenella nodosoplicata*. *Cardium mányense* was also found by the author in the carbonaceous clay. From 129.40 to 144.90 m there is a Leithakalk sequence with a molluscan assemblage resembling the Mollusca fauna of the Örs vezér tér and Kerepesi út sites in Budapest. Beneath the Sarmatian formations the upper 20 cm of sandy limestone contain *Venus (Timoclea) konkensis*, a Ponto-Caspian species, in great abundance, with specimens of normal size. It is accompanied, among other forms, by Badenian, for the most part philobrackish, species such as *Divaricella ornata*, *Donacilla cornea*, *Gastrana fragilis*, etc. Another oriental species, *Ervilia trigonula*, is present too.

The formation most resembles the fauna of the sandy limestone reported from borehole H. 34 in Budapest, in which *Venus kokensis* is also present. The formation observed in the borehole in Tihany is considered to be pre-Veselyankian too. The Veselyankian here seems to have been lost to erosion prior to the Sarmatian transgression.

Borehole Balatonakali 40

In borehole Bak. 40 put down at a distance of about 1 km northwest of Balatonakali village, the interval of 31.30 to 43.00 m is spanned by an Upper Badenian sequence constituted in its bulk by limestone and containing a rich Mollusca fauna (Fig. 6). The Mollusca fauna sampled from 31.60 to 43.00 m is one of purely marine E Paratethyan provenance including no philobrackish element.

All the more interesting for this study has been, however, the final bed between 31.30 and 31.60 m. In fact, a total of 25 taxa could be identified from the external moulds recovered from the limestone bed. Of these, 19 are philobrackish, 13 may occur in the Sarmatian as well and 12 suggest a Crimo-Caucasian provenance. These are as follows (Table 2): *Calliostoma angulata spirocarinata*, *Bitium reticulatum konkensis*, *Modiolus incrassatus*, *Taras rotundatus caucasicus*, *Cardium ruthenicum*, *C. irregulare*, *C. obsoletum*, *C. cfr. fischeriforme millelocum*, *C. cfr. paucicostatum* var., *Ervilia trigonula*, *E. pusilla dissita*, *Mactra basteroti konkensis*.

The formation in question contains a fauna intermediate in character between the Veselyankian limestone of Örs vezér tér and the Ervilia limestone of Pécsvárad. It represents the final member of the Upper Badenian sequence and I, for reasons listed in the discussion of the preceding profiles, consider it to be equivalent to the Veselyankian substage.

The thin bed is overlain conformably by the Sarmatian limestone sequence. The basal 10 cm of detritus at the base of the Sarmatian consist of unrounded clastics of the Veselyankian limestone, enclosed in variegated bentonite with common clay. That part of the Upper Badenian lost to erosion could not be too large.

Table 4 – 4. táblázat

Upper Badenian molluscs from the borehole Perbál 6

A Perbál 6. sz. fúrás felső-bádeni Molluszáj

		Occurrence – Előfordulás		Origin – Eredet		Estimated salinity demand Becsült szalinitási igény	
Fauna				E. Paralethys	Sarmatian	Oligo-miohaline	Brachyhaline
		1					
	Bivalvia :						
	<i>Arcella (Anadara) diluvii</i> LAMK.						
	<i>Arcella (Acar) clathrata</i> DEFER.						
	<i>Glycymeris</i> sp.						
	<i>Musculus bijornis</i> Rss.						
	<i>Mytilus</i> sp.						
	<i>Anomia</i> sp.						
	<i>Ostrea</i> sp.						
	<i>Cardita (Glans)</i> cfr. <i>rudista</i> LAMK.						
	<i>Lunaria nivalis</i> Ress.						
	<i>Loripes dentatus</i> DEFER.						
	<i>Loripes dujardini</i> DESH.						
	<i>Taraxacum holubicensis</i> FRIEDB.						
	<i>Divaricella ornata</i> AG.						
	<i>Milha suessi</i> KAUT.						
	<i>Myriae spinifera</i> MONT.						
	<i>Ericina (Hemilepton) monilida</i> KAUT.						
	<i>Solecardia (Spaniorinus) austrooculata</i> KAUT.						
	<i>Montacuta aff. miojerrugnosa</i> KAUT.						
	<i>Cardium mányense</i> KÓKAY						
	<i>Cardium</i> sp.						
	<i>Cardium</i> cfr. <i>ridali ritziense</i> SIEB.						
	<i>Parricardium</i> sp.						
	<i>Dosinia lupinus lineata</i> PULTN.						
	<i>Venus cincta fasciculata</i> Rss.						
	<i>Venus (Tivoclea) konkensis</i> SOK.						
	<i>Paphia secunda</i> BOG.						

	1	2	3	4	5	6	7	8	9	10	11	12	13	14	15	16
<i>Irus gregarius modestus</i> DUB.																
<i>Eryilia miopusilla</i> BOESCH																
<i>Domacilla cornea</i> POLI																
<i>Abra cir. parabilis attalica</i> MERKL.																
<i>Abra cir. alba</i> WOOD																
<i>Domax intermedia</i> HÖRN.																
<i>Domax</i> sp.																
<i>Macra basteroti konkensis</i> SOK.																
<i>Macra (Spissula) subtruncata triangula</i> REN.																
<i>Eastonia nitidis</i> MAYER																
<i>Solen subfragilis</i> EICHW.																
<i>Tellina (Moerella) donacina</i> L.																
<i>Gastrana fragilis</i> L.																
<i>Corbula carinata</i> DUJ.																
<i>Corbula basteroti</i> HÖRN.																
<i>Corbula (Varicorbula) michalskii</i> SOK.																
<i>Pholas bogatchevi</i> OSS.																
<i>Pholas bogatchevi tanica</i> OSS.																
<i>Barnlea usfjurtensis sinzovi</i> OSS.																
G a s t r o p o d a :																
<i>Tetmostoma woodi frequens</i> BOETTG.																
<i>Theodorus pectus</i> FÉR.																
<i>Theodorus pectus tuberculatus</i> SCHRÉR.																
<i>Skenea subnuda</i> BOETTG.																
<i>Hydrobia frauendorfi</i> HÖRN.																
<i>Hydrobia ventrosa</i> MONT.																
<i>Altanaria venus danubialis</i> COSSM. et PEYR.																
<i>Manzonia costata fahanica</i> MORG.																
<i>Mohrensternia cfr. angulata</i> EICHW.																
<i>Mohrensternia pseudoinflata</i> FRIEDB.																
<i>Rissónia steinbrennensis</i> SACCO																
<i>Adeorbis planorbillus</i> DUJ.																
<i>Adeorbis miobcarinatus</i> SACCO																
<i>Tornus ex gr. belgicus</i> GRIB.																
<i>Vernetus intortus</i> L.																
<i>Pivernella nodosoplicata</i> HULB.																
<i>Pivernella gamiliensis pseudoleodicta</i> STR.																

+ = rare — előfordul, X = few — kevés, O = common — gyakori, ● = abundant — tömeges

Table 4 - 4. táblázat (2)

	1	2	3	4	5	6	7	8	9	10	11	12	13	14	15	16
<i>Terebraria bidentata lignitaria</i> EICHW.	+	+	+	○	○	+	+	+	+	+	+	+	+	+	+	+
<i>Sandbergeria perpusilla</i> GRAT.				+	+	+	+	+	+	+	+	+	+	+	+	+
<i>Sandbergeria spiralisissima elongata</i> FRIEDB.					+	+	+	+	+	+	+	+	+	+	+	+
<i>Alaba costellata anomala</i> EICHW.																
<i>Bilium reticulatum</i> DA COSTA																
<i>Bilium reticulatum konkensis</i> SOK.																
<i>Bilium subgranosum evolutum</i> COSSM. et PEYR.																
<i>Bilium spina</i> PARTSCH																
<i>Cerithium europeum</i> MAY.																
<i>Cerithium prorenatum</i> SACCO																
<i>Newtoniella derlobicularis agibetica</i> ZHIZH.																
<i>Scala (Fuscoscala) turonis</i> TOURT.																
<i>Polinices caena helicina</i> BROCC.																
<i>Nassa dorsaniformis</i> SVAGR.																
<i>Nassa nigardini longistria</i> BEER-BISTR.																
<i>Clavatula dodderleinii brigittae</i> HOERN. et AU.																
<i>Mangelia plicatella</i> JAN.																
<i>Mangelia polycanthia paucicostata</i> SVAGR.																
<i>Mangelia submarginata</i> BON.																
<i>Conus</i> cfr. <i>antediluvianus</i> BRUG.																
<i>Conus</i> sp.																
<i>Terebra</i> ex gr. <i>bastieri</i> NYST.																
<i>Odontosomia plicata</i> MONT.																
<i>Odontosomia (Syrnoda) dubia</i> GRAT.																
<i>Eulimella nitidissima</i> MONT.																
<i>Turbonilla</i> sp.																
<i>Turbonilla pseudocostellata hoernesiana</i> SACCO																
<i>Pyramidelia plicosa</i> BRONN.																
<i>Ringicella auriculata paulucciæ</i> MORL.																
<i>Atlys miliaris</i> BROCC.																
<i>Retusa truncatula</i> BRUG.																
<i>Actaeocina tajonkaireana</i> BAST.																
<i>Cyllichna cylindracea convoluta</i> BROCC.																
<i>Gyrulus</i> sp.																
<i>Helix (Cepaea?)</i> sp.																
<i>Dentalium</i> sp.																

+ = rare — eljőfordul., × = few — kevés, ○ = common — gyakori, ● = abundant — tömeges,

S e a p h o p o d a :

Dentalium sp.

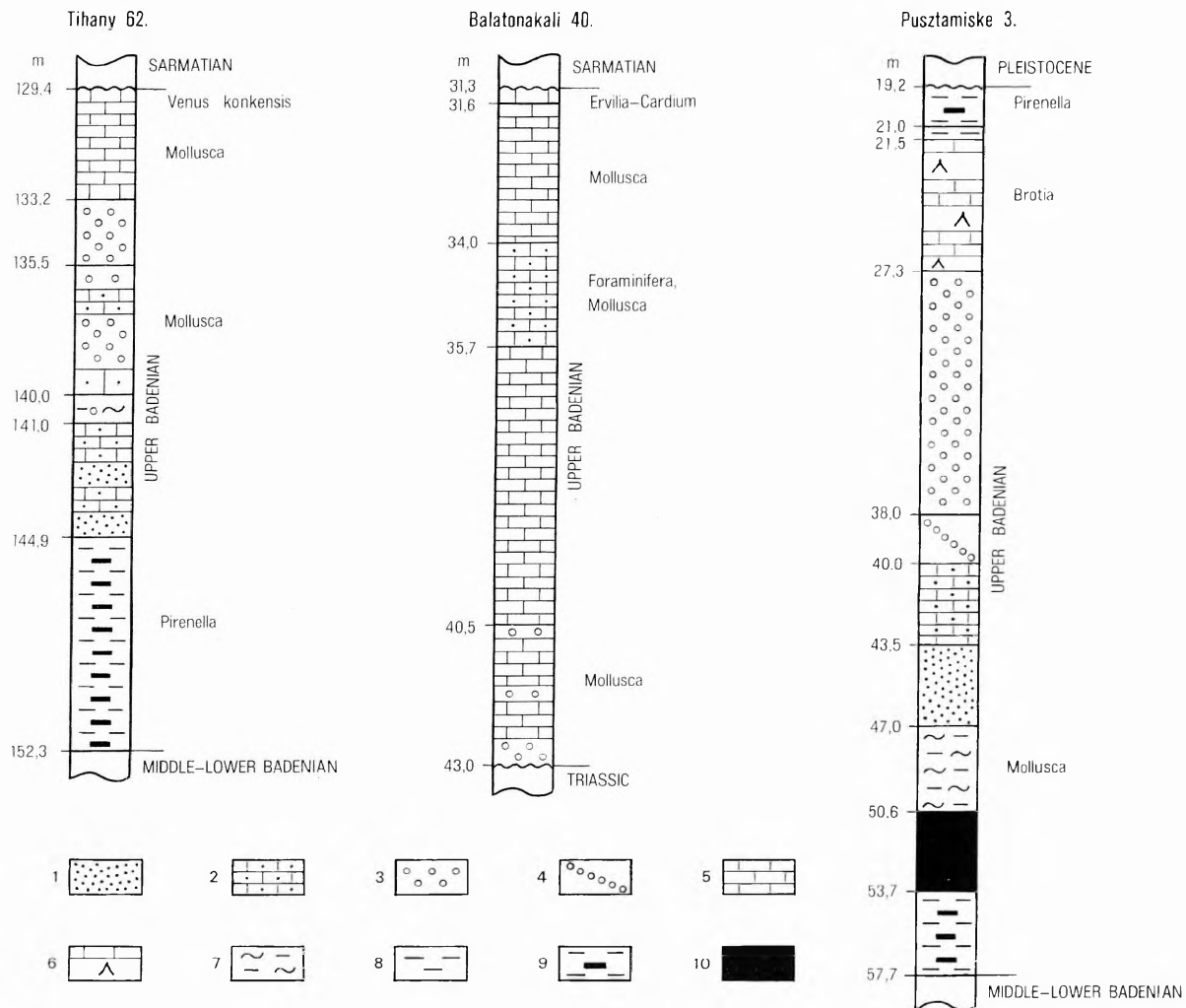


Fig. 6. Upper Badenian sections of boreholes in the Balaton Highland

1. Sand, 2. sandstone, 3. gravel, 4. conglomerate, 5. limestone, 6. limestone with traces of roots, 7. argillaceous marl,
8. terrestrial clay, 9. carbonaceous clay, 10. brown-coal

6. ábra. Balatonföldvári fúrások felső-bádeni szelvényei

1. Homok, 2. homokkő, 3. kavics, 4. konglomerátum, 5. mészkő, 6. gyökérnyomos mészkő, 7. agyagmárga, 8. szárazföldi agyag,
9. szemes agyag, 10. barnakőszén

c) Tapolca Basin

The westernmost occurrence of faunal elements of E Paratethyan provenance is in this sedimentary basin. In the light of surface observations, drilling and geophysical evidence it is obvious that the basin was open to the south and that it communicated with the main sea arm to the south of Lake Balaton. Minor "inlet"-type communications may have existed towards the Devecser-Nyírád basin as well. In the lower part of the Upper Badenian brackish-water sequence (47.00–50.60 m) of borehole Pusztamiske Pmt. 3, in the Nyírád Basin I found one juvenile specimen of *Cardium mányense* and *C. praeplicatum* each, but I found no other form indicative of E Paratethyan connections.

Borehole Hegymagos 78/18

Borehole Hg. 78/18 is located at the foot of the southern slope of Mt. Szentgyörgy. According to the borehole record, the transgression started in Early Badenian time and lasted on with no break in sedimentation in Middle and Late Badenian times. The separation of the Middle and Upper Badenian sequences upon micropaleontological evidence can be solved only with a standard deviation of

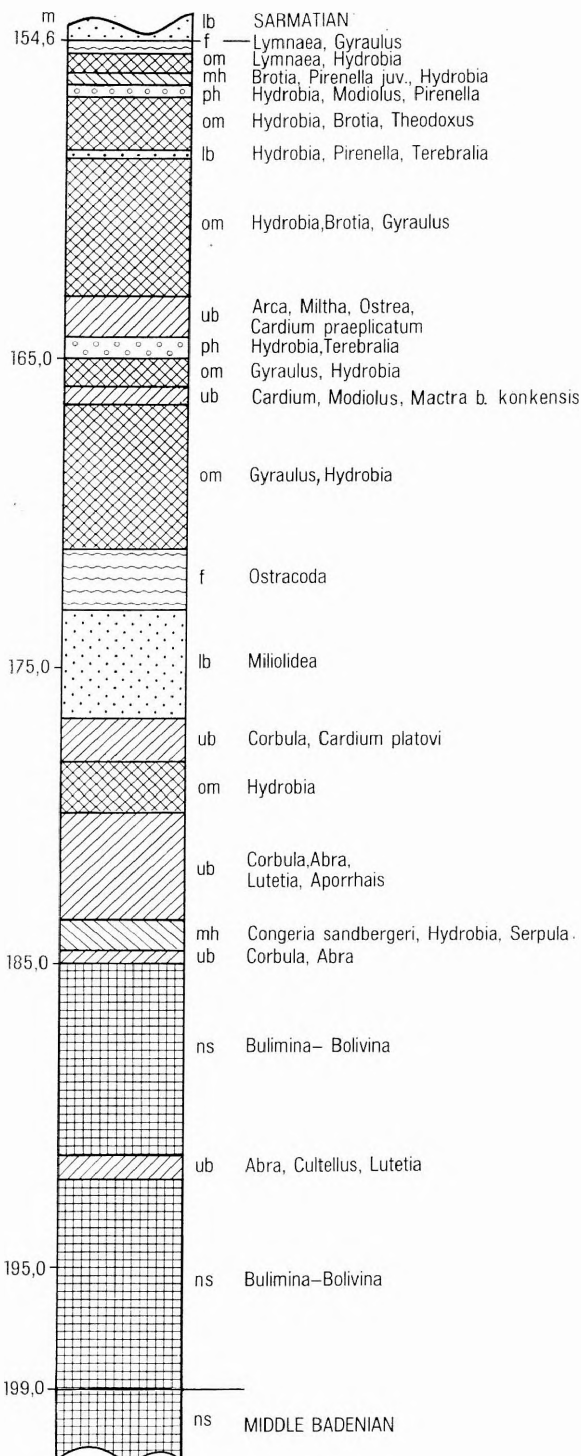


Fig. 7. Salinity pattern of the Upper Badenian sequence (of pelitic facies) of borehole Hegymagos 78/18

f = freshwater ($0.5\% >$), *om* = oligo-mesohaline ($0.5\% - 5\%$),
mh = mesohaline ($5.0\% - 9.0\%$), *ph* = plio-haline ($9.0\% - 16.5\%$),
lb = lower brackish-water ($16.5\% - 20.0\%$), *ub* = upper brackish-water ($20.0\% - 30.0\%$), *ns* = normal salinity ($30.0\% <$)

7. ábra. A Hegymagos 78/18. sz. fúrás felső-bádeni (pelites felépítésű) rétegsorának szalinitásvizszonyai

4—5 m. This uncertainty, however, is unimportant from the viewpoint of our study. Accordingly, the Upper Badenian sequence in the borehole spans the 154.60 to 199.00 m interval (Fig. 7). The formation consists of argillaceous sediments. Above 154.60 m, there is a Sarmatian calcareous marl and limestone sequence.

1. The topmost bed, 1.00 m of silt in the Upper Badenian sequence, is a freshwater or oligomesohaline deposit with *Limnaea*, *Planorbis*, *Gyraulus*, *Valvata* and *Hydrobia* species. It is underlain by beds with *Brotia*, *Hydrobia*—*Modiolus*, *Hydrobia*—*Pirenella* and *Hydrobia*—*Brotia*.

2. Between 163.00 and 164.30 m there are marls with a faunal assemblage indicative of an increased salinity (upper brachyhaline) with *Pirenella nodosoplicata*, *Arca diluvii*, *A. barbata*, *Ostrea* sp., *Taras rotundatus caucasicus*, *Miltha suessi*, *Cardium praeplicatum*, *C. mányense* and *C. platovi*. Considering that *Miltha suessi* is identical with the Konkian species *Miltha kolesnikovi* MERKLIN—NEVESSKAYA (1955), the assemblage in question might well occur in the E Paratethys as well. By the way, the deposit in question is the uppermost marine formation of comparatively higher salinity, but not Veselyankian in age yet.

3. In the 164.30 to 166.00 m interval, *Gyraulus*—*Hydrobia*-, *Terebralia*—*Hydrobia*- and *Ostrea*-bearing marl beds occur.

4. From 166.00 to 166.50 m *Cardium*—*Modiolus* marls were cut by drilling and the following fauna was recovered: *Pirenella nodosoplicata*, *Modiolus incrassatus*, *Cardium mányense*, *C. ruthenicum*, *C. platovi* juv., *Ervilia* sp., *Abra* sp., *Mactra basteroti konkensis*. The fauna is unambiguously of oriental character.

5. Between 166.50 and 180.00 m a depositional environment of gradually decreasing salinity is attested by the pertaining sedimentary sequence, though with recurrence of deposits of higher salinity therein. There are *Hydrobia*-, *Corbula*- and *Miliolidae*-bearing beds, deposits with ostracods indicative of a freshened environment and oligohaline *Gyraulus*—*Hydrobia* beds.

6. In the argillaceous marls from 180.00 to 183.50 m, the following Euxinic-Caspian forms were recognized: *Cardium praeplicatum*, *C. platovi*, *Venus* cfr. *konkensis*, *Abra alba scythica* and *A. parabilis attalica*. The most frequent associates are: *Aporrhais alatus*, *Loripes dentatus*, *L. dujardini*, *Lutetia nitida* and *Corbula gibba*. This is an assemblage of upper-brackish salinity.

7. The argillaceous marls of the 183.50—184.50 m must have been formed in a meso- to pliohaline environment. *Congeria sandbergeri* is quite frequent in them, though, in addition, *Hydrobia ventrosa*, *Gyraulus pavlovici* and *Serpula* sp. can also be encountered.

8. From 184.50 m down to the bottom of the borehole there is an argillaceous marl sequence with a poor marine Mollusca fauna and a *Bulimina*—*Bolivina* microfauna. Between 185.30 and

185.50 m, a rock interval characterized by the abundance of *Lutetia nitida*, two Konkian species, *Cardium platovi* and *Abra alba scythica*, were observed too. The oldest form indicative of E Paratethyan connections, *Abra parabilis attalica*, appeared between 192.50 and 193.50 m. In the bed between 191.30 and 192.10 m I found, in addition to Abra, the oriental forms *Paphia secunda* and *Cultellus scaphoides*.

Reflecting an environment on the way of freshening and already scarcely saline, the beds between 154.60 and 163.00 m still provably belong to the Badenian (e.g. *Brotia escheri* is never abundant in the Sarmatian, as it was sensitive to climate), but the identification of the horizon corresponding to the Veselyankian is already problematic, being suggested only by the order of stratigraphic succession. In these beds there is only one immigrant from the E Paratethys—*Modiolus incrassatus* (between 155.90 and 156.40 m).

Borehole Hegymagos 84

Borehole Hg. 84 was spudded at the southern foot of Mt. Szentgyörgy with coring at selected intervals. In the argillaceous marls with Mollusca and *Lutetia nitida* from the 150.20—152.00 m interval, I distinguished a total of 21 taxa. They include 13 philobrackish forms, only 3 may occur in the Sarmatian as well and 6 forms are indicative of E Paratethyan connections. Let us quote them: *Spaniodontella sokolovi*, *Cardium praeplicatum*, *C. mányense*, *C. platovi*, *Abra alba scythica* and *A. parabilis attalica*. From the 21 taxa, 17 may have lived in the eastern faunal province as well. Consequently, the general type of the fauna is of strongly E Paratethyan character.

* * *

The Tapolca Basin behaved for a considerable portion of the Late Badenian as a lagoon with the establishment of a completely freshwater regime, whereas, as shown by borehole Balatonakali 40, marine sediments of normal salinity were deposited farther east.

3. Mecsek Mountains

The Upper Badenian faunas determined from the borehole sections of the southern foreland of the Transdanubian Central Range show a kind of kinship as far as the E Paratethyan connections are concerned. This is quite natural, by the way, since the fauna of the eastern province is not so rich as to offer a very ample variability or too many combinations. In the greater, lower part of the Upper Badenian sequences of the localities along the Central Range, the number of elements confirming an E Paratethyan influence is essentially larger.

The lignite area of Hidas

The occurrence of “Solen-bearing” beds on top of the Upper Badenian was recorded already by M. FÖLDI (1966). After studies by I. SELMECZI (1982), that form appears to correspond to *Cultellus scaphoides*.

While processing core samples from borehole Hidas 92, I. SELMECZI pointed out the presence of *Abra parabilis attalica* and *Cultellus scaphoides* in the upper part of the Upper Badenian Turritella—Corbula-bearing clay sequence. The Turritella—Corbula clay is overlain, from 96.90 to 98.80 m, by light grey molluscan clays with calcareous silt differing in lithology from the underlying beds. SELMECZI reported from the clays the following taxa indicative of Ponto-Caspian connections: *Cardium rutherfordicum*, *Spaniodontella sokolovi*, *Abra alba scythica*, *A. parabilis attalica*, *Mactra basteroti konkensis* and *Cultellus scaphoides*. In the lower part of the bed, *Corbula gibba* and *Parvicardium* sp. are found as associates. The overlying sequence represents already the Sarmatian.

In accordance with the profiles discussed in the foregoing, I consider this terminal Upper Badenian formation to be equivalent to the Upper Konkian, i.e. Veselyankian, substage characterized by a high percentage of E Paratethyan elements.

The exposure of the highway to Pécsvárad

G. HÁMOR (1971) reported the Upper Badenian to Sarmatian section exposed by the 177th km mark, in a road-cut of the Budapest—Pécs highway without having studied the fauna in detail. As a result of my sampling and studies, I found the Upper Badenian Leithakalk sequence conformably overlain by 1.0 m of grey bentonitic clay with calcareous silt. In its washing residue there are lots of

Table 5 — 5. táblázat

Molluscs of the Ervilia limestone at Pécsvárad A pécsváradi erviliás mészkő Molluscái

	1	2	3	4	5	6	7	8	9	10	11	12	13	14
<i>Ervilia pusilla dissita</i> EICHW.														
<i>Abra reflexa</i> EICHW.														
<i>Abra alba scythica</i> SOK.														
<i>Mactra basisteroi</i> MAY.														
<i>Mactra basisteroi kankensis</i> SOK.														
<i>Mactra cf. andrušovi</i> KOLES.														
<i>Tellina (Moerella) donacina</i> L.														
<i>Gastrana fragilis</i> L.														
<hr/>														
G a s t r o p o d a :														
<i>Gibbula rybnicensis</i> FRIEDB.														
<i>Gibbula aquitanica multifilosa</i> COSSM. et PEYR.														
<i>Gibbula subulata</i> KOLES.														
<i>Gibbula cremenensis</i> ANDR.														
<i>Gibbula confessa</i> LIVER.														
<i>Gibbula cf. pseudangulata</i> BOERTG.														
<i>Calliostoma angulatum</i> EICHW.														
<i>Calliostoma angulatum spirocarinatum</i> PAPP														
<i>Calliostoma guttnerbergi</i> HILB.														
<i>Calliostoma anceps joanneum</i> HILB.														
<i>Calliostoma celinae</i> ANDR.														
<i>Theodoxus pictus</i> FÉR.														
<i>Hydrobia ventrosa</i> MONT.														
<i>Rissoina pusilla podolica</i> COSSM.														
<i>Mohrensternia pseudoflata</i> FRIEDB.														
<i>Turritella erronea</i> COSSM.														
<i>Pirenella picta mirabilis</i> EICHW.														
<i>Bilium deforme</i> HILB.														
<i>Cerithium europeum</i> MAY.														
<i>Cerithium boettgeri</i> SVAGR.														
<i>Cerithium aff. boettgeri</i> SVAGR.														
<i>Cerithium crenatum</i> BROCC. subjuv.														
<i>Polinices catena helicina</i> BROCC.														
<i>Nassa dorsaniformis</i> SVAGR.														
<i>Mitra ambigua hoernesii</i> MAY.														
<i>Clavatula doederleinii brigittae</i> HOERN. et AU.														
<i>Actaeocina lajonkaireana</i> BAST.														
<i>Actaeocina lajonkaireana buhllovensis</i> FRIEDB.														
<i>Retusa truncatula</i> BRUG.														
<i>Cyllichna meliopolitanus</i> SOK.														

* HÁMOR 1971.
+ = rare — előfordul, × = few — kevés, ○ = common — gyakori.

Foraminifera (practically only *Elphidium*) with an assemblage of Sarmatian type: *Elphidium fichtelianum* D'ORB., *E. aculeatum* D'ORB., *E. josephinum* D'ORB. and *E. listeri* D'ORB. The foraminiferal assemblage under discussion is of rather little use in deciding stratigraphic problems, for the species in question reacted to any decrease in salinity more sensibly than it was the case with the molluscs. For this reason, the association acquired Sarmatian features as early as the end of Late Badenian time.

Next to follow conformably is a light ochre-yellow fossil-rich limestone about 2 m thick characterized by a maze of *Ervilia* and by cavities or pores left over after the dissolution of the tests of these fossils. From the base, the middle and the top of the limestone bed, I collected about 30 kg of sample. The fossil assemblage I succeeded in identifying proved to be much richer than expected which was owed (Table 5), not in the last place, to the silicon rubber moulding technique. Besides *Ervilia*, frequent forms include *Modiolus incrassatus*, *Mactra* and *Trochus* species and *Pirenella picta mitralis*. I could distinguish a total of 64 taxa, including 30 Gastropoda and 34 Bivalvia. [Added to them are two species reported by HÁMOR (1970): *Venus konkensis* and *Congeria sandbergeri*.]

Of the 66 forms, 27 occur in the Sarmatian as well; 26 are indicative of the Badenian (e.g. *Arca diluvii*, *Chlamys elegans*, *Pitar islandicoides*, *Tellina donacina*, *Rissoina pusilla podolica*, *Turritella erronea*, *Cerithium crenatum procrenatum*, *Mitra ambigua hoernesii*, etc.). About 80% of the Mollusca assemblage may be regarded as philobrackish. 29 of the 66 taxa are indicative of E Paratethyan connections, including 10 forms of pre-Sarmatian age [*Paphia* cfr. *secunda*, *Abra alba scythica*, *Actueocina lajonkaireana buhlorensis*, *Modiolus incrassatus sultanensis*, *M. incrassatus buglovensis*, *Cardium (Acanthocardia) platovi*, *Taras rotundatus caucasicus*, *Mactra basteroi konkensis*, *Gibbula confessa*, *Venus (Timoclea) konkensis*].

The analysis of the Mollusca fauna leaves no doubt that the *Ervilia* limestone lying at the top of the Badenian sequence, immediately beneath the Sarmatian, still belongs to the Badenian stage and that, in accordance with the profiles described in the foregoing, it corresponds to the Veselyankian substage of the Eastern Paratethys (Table 5). The salinity of the seawater must have ranged between 18 and 22‰ with an upward-decreasing character, for the uppermost 20 cm did no longer contain any characteristically Badenian element. The pre-Sarmatian age can be evidenced by E Paratethyan Middle Miocene forms.

Other fossils recovered from the *Ervilia* limestone are as follows: Foraminifera: *Spirolina rimosa ukrainica* DÍDK. and Miliolidea; Vermes: *Serpula* sp.; Echinodermata: *Asteroidea (marginalis plate)*; Algae: *Lithophyllum (?)* sp. (calcareous algal lumps, quite seldom); *Chalmasia moreletti* POKORNÝ.

Similarly to the case of the Órs vezér tér locality, the Badenian sequence is followed first by a calcareous silt bed. The *Ervilia* limestone is overlain by coarse basal gravels of the Sarmatian sequence. The surface of contact is not uneven and no detritus from the underlying formation is present in the gravel. Thus the emergence involved seems not to have been so marked as to lead to erosion, unlike it was the case with, say, the Keresztúri út exposure in Budapest.

II. OTHER OCCURRENCES OF E PARATETHYAN IMMIGRANTS INTO THE CENTRAL PARATETHYS

The data available as to the occurrence of faunal elements deriving from the E Paratethys are just sporadic and, in most cases, uninterpretable. Hardly any form worthy of being quoted is there among them and even the volume "Paratethys-Badenien" (M_4) issued in 1978 was restricted in this respect to noting (A. PAPP—J. SENEŠ 1978, p. 54): "Das Konkien greift über die Schwelle Podolien—Dobrodgea, und hatte wahrscheinlich eine engere Verbindung mit der Karpatischen Vortiefe und indirekt mit der Zentralen Paratethys." The classic "Buglovian" (V. LASKAREV 1903) is known only from the Carpathian fore-deep, the sub-Carpathian zone, though the Roumanian authors (E. SAULEA 1956; E. POPA-DIMIAN 1962; B. IONESI 1968) reported it farther south as well. The problem was further complicated by the widening of the Buglovian upwards at the expense of the Sarmatian (MARINESCU—SENEŠ 1974). The Buglovian controversy, however, should now be regarded as being already settled (LASKAREV 1903), as was referred to in introduction. (On the basis of priority, the term Veselyankian is more correct.)

Even within the Carpathian Basin have I found sporadic data concerning the presence of Middle Miocene faunal elements of Ponto-Caspian provenance:

— The data on the occurrence in the Transylvanian Basin and its marginal areas figuring in the literature are rather vague. The Buglovian in general has been used in a wide sense, i.e. extended so as to include the lower part of the Sarmatian as well (A. VANCEA 1960, pp. 40—52).

By virtue of I. LÖRENTHEY's report (1913a, p. 63—64), it is highly probable that the fauna recovered from the basal beds of the bedded limestone overlying the "Upper Mediterranean" marine sequence on the western margin of the Transylvanian Basin (Nagyenyed) is of Veselyankian (Buglovian) character and similar to its counterparts reported from Pécsvárad, Balatonakali and Örs vezér tér (Budapest). Unfortunately enough, I have found no up-to-date revision of the fauna in the literature available to me.

— SENEŠ (1955), having studied drilled and exposed Upper Badenian sequences along the eastern side of the Presov—Tokaj range in E Slovakia, published data on a Crimo-Caucasian influence and gave a detailed analysis of the fauna. Having lived in a brackish-water environment, the rich Mollusca fauna from the upper part of the Upper Badenian sequence includes, among a total of 90 taxa, about 13 forms indicative of Crimo-Caucasian connections. (I have not taken into consideration the new Mohrensternia taxa which, in my opinion, belong to the genus Alaba and thus cannot derive from an eastern source. I have not included in the list the new subspecies of *Cardium andrusovi* either, because it may represent subjuvenile specimens of *C. vidali ritzingense* which, in turn, is quite common in the Upper Badenian argillaceous facies.)

The sequence seems to be stratigraphically equivalent to the top of the Sartaganian substage, as it still contains a lot (about 30) of species indicative of a Badenian age. The total number of forms represented in the E Paratethys as well is 43 from the 90 taxa of the fauna.

Although showing a brachyhaline character, the deeper intervals contain no Crimo-Caucasian faunal element. A rich Mollusca fauna (85 taxa) is reported and analyzed from a locality close to the northeast national border of Hungary (Kuzmice) by ŠVAGROVSKY (1960), but no Crimo-Caucasian form is quoted.

— J. TEJKAL (1968) quoted and figured a *Lutetia (Davidaschvilia)* cfr. *intermedia* BAJ., an important Chokrakian species, from the upper part of the Upper Badenian sequence in borehole Želiezovce ZI. 2, S Slovakia, close to the western margin of the Börzsöny Mountains in Hungary. Regrettably enough, I do not consider its conditional determination as acceptable, because, on account of its seemingly injured hinge apparatus, it cannot be assigned even to the genus in question.

Much more essential is, however, the form *Abra parabilis attalica* published by the afore-mentioned author, since this one is quite frequent in the borehole section. He indicates its presence already in the Middle Badenian, while in Hungary it is known only from the Upper Badenian (Tapolea Basin). Accordingly, it either immigrated from the E Paratethys already in the Middle Badenian or

it had come already earlier from the Mediterranean to the Carpathian Basin (see the description of species), to migrate from here further to the Eastern Paratethys.

— It is KOROBKOV (in J. SENEŠ 1951) who reports, from the Upper Badenian ("Apshinskian") of the Carpathian Ukraine, some E Paratethyan forms such as: *Cardium andrussovi*, *Ervilia trigonula*, *E. pusilla dissita*, and *Mohrensternia hydrobioides*. SENEŠ (1955, p. 147) pointed out the following: "Man muss also einen paläogeographischen Zusammenhang mit den osteuropäischen Gebieten im Obertorton voraussetzen, wie es schon die Arbeit von KOROBKOV (1951) beweist."

— As observed by MARINESCU and SENEŠ (1974, p. 137–138), regarding what these authors took to be the Buglovian s. str., "Ihre zeitlichen und nahezu auch faziellen Äquivalente sieht man im Intrakarpatischen Raum in der 'Rotalien Zone' des Oberen Badenien".

This horizon in the Vienna and Styrian Basins (A. PAPP—I. CICHA—J. SENEŠ—F. STEININGER 1978) corresponds to the zone of impoverishment ("Verarmungszone").

— In Yugoslavia, M. LUKOVIĆ (1922) reported Cerithium-bearing limestones from the Upper Badenian near Belgrade, but he did not quote any species of E Paratethyan provenance. STEVANOVIĆ (1960), in describing the Neogene of Yugoslavia (p. 193), laid special emphasis on the following statement: "Buglowka-Schichten (Buglovien) wurden westlich von den Karpaten bis jetzt nicht mit Sicherheit festgestellt".

III. PALEOECOLOGY AND PALEOGEOGRAPHY

1. On the salinity of the Konkian sea

To fit the localities studied and discussed in an uniform paleogeographic frame, let us tackle first of all the salinity of the Konkian in the E Paratethys.

The earlier standpoint generally adopted (e.g. N. ANDRUSOV 1897, 1916; S. S. OSSIROV 1932) was that the sediments of the Konkian had been deposited in a brackish-water environment of higher salinity compared to that of the Sarmatian. In the course of subsequent stratigraphic studies it became obvious that the splitting of the Konkian sequence into two parts (substages), an upper, Veselyankian, and a lower, Sartaganian one, was justified. Following this statement, the opinion that the Sartaganian deposits are euryhaline formations owing to their containing a Mollusca fauna of euryhaline character or euryhaline elements admixed to non-euryhaline ones, was generally shared in the literature (R. L. MERKLIN 1953; R. L. MERKLIN—L. NEVESSKAYA 1955; B. ZHIZHCHENKO 1959; E. POPA-DIMIAN 1962; B. STRACHIMIROV 1971; F. STEININGER—L. NEVESSKAYA 1975).

The opinion that the Sartaganian deposits are euryhaline is based primarily on MERKLIN's standpoint and, principally, on three factors:

1. The Sartaganian contains a relatively rich Mollusca fauna. From the whole Konkian, L. NEVESSKAYA—K. BAGDASARYAN—T. GONCHAROVA (1979) listed a total of 62 Bivalvia taxa. In Budapest, only from the Upper Badenian exposed at the Örs vezér tér and Keresztúri út sites, I determined 161 Bivalvia taxa (KÓKAY—MIHÁLY—MÜLLER 1984). In the Central Paratethyan area the number of Upper Badenian Bivalvia taxa is the multiple of this figure. In the same area, the Upper Badenian formations contain a Mollusca fauna that is at least ten times richer than the Konkian. Compared with modern data, this very fact alone suggests that the Konkian sea was a brackish-water environment (at least in the uppermost few tens of metres). SKARLATO—STAROBOGATOV (1972) reported a total of 96 Bivalvia taxa from the Black Sea.

2. They refer to some forms as stenohaline (or, for that matter, euhaline) which is by far not so clearly the case. These include, e.g. *Glycymeris pilosus*. The species lives in the Sea of Marmara in a water of 25 to 28‰ salinity, at a depth of 18 m (OSTROUMOV 1896, depth sample: No. 40). What I can add to this, however, is that in the Ervilia limestone bed of Keresztúri út locality, a sediment deposited in a water of 20 to 22‰ salinity, juvenile specimens of *Glycymeris obtusatus* can even be found.

Likewise, *Dosinia exoleta*, *Chama gryphoides* and *Guldia minima* occur in the Sea of Marmara, in the 5 to 8 m depth interval, at 22 to 23‰ salinity. I observed the species *Oxystele orientalis* in the Cerithium limestone of Keresztúri út and, in subjuvenile form, I found it even in the Ervilia limestone. I discovered one specimen of *Pitar islandicoides* in the Ervilia limestone of Pécsvárad too. This means that it was found in a brachyhaline formation. As for *Miltha kolesnikovi*, I take it to be identical with *M. suessi* which sometimes abounds in sediments formed in higher brachyhaline environments in the Central Paratethyan Miocene (mainly in gulf facies) (KÓKAY 1966).

To scrutinize the problem for each species separately would be superfluous, for it follows from the probable stratified structure of the Konkian sea that the environment showed a downward increase in salinity. Consequently, the forms of higher salinity demand seem to have occurred with higher probability at comparatively greater depths, too.

3. MERKLIN's arguments include, among other things, that *Psammechinus* sp. does occur, no matter how unfrequently. In this context, I should like to remark that in the Sea of Marmara, *Echinus microtuberculatus* BL. lives at 5 to 8 m, on a bottom of about 22‰ salinity, whereas *Echinocymamus pusillus* MÜLL. was observed to have penetrated into the "prebosphoric" zone of the Black Sea (20 to 21‰ salinity).

The Konkian beds lack any really rich euhaline faunal and floral assemblage, being characterized by Echinoidea, Pectinidae, Hexacorallia, Heterostegina, planktonic, etc. assemblages and by extremely varied biofacies.

As already referred to in the foregoing, a striking consequence of the reduction in salinity is a reduction in the size of the molluscs and the simplification of their morphological features. This is particularly remarkable in the case of *Cardium* and *Cerithium* forms.

Summarizing the preceding discussion, let us conclude that the upper zone of the Konkian sea may have had a salinity higher than 25‰. In the proximity of the major contemporaneous deltas, however, the salinity must have been lower than that figure.

2. The role of sea currents

In our comparative faciological analysis of the "Upper Limestone" sequences of Örs vezér tér and Keresztúri út localities in Budapest, we already explained the reasons responsible for the transition within a few hundred metres of lateral distance of limestones deposited in a seawater of normal salinity to Ervilia- and Cerithium-bearing limestones, i.e. deposits formed under strongly different salinity conditions. Thus the Central Paratethys witnessed, in Late Badenian time, the establishment of a hydrodynamic regime that was similar to the sea current pattern of the present-day Sea of Marmara. In the following discussion I shall try to answer the arising questions as follows:

— The communication between the Central and Eastern Paratethys is to be looked for east of the Carpathians, between the Podolian Massif and the Moeasian Platform (Dobrudja)—a statement usually agreed on in the relevant literature (N. ANDRUSOV 1897; F. STEININGER—F. RÖGL—C. MÜLLER 1978).

— The connection between the Central Paratethys and the "Mediterranean" was most probably traceable at the southeast foothills of the Alps, across what is now Slovenia, towards N Italy. (Should we look for a connection with the Mediterranean elsewhere, the quintessence of the matter would not change either. In other words, the Central Paratethys then played the role of a lock-chamber between the Eastern Paratethys and the Mediterranean, and the only thing that might be added is that the paths of sea currents were a little bit different.)

As far as the two straits ensuring the communication are concerned, it is their depth rather than their width that is crucial. Let me quote as an example that the water of the Black Sea from 170–180 m depth down to the greatest depths has a salinity of 22.5‰ which corresponds to the average of the uppermost few metres in the Sea of Marmara. This is due to the fact that the representative depth of the Bosphorus is only 30 m and thus the seawater of higher salinity cannot penetrate into the Black Sea basin.

In Late Badenian time the dept hof the afore-mentioned western and eastern connecting troughs may have varied between 200 and 300 m. This depth was already enough to allow the representatives of Spiratella and other planktonic organisms living at similar depths to penetrate into the basins of both the Central and Eastern Paratethys.

I should like to make the following remarks:

1. On account of the deeper straits the limit of the anoxic zone must have lain deeper than was the case with the Black Sea (200 m).

2. The possibility for killing masses of Spiratella and possibly for their necroplanktonic accumulation by the sea currents was assured, for Pteropoda are extremely sensitive to environmental impact such as exposure to brackish-water, anoxic environment, etc. which was fatal for them. Mass accumulation of their tests produced the Pteropoda or Spiratella marls. Consequently, it is no accident that such formations occur most frequently in the vicinity of the Podolia—Dobrudja Gate. Nota bene, Pteropoda deaths due to similar causes were reported from the Dardanelles by ANDRUSOV (1897).

The Late Badenian sea currents pattern of the Paratethys is shown in Fig. 8. Basic distinction should be made between an upper (low specific weight and reduced salinity) and a lower (more heavy and of normal salinity) current. Hence, the lower sea current entered the graben range of roughly W—E strike that was extending at the southeast foot of the Alps. Thus it penetrated into the Central Paratethys, having carried the seawater of normal salinity from the Mediterranean. After entering the Central Paratethyan basin, it trifurcated. The sea arm that turned to the north progressed towards the Vienna Basin and W Slovakia. The southern arm flowed along the Sava Basin southwards, towards Belgrade, then farther on, into the Gethic depression in the southern foreland of the Carpathians. Running farther, the sea current turned then to the northeast, to finally reach the Dobrudja—Podolia Gate.

Flowing in from the Mediterranean, the middle sea arm went on northeastwards without any remarkable change in direction towards the Lake Balaton trough, i.e. the main sea trench that extended in the southern foreland of the Hungarian Central Range. Turning eventually progressively to the east at the southern feet of the Tokaj Mountains, it entered the Transylvanian Basin through the "Szatmár Gate" in the region of Zilah (Zălău). Through the E Carpathian arc, then still open,

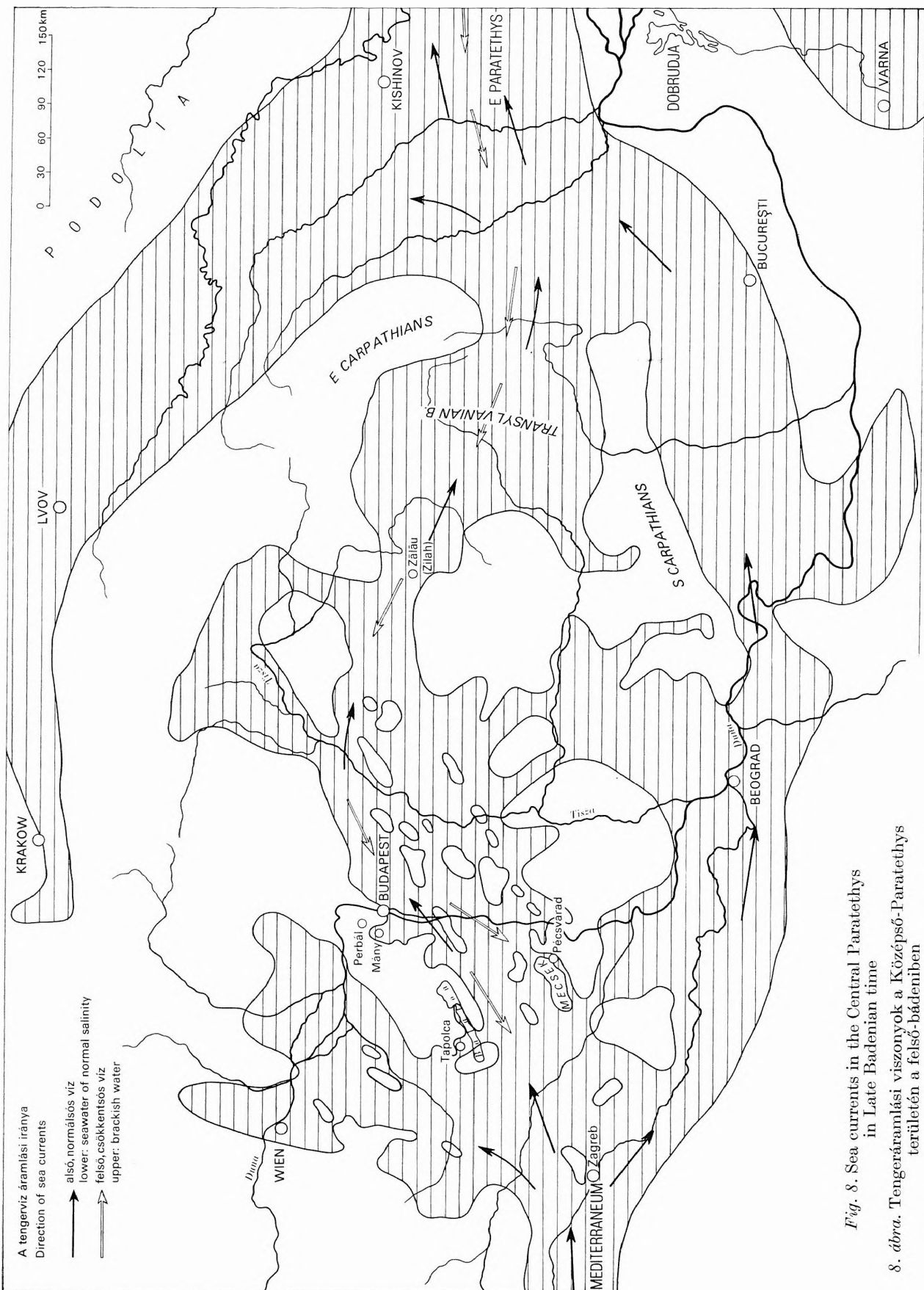


Fig. 8. Sea currents in the Central Paratethys

in Late Badenian time

8. ábra. Tengeráramlási viszonyok a Középső-Paratethys területén a felső-bádenben

the middle sea-arm secured the supply of normal-saline seawater into the NNE foredeep of the Carpathians and, joining the southern sea-arm, it flowed into the Eastern Paratethys through the Podolia—Dobrudja channel.

The main path of the upper sea current was the middle arm. Extending as far as the Aral Sea, the E Paratethyan basin received, obviously, plenty of freshwater and the environment that was cooler than the climate of the Mediterranean involved less evaporation (see the modern Black Sea). As a result of the narrow, one-way sea communication, the upper water layer of the sea was reduced in salinity in a thickness of 30—50—100 m or so with a salinity of approximately 20 to 25‰. At the top the bulk of the water of low specific weight broke through the Podolia-Dobrudja Gate, to flow farther west. Having passed the still open E Carpathian arc, it penetrated into the Transylvanian Basin. It is not improbable that a connection between the Bihar and Apuseni Mountains and the S Carpathians also existed towards the west, but the conditions for sea current movement in the northwest corner of the Transylvanian Basin through the "Szatmár Gate" seem to have been more favourable. Thus the upper water layer that was flowing in from the east passed farther on along the Tokaj Mountains and then along the southern side of the Hungarian Central Range. Between the Central Range and the island range subparallel to it (G. HÁMOR—K. SZENTGYÖRGYI 1981, Fig. 13), conditions favourable for the formation of a current-diverting trough evolved. Moving at the top the brackish-water layer became gradually thinner on the one hand and decreased in salinity on the other. (For more detail, see later in this volume.)

Arriving from the Crimo-Caucasian Basin, the sea current is traceable as far as the southwest tip of the Hungarian Central Range, i.e. to the Tapolca Basin. In the further course of the process, the normal-saline seawater that was flowing in opposite direction at the bottom was diluted or its salinity had already become so high (28—30‰) that the eastern faunal elements of lower salinity demand could not endure it anymore. That all these suggestions are merely a hypothesis is supported by an interesting fact: in the borehole Hg. 84 put down in the Tapolca Basin *Cardium (Acanthocardia) platori* is represented by specimens as big as 30 mm in diameter, whilst its representatives elsewhere correspond in size to that given by BOGATCHEV. This fact induces us to draw the following two conclusions:

1. The species preferred an environment of higher salinity, a brackish-water having been unfavourable for it. 2. It follows from the foregoing that the species in question came from the Mediterranean, i.e. from an environment of higher salinity (see description of species).

On evidence of the above, there is thus no reason for looking for places where Crimo-Caucasian on-migrants from the Central Paratethys occur in Mediterranean Miocene formations. This is all the more so, because some of the alleged oriental endemic forms are in reality Mediterranean immigrants reduced in size and morphology (ornament). [Even the 2 to 3 endemic forms that have migrated from the Black Sea to the Sea of Marmara do not migrate on, to the Mediterranean Sea (A. N. GOLIKOV—J. I. STAROBOGATOV 1972). Black Sea molluses *Abra nitida milachevichi* and *Setia valvatooides* still endure the upper water of 21 to 24‰ salinity of the Sea of Marmara, but can no more endure the 38 to 39‰ salinity of the Mediterranean Sea.]

Of course the hydrodynamic regime just outlined changed in time as well. In the Late Badenian the eastern influence was initially but little. The typical faunal elements then occurred only at such localities, where some other local factors such as a more or less landlocked or diluted bay were involved. It is also very likely, however, that the upper zone of the seawater column had already been reduced in salinity by that time, to some extent below the 35‰ level of the World Ocean. As shown by P. MÜLLER (personal communication), the coral reef uncovered at the Rákócs "vasúti delta" site in Budapest is composed of *Porites* sp. The Porites species even now belong to among the most tolerant hermatypic corals capable of persisting down to the lower limit of normal salinity (28—30‰). (See also boreholes Mánya 192 and Perbál 6.)

A situation similar to that of the Sea of Marmara may have existed in that case, when between water and salt content an equilibrium was established. Notably, if normal-saline seawater was arriving continuously from the World Ocean, two alternatives could happen to the salt it contained: 1. the salt content increased up to the extent of evaporite formation; 2. the water was diluted (by influx from the E Paratethys) and it flowed back by an upper current to the World Ocean.

Since no salt deposit was formed in the Central Paratethys in Late Badenian time, the second alternative must be valid. However, the effluent seawater could not have a concentration lower than 28 to 30‰, as the Crimo-Caucasian fauna of lower salinity demand would have been removed to the Mediterranean.

For a more comprehensive understanding of the saltwater input-output, let us consider the conditions existing in the modern Sea of Marmara: on the bottom an Aegean seawater of 39‰ salinity is flowing in through the Dardanelles, while the Bosphorus lets 22.5‰ water flow into the Black Sea. From the latter a water of 16 to 18‰ salinity flows back. This upper sea current of gradually increasing salinity 25 to 26‰, empties, through the Dardanelles, back to the Aegean Sea.

The Central Paratethys at the geological time under discussion witnessed a similar situation. In other words, the Central Paratethys was playing the role of a "lock-chamber", similarly to the case of the present-day Sea of Marmara.

In the last third of the Late Badenian a progressively increasing E Paratethyan influence is observed, as evidenced by the mass of data here presented, though the phenomenon is confined to certain areas of the Central Paratethys. The growing eastern influence is explained by tectonic movements, i.e. very probably by the emergence of the Dinarides which seems to have taken place when the floor of the depression that provided a means of communication with the Mediterranean began to rise and, hence, the sea became shallower. Thus the critical depth already referred to (in the case of the Bosphorus) diminished.

3. The problem of Indo-Pacific connections

In recent literature the possibility that the Eastern Paratethys may have been connected with the Indo-Pacific was suggested (F. RÖGL—C. MÜLLER 1976; F. F. STEININGER—F. RÖGL—C. MÜLLER 1978). This suggestion was based primarily on the appearance of some nannoplanktonic elements in Late Badenian time, though to explain the presence of some unusual oriental Mollusca species by such a connection was also attempted. Not being a nannoplankton specialist, I do not wish to take a stand on this matter, noting that the statement of RÖGL and MÜLLER (1976) saying (p. 225) that "... *Rhabdosphaera poculi* und *Nannocorbis challengerii*, die für Walbersdorf typisch sind im Mittelmeer praktisch nicht beobachtet worden" is not at all convincing.

In analyzing the Bivalvia fauna of the Eastern Paratethys, NEVESSKAYA—BAGDASARYAN—GONCHAROVA (1979) rejected the presence of Indo-Pacific elements. However, what they suggest is the occurrence of six species of unknown provenance in the Konkian (p. 897). Regarding four of these, I should like to note the following:

1. *Venus konkensis* (see description of species).

2. *Gafrarium eximum* HÖRN. I found specimens of *Gafrarium eximum* HÖRN. already in the lower part of the Middle Badenian marine sequence of Budapest. Stratigraphically, this corresponds to the top of the Chokrakian. In the east, however, the earliest appearance of the species is in the Konkian (Sartaganian substage). This implies that the species in question migrated here from the Mediterranean in Middle Badenian time, to migrate further on, to the Konkian sea in Late Badenian time. (Nota bene, it liked an environment with a salinity of 20‰ or so, as it occurs more frequently and is more specialized in Ervilia- and Cerithium-bearing deposits.)

3. *Paphia vitaliana* d'ORB. It is well justified to suppose that *Paphia vitaliana* d'ORB. is a descendant of *Tapes sacyi* COSSMANN et PEYROT. (For further details, see description of *P. vitaliana infrasarmatica* in the paleontological part.)

4. *Lutetia (Alvenius) nitida* REUSS. Quite common in the Central Paratethys, *L. (Alvenius) nitida* REUSS was already shown to occur in abundance in the Lower Badenian (KÓKAY 1966).

The present writer supports his disproving a possible connection with the Indo-Pacific realm also by the evidence the present study provides in showing what happens in the case when two faunal provinces get interconnected. A modern example for this is provided, in addition, by the opening of the Suez Canal. Since its opening (1869), Indo-Pacific Mollusca have been continuously migrating through the canal into the Mediterranean Sea (A. BARASH—Z. DANIN 1972).

It is not in the last place for oceanophysical reasons that I cannot agree with the postulated communication with the Indo-Pacific through the Eastern Paratethys (towards Iran). In fact, to suppose that one half of a brackish-water sea (in the present case, the Central Paratethys) should contain a seawater of normal salinity, while communicating in an opposite direction with the World Ocean, would be a nonsense. Such a situation may exist to some extent only in the event if the recharge of salinity in the normal-salinity sea-subbasin is continuously assured from the World Ocean. If this connection is lost for any reason, the seawater of lower density will immediately dilute the seawater of higher salt content. (That the density of a seawater of 35‰ salinity at 20 °C is 1.02479 is well-known; a change even in the fifth decimal will provoke an intensive convective flow.)

For this reason, I cannot imagine that in the Central Paratethys area the seawater should have had normal (or, for that matter, subnormal) salinity without communicating with the Mediterranean. To suppose that the marine euhaline bios at least by one order of magnitude richer when allegedly emigrating from the Indo-Pacific should have been able to traverse the brackish-water E Paratethyan sea, to settle then finally here in the Central Paratethyan sea basins, is at least so sheer nonsense. In fact, the fauna here is of clearly Atlantic-Mediterranean type.

E. VREDENBURG (1928), relying on a monographic study of the post-Eocene Mollusca faunas from the Eocene of India, proved, a good deal of time ago, that within the studied time span an intensive Tethyan connection towards S Europe had existed only at the beginning of the Oligocene.

Not precluding the revival for a short time of any minor marine communication in the Early Miocene, he did not see any proof in favour of the persistence of such a communication from the Mid-Miocene onwards.

K. MARTIN (1914) was of the opinion (p. 350)—primarily based on malacological studies—that the disintegration of the ocean (Mediterranean and W Indo-Pacific) had manifested itself in a pronounced form since the earliest Miocene. Relying primarily on studies on larger Foraminifera, C. G. ADAMS—A. W. GENTRY—P. J. WHYBROW (1983) are essentially of the same opinion, suggesting the disintegration to have taken place not later than from the middle of the “Burdigalian” on.

P. MÜLLER (1984), in his monograph on Decapoda, comes to the conclusion that “... the forms with eastern relationships derived most probably from a common Tethyan fauna and subsequently vanished from European seas. Thus a connection of the Badenian sea with the Indian Ocean seems less probable now than some years ago.”

What can be demonstrated instead of immigration of Indo-Pacific elements is that the Late Badenian still witnessed some immigration from the west. So, for example, from the exposures of Örs vezér tér and Kerepesi út in Budapest I have identified the following important adventive elements, hitherto unknown from richly fossiliferous and lithologically diversified Badenian formations: *Modiolus pistacinus* ROV., *M. mytiloides* BRONN., *Megaxinus incrassatus subscopulorum* D'ORB., *Taras pertransversus* SACCO, *Tellina incarnata* L., *Diodora italica reticulina* RISSO, *Gibbula sossensis* COSSM. et PEYR., *Ranella minuteornata* COSSM. et PEYR., *Thais producta ampleumbilicata* SACCO, *Conus taurinensis anomalamamilla* SACCO. (I should like to note that the first four forms have been recovered from the “Upper Limestone” beds, i.e. from beds deposited when the eastern connection had become already more intense.)

I found Mediterranean immigrants that had arrived here in Late Badenian time at other localities as well: actually, *Cardium platorvi* is a form of this kind too (see description of species).

4. Chokrakian and Sarmatian species

In the mollusc-bearing formations studied in detail I could identify 55 elements (Table 6) indicative of E Paratethyan connections. Their distribution by age is as follows: 7 forms are hitherto known from the Chokrakian only. To explain their presence I suppose the Chokrakian sea to have had a somewhat higher salinity, at least the Chokrakian sequences with a specifically richer fauna suggest this. Some of the species of higher salinity demand may eventually have persisted in embayments of higher salinity (upper brackish), especially so, if these “asylums” lay in the Central Paratethys. The species in question in the Late Badenian sea would find more favourable conditions for life than it was the case with the Konkian sea.

13 of the 55 forms are hitherto known from the Sarmatian. Some of these may be questioned whether having immigrated from the east or not. One of them is *Mohrensternia multicostata* SENEŠ, a species described from the Sarmatian of S Slovakia (see description of species). *Cardium irregulare* EICHW. is a species of uncertain Buglovian or Sarmatian age. Some Trochidae, Modiolus, Paphia and Mactra species enduring an environment of more reduced salinity or, for that matter, favouring such an environment may have immigrated in Late Badenian time from the west to the Paratethys, to thrive on in the Sarmatian. (Unfortunately, SACCO's laconic specific descriptions and figures of low quality have failed to give a satisfactory answer to this question, particularly so regarding Trochidae.)

The occurrence of Sarmatian forms in the brackish-water facies of older formations is quite natural, for the oldest Sarmatian fauna must have evolved already prior to the advent of Sarmatian time and this must have happened for the most part in the Crimo-Caucasian basins of varying salinity. As a response to constantly varying environmental conditions, some philobrackish forms could undergo a continued evolution in a wide range of variance, getting differentiated into a host of new offshoots.

In the description of species the Atlantic-Mediterranean provenance for some Crimo-Caucasian elements is referred to or suggested.

5. Evolution of the paleogeographic connections and salinity conditions of the Middle Paratethys in Badenian time

To conclude, I am attempting to summarize the results of my studies by fitting them in a larger time frame.

That the study area had its genuine thalassocratic history in the Early Badenian time-span of the Neogene cannot be doubted. At that time, the Eastern Paratethys communicated with the Central Paratethys from the Tarkhanian up to the middle of the Karaganian (PAPP—SENEŠ 1978). The

Middle Badenian was a period of large-scale evaporite accumulation, though in some areas (e.g. in what is now Budapest) a heavy transgression took place. The Middle Badenian is characterized by a strong reduction of benthonic Foraminifera (Lagenidae)—a phenomenon we think justifiably attributed to the first sizeable oriental influence ever felt. This reduction of the microfauna, however, is far from being firmly attributable to a reduction in salinity. It could have been caused, for example, by an inflow of anoxic water masses from the Euxinic Karaganian sea. In Middle Badenian time, plenty of Mollusca species unknown from the Early Badenian immigrated from the Mediterranean, while many older forms vanished. No oriental influence is felt in the Mollusca fauna that has come down to us from that time-span (only *Cardium praeplicatum* HILB. is known to us from the paralic coal formation of Hidas; I. SELMECZI 1982). Regrettably enough, surely Middle Badenian sublittoral to shallow-neritic facies with rich Mollusca faunas that would form a connecting link towards the Upper Badenian are very scarcely known to us. (This is the time-span that corresponds to the Karaganian stage in the east.)

The vast Late Badenian transgression presented itself with a quite different paleogeographic pattern. An easterly influence was felt from the beginning of the time-span in question, as shown by the present writer in an earlier study. The salinity of the seawater seems to have lain already at the very beginning at the lower limit of what may be regarded as normal salinity. In the last third of the Badenian the reduction in salinity was speeded up, the Badenian faunal elements were more and more pushed into the background, while the philobrackish and oriental elements came into prominence. A leap in this desalinization trend was represented by the onset of deposition of Veselyankian-type sediments. From the viewpoint of their geological features and fossil content the Veselyankian deposits are similar in character in both the Central and Eastern Paratethys. [The diastrophic interpretation of the origin of the Veselyankian beds has already been referred to (p. 24).] The basic difference is that the Central Paratethyan Veselyankian beds contain a substantially more abundant fauna with much more Badenian elements. This bears witness to the fact that some, though rather little, communication with the Mediterranean still persisted that time. (To visualize this comparison in numerical terms would be rather difficult, because the information from the Eastern Paratethys is scarcely sufficient for gaining a firm idea on the faunas of the Veselyankian beds there. These formations there contain approximately 35 to 40% of Badenian-type taxa, while the Veselyankian profiles from the Central Paratethys do 50 to 60%.) In the uppermost tens of centimetres the faunal elements indicative of the Badenian already vanish completely and along with the Sarmatian forms it is only some oriental Middle Miocene species that prove that the enclosing sediments do not belong yet to the Sarmatian.

In case of continuous or almost continuous sedimentation the change in the lithology of the Sarmatian deposits, in general the coming of detrital sediments into prominence, is striking. These formations contain but Sarmatian-type Mollusca species. The Foraminifera acquired a Sarmatian character already earlier, at the time of deposition of the Veselyankian beds (apart from one or two extraordinary species).

At the end of Badenian time, the lock (in this case, the Dinariden) to the Mediterranean uplifted and the recharge from the World Ocean was interrupted. On top of that, the closure of the lock meant that the Paratethys had become for a while a drainless inland sea. This had as a consequence:

- an overall rise in water level (transgression) and dilution of the seawater owing to the cessation of effluence from the Paratethys;
- the homogenization of the bios of the inland sea, i.e. its becoming predominantly E Paratethyan in character.

Table 6 — 6. táblázat

Magyarországi felső-bádeni képződmények Keleti-Paratethysre utaló Molluscái monuscs or E Parateinian type from the Upper Badenian of Hungary

1	2	3	4	5	6	7	8	9	10	11	12	13	14	15	16	17	18	19	20	21	22	23	24
<i>Erilia trigonula</i> SOK.																			+○×	+			
<i>Erilia pusilla dissimilis</i> EICHW.																			++	+			
<i>Abra reflexa</i> EICHW.																			++	+			
<i>Abra alba scythica</i> SOK.																			++	+			
<i>Abra parabilis attalica</i> MERKL.																			+				
<i>Cuttlellus scaphoides</i> ZHIZH.																			++	+			
<i>Lauraria</i> cf. <i>primepara</i> EICHW.																			++	+			
<i>Macra basteroi konkensis</i> SOK.																			++	+			
<i>Macra andrusovi</i> KOLES.																			++	+			
<i>Macra quasideltoides</i> BOG.																			++	+			
<i>Macra</i> ex gr. <i>timida</i> ZHIZH.																			++	+			
<i>Corbula</i> (<i>Varicorbula</i>) <i>michalskii</i> SOK.																			++	+			
<i>Pholas bogatchevi</i> OSS.																			++	+			
<i>Pholas bogatchevi tanaica</i> OSS.																			++	+			
<i>Barnea usjturtensis sanzorii</i> OSS.																			++	+			
Gastropoda:																			++	+			
<i>Gibbula cremenensis</i> ANDR.																			++	+			
<i>Gibbula confessa</i> LIVER.																			++	+			
<i>Gibbula subholatra</i> KOLES.																			++	+			
<i>Callistoma angulatum</i> EICHW.																			++	+			
<i>Callistoma ancps joanneum</i> HILB.																			++	+			
<i>Callistoma guttulbergi</i> HILB.																			++	+			
<i>Mohrensternia pseudoinflata</i> FRIEDB.																			++	+			
<i>Mohrensternia multicostata</i> SENEŠ																			++	+			
<i>Bitium reticulatum konkensis</i> SOK.																			++	+			
<i>Newtoniella dentobucinaria capiblica</i> ZHIZH.																			++	+			
<i>Actaeocina lajonkaireana buhllovensis</i> FRIEDB.																			++	+			
<i>Cylindma melitopolitana</i> SOK.																			++	+			

IV. PALEONTOLOGICAL DESCRIPTIONS

In this chapter I have described the E Paratethyan-type Mollusca taxa recovered from the Upper Badenian sections discussed. As evident from detailed analyses, some taxa can be shown, with high probability, to have originated not from the E Paratethys but from the Mediterranean, whence they arrived in Badenian time and preserved their original shape. The majority, however, as a response to the changes in the physico-chemical conditions, underwent a rapid evolution and, curiously enough, became characteristic of the Eastern Paratethys. With a host of forms, allegedly endemic, present there, a separate faunal province came into existence.

It is first of all the elements alien to the Central Paratethys, appearing first in the Tarkhanian, Chokrakian and Konkian, that I have considered as forms indicative of the Eastern Paratethys.

The beginning of the Sarmatian in the Central Paratethys should be regarded as an extension of the Eastern Paratethys, its overwhelming expansion. Considering that, in general, the Mollusca fauna too is of eastern endemic character (except for a few Badenian forms reaching up into the Sarmatian such as *Loripes dujardini*, *Gastrana fragilis*, *Polinices catena helicina*, etc.), here I take even those "Sarmatian" forms to be indicative of the Eastern Paratethys which have hitherto been unknown from a stratigraphically deeper horizon. Such Ponto-Caspian faunal elements known only from the Sarmatian are 12 out of a total of 55 taxa found in the Upper Badenian. I do not exclude the possibility that some of these migrated from the west to the Central Paratethys in the Late Badenian to find there, in some subbasins or embayments, already life conditions similar to those which existed in Sarmatian time. (I mean here first of all the small-sized Trochidae species. Unfortunately, SACCO's concise descriptions of species and, particularly so, his figures of rather low quality do not give an answer to this question.)

Since I have not intended to make a paleontological-taxological work by this study, I do not wish to tackle too sophisticated taxonomic problems the references to which in the literature are often contradictory and questionable. For this reason, and not in the last place for "conventional" reasons, I have occasionally refrained from using more "up-to-date" generic or subgeneric names (e.g. *Jujubinus*, *Sarmatimactra*, *Plicatiforma*, etc.).

Hereinafter I have given the descriptions of 55 Mollusca taxa from the fauna of the Central Paratethys and listed their most important synonymy from the relevant literature. The studied material is deposited in the collection of the Hungarian Geological Institute.

Classis: **BIVALVIA**

Familia: **MYTILIDAE**

Genus: **Modiolus** LAMARCK, 1799

Modiolus incrassatus (D'ORBIGNY)

Pl. I, f. 4a, 5, 9b; Pl. VII, f. 7b

A well-known Sarmatian form known to occur already in the Konkian in the Eastern Paratethys (OSSIPOV 1932). (Nota bene, it can be found in the following recent literature devoted to the Sarmatian: BODA 1959; PAPP—MARINESCU—SENEŠ 1974.)

Modiolus incrassatus buglovensis GATUEV

Pl. I, f. 6–8, 9a

1903. *Modiola volhynica* EICHW. — LASKAREV, p. 135, tabl. I, fig. 25–28.1916. *Modiolus volhynicus* EICHW. var. *buglovensis* GAT. — GATUEV, p. 160, tabl. 13, fig. 7–8.1959. *Modiolus incrassatus* D'ORB. var. *buglovensis* GAT. — ZHIZHCHENKO, p. 220, tab. XXII, fig. 23–24.

Differences from the well-known species: shell more widened towards the posterior margin and, hence, of more triangular outline; edge of posterior margin internally indented; shell of usually smaller size.

The species is characteristic first of all of the Veselyankian horizon, though it occurs in the deeper Konkian beds as well (even at the Keresztúri út site in Budapest). IL'INA—NEVESSKAYA—PARAMONOVA (1976) reported its presence from the base of the Sarmatian too.

Modiolus incrassatus subpapilio GATUEV

Pl. I, f. 12–13

1916. *Modiolus volhynicus* EICHW. var. *subpapilio* GAT. — GATUEV, p. 161, tabl. 13, fig. 3.1935. *Modiola subpapilio* (GAT.) — KOLESNIKOV, p. 25, tabl. I, fig. 26–27.

Shell substantially wider than the subspecies “*buglovensis*”, of strongly triangular shape, with a convex umbo. Hitherto reported: from the Sarmatian. I have found it in the “Lower Cerithium Limestone” at Gyakorló út site in Budapest as well as in the somewhat younger Ervilia limestone of Pécsvárad.

Modiolus incrassatus sultanensis GATUEV

Pl. I, f. 10, 14

1916. *Modiolus volhynicus* EICHW. var. *sultanensis* GAT. — GATUEV, p. 159, tabl. 13, fig. 5.1959. *Modiolus incrassatus* D'ORB. var. *sultanensis* GAT. — ZHIZHCHENKO, p. 219, tabl. XIII, fig. 12–14.

Form of long, elongated shape with parallel posterior and lower margins. This bivalve of peculiar shape is reported from the Chokrakian in the relevant literature. The specimens figured here have been recovered from the Ervilia limestone of Pécsvárad.

Modiolus ustjurtensis ZHIZHCHENKO

Pl. I, f. 11

1953. *Modiola hoernesii* REUSS — STRACHIMIROV, p. 53, tabl. VIII, f. 1–3.1955. *Modiolus ustjurtensis* ZHIZH. — MERKLIN—NEVESSKAYA, p. 101, tabl. XXX, f. 3–4.1960. *Modiolus ustjurtensis* ZHIZH. — STRACHIMIROV, p. 277, tabl. LVII, f. 11–12.

Oval in outline, with distinct growth lines. Our specimens are of rather subjuvenile character, being not completely grown up. They have been recovered from the upper (Veselyankian) part of the Upper Badenian sequence of borehole Perbál 2 and Keresztúri út exposure in Budapest.

Closely related to it is *Modiolus hoernesii* characterized by:

- a different outline, being not oval but pointed toward the umbo, i.e. rather trigonal;
- a smaller size, 3 to 7 mm, while *M. ustjurtensis* reaches even 30 mm in size.

The subjuvenile specimen from Perbál is 10 mm, that of Keresztúri út being about 15 mm. Occurrence: in Konkian deposits.

Genus: ***Musculus*** (BOLTEN) RÖDING, 1798

Musculus sarmaticus GATUEV

Pl. II, f. 1–3

Common in the Sarmatian, this form has been recovered from the Ervilia limestone of Pécsvárad (PAPP 1954, BODA 1959, PAPP—MARINESCU—SENEŠ 1974).

Musculus sarmaticus naviculoides (KOLESNIKOV)

Pl. II, f. 4

1935. *Modiola naviculoides* KOLES. — KOLESNIKOV, p. 17, tabl. I, fig. 1—4.1955. *Musculus naviculoides* (KOLES.) — MERKLIN—NEVESSKAYA, p. 99, tabl. XXIX, fig. 14—20.

Cast recovered from the upper part of the Ervilia limestone of Pécsvárad. It differs from the known representatives of *Musculus sarmaticus* chiefly by the fact that its outline is oval, subelliptical, while that of *M. sarmaticus* is narrowed like a wedge towards the umbo and is usually more flattened and larger as well. *M. naviculoides* is 10 to 15 mm long. (Our specimen is 11.6 mm long and 6.8 mm wide.)

Musculus canditus is considerably wider, smaller, its radial ribbing being more pronounced.

Occurrence: Sarmatian in the E Paratethys as reported in the relevant literature.

Familia: UNGULINIDAE

Genus: *Taras* RISSE, 1826*Taras rotundatus caucasicus* (ZHIZHCHENKO)

Pl. II, f. 5—9

1953. *Diplodonta rotundata* MONTAGU var. *caucasica* ZHIZH. — STRACHIMIROV, p. 64, tabl. XIII, fig. 3—5.1959. *Taras rotundata* MONT. var. *caucasica* ZHIZH. — ZHIZHCHENKO, p. 198, tabl. XI, fig. 16—19.1960. *Taras rotundata* var. *caucasica* ZHIZH. — STRACHIMIROV, p. 255, tabl. LV, fig. 14—15.

Outline subpolar, umbo situated in the central area, shape less convex. In terms of habit, the form being described occupies a position of transition between *Taras rotundatus* and *T. trigonulus*.

I have found a lot of specimens in both the Veselyankian, i.e. terminal Upper Badenian beds and in ones lower than these. In the Eastern Paratethys it has come from the Chokrakian into the fore. It may be identical with the form *T. trigonulus intermedius* of Tethyan provenance which I discovered in Lower Badenian deposits as well (KÓKAY 1966, p. 73, taf. XIII, fig. 12—13). From here, it may have migrated on to the Chokrakian sea.

Familia: KELLIELLIDAE

Genus: *Lutetia* DESHAYES, 1860Subgenus: *Spaniodontella* ANDRUSOV, 1902*Lutetia (Spaniodontella) sokolovi* (SINZOV)

Pl. II, f. 10—12

1899. *Spaniodon nitidus* REUSS — SOKOLOV, p. 60, tabl. I, fig. 4—8.1932. *Spaniodontella sokolovi* SINZOV — OSSIPOV, p. 38, tabl. I, fig. 8—15.1955. *Spaniodontella sokolovi* SINZOV — VOLKOVA, p. 32, tabl. XV, fig. 1—5.1959. *Spaniodontella sokolovi* SINZOV — ZHIZHCHENKO, p. 207, tabl. XXII, fig. 1—4.1979. *Alveinus sokolovi* (SINZOV) — NEVESSKAYA — BAGDASARYAN — GONCHAROVA, p. 892.

Species described as peculiar, well-defined. Considered to be typical Konkian element. I found it in both the Veselyankian argillaceous marl beds of boreholes Perbál 2 and 5 and in the upper few metres of the underlying Badenian sequence. It was recovered from the final Upper Badenian beds at Hidas in the Mecsek Mountains (I. SELMECZI 1982) as well. In the borehole Hegymagos 84 put down in the Tapolca Basin it was found in the middle part of the Upper Badenian sequence.

On the basis of my personal experience, I do not think the separation of the species from *Lutetia nitida* to be simple. This latter species was described from the Middle Badenian of Wieliczka, Poland, by REUSS (syn.: *Lutetia girondica* in COSSMANN et PEYROT). *L. sokolovi* can be distinguished from *L. nitida* on the following grounds:

- The size of *Lutetia sokolovi* is around 3 mm, while *L. nitida* measures, as shown by the study of specimens of different age, 1.0 to 1.5 mm.

- *L. nitida* is mostly—but not always—higher, "rotundo-triangular" in outline, while *L. sokolovi* is rather "subcircular".

- *L. nitida* is more convex, its umbo being a little bit twisted.

- *L. sokolovi* has a hinge apparatus that is more strongly developed, showing otherwise the same features.

The dissimilarities listed are not necessarily all combined and, in the final analysis, the difference seems to be sufficient for a subgeneric distinction. My suggestion is confirmed by the fact that in the marl from about the middle of the Upper Badenian sequence of borehole Hegymagos 84, in addition to a mass of tiny *L. nitida* specimens, *L. sokolovi* is also present, but individuals of transitional size exist too, unfortunately only in the form of casts though. That the water of an ingressing Konkian sea provided better conditions for the life of the species is plausible. Thus an evolution tending to "gigantism" set in which resulted in the birth of *L. sokolovi*. (It is the *L. nitida* individuals that penetrated into the Early Badenian Chokrakian sea that may have given rise to an assemblage of divergent species belonging to the group of *L. intermedia*. All these circumstances imply that *L. sokolovi* evolved, from the same *L. nitida* species, along a second evolutionary lineage in the Late Badenian Konkian sea.)

Familia: CARDIIDAE

Genus: *Cardium* LINNE, 1758

Subgenus: *Cerastoderma* POLI, 1975

Cardium obsoletum EICHWALD

Pl. II, f. 13–18; Pl. VII, f. 7d

1936. *Cardium obsoletum* EICHW. — FRIEDBERG, p. 151, tabl. 24, fig. 7–10.

1976. *Cerastoderma (Obsoletiforma) obsoletum obsoletum* (EICHW.). — IL'INA—NEVESSKAYA—PARAMONOV, p. 232, 233, tabl. I, fig. 37–48; tabl. II, fig. 25–29; tabl. III, fig. 3–26.

1979. *Cerastoderma obsoletum* (EICHW.) — NEVESSKAYA—BAGDASARYAN—GONCHAROVA, p. 894.

The figured specimens have been recovered from the "Lower Cerithium Limestone" of Keresztúri út (*Cardium uiratumense* type; KOLESNIKOV 1929), the Ervilia limestone of Pécsvárad and the final Badenian argillaceous marl bed of borehole Perbál 5.

In the Eastern Paratethys it is known from the Konkian and Lower Sarmatian formations. As a rule, it is not too frequent, being akin to *C. vindobonense* PARTSCH, though more flattened than that, its umbo being not so salient.

Cardium ruthenicum HILBER

Pl. II, f. 19; Pl. III, f. 1–5, 8; Pl. VII, f. 7e

1882. *Cardium Ruthenicum* HILB. — HILBER, p. 15, taf. I, fig. 43.

1903. *Cardium lithopodolicum* DUB. var. *ruthenica* HILB. — LASKAREV, p. 139, taf. II, fig. 1–8.

1935. *Cardium ruthenicum* HILB. — LIVEROVSKAYA, p. 8, tabl. II, fig. 9–14.

1936. *Cardium ruthenicum* HILB. — ZHIZHCHEVKO, p. 19, tabl. II, fig. 3–9.

1955. *Cardium ruthenicum* HILB. — MERKLIN—NEVESSKAYA, p. 47, tabl. IX, fig. 15–21.

1959. *Cardium ruthenicum* HILB. — ZHIZHCHEVKO, p. 178, tabl. XXII, fig. 41–42.

1976. *Cerastoderma (Obsoletiforma) obsoletum ruthenicum* (HILB.) — IL'INA—NEVESSKAYA—PARAMONOV, p. 232, tabl. I, fig. 49–54; tabl. IV, fig. 22–23.

Species with varying features. There are specimens with poorly or strongly developed ribs, specimens with steeply sloping and rounded posterior margin and there are ones in which the posterior ridge is accentuated by a more heavily developed rib. In the exposures in Budapest this latter type is the more frequent form approaching to some extent the species *Cardium hilberi* and *C. kubanicum*. Nota bene, ZHIZHCHEVKO (1936) also reported a specimen of this kind representing a link of transition to *C. kubanicum*. It is mainly the specimens encounterable in the Ervilia limestone of Budapest and Balatonakali (borehole Bak. 40) and, less frequently, in that of Pécsvárad that have a posterior area separated from the rest of the shell by a rib of varying strength as a characteristic feature. Another characteristic feature is that the middle among the 7–8 ribs of the sloping posterior area is a little bit stronger than the others. This feature can be observed earliest of all in the case of the tiny *Cardium holubicense* HILB. species (see FRIEDBERG 1936: tabl. 24, fig. 5a). (Nota bene, I found the species with a similar feature already in the Middle Badenian in Budapest.) I found this feature to be traceable up to the Early Pannonian forms. In addition, it can be recognized in some *C. obsoletum* specimens and in other species as well. Thus it can be concluded with good reason, on evidence of this feature, that the forms involved have a common ancestor — *C. holubicense*.

Its stratigraphic range is confined primarily to the Konkian stage, but ZHIZHCHEVKO (1936) indicated its presence from the Chokrakian already. In addition, it is found at the base of the Sarmatian, in the first place in the E Paratethys.

Cardium lithopodolicum DUBOIS

Pl. III, f. 6, 9

Recovered from the terminal Upper Badenian limestone of Örs vezér tér site in Budapest. Hitherto known with certainty from the lower part of the Sarmatian (KOJUMDGIEVA 1969, PAPP—MARINESCU—SENEŠ 1975).

Cardium kokkupicum ANDRUSOV

Pl. III, f. 7

1916. *Cardium kokkupicum* ANDR. — ANDRUSOV, p. 219, tabl. 16, fig. 55.
 1932. *Cardium kokkupicum* ANDR. — OSSIPOV, p. 45, tabl. I, fig. 32.

Two fossil casts have been recovered from the terminal Upper Badenian bed of Örs vezér tér site in Budapest. Their characteristic features (outline, number of ribs, strength of ribs) have enabled identification with ANDRUSOV's species.

The species is reported from the Konkian beds in the literature. After KOJUMDGIEVA (1969) it may be present in the Sarmatian of Bulgaria too, though its figuring by KOJUMDGIEVA is not at all convincing.

Cardium cfr. fischeriforme millelocum SIDOROVA

Pl. III, f. 12

1969. *Cardium millelocum* SID. — SIDOROVA, p. 44, tabl. VII, fig. 4—10.
 1976. *Cerastoderma (Obsoletiforma) fischeriforme millelocum* (SID.) — IL'INA—NEVESSKAYA—PARAMONOV, p. 75, 234, tabl. IV, fig. 1—10.

Recovered as internal mould and damaged cast from borehole Bak. 40. Stands close to *C. lithopodolicum* from which it is distinguished by the salient ridge delimiting the posterior margin and the slightly spinose ribs on the upper posterior margin. Because of the incompleteness of the find a more convincing determination is impossible. Occurrence: E Paratethyan Lower Sarmatian.

Cardium cfr. kaudense volhynicum GRISCHKEVICH

Pl. III, f. 10, 11

1976. *Cerastoderma (Obsoletiforma) kaudense volhynicum* (GRIS.) — IL'INA—NEVESSKAYA—PARAMONOV, p. 234, tabl. IV, fig. 27—32.

Cast recovered from the Veselyankian limestone of Örs vezér tér site in Budapest, possibly identical with the E Paratethyan Lower Sarmatian form in question. Characteristic features such as the strong ridge-rib delimiting the posterior area and the otherwise weakly developed ribbing are readily observable in our specimen as well. The specimen from Pécsvárad comes closer to the type of the species.

Cardium praeplicatum HILBER

Pl. III, f. 13—16

1882. *Cardium prae-plicatum* HILB. — HILBER, p. 14, taf. I, fig. 40—41.
 1929. *Cardium praeplicatum* HILB. — KOLESNIKOV, p. 35, tabl. XII, fig. 278—292.
 1935. *Cardium praeplicatum* HILB. — LIVEROVSKAYA, p. 9, tabl. II, fig. 15.
 1955. *Cardium praeplicatum* HILB. — VOLKOVA, p. 29, tabl. XIV, fig. 6—7, tabl. XV, fig. 6—9.
 1955. *Cardium praeplicatum* HILB. — MERKLIN—NEVESSKAYA, p. 47, tabl. X, fig. 1—8.
 1959. *Cardium praeplicatum* HILB. — BODA, p. 683, taf. III, fig. 10—12.
 1976. *Cerastoderma (Plicatiforma) praeplicatum* (HILB.) — IL'INA—NEVESSKAYA—PARAMONOV, p. 232, tabl. I, fig. 26—36.

A lot of specimens have been collected from the base up to the top of the Upper Badenian. The species does not seem to be sensitive to facies, being encounterable in limestones, marls and argillaceous brachyhaline formations alike.

In the E Paratethys it appears first in the Konkian. I. SELMECZI mentions its presence from the Middle Badenian coal measures of Hidas. It occurs mainly in the eastern province in earliest Sarmatian deposits.

Cardium mányense KÓKAY

Pl. III, f. 18; Pl. IV, f. 1–3

1916. *Cardium* sp. aff. *praeplicatum* HILB. — ANDRUSOV, p. 217, tabl. 16, fig. 61 (solum!).
 1967b *Cardium mányense* KÓKAY, p. 88, taf. VII, fig. 1–5.

From core samples of Upper Badenian age from the Mánya area, I described a *Cardium* species the presence of which I quoted from the Tapolca Basin as well. Since that time, I have found it in a lot of core- and surface samples, but these are limited to the embayments, subbasins, along the southern side of the Hungarian Central Range, from Budapest up to Tapolca, primarily in argillaceous sediments. I see perfect agreement with the *Cardium* specimen published with a question mark by ANDRUSOV which was collected from the Konkian deposits of the northern coast of the Black Sea. Thus *C. mányense* is rightly regarded as an oriental species, though its having immigrated from the Mediterranean cannot be precluded either. In fact, it is absent in the Upper Badenian of the Mecsek Mountains. In case of immigration from the east, it should be present there too.

Cardium irregularare EICHWALD

Pl. III, f. 17

1903. *Cardium irregularare* EICHW. — LASKAREV, p. 141, taf. III, fig. 23–24.
 1929. *Cardium irregularare* EICHW. — KOLESNIKOV, p. 3, tabl. 1, fig. 1.

As obvious from the references cited, there is some uncertainty about the species, primarily owing to its Lower Sarmatian age, for EICHWALD mentions it, with an imprecise quotation though, from the Miocene of Volhynia.

Umbo characteristically pointed, lying approximately in the centre; ribs not too salient and approximately so wide as the intervals between the ribs. Our specimens from Balatonakali and Pécsvárad correspond well to EICHWALD's species including his original figure of the species (pl. IV, fig. 23).

Cardium scylothicum SOKOLOV

Pl. IV, f. 4–9; Pl. VII, f. 2b

1899. *Cardium scylothicum* SOK. — SOKOLOV, p. 62, taf. I, fig. 21–26.
 1932. *Cardium scylothicum* SOK. — OSSIPOV, p. 44, tabl. I, fig. 28–31.

Specimens with complete shells, frequent in the Veselyankian horizon of borehole Perbál 2 and, particularly so, in borehole Perbál 5. A characteristic feature is the suborbicular outline, the umbo being just a little bit anterior to mid-length. Ribs flat, scarcely convex, closely spaced, with very narrow intervals between them. The small tubercles on the ribs in the posterior area of the valve are not typical of the species, being not observable in all specimens of SOKOLOV either. Otherwise, our specimens correspond well to the species described from the type section of Veselyanka, only the ribs on them are by 2–3 fewer in number.

The species is quoted from not too many localities other than the type locality in the relevant literature. It can be found, still within the Black Sea depression zone, near Nikopol, and also in the Donbass (DIDKOVSKIY—KULICHENKO 1975), in the same stratigraphic horizon. From Bulgaria, it is reported by STRACHIMIROV (1960) but, from the Chokrakian bed.

Cardium sp.

Pl. IV, f. 15

One small and flat *Cardium* specimen has been recovered from the Veselyankian horizon of borehole Perbál 5. The shell is ornamented with 21 slightly flat ribs of medium strength. The rib intervals are somewhat narrower than the ribs themselves. The ribs are smooth, growth lines, if any, being visible in the anterior and posterior marginal areas. In the intervals thin transverse bars are observed. The species in question has no ridge separating the posterior margin; the posterior margin is not sloped, but is curved into the lower and upper margins. Umbo anterior to mid-length.

Unidentifiable with any of the known species. Closest relation is *Cardium karabugasicum* SIDOROVA (1961). Unfortunately, because of the incompleteness of the specimen described, it cannot be decided whether the upper and posterior margins meet in an arc or in an angle. In addition, our specimen is shorter in size and smaller in terms of umbonal angle than it is the case with SIDOROVA's species.

Dimensions: Length 7.2 mm, height 6.0 mm.

Subgenus: *Acanthocardia* GRAY, 1851

Cardium (Acanthocardia) aculeatum platovi BOGATCHEV

Pl. IV, f. 10–14; Pl. V, f. 1–2

1905. *Cardium Platovi* BOG. — BOGATCHEV, p. 184, pl. III, fig. 1–11.

1932. *Cardium Platovi* BOG. — OSSIPOV, p. 42, tabl. I, fig. 25–27.

1979. *Acanthocardium platovi* BOG. — NEVESSKAYA—BAGDASARYAN—GONCHAROVA, p. 895.

From the railway-cut of Rákos “vasúti delta” in Budapest and the Veselyankian horizon of the boreholes of Mány and from deeper Badenian beds in the Tapolca Basin, a “spinose” *Cardium* species matching well the form described from the Konkian. It carries 19 to 21 ribs that are rotundo-triangular in cross-section. Rib intervals about the half of the rib width, growing wider towards both the anterior and posterior margins. Between the ribs and on their side there are perpendicular grooves. At about the top of the ribs (or rather towards the lower margin) poorly developed unequal spines or their rudiments are observable. The valves vary from “subcircular” to “subquadrangular” in outline. Umbo fairly salient, more or less sloped on the posterior margin. Related forms from the Miocene:

— *Cardium paucicostatum*: ribs fewer in number (14–15).

— *C. vidali ritzingense*: ribs a little bit fewer (17–19), considerably wider and stronger, intervals narrower; strong growth lines on the valve; rib-sides not grooved or striated; the small spines or rather tubercles disappear towards the lower margin on the adult specimens; shell of larger size; bound preferentially to argillaceous facies.

— *C. barrandei schafferi*: rib number: 20 to 24; ribs more closely spaced and more salient; semi-circular incross-section, carrying tiny and closely spaced “buttons”; shell of larger size; bound preferentially to calcareous and arenaceous facies; euhaline form.

In the Tapolca Basin, borehole Hegymagos 84 yielded, in addition to specimens 20 to 24 in diameter—size characteristic of “platovi”—specimens reaching even 30 mm. As suggested in the chapter on sea currents, these large specimens may be indicative of a Mediterranean provenance. In fact, the specimens in question come quite close to *Cardium aculeatum* L., species living even at present, which was reported from the “Helvetian” of Salles by COSSMANN and PEYROT (p. 476, Pl. XX, fig. 28–29). Having penetrated from the west into the more brackish seawater, the species in question was reduced both in size and, in certain measure, sculpture, as is observed nowadays on representatives of *Cardium*. This is how the “species” *C. platovi* evolved, to migrate then on in the Konkian sea, as far as the northern Black Sea coast (Novocherkask). I do not see any use in including it in the original “aculeatum” species owing to the important paleogeographic and stratigraphic role it plays in its reduced form. For this reason, I have preferred a subspecific distinction.

Cardium (Acanthocardia) paucicostatum SOWERBY var.

1955. *Cardium paucicostatum* Sow. — MERKLIN—NEVESSKAYA, p. 40, tabl. VI, fig. 7–8.

The species is still alive (in the Black Sea too). Its more or less spinose-tuberculate ribs are generally 14 to 15 in number. One poorly preserved specimen has been recovered from the Veselyankian limestone of Örs vezér tér, and one fragment from borehole Bak. 40.

What it resembles most is fig. 7 of MERKLIN and NEVESSKAYA rather than the classic illustrations. Similarly narrow, poorly developed, scarcely spinose ribs with rather wide and almost smooth intervals. For this reason, it is these specimens from the Konkian of Turkmenia that I consider ours to come very close to.

My I note that the specimens from Várpalota, Herend and from other Lower Badenian beds (e.g. KÓKAY 1966) identified with *Cardium paucicostatum* need to be revised, as the deviation from the Konkian form is remarkable.

Genus: *Trachycardium* MÖRCH, 1853

Trachycardium pseudomulticostatum (ZHIZHCHENKO)

Pl. V, f. 3

1934. *Cardium pseudomulticostatum* ZHIZH. — ZHIZHCHENKO, p. 22, tabl. IV, fig. 1–2.

1936. *Cardium pseudomulticostatum* ZHIZH. — ZHIZHCHENKO, p. 12, tabl. I, fig. 1–4.

1955. *Cardium pseudomulticostatum* ZHIZH. — VOLKOVA, p. 42, tabl. XIX, fig. 1–3.

1955. *Cardium pseudomulticostatum* ZHIZH. — MERKLIN—NEVESSKAYA, p. 42, tabl. VI, fig. 13–17.

1959. *Cardium pseudomulticostatum* ZHIZH. — ZHIZHCHENKO, p. 174, tabl. VII, fig. 13–16.

Cast recovered from the Veselyankian horizon of borehole Mány 8. It is readily identifiable with this species certainly representing a sister-species of *Trachycardium multicostatum*. The deviations are as follows:

- The ribs of *T. multicostatum* vary between 50 and 60 in number, while in case of ZHIZHCHENKO's species this figure is reported in various publications as varying between 37 and 50. In our specimen, it is 45 or so.
- The eastern species has stronger ribs.
- *T. pseudomulticostatum* is usually wider in shape.

The species has so far been known from the Chokrakian only.

Familia: **VENERIDAE**

Genus: **Venus LINNE, 1758**

Subgenus: *Timoclea* BROWN, 1827

Venus (Timoclea) konkensis SOKOLOV

Pl. V, f. 4–12, 15

1899. *Venus konkensis* SOK. — SOKOLOV, p. 66, tabl. II, fig. 3–12.
 1932. *Venus konkensis* SOK. — OSSIPOV, p. 52, tabl. II, fig. 32–37.
 1935. *Venus konkensis* SOK. — LIVEROVSKAYA, p. 9, tabl. I, fig. 14–19.
 1955. *Parvivenus konkensis* (SOK.) — VOLKOVA, p. 32, tabl. XV, fig. 12.
 1955. *Venus konkensis* SOK. — MERKLIN—NEVESSKAYA, p. 57, tabl. XV, fig. 11–14.
 1958. *Venus konkensis* SOK. — ZHGENTI, p. 64, tabl. V, fig. 7–13.
 1959. *Venus (Parvivenus) konkensis* SOK. — ZHIZHCHENKO, p. 186, tabl. XII, fig. 32–33.

I have found the species in several Upper Badenian drill core samples, in formations corresponding in age to a pre-Veselyankian Lower Konkian horizon. It has been particularly frequent in the lower third of the Upper Badenian sequence of borehole Perbál 6, being represented by shelled specimens of excellent preservation. It is typical of the Veselyankian horizon in the E Paratethys, the earlier data being rather obscure. In Hungary, it was reported by G. HÁMOR (1971) from the Pécs-várad limestone of similar age.

Close to the species is *Venus marginata* from which the most essential difference is that *V. konkensis* has a smooth outer shell surface, while *V. marginata* is ornamented with concentric ribs.

Among the Hungarian specimens I have found such as show the remnants of relict folds, testifying to the relationship.

Hence, it is with good reason that we may suppose that *Venus konkensis* migrated from here to the Veselyankian sea farther east, for here it had appeared earlier. Consequently, *V. marginata* may be supposed to have responded to a decrease in salinity by reduction, as is frequently the case with the molluses. At the same time, it is not improbable either that, actually, *V. konkensis* immigrated from the Mediterranean already earlier, in the first third of Late Badenian time. In fact, SACCO figured, as *V. marginata*, specimens with a smooth shell surface [Parte XXVIII, p. 45, Tav. X, fig. 25 and 27 (solum!)].

Genus: **Paphia** (BOLTEN) RÖDING, 1798

Paphia secunda (BOGATCHEV)

Pl. V, f. 13–14, 16–22; Pl. VI, f. 1

1905. *Tapes secundus* BOG. — BOGATCHEV, p. 185, pl. III, fig. 19–25.
 1932. *Tapes secundus* BOG. — OSSIPOV, p. 51, tabl. II, fig. 28–31.
 1935. *Tapes secundus* BOG. — LIVEROVSKAYA, p. 11, tabl. I, fig. 21–24.
 1959. *Tapes secundus* BOG. — ZHIZHCHENKO, p. 189, tabl. XXII, fig. 30–31.

Paphia species of small size with fine, concentric ribs. It can be readily identified with BOGATCHEV's species which was described by him from the Konkian of the northern Black Sea coast. I have found it in the Upper Badenian sequence in a number of places. It is particularly frequent in the boreholes of Mány and Perbál.

Paphia vitaliana infrasarmatica (ANDRUSOV)

Pl. VI, f. 2–3, 5

1916. *Tapes vitalianus* ORB. var. *infrasarmaticus* ANDR. — ANDRUSOV, p. 215, tabl. 17, fig. 70–71.
 1968. *Tapes vitalianus* D'ORB. var. *infrasarmatica* ANDR. — IONESI, p. 241, pl. V, fig. 10, 11 (solum!).

Well-known and wide-spread, *Paphia vitaliana* is, as shown in the relevant literature and suggested by my own experience, rather variable even within one and the same population. Nevertheless, it seems to be justified to distinguish ANDRUSOV's subspecies from the species which has the following characteristics:

- The upper and lower margins are subparallel, the upper one being straight, the lower one scarcely arched.
- The umbo is more salient, but largely variable.
- Rather long elongated specimens. Length-height ratio about 1.6 to 1.8. In case of ANDRUSOV's original: 1.65.

Known from the Veselyankian beds and the base of the Sarmatian.

The length-width ratio of the specimen (an internal mould) recovered from the Veselyankian of Rákos "vasúti delta" in Budapest is about 1.6. That of the specimen of similar age from Keresztúri út is 1.81 and that of an older specimen ("Lower Cerithium Horizon") from Gyakorló út is 1.79.

There is no doubt that more squat forms with an index of 1.4 to 1.6 will take the upper hand as one proceeds up in the profile, their umbo being more reduced, sometimes merging with the upper margin (BODA 1959).

Since I have found no elongate forms like the ones from Budapest in the literature on the Paratethys and since the Budapest forms are the oldest ones (having been recovered even from beds underlying the Veselyankian), this form seems to have migrated east from here, after having immigrated here from the west. [Its ancestors may probably be looked for in *Tapes sacyi* COSSM. et PEYROT (COSSMANN et PEYROT: Tome LXVIII, pl. XXIV, fig. 22–25). Similarly to the case of our specimen of Keresztúri út, its index is 1.8, the accordance between the two being very good even as far as the outline and the position of the umbo are concerned.]

ANDRUSOV described the form originally from the Upper Konkian, but it occurs at the base of the Sarmatian as well.

Genus: *Irus* OKEN, 1815

Subgenus: *Paphirus* FINLAY, 1927

Irus (Paphirus) gregarius modestus (DUBOIS)

Pl. VI, f. 4

1903. *Tapes modesta* DUB. — LASKAREV, p. 137, taf. IV, fig. 17–18.

1936. *Tapes gregaria* PARTSCH var. *modesta* DUB. — FRIEDBERG, p. 84, tabl. 15, fig. 11–12, 15 (non 13–14).

From the lower third of the Upper Badenian of borehole Perbál 6, a shelled specimen of this form, incomplete, but exhibiting the essential specific features, has been recovered. Two casts derive from the "Lower Cerithium Beds" of the exposures of Keresztúri út. Having examined the finds, I have found confirmation of FRIEDBERG's decision regarding the closeness of "*modestus*" to "*gregaria*". KAUTSKY's characterization of the genus (1936, p. 18) applies very well to the specimen from Perbál, in particular as far as the fine longitudinal ribbing of a banded pattern and the radial sculpture observable only under magnifier are concerned. Smooth areas, folds and growth lines are also observed on the shell surface. The teeth of the hinge margin are rather varied, as some teeth in a specimen are bifid, while in others the same teeth are coalesced.

The species in the Vienna Basin appears as early as the Early Badenian (Grund), persisting longer on in the Sarmatian. Having a smaller size, thinner shell and finer hinge margin, "*modestus*" is habitual, though not common, in the Upper Badenian (Buglov).

Familia: MESODESMATIDAE

Genus: *Ervilia* TOURTON, 1822

Ervilia trigonula SOKOLOV

Pl. VI, fig. 6, 7

SOKOLOV (1899) originally described this species from the type section of the Veselyankian, but it can be found in the lower part of the Sarmatian (BODA 1959, PAPP—MARINESCU—SENEŠ 1974).

Ervilia pusilla dissita EICHWALD

Pl. VI, f. 8, 9; Pl. VII, f. 7f

Primarily characteristic of the Sarmatian, the species occurs in older deposits as well (LASKAREV 1903, BODA 1959, PAPP—MARINESCU—SENEŠ 1974).

Familia: SEMELIDAE

Genus: *Abra* LAMARCK, 1818*Abra alba scythica* (SOKOLOV)

Pl. VI, f. 10—12; Pl. VII, f. 4b

1899. *Syndesmya alba* WOOD var. *scythica* SOK. — SOKOLOV, p. 76, taf. IV, fig. 1—8.1916. *Syndesmia alba* WOOD var. *scythica* SOK. — ANDRUSOV, p. 214, tabl. XVI, fig. 52—54.1932. *Syndesmia scythica* SOK. — OSSIPOV, p. 50, tabl. II, fig. 18—27.1955. *Abra alba scythica* (SOK.) — MERKLIN—NEVESSKAYA, p. 82, tabl. XXIII, fig. 9—11.1959. *Syndesmia alba* WOOD var. *scythica* SOK. — ZHIZHCHENKO, p. 205, tabl. XXII, fig. 13—14.

Recovered, rather frequently, from a number of localities, mainly from the boreholes of Perbál and Mány as well as from the Pécsvárad limestone.

Trigonal like *Abra reflexa*, but SOKOLOV's form differs from it

- by its posterior margin being not so acute;
- by the absence of a sharp ridge (carina) at the boundary between the posterior and upper margins;
- by its being generally smaller than the large specimens typical of *Abra reflexa*.

The species is characteristic, as a rule, of the Konkian, notably of its upper, Veselyankian, member in both pelitic and calcareous formations. VOLKOVA (1955) quoted it from the Chokrakian as well, while MERKLIN and NEVESSKAYA did so from the base of the Sarmatian.

Abra reflexa (EICHWALD)

Pl. VI, f. 13, 14

The species occurs in the Upper Konkian and mainly in the lower part of the Sarmatian (PAPP 1954, BODA 1959, PAPP—MARINESCU—SENEŠ 1974).

Abra parabilis attalica MERKLIN

Pl. VI, f. 15—17; Pl. VII, f. 1

1950. *Abra parabilis* ZHIZHCHENKO *attalica* MERKL. — MERKLIN, p. 81, tabl. VI, fig. 10—15.1966. *Abra stricta* BROCC. var. — KÓKAY, p. 79, taf. XIV, fig. 13.1968. *Abra (Alba) parabilis attalica* MERKL. — TEJKAL, p. 15, tabl. II, fig. 1—8.

From the original species described by ZHIZHCHENKO (1934), MERKLIN separated, as a subspecies, the more elongate forms tapering towards the posterior margin. Although later ZHIZHCHENKO (1959) included MERKLIN's form in his species, TEJKAL just like me, respected the separation.

Recovered from borehole Perbál 5 and, just vaguely, from borehole Hidas 6 (SELMECZI 1982) and, with a high frequency, even from the base of the Upper Badenian sequence exposed in borehole Hegymagos 78/18 in the Tapolca Basin. As regards the problem about the faunal element in question, I have already referred to it (p. 43). In fact, TEJKAL quoted this typically Chokrakian form from S Slovakia, from the Upper and Middle Badenian sequence. Hence:

- Either it had immigrated from the east already in Late Chokrakian time (which corresponds to the earliest Middle Badenian);
- or *Abra parabilis* is actually a species of Mediterranean provenance which, together with its varieties, was present during the whole of the Badenian. Since its salinity demand exceeded the salinity of the Konkian sea, it penetrated only into the Chokrakian sea. This second alternative is the more plausible one. To support it, let me mention that in an earlier work of mine I figured and described an *Abra* species from Lower Badenian formations. Referring to it as “*Abra stricta* BROCCHI var.”, I did not identify it completely with BROCCHI's species, as it is longer. The agreement with the figures published by MERKLIN and TEJKAL is very good. Its length-height index is 1.8 which fits well in the variability range of the form in question.

Familia: SOLENIDAE

Genus: *Cultellus* SCHUMACHER, 1817*Cultellus scaphoideus* ZHIZHCHEKO

Pl. VII, f. 2a, 3, 4a, 5

1934. *Cultellus scaphoideus* ZHIZH. — ZHIZHCHEKO, p. 87, tabl. VI, fig. 25.1950. *Cultellus papyraceus* REUSS var. *scaphoideus* ZHIZH. — MERKLIN, p. 82, tabl. VII, fig. 1—2.1955. *Cultellus papyraceus scaphoideus* ZHIZH. — MERKLIN—NEVESSKAYA, p. 63, tabl. XVIII, fig. 1—3.1959. *Cultellus scaphoideus* ZHIZH. — ZHIZHCHEKO, p. 190, tabl. IV, fig. 23—25.

REUSS (1867) described *Cultellus papyraceus* from Wieliczka. Our specimens strikingly differ from it:

- by their growing wider backwards and by their being generally wider;
- by the presence of a sharp ridge running diagonally from the umbo backwards;
- by the greater size of the adult specimens. All these characteristics apply to ZHIZHCHEKO's species. In some references this species is regarded as a subspecies of *C. papyraceus*, though the listed characteristics would justify a complete specific distinction in my personal opinion too.

Recovered from the argillaceous Upper Badenian deposits cut by boreholes Perbál 2 and 5 and by the boreholes put down in the Tapolca and Hidas Basins.

Known thus far only from the Chokrakian of the E Paratethys.

Familia: MACTRIDAE

Genus: *Lutraria* LAMARCK, 1799*Lutraria* cfr. *primipara* EICHWALD1955. *Lutraria primipara* EICHW. — MERKLIN—NEVESSKAYA, p. 85, tabl. XXIV, fig. 1—4.

From the Veselyankian horizon of borehole Perbál 5 an injured and subjuvenile specimen has been recovered which, on the basis of the position of the umbo and the shape, is supposed to correspond to this species.

Genus: *Mactra* LINNE, 1767*Mactra basteroti konkensis* SOKOLOV

Pl. I, f. 3a; Pl. VII, f. 6—7a, 8—10; Pl. VIII, f. 1—3

1899. *Mactra Basteroti* MAYER var. *konkensis* SOK. — SOKOLOV, p. 73, taf. III, fig. 1—13.1932. *Mactra Basteroti* MAYER var. *konkensis* SOK. — OSSIPOV, p. 47, tabl. II, fig. 9—13.1935. *Mactra konkensis* SOK. — LIVEROVSKAYA, p. 15, tabl. I, fig. 29—33.1955. *Mactra konkensis* SOK. — VOLKOVA, p. 33, tabl. XV, fig. 20—211955. *Mactra basteroti konkensis* SOK. — MERKLIN—NEVESSKAYA, p. 90, tabl. XXV, fig. 6—10.1959. *Mactra konkensis* SOK. — ZHIZHCHEKO, p. 214, tabl. XXII, fig. 39—40.

The differences between MAYER's species were summarized by MERKLIN and NEVESSKAYA in terms of numerical values. Accordingly,

- the subspecies is smaller, mostly 10 to 20 mm in length, i.e. a half to a third of MAYER's species;
- the species is more or less equilateral, while in SOKOLOV's form the umbo is displaced a little bit towards the anterior end of the shell;
- the species is more clearly, the subspecies in smaller measure, characterized by the cylindrical folds observable on either side of the umbo.

In conclusion, the deviations do not exceed the extent of a subspecific distinction, being explainable, mainly as far as the reduction in size is concerned, by an environment of more reduced salinity as well. From the Ervilia limestone of Pécsvárad, even specimens of a length of 21 to 22 mm have been recovered.

In the relevant literature the form in question is considered to be characteristic of the Veselyankian. At Gyakorló út site and in borehole METRO H. 34 in Budapest and in boreholes Perbál 6 and Hegymagas 78/18, specimens were also recovered from beds deeper than the Veselyankian.

Mactra andrussovi KOLESNIKOV

Pl. VIII, f. 5—7

1925. *Mactra Andrussovi* var. *Andrussovi* KOLES. — KOLESNIKOV, p. 890, tabl. XXIII, fig. 22—23.
 1934. *Mactra Andrussovi* KOLES. — ZHIZHCHENKO, p. 20.
 1955. *Mactra andrussovi* KOLES. — VOLKOVA, p. 31, tabl. XIV, fig. 3.
 1959. *Mactra andrussovi* KOLES. — BODA, p. 692, taf. XVII, fig. 1—2.
 1969. *Mactra (Sarmatimactra) andrussowi* KOLES. — KOJUMDGIEVA, p. 20, tabl. III, fig. 7, 8, 11.

Several small specimens of *Mactra* showing good accordance especially, with KOLESNIKOV's original figures have been recovered from the Veselyankian limestone of Örs vezér tér in Budapest. With its umbo bent forwards and its strongly sloping posterior margin, it is readily recognizable.

The species has been hitherto known only from the Lower and Middle Sarmatian. The "cradle" of the species seems to have been either in the Central Paratethys, where it appeared immediately prior to Sarmatian time, or it was then that it immigrated from the Mediterranean.

Mactra quasideltoides BOGATCHEV

Pl. VIII, f. 4

1910. *Mactra* sp. nov. — BAJARUNAS, p. 249, tabl. I, fig. 25—26.
 1936. *Mactra quasi-deltoides* BOG. — ZHIZHCHENKO, p. 139, tabl. XV, fig. 1—5.
 1959. *Mactra quasideltoides* BOG. — ZHIZHCHENKO, p. 213, tabl. XII, fig. 1—4.

It was in the Upper Badenian sandy Ervilia—Mollusca limestone underlying the Veselyankian beds in borehole METRO H. 34 in Budapest that I found a high *Mactra* species (internal mould and cast) which I can identify only with this form. Length about 18 mm, height 15 mm, length-height ratio 0.85 as against 0.75 in *M. basteroti konkensis*. The species has been hitherto known from deposits of the Chokrakian sea.

Mactra ex aff. timida ZHIZHCHENKO

Pl. VIII, f. 8

The terminal Upper Badenian beds of Örs vezér tér site in Budapest have yielded a left valve of *Mactra* standing closest to the "timida" species of ZHIZHCHENKO (1934: p. 85, tabl. II, fig. 13—18) from the Sarmatian of Transcaucasia, though unidentifiable with it.

Our specimen is a small (length 11.0, height 7.2 mm) internal mould and cast. Outline specifically rhomboidal. Posterior side characteristically well-developed, sloped, being separated by a strong ridge from the scarcely arched lower margin. Thus the posterior side forms with the lower margin an angle of about 75°, whereas the angle it forms with the upper margin is 120° or so. Its umbo is rather salient and is closer to the anterior margin. Both the posterior and anterior tooth bars of its hinge margin are visible in form of a cast. The hinge margin corresponds to that of ZHIZHCHENKO's species, but our form differs substantially from the species by having a more markedly angular-rhomboidal outline and a straight-sloping posterior side.

COSSMANN et PEYROT figured the species *Mactra ducomi* (Tome LXVIII. Pl. XXIII, fig. 46—49) which is to some extent similar in outline to our specimen, but which also lacks the heavily sloping posterior area.

We have probably to do with a new species. Given the availability of just one internal mould to me, I do not consider it to be suitable for description.

Familia: CORBULIDAE

Genus: **Corbula** BRUGUIÈRE, 1797

Subgenus: *V a r i c o r b u l a* GRANT et GALE, 1931

Corbula (Varicorbula) michalskii SOKOLOV

Pl. VIII, f. 9

1899. *Corbula Michalskii* SOK. — SOKOLOV, p. 74, tabl. III, fig. 18—32.
 1932. *Corbula Michalskii* SOK. — OSSIFOV, p. 57, tabl. II, fig. 40—47.
 1955. *Aloidis michalskii* (SOK.) — MERKLIN—NEVESSKAYA, p. 77, tabl. XXI, fig. 23—26.
 1959. *Corbula michalskii* SOK. — ZHIZHCHENKO, p. 169, tabl. XXII, fig. 19—22.

A progressed form of well-known *Corbula gibba*, from which it differs by the following features: more elongate, its cylindrical, concentric ribs are deficient and sometimes the valve surface is completely smooth.

One specimen has been recovered from the Upper Badenian of borehole Perbál 6.

Known from the Konkian in the E Paratethys.

Familia: **PHOLADIDAE**

Genus: **Pholas LINNE, 1758**

Pholas bogatchevi OSSIPOV

Pl. VIII, f. 10–12

1905. *Pholas dactylus* L. — BOGATCHEV, p. 166, tabl. II, fig. 13.

1932. *Pholas bogatchevi* Oss. — OSSIPOV, p. 58, tabl. III, fig. 20.

Two fragments from the lower third of the Upper Badenian sequence of borehole Perbál 6, are characterized, as in the case of OSSIPOV's species, by a more pronounced longitudinal (concentric) ribbing near the anterior margin. Only acute tubercles arranged radially rather than radial ribs crossing the longitudinal ones can be spoken of.

Known from deeper Konkian beds in the E Paratethys.

Pholas bogatchevi tanaica OSSIPOV

Pl. VIII, f. 13

1905. *Pholas dactylus* var. *callosa* BOG. — BOGATCHEV, p. 166, tabl. II, fig. 14.

1932. *Pholas bogatchevi* n. sp. var. *tanaica* Oss. — OSSIPOV, p. 59, tabl. III, fig. 21.

Found together with the preceding form. Characterized by a heavily sculptured shell (stronger than in *Ph. bogatchevi*) and by a calcareous lamina, strongly developed and overhanging the upper margin, to which the anterior adductor muscle adheres. The deviation from the preceding forms appears to be more than subspecific.

Known from the deeper Konkian.

Genus: **Barnea RISSO, 1826**

Barnea ustjurtenis sinzovi OSSIPOV

Pl. VIII, f. 14

1905. *Pholas (Barnea) Hommairei* D'ORB. — BOGATCHEV, p. 168, tabl. II, fig. 15–16.

1932. *Barnea Sinzovi* Oss. — OSSIPOV, p. 61, tabl. II, fig. 29–30.

1955. *Barnea ustjurtensis sinzovi* Oss. — MERKLIN—NEVESSKAYA, p. 33, tabl. IV, fig. 9–11.

Found together with the two preceding forms, this fragment is characterized by a slender outline and thin radial ribs becoming weaker towards the posterior margin and carrying small spines.

Known from the deeper Konkian.

Classis: **GASTROPODA**

Familia: **TROCHIDAE**

Genus: **Gibbula RISSO, 1826**

Gibbula confessa (LIVEROVSKAJA)

Pl. VIII, f. 16–17

1935. *Trochus confessus* LIV. — LIVEROVSKAYA, p. 35, taf. II, fig. 36–37.

1959. *Trochus (Gibbula) confessus* LIV. — ZHIZHCHENKO, p. 241, tabl. XXII, fig. 17–18.

Casts recovered from the Pécsvárad limestone. 6 convex whorls, 7.5 mm height; 7 to 8 spiral striae. Basal lip weak, rounded supposedly present. Closest to the form here described is *G. subbalatro* characterized by less convex whorls, more dense and finer spiral striation, fewer whorls, and greater apical angle of shell.

In the relevant literature the species is considered to be characteristic of the Konkian.

Gibbula cremenensis (ANDRZEJOVSKI)

Pl. VIII, f. 15

1928. *Gibbula cremenensis* (ANDRZ.) — FRIEDBERG, p. 487, tabl. XXX, fig. 21—22 (solum!).

Whorls heavily convex, apical angle wide, weak spiral striation—restricted mainly to the upper whorls—are features characteristic of the species. Known hitherto from the Sarmatian.

Recovered from the Ervilia limestone of Pécsvárad.

Gibbula subbalatro (KOLESNIKOV)

Pl. VIII, f. 18; Pl. IX, f. 1—2

1935. *Trochus subbalatro* KOLES. — KOLESNIKOV, p. 146, tabl. XX, fig. 17—22.1955. *Trochus subbalatro* KOLES. — MOISESCU, p. 193, pl. XIX, fig. 1—2.

The species is characterized by convex whorls, a very dense and fine striation and possibly by a very weak basal lip observable on the last whorl. Recovered from the Ervilia limestone of Pécsvárad.

Hitherto known from the Sarmatian.

Genus: **Calliostoma** SWAINSON, 1840

Calliostoma angulatum (EICHWALD)

Pl. IX, f. 3

Recovered from the Ervilia limestone of Pécsvárad (PAPP 1954, BODA 1959, PAPP—MARINESCU—SENEŠ 1974).

Calliostoma guttnerbergi (HILBER)

Pl. IX, f. 9

Cast from the Ervilia limestone of Pécsvárad (PAPP 1954, BODA 1959, PAPP—MARINESCU—SENEŠ 1974).

Calliostoma anceps joanneum (HILBER)

Pl. IX, f. 7—8

Casts from the Ervilia limestone of Pécsvárad (BODA 1959).

Calliostoma angulatum spirocarinatum (PAPP)

Pl. IX, f. 4—6

1903. *Trochus aff. angulatus* EICHW. — LASKAREV, p. 145, taf. V, fig. 16—17.1954. *Gibbula angulata spirocarinata* PAPP — PAPP, p. 11, taf. 1, fig. 9—13.1959. *Calliostoma angulatum spirocarinatum* (PAPP) — BODA, p. 702, taf. XXII, fig. 4—5.

The species is characterized by a quite distinct, though not salient, basal lip, and by 5 to 10 fine spiral striae on the last whorl. The form figured by LASKAREV from the Buglovian horizon matches PAPP's fig. 13 particularly well.

Not unfrequent in the Ervilia limestone at Pécsvárad, it occurs in the Veselyankian limestone of Örs vezér tér in Budapest and of Balatonakali as well.

Known from the Sarmatian, it was reported (see LASKAREV's figure) from the Veselyankian horizon as well.

Familia: **RISSOIDAE**

Genus: **Mohrensternia** STOLICZKA, 1868

Mohrensternia pseudooinflata FRIEDBERG

Pl. IX, f. 10—11

1903. *Mohrensternia inflata* (ANDRZ.) — LASKAREV, p. 146, tabl. V, fig. 29—31 (solum!).1928. *Mohrensternia pseudooinflata* FRIEDB. — FRIEDBERG, p. 390, tabl. XXIII, fig. 13.

I have found the species in the Upper Badenian of borehole Perbál 6 as well as in the Ervilia limestone of Pécsvárad. The perpendicular striation between the ribs is quite distinct. In the borehole of Perbál even specimens agreeing well with LASKAREV's fig. 31 were encountered. This stands very close to *M. inflata graecensis* HILE. (BODA 1959) the lower whorls of which are smooth too. An essential difference consists in that between the axial ribs the spiral grooving, quite distinct on the specimens of Perbál, is absent.

The species occurs in Konkian and Sarmatian deposits.

Mohrensternia multicostata SENEŠ

Pl. IX, f. 12

From the Upper Badenian of Perbál 6 (BODA 1959).

Familia: CERIHIOPSIDAE

Genus: *Bittium* GRAY, 1847

Bittium reticulatum konkensis SOKOLOV

Pl. IX, f. 13

1899. *Bittium reticulatum* DA COSTA var. *konkensis* SOK. — SOKOLOV, p. 81, taf. IV, fig. 25—30.

1932. *Cerithium konkensis* (SOK.) — OSSIPOV, p. 66, tabl. IV, fig. 10—12.

1932. *Cerithium konkensis* SOK. var. *Sokolovi* Oss. — OSSIPOV, p. 67, tabl. IV, fig. 13.

From COSTA's species it differs primarily by its more subdued sculpture and by the predominance of spiral elements. The presence of five rather than four spiral ornament rows is not unfrequent either.

I have found the species in the lower third of the Upper Badenian sequence of borehole Perbál 6, in Budapest and in the borehole of Balatonakali.

It occurs in the Konkian.

Genus: *Newtoniella* COSSMAN, 1893

Newtoniella dertobicarinata agibatica ZHIZHCHENKO

Pl. IX, f. 14—15

1955. *Newtoniella dertobicarinata* SACCO var. *agibatica* ZHIZH. — VOLKOVA, p. 49, tabl. XXII, fig. 12—13.

1959. *Newtoniella dertobicarinata* SACCO var. *agibatica* ZHIZH. — ZHIZHCHENKO, p. 253, tabl. XVI, fig. 32—34.

1960. *Newtoniella dertobicarinata* var. *agibatica* ZHIZH. — STRACHIMIROV, p. 287, tabl. LIX, fig. 27—30.

The essential difference from SACCO's species is that its ornament in two spiral rows is more pronounced. I have found the species in an excellent preservation state in the Upper Badenian of borehole Perbál 6.

Hitherto known from Chokrakian formations.

Familia: SCAPHANDRIDAE

Genus: *Acteocina* GRAY, 1874

Acteocina lajonkaireana buhlovensis (FRIEDBERG)

Pl. IX, f. 16

1928. *Tornatina Okeni* EICHW. var. *buhlovensis* FRIEDB. — FRIEDBERG, p. 540, tabl. XXXV, fig. 13—14.

Shell relatively large, sides parallel, spire stepped. Recovered from the Veselyankian limestone at Pécsvárad and at Örs vezér tér site in Budapest. In the relevant literature the species "okenii" is regarded as the subspecies of "lajonkaireana" (BODA 1959). For this reason, the form "buhlovensis" should be attached to BASTEROT's species too.

Known from the Buglovian beds.

Genus: **Cyllichna** LOVEN, 1846

Cyllichna melitopolitana (SOKOLOV)

Pl. IX, f. 17–20

1899. *Cyllichna melitopolitana* SOK. — SOKOLOV, p. 84, taf. IV, fig. 48–52.
 1910. *Bulla* (*Cyllichna*) cfr. *melitopolitana* (SOK.) — BAJARUNAS, p. 261, tabl. I, fig. 82–83.
 1932. *Bulla* (*Cyllichnina*) *melitopolitana* (SOK.) — OSSIPOV, p. 75, tabl. IV, fig. 20–23.
 1955. *Bulla melitopolitana* (SOK.) — VOLKOVA, p. 52, tabl. XXIII, fig. 7–8.
 1959. *Cyllichna melitopolitana* (SOK.) — ZHIZHCHENKO, p. 283, tabl. V, fig. 21–23.

Gastropod shell cylindrical, widening towards the base, 3 to 7 mm high, of small size. The species occurs in the “Lower Cerithium Limestone” of Keresztúri út in Budapest. The specimens recovered from the Veselyankian limestone of Örs vezér tér and Pécsvárad are not typical, but come close to the Buglovian form of LASKAREV (form widening subspheroidally at the base and narrowing at the top) (LASKAREV 1903, p. 147, taf. V, fig. 32). It may be worthy of being distinguished as a new taxon.

In the relevant literature, the species is reported as occurring from the Chokrakian up to the end of the Konkian. KOLESNIKOV (1935) mentions it from the Sarmatian, but his form differs from SOKOLOV’s species, because the sides of his figured specimens are parallel rather than widening downwards.

A KÖZÉPSŐ- ÉS A KELETI-PARATETHYS KAPCSOLATA A FELSŐ-BÁDENI TENTER SÓTARTALOM-VISZONYAI TÜKRÉBEN

Az utóbbi évek földtani kutatási és építési-feltárási tevékenysége lehetővé tette részletesebb vizsgálatok és összefüggő megfigyelések elvégzését felső-bádeni rétegsorokon. A budapesti Örs vezér tér (Sugár Áruház), Kerepesi út, Gyakorló út és Keresztúri út mentén feltárt felső-bádeni szelvények részletes tanulmányozása (KÓKAY J.—MIHÁLY S.—MÜLLER P. 1984) érlelte meg az elhatározást, hogy a korábban már begyűjtött egyéb, a Dunántúli-középhegység előterében (1. ábra) lemelített fúrások adatait is felhasználva részleteiben megvizsgáljam a Középső-Paratethys felső-bádeni tenger sótartalom-csökkenési folyamatát. A feldolgozás választ ad a bádeni korszak végének eddig nem kellően tisztázott eseménytörténetére a Középső-Paratethys területén. Tehát elsőrendűen nem felső-bádeni rétegsorok bemutatása a cél, hanem csak a Keleti-Paratethys kapcsolatokra utaló jellegek feldolgozása, azok esemény-retégtani és ősföldrajzi keretben való összegzése, elsősorban célszerűen malakológiai vizsgálatokra támaszkodva.

A Középső- és Keleti-Paratethys lokális miocén rétegtani nevezéktanát (A. PAPP—J. SENEŠ 1978; R. L. MERKLIN 1953 és mások alapján) az 1. táblázat mutatja be. Összehasonlító elemző tanulmányom szempontjából a Keleti-Paratethys konka emeletét emelem ki, mint a felső-bádeni korszak időbeni megfelelőjét.

A konka emeletet N. ANDRUSOV (1916) írta le N. SOKOLOV (1899) alapszelvénye után a Fekete-tenger É-i partvidékén a Konka folyó mellől, egy Veszeljanka nevű falu közelében. A konka emelet holosztratotípus szelvénye az emelet fogalmából csak a felső részt képviseli, amelyet „veszeljankai” szintnek, alemelteknek neveznek (F. F. STEININGER—L. NEVESSKAYA 1975; p. 252). Az emelet alsó részét „szartagani” szintnek, alemelteknek nevezik (ugyanott p. 319).

MERKLIN (1953) javasolta a konka emelet felső részére a veszeljankai elnevezést és a „buglowi” (in s. s. LASKEREV 1903) szinttel megegyezőnek tartja. A prioritás a veszeljankai elnevezésé.

A konka emelet felett a szarmata, míg alatta a „karagan” (spaniodontellás) emelet helyezkedik el.

* * *

Az angol nyelvű szövegben részletes ismertetés található a vizsgált felső-bádeni szelvényekről, elsőként a budapesti Örs vezér tér, Kerepesi út, Gyakorló út, Keresztúri út, Rákosi vasúti delta feltárasokról (2. és 3. ábra).

A felső-bádeni szelvényvonal vizsgálati eredményeinek összefoglalása: A felső-bádeni rétegsorok az Örs vezér tértől a Rákosi vasúti delta bevágásáig a pectenes—scutellás „főhomokig” bezáróan nagyjából hasonló kifejlődésűek (2. és 3. ábra), hasonló faunaegyüttesekkel (2. táblázat), normál sótartalmú tengervízből leülepedve. A „főhomok”-ra következő rétegcsoportban azonban alapvető facies-differenciálódás jött létre a szelvényvonalban:

— Az Örs vezér tér és a Kerepesi út mentén folytatódott a normál sótartalmú tengervízre utaló gazdag faunás mészkő („felső mészkő”) lerakódása 2,2 m vastagságban, legalább 40 m-es vízmélységen. A 132 Mollusca fajból 9 bizonyos mértékű (felső brachyhalin) sótartalom-csökkenést el tud viselni (ezek csak szórvány alakok) és 3 a szarmatában is otthonos.

— Ezzel szemben a Gyakorló út, Keresztúri út és a Rákosi vasúti delta környékén kis mély-ségű, brachyhalin sótartalmú vízben létrejött üledékek keletkeztek (erviliás, valamint cerithiumos mészkő), a Keresztúri úton 1,80 m vastagsággal. Az összletből összesen 118 Mollusca taxont külön-böztettem meg, mely együttesnek kb. 40%-a sótartalom-csökkenést elviselő vagy kedvelő, azaz filobrack jellegű, gyakran tömeges fellépéssel, nagy egyedszámmal. A normál sótartalmú környezetet kedvelő Molluscák csökkent méretűek, díszítettségük redukált. A 118 alakból 21 a szarmatában is otthonos, míg 10 Keleti-Paratethys kapcsolatra utal.

A megfelelő szintű összletnek a vastagsága a Rákosi deltában 2,75 m, a Keresztúri úti feltárásnál szegényesebb faunával. Figyelemre méltó különbség van azonban a Keresztúri út erviliás mészkő

padja és a Rákosi delta ekvivalens szintbeli *cardiumos*—*cerithiumos*—erviliás mészkő rétege között. Ugyanis fáciest (képződési mélység és főleg a sótartalom) szempontjából az utóbbi az Örs vezér téri „felső mészkő” és az erviliás mészkő között áll, tehát közepes típus és nem pedig „átmenet a szarmata felé” (SCHAFARZIK F.—VENDL A. 1929).

Amint láthatunk, a két kifejlődés egyidejűsége egyértelmű. Ezt alapvetően igazolja a fekü homokok azonossága és követhetősége, valamint a diszkordancia hiánya a „főhomok” és a rákövetkező réteg között.

Alapvető kérdés, mivel magyarázható ilyen kis távolságon belül a nagy sótartalom-különbség azonos időn belül a kétféle kifejlődés között. A válasz a következő lehet:

1. Lagunáris lefűződés. Erre semmi bizonyíték nincs, a képződmények jellege más.

2. Valahol a közelben folyóvíz ömlött be, a kis fajsúlyú édes-, illetve csökkentsósvíz 10—20—30 m vastagságban szétterült a sűrűbb tengervíz tetején. Ezért a kis mélységen keletkezett üledékek csökkentsósvízi környezetben képződtek brachyhalia faunával, míg a mélyebb régiókban normál sótartalmú fauna élt. Ezt a lehetőséget el kell vetni, mert:

— Sokkal nagyobb területen is kimutatható ez a jelenség, amint azt a továbbiakban is látni fogunk. Ebben az ősföldrajzi szigettenger környezetben óriási folyó beömlése nem képzelhető el, ennek hatalmas deltaüledék tömegei is lennének. Ebben az időszakban a terrigén anyag beszállítása erősen háttérbe szorult, ami egymagában is arra utal, hogy nagy folyóvíz-beömlés ekkor nem lehetett.

— Ez az esetleges álláspont nem magyarázza meg, hogyan kerültek ide a krimo-kaukázusi faunaelemek.

3. Egyedül reális magyarázat a két egyidejű képződmény szalinitás-genetikai különbözőségére a következő:

A felső-bádeni vége felé a földkéregmozgások eredményeként a Mediterraneanummal való összekötetés lecsökkent, esetleg ugyanakkor a Keleti-Paratethys konka tengerével a kapcsolat szélesedett. Ennek eredményeként a mai Máravány-tenger áramlási viszonyaihoz hasonló kép állt elő a Középső-Paratethys területén. Ott ugyanis a Fekete-tenger 16—18% sótartalmú könnyű vize felül a Máravány-tenger medencéjébe ömlik (Boszporusz), míg az Égei-tenger felől normál sótartalmú víz folyik be alul a Máravány-tengerbe (Dardanellák). (A Fekete-tengerbe a Máravány-tenger felső 22—23%-os vize hatol be alul, mert a Boszporusz meghatározó mélysége csak 30 m.)

A mozaikkockákból az a kép rajzolódik ki tehát, hogy a Rákosi delta és az Örs vezér tere között a felső-bádeni—szarmata időszakban egy nagyjából K—NY-i csapású, némileg kiemelt hátság keletkezett, amelyet feltehetőleg a „főhomok” és a „felső mészkő” határán lezajlott földkéregmozgások hoztak létre.* Ezért érthető, hogy itt:

— A felső-bádeni vége felé csökkentsósvízi képződmények rakodtak le, amelyekben a K felől áramló „felül híg” tengervíz a Keleti-Paratethys faunaelemeit ide szállította. Ez a „felül híg, alul normál” sótartalmú állapot eredményezte tehát azt, hogy néhány száz méter távolságon belül két, erősen eltérő fáciest képződménysor keletkezett a területen.

— Ezen a legalább 2 km széles hátságon vékonyságban az üledékek.

— A felső-bádeni tetején levő dácittufit vastagabb a terrigén beszállítás eredményeként.

— A Keresztúri úti feltárás felső részében levő „felső cerithiumos” képződmények (bázisukon törmelékkel és a vékony bryozoás—vermeses paddal) diszkordánsan települnek az „alsó cerithiumos” rétegekre, míg a Rákosi deltában konkordánsan. (Az Örs vezér téren is konkordánsan települ a veszeljankai mésziszap a „felső mészkő” összletére.)

Az Örs vezér téri veszeljankai típusú faunát eredményező képződmények a „felső mészkő” fedőjében nyilvánvalóan azonos retegtani szintben vannak a Keresztúri út bryozoás—vermeses és „felső cerithiumos” retegcsoportjával, valamint a Rákosi delta „felső cerithiumos” képződményeivel. Az Örs vezér téren a reteg vastagsága legalább 1,30 m, a Keresztúri úton a szarmata bázistörmelekig a vastagság 1,45 m, míg a Rákosi deltában 1,60 m. A három kifejlődés faunaegyütteseit a 2. és 3. táblázatban hasonlítom össze. Az összefüggésből látható különbözőségek a fáciest és szalinitás szempontjából nem lenyegesek. (Bár úgy tűnik, hogy a Keresztúri úti előfordulás valamivel magasabb sótartalom mellett keletkezett, de ez a különböző a homokos aljzattal is indokolható.) Az alapvető jelleg ugyanaz, tehát a fauna összetételeben a szarmatához való közelelés és a víz sótartalmának csökkenése ezekben a legfelső bádeni rétegekben a legszembetűnőbb. Megjegyzem, hogy a Foraminifera együttes mindenkor előfordulásban azonos képet mutat. Decapodákat csak a Rákosi deltában találtunk.

A Keresztúri úti szelvényben az „alsó” és „felső cerithiumos” szintek közötti kismértékű diszkordancia azt jelenti, hogy a veszeljankai alemel letézése diasztrófikusan értelmezhető, összhangban a

* Szerző tektonikai—geomechanikai cikkei a Magyar-középhegységben kimutatható miocén korú intenzív földkéregmozgásokkal kapcsolatban: KÓKAY 1968, 1976, 1984, 1985 stb.

litológiai változással. Ez azonban nemcsak helyi jellegű, mert a holosztratotípus szelvényben a felső konka rétegösszlet az oligocénre transzgredált (N. SOKOLOV 1899; V. J. DÍDKOVSKIJ—V. G. KULICHENKO 1975, p. 50; F. STEININGER—L. NEVESSKAYA 1975, p. 249) a szartagani alemelet kimaradásával. Más bemutatásra kerülő szelvényeinkben is feltűnő a veszeljankai rétegek litológiai megváltozása a fekü képződményekhez viszonyítva.

A Budapesten lemélyített igen sok fúrás közül a METRO H. 34. sz. (Mező Imre úti SZOT épületnél, 4. ábra) és a H. 27/1. sz. fúrás (Rottenbiller u.) felső-bádeni képződményeit vizsgáltam. A Keresztúri út „alsó cerithiumos” mészkő rétegeihez hasonló a faunatartalom a *Venus (T.) konkensis* fajjal, amely a konka emelet egyik jellegzetes alakja.

* * *

A Mány-zsámbéki (bicskei) felső-bádeni öböl mélyvonala az É—D-i csapású medencevonulat keleti felében helyezkedett el. Az északi és nyugati peremvidékeken a partot több-kevesebb mértékben lagúnák szegélyezték. Ezekben a lagúnákban a tengervíz sótartalmának hígulása általában nagyobb volt. Ez kedvezőbb lehetőség volt a Keleti-Paratethys jellegű faunaelemek megtelepedéséhez (4. táblázat). Feltűnőbb keleti taxonok: *Venus (T.) konkensis*, *Paphia secunda*, *Pholas bogatchevi*.

A tárgyalt fúrásokban megkíséreltem elhatárolni a veszeljankai alemeletnek megfelelő szintet (5. ábra), érzékeltetve ezzel a tenger sótartalmának fokozatos csökkenését és a Keleti-Paratethysból származó faunaelemek térhódítását (2. táblázat). A Mány 8. és 192. sz. fúrásokban a legfelső, szarmata bázis alatti deciméterekben nem a bádeni elemek bizonyítják, hogy még a szarmata alatt vagyunk, hanem helyettük a keleti középső-miocén fajok; a csak bádeni korszakra (és természetesen a Középső-Paratethysre is) korlátozódó alakok már nem bírták elviselni a további sótartalom-csökkenést, de a keleti középső-miocén fajok egy része még igen.

A Tihany Th. 62. sz. fúrásban (6. ábra) a *Venus (T.) konkensis* keleti kapcsolatra utaló alak tömegesen fordult elő.

A Balatonakali Bak. 40. sz. fúrásban a felső-bádeni normál sótartalmú tengervízből képződött mészkő összlet felett 30 cm vastag veszeljankai típusú mészkő maradt meg a bádeni—szarmata határon végbement kisebb lepusztulásból. Az erviliás—cardiumos mészkőből felismert 25 Mollusca taxon összetétele teljesen illeszkedik a többi hasonló rétegtani helyzetű előfordulásból megismert faunaegyütteséhez (2. táblázat).

A Tapolcai-medencében mélyített Hegymagos Hg. 78/18. sz. fúrás felső-bádeni pelites rétegsora (7. ábra) számos krimo-kaukázusi Mollusca elemet tartalmazott. Közöttük figyelemre méltó a perbáli fúrásokból is előkerült *Cultellus scaphoideus*, *Abra parabilis attalica* és *Cardium aculeatum platovi*.

A Mecsek hegységben SELMECZI I. (1982) mutatott ki felső-bádeni pelites üledékekbeli keleti kapcsolatra utaló Mollusca taxonokat. A veszeljankai típusú mészkő egyik legszebb előfordulása Pécsváradon, a budapesti műút bevágásában van (177-es km), erviliás mészkő formájában, mintegy 2 m vastagságban. Előfordulását már HÁMOR G. (1971) is említette, de a részletes faunafeldolgozás még hiányzott. A feldolgozással 66 puhatestű alakot különítettem el (5. táblázat). A képződményben leggyakoribb az *Ervilia pusilla dissita*, *Modiolus incrassatus*, *Cardium obsoletum*, *Mactra basteroti konkensis*, *Pirenella picta mitralis*. A taxonok közül 26 bádeni emeletre utal (pl. *Arca diluvii*, *Chlamys elegans* stb.).

* * *

A Középső-Paratethys területéről csupán szórványos irodalmi adataink vannak a felső-bádeni alemeletben előforduló krimo-kaukázusi puhatestű elemek előfordulására (pl. SENEŠ 1955).

MERKLIN (1953) nyomán a későbbi irodalom hajlott arra, hogy a konka tenger vizét normálisónak tekintse. Részletes összehasonlító elemzésem alapján azonban a konka tenger vize nem lehetett lényegesen magasabb sótartalmú a mai Fekete-tenger vizénél, legfeljebb réteges felépítése lehetett eltérő a mélyiségi zónahatárok tekintetében.

A feltételezett t e n g e r á r a m l á s i v i s z o n y o k vázlatosan a következők:

A budapesti Örs vezér téri és Keresztúri úti feltárások „felső mészkő” összleteinek összehasonlító fáciessellemzésénél már magyarázatot adtunk arra, miként lehetséges, hogy a normálisós tengervízben keletkezett mészkő horizontálisan néhány száz méteren belül átmegy az erviliás és cerithiumos — tehát erősen eltérő sótartalom-viszonyok között képződött — mészkőkifejlődésekbe. A mai Márvány-tenger áramlási viszonyaihoz hasonló körülmények jöttek létre a felső-bádeni korszakban a Középső-Paratethys területén. A felvetődő kérdésekre a következő válasz adható:

— A Középső- és Keleti-Paratethys közötti összeköttetés a Kárpátoktól keletre a Podoliai

masszívum és a Moesiai tábla (Dobrudzsa) között keresendő, amivel az irodalom általában egyetért (N. ANDRUSOV 1897; F. STEININGER—F. RÖGL—C. MÜLLER 1978).

— A kapcsolat a Középső-Paratethys és a Mediteraneum között az Alpok DK-i lábánál, a mai Szlovénia területén keresztül a legvalószínűbb, É-Olaszország irányában. (Amennyiben másfelé keresnének az összeköttetést a Mediteraneummal, akkor sem változna a lényeg: a Középső-Paratethys ebben az időben a „zsílipkamra” szerepét töltötte be a Keleti-Paratethys és a Mediterranum között, legfeljebb némileg módosított tengeráramlási útvonalakkal.)

Az összeköttetéseket biztosító két tengerszorosnak nem annyira a szélessége, hanem a mélysége meghatározó. Példaként említem, hogy a Fekete-tenger vize 170–180 m mélységtől a legnagyobb mélységekig 22,5% sótartalmú, ami megfelel a Márvány-tenger felső néhány méteres átlagának. Mindez azért van, mert a Boszporusz mértékadó mélysége csak 30 m és így a nagyobb sótartalmú tengervíz nem tud behatolni a Fekete-tenger medencéjébe.

A Középső-Paratethys területén a felső-bádeni tenger áramlási viszonyai a 8. ábrán láthatók. Alapvetően szükséges megkülönböztetni a felső (kis fajsúlyú és csökkent sótartalmú) és alsó (nehezebb és normálös) áramlást. Az alsó tengeráramlás (a térképen fekete nyíl jelzi) belépett a Középső-Paratethysbe az Alpok DK-i lábánál húzódó, nagyból Ny—K-i csapású árokvonulatba. A Mediteráneumból hozta a normálös tengervizet. A belépés után az áramlás három ágra vált szét. Az É felé kanyarodó ág a Bécsi-medence és Ny-Szlovákia felé haladt. A déli ág a Száva-medence mentén áramlott keleti irányba Belgrád térsége felé, majd tovább a Déli-Kárpátok előterébe — a Géta süllyedékbe. Onnan tovább az áramlás ÉK-i irányba kanyarodva érte el a Dobrudzsa — Podolia kaput.

A Mediteraneumból beömlő középső tengerág nagyból irányváltoztatás nélkül haladt tovább ÉK-i irányba a Balaton, illetve a Magyar-középhegység déli előterében levő fő tengerárokban. Majd a Tokaji-hegység déli lábánál fokozatosan keleti irányba fordulva a „szatmári kapun” [Zilah (Zálau) térségében] lépett be az Erdélyi-medencébe. A továbbiakban az akkor még nyitott Keleti-Kárpátok ívén átfolyva ellátta normálös tengervízzel az Északkeleti- és Északi-Kárpátok elősüllyedékét, illetve a déli ággal egyesülve ömlött be a Keleti-Paratethysbe a Podolia — Dobrudzsa összekötő csatornán át.

A felső tengeráramlás (a térképen fehér nyíl jelzi) fő útvonala a középső volt. A Keleti-Paratethys Aral-tónig elnyúló medencéjébe nyilvánvalóan sok édesvíz ömlött be, a Mediteraneumnál húvösebb éghajlatú környezet kevesebb párolgást is eredményezett (l. a mai Fekete-tengert!), továbbá a szűk egyoldalú tengeri összeköttetés eredményeként a tenger felső vízrétege mintegy 30—50—100 m vastagságban csökkent sótartalmú volt, hozzávezetőlegesen 20—25% közötti szalinitással. A kis fajsúlyú víz felül áttört a Podolia — Dobrudzsa kapuzaton, fő tömegében Ny felé. A Keleti-Kárpátok akkor még nyitott ívén áthaladva benyomult az Erdélyi-medencébe. Nem zárjuk ki annak lehetőségét, hogy a Bihar és az Erdélyi-érechegység (Muntii Apuseni), valamint a Déli-Kárpátok között is volt kapcsolat Ny felé, de úgy látszik, hogy az Erdélyi-medence ÉNy-i sarkában, a „szatmári kapun” át kedvezőbbek voltak az áramlási feltételek. Így a K felől beáramló felső vízréteg tovább haladt a Tokaji-hegység, majd a Magyar-középhegység déli oldala mentén. A középhegység és a tőle délre, nagyból vele párhuzamosan húzódó szigetsor között (HÁMOR—SZENTGYÖRGYI 1981, 13. ábra) kedvező körülmények jöttek létre egy áramlást terelő vályú kialakulására. (A felül mozgó csökkentsővíz vastagsága haladás közben egyszerű vékonysodott, másrészt pedig a szalinitása növekedett.)

A krimo-kaukázusi medencéből érkező áramlás a Magyar-középhegység DNY-i végéig, a Tapolcai-medencéig követhető. A továbbiakban az alul szembeáramló normálös tengervízben feloldódott, illetve sótartalma már annyira megnövekedett (28—30%), hogy az alacsonyabb sótartalmat igénylő faunaelemek már nem tudták elviselni. Hogy minden nem csupán feltevés, azt egy érdekes adat is alátámasztja: A Tapolcai-medencében lefűrt Hg. 84. sz. fúrásban a *Cardium (Acanthocardia) platovinak* 30 mm nagyságú példányai is előfordulnak, míg máshol mindenütt a BOGATCHEW által leírt kissé mérettel találhatók. Ebből két dolog következik:

1. A faj jobban kedvelte a nagyobb szalinitású környezetet, a csökkentsővíz kedvezőtlen volt számára.

2. Előzőből következik, hogy a faj a Mediteraneumból érkezett, tehát nagyobb sótartalmú környezetből (l. a fajleírást).

A sósvíz-forgalom teljesebb megértéséhez érdemes figyelembe vennünk a márvány-tengeri viszonyokat: A Dardanellákon keresztül alul az Égei-tenger 39%-os vize ömlik be, míg a Boszporuszon át 22,5%-os víz hatol be a Fekete-tengerbe. Utóbbiból felül 16—18%-os víz folyik vissza. Ez a felső tengeráramlás fokozatosan növekvő sótartalommal, 25—26%-os koncentrációval ömlik vissza felül az Égei-tengerbe a Dardanellákon át.

A Középső-Paratethys vonatkozásában a tárgyalt földtani időben hasonló volt a helyzet, tehát a Középső-Paratethys ekkor „zsílipkamra” szerepét töltött be, akárcsak a mai Márvány-tenger.

A felső-bádeni felső harmadában a Keleti-Paratethys behatása egyre nagyobb mértékben figyelhető meg, amint azt bőséges adattömeg bizonyítja, de csak a Középső-Paratethys meghatározott

területein. A keleti behatás növekedése földkéregmozgásokkal — azaz igen valószínűen a Dinaridák emelkedésével — hozható összefüggésbe, amikor a Mediterraneummal való összeköttetést biztosító süllyedék aljzata emelkedni kezdett, tehát a tenger sekélyebbé vált. Így a korábban (a Boszporusz esetében) említett meghatározó mélység csökkent.

* * *

Az indopacifikus kapcsolatok kérdése az utóbbi évek irodalmában jelentkezett (F. RÖGL et C. MÜLLER, 1976). Ezt egyrészt a konka Mollusca taxonok elemzése nem támasztja alá (L. A. NEVESSKAYA—K. BAGDASARJAN—T. GONCHAROVA 1979), másrészről saját vizsgálataim is az atlanti—mediterrán eredet mellett szólnak. Az új — a Középső-Paratethysból ezideig ismeretlen — elemek behatolása a Mediterraneumból a felső-bádeni végéig tartott.

Az Indopacifikumnak a Keleti-Paratethysen keresztül (Irán felé) való összeköttetésével nem értek egyet — nem utolsó sorban tengerfizikai szempontból sem. Ugyanis az képtelenség, hogy egy csökkentsősízi tengernek az egyik fele (jelen esetben a Középső-Paratethys) normál sótartalmú tengervizet tartalmazzon úgy, hogy a világ tengerekkel való összeköttetés az ellenkező irányban van. Ilyen helyzet több-kevesebb mértékben csak akkor létezhet, ha a normál sótartalmú tengermedence rész sótartalmának fenntartásához az utánpótlás folyamatosan biztosított a világ tengerek felől. Ha ez a kapcsolat valamilyen okból megszűnik, akkor a kisebb sűrűségű tengervíz azonnal felhígítja a nagyobb sótartalmú tengervizet. (Ismert dolog, hogy a 35‰ sótartalmú tengervíz sűrűsége 20 °C-on 1,02479; az ötödik tizedesben történő változás már heves konvekciós áramlásokat idéz elő.) Ezért lehetetlennek tartom azt, hogy a Középső-Paratethys területén normál (vagy közel normál) sótartalmú lehetett volna a tenger vize a Mediterraneummal való összeköttetés nélkül. Legalább ennyire képtelenség az is, hogy az Indopacifikumból feltételezetten migráló, legalább egy nagyságrenddel gazdagabb euhalin tengeri élővilág Ny felé keresztül tudott volna hatolni a csökkentsősízi Keleti-Paratethys tengervizén, hogy azután itt letelepedjen a Középső-Paratethys tengermedencéiben. Az itteni fauna pedig egyértelműen atlanti—mediterrán típusú.

* * *

A bádeni korszak végén a Mediterreneum felé a zsírkapu (konkrétan a Dinaridák) felemelkedett, és a világ tengerek vizének utánpótlása megszakadt. A zsír bezáródása azt is jelentette még, hogy a Paratethys egyideig lefolyástalan beltengerré vált. Ennek következménye:

- általános vízszint-emelkedés (transzgresszió) és felhígulás, mert megszűnt a vízkiáramlás a Paratethysból;
- a beltenger élővilágának egyöntetűvé, uralkodóan Keleti-Paratethys jellegűvé (szarmata) válása.

* * *

Az őslénytani fejezetben azt a Keleti-Paratethys kapcsolatra utaló 55 Mollusca taxont (6. táblázat) írom le, amelyek a tárgyalt felső-bádeni szelvényekből előkerültek. Egyesekről nagy valószínűséggel kimutatható, hogy a Mediterraneumból nyomultak be a bádeni korszak folyamán és megmaradtak eredeti alakjukban. A többség azonban a megváltozott fizikokémiai környezeti viszonyok hatására gyors átalakuláson, fejlődésen ment keresztül és sajátságosan a Keleti-Paratethysre vált jellemzővé. Ott egy sereg endemikusnak mondott alak jelenlétével külön faunaprovincia jött létre.

- ADAMS C. G.—GENTRY A. W.—WHYBROW P. J. 1983: Dating the thermal Tethyan event. — Utrecht Micopal. Bull. 30: 273—298.
- ANDRUSOV N. 1897: Die südrussischen Neogenablagerungen. Part 1. — Verhandl. Russ. Min. Ges.: 195—245. St. Petersburg.
- ANDRUSOV N. 1900: Bosporus und Dardanellen. — Ann. Géol. Min. Russ. 12 (7—8): 204—207.
- ANDRUSOV N. I. 1916: Konkskiy horizont. — Trav. Mus. Geol. Min. Acad. Sc. 2: 167—261. Petrograd.
- BACESCU M.—MÜLLER G.—GOMOIU M. 1971: Ecologie marină. IV. — Ed. Acad. Rep. Soc. Rom.: 1—357. Bucureşti.
- BAJARUNAS M. 1910: Die miozäne Fauna der Stawropol-Sande. — Mém. Soc. Nat. 21 (3): 239—268. Kieff.
- BARASH A.—DANIN Z. 1972: The Indo-pacific species of Mollusca in the Mediterranean and notes on a collection from the Suez canal. — Israel Journ. of Zool. 21: 301—374.
- BODA J. 1959: A magyarországi szarmata emelet és gerinctelen faunája. (Das Sarmat in Ungarn und seine Invertebraten-Fauna.) — Földt. Int. Évk. 47 (3): 567—862.
- BOGATSCHEW V. 1905: Nouvelles espèces de mollusques des dépôts miocènes aux environs de Novotcherkassk. — Bull. Com. Géol. 24: 159—188. St. Pétersbourg.
- COSSMANN M.—PEYROT A. 1909—1934: Conchologie néogénique de l'Aquitaine. — Actes Soc. Linn. Bordeaux.
- DIDKOVSKIY V. YA.—KULICHENKO V. G. 1975: Neogen. Stratigrafiya URSR. — Kiev.
- DUMITRICA P.—GHETA N.—POPESCU GH. 1975: Date noi cu privire la biostratigrafia și correlarea miocenului mediu din area carpatica. — Dari de Seama ale Sedintelor. 61. Stratigr.: 65—84. Bucureşti.
- EICHWALD E. 1853: Lethaea Rossica ou Paléontologie de la Russie. — Stuttgart.
- FÖLDI M. 1966: A hidasi terület földtani felépítése. [Geologischer Bau des Gebietes von Hidas (Meesekgebirge).] — Földt. Int. Évi Jel. 1964-ről: 93—111.
- FRIEDBERG W. 1911—1936: Mollusca miocaenica Poloniae. I—II. — Soc. Geol. Pol.
- GATUEV S. A. 1916: Russkie neogenovye vidy roda Modiolus Lamk. — Trav. Mus. Geol. Min. Acad. Sc. 2: 141—163. Petrograd.
- GOLIKOV A. N.—STAROBOGATOV YA. I. 1972: Gastropoda. — Opredelitel' fauny Chernogo i Azovskogo morey. AN USSR, Izd. „Naukova Dumka”, 3: 65—166. Kiev.
- HÁMOR G. 1970: A kelet-mecseki miocén. (Das Miozän des östlichen Mecsek-Gebirges.) — Földt. Int. Évk. 53 (1).
- HÁMOR G.—SZENTGYÖRGYI K. 1981: Excursion guide of molasse formations in Hungary. Miocene. — Földt. Int. kiadv. 42—56.
- HILBER V. 1882: Neue und wenig bekannte Conchylien aus dem ostgalizischen Miocän. — Abhandl. k. k. Geol. Reichsanst. 7 (6): 1—33. Wien.
- HÖRNES M. 1856, 1870: Die fossilen Mollusken des Tertiärbeckens von Wien. — Abhandl. k. Geol. Reichsanst. 1., 2. Wien.
- IL'YINA L. B.—NEVESSKAYA L. A.—PARAMONOVA N. P. 1976: Regularities of mollusc development in the Neogene semimarine and brackishwater basins of Eurasia (Late Miocene—Early Pliocene). — Acad. Sc. USSR, Transact. Palaeont. Inst. 155: 1—287. Moscow.
- JONESI B. 1968: Stratigrafia depozitelor miocene de platformă dintre valea Siretului și valea Moldovei. — Ed. Aead. Rep. Soc. Rom.: 5—391. Bucureşti.
- KAUTSKY F. 1936: Die Veneriden und Petricoliden des niederösterreichischen Miozäns. — Bohrtechn. Zeitung, 54: 1—27. Wien.
- KOJUMDGIEVA E. 1969: Sarmatien. Les fossiles de Bulgarie. — Acad. Bulg. Sci.: 1—135. Sofia.
- KOJUMDGIEVA E.—STRACHIMIROV B. 1965: Das Miozän im Varna-Gebiet. — Karp.-Balk. Geol. Ass. VII. Kongr. Exkursionsführer, A: 92—95. Sofia.
- KÓKAY J. 1966: A herend—márkói barnakőszénterület földtani és öslénytani vizsgálata. [Geologische und paläontologische Untersuchung des Braunkohlengebietes von Herend—Márkó (Bakonygebirge, Ungarn).] — Geol. Hung. Ser. Pal. 36.
- KÓKAY J. 1967a: Sótartalomra vonatkozó őskörnyezettani vizsgálatok a bakonyi középsőmiocén cerithiumos faunákon. — Ösl. Viták 8: 1—6.
- KÓKAY J. 1967b: A Bakony-hegység felsőtortonai képződményei. (Obertortonische Ablagerungen des Bakonygebirges.) — Földt. Közl. 97: 74—90.
- KÓKAY J. 1968: Hegységképződési elméletek Bakony-hegységi adatok tükrében. (Tectonic theories in the light of Bakony Mountains evidence.) — Földt. Közl. 98: 381—393.

- KÓKAY J. 1976: Geomechanical investigation of the south-eastern margin of the Bakony Mountains and the age of the Litér fault line. — *Acta Geol. Acad. Sci. Hung.* 20: 245—257.
- KÓKAY J. 1984: Újabb adatok a moldvai mozgásokkal kapcsolatban. (New informations on Moldavian movements.) — *Földt. Int. Évi Jel.* 1982-ről: 501—503.
- KÓKAY J. 1985: Tektonikai-geomechanikai vizsgálatok a Bántapusztai-medence területén (Várpalota). [Tectonic and geomechanical studies in the Bántapuszta Basin (Várpalota, Bakony Mountains).] — *Földt. Int. Évi Jel.* 1983-ról.
- KÓKAY J.—MIHÁLY S.—MÜLLER P. 1984: Bádeni korú rétegek a budapesti Örs vezér tere környékén. (Badenian layers at the eastern part of Budapest.) — *Földt. Közl.* 114: 285—295.
- KOLESNIKOV V. 1926: Sur les Mactridae du Miocène russe. — *Bull. Com. Géol.* 44 (9): 885—900. Leningrad.
- KOLESNIKOV V. 1929: Sur les Cardides de l'étage sarmatique. — *Trav. Mus. Géol. Acad. Sci. URSS.* 5: 1—64. Leningrad.
- KOLESNIKOV V. 1935: Sarmatische Mollusken. — *Paläont. USSR. Akad. Wiss. USSR.* 10 (3): 1—326. Leningrad.
- KRACH W. 1981: The Baden reef formations in Roztocze Lubelskie. — *Polska Akad. Nauk. Oddział w Krakowie, Komisja Nauk Geol., Prace Geol.* 121: 5—90.
- LASKAREV V. 1903: Die Fauna der Buglowka-Schichten in Volhynien. — *Mém. Com. Géol. Nouv. Sér.* 5: 1—148. St. Petersbourg.
- LIVEROVSKAYA E. 1935: Die Fauna der konkischen Schichten des Berges Dubrowaja (Nord-Kaukasus). — *Mitt. Geol. Erdölinst. Ser. A.* 44: 1—35. Leningrad—Moscou.
- LÖRENTHEY I. 1913a: Jelentés az 1912. év nyarán végzett erdélyrészti kutatásomról. — *M. Kir. Pénzügymin. kiad.: Jel. az Erdélyi Medence földgázelőford. körül eddig végzett kutató munk. eredm.* II. 1: 63—64. Budapest.
- LÖRENTHEY I. 1913b: Neuer Beiträge zur Stratigraphie der Tertiärbildungen in der Umgebung von Budapest. — *Math. Nat. Ber. aus Ungarn.* 27: 315—329.
- LUKOVIC K. 1922: Facies of the II. Mediterranean Series around Belgrad. — *Geol. An. Balkan.* 7: 22—41.
- MARINESCU F.—SENEŠ J. 1974: Das Buglowien und seine Äquivalente. — *Chronostr. und Neostrat. M₅ Sarmatiens. VEDA Slow. Akad. Wiss.*: 137—138. Bratislava.
- MARTIN K. 1914: Wann löste sich das Gebiet des Indischen Archipels von der Tethys? — *Sammel. Geol. Reichsmuseums in Leiden.* 9: 337—355.
- MERKLIN R. L. 1950: Plastinchatozhabernye spirialisovykh glin, ikh sreda i zhizn'. — *Trudy Paleont. Inst. Ab SSSR:* 3—96.
- MERKLIN R. L. 1953: Étapy razvitiya konskogo basseyna v miotsene na yuge SSSR. — *Byull. Mosk. obshch. isp. prirody N. S.* 58. otd. geol. 28 (3): 89—91.
- MERKLIN R. L.—NEVESSKAYA L. A. 1955: Opredelitel' dvustvorchatykh mollyuskov miotsena Turkmenii i Zapadnogo Kazakhstana. — *Trudy Paleont. Inst. AN SSSR:* 1—115.
- MOISESCU G. 1955: Stratigrafia și fauna fe moluște din depozitele tortoniene și sarmatiene din regiunea Buituri. — *Acad. Rep. Pop. Rom.*: 1—218. București.
- MULDINI-MAMUŽIĆ S. et al. 1978: Drau und Sava Becken, die Srem und Batschka-Banat Depressionen in Jugoslawien. — *Chronostr. und. Neostrat. M₄ Badenien. VEDA Slow. Akad. Wiss.*: 91—93. Bratislava.
- MÜLLER P. 1974: Budapesti miocén mészkövek Decapoda rák faunája. (Les faunes de Crustacés Décapodes des calcaires miocènes de Budapest.) — *Földt. Közl.* 104: 119—132.
- MÜLLER P. 1984: Bádeni Decapoda rákok. (Decapod Crustacea of the Badenian.) — *Geol. Hung. Ser. Pal.* 42.
- NAGYMAROSY A. 1980: A magyarországi bádenien korrelációja nannoplankton alapján. (Correlation of the Badenian in Hungary on the basis of the nannoplankton.) — *Földt. Közl.* 110: 206—245.
- NATTERER K. 1895: Tiefsee-forschungen im Marmarameer auf S. M. Schiff „Taurus“ im Mai 1894. — *Denkschrift k. Akad. Wiss. Math. Nat. Kl.* 62: 19—117. Wien.
- NEVESSKAYA L.—BAGDASAR'YAN K.—GONCHAROVA T. 1979: On probable connections of Miocene basins of Eastern Paratethys with adjacent marine basins based upon assemblages of Bivalve molluscs. — *Ann. Géol. Pays Hellén. Hors série, 2 Proc. VII. Congr. RCMNS:* 889—898. Athens.
- OSSIPOV S. S. 1932: Konskiy gorizont. — *Rukovod. iskop. neft. rayonov Krymsko-kavkazskoy oblasti,* 4: 26—82.
- OSTROUMOV A. 1896: Über die Dregungen und Planktonfänge der Expedition „Selanik“. — *Bull. Acad. Imp. Se. 5. Sér.* 5: 33—91. St. Pétersbourg.
- PAPP A. 1954: Die Molluskenfauna im Sarmat des Wiener Bäckens. — *Mitt Geol. Ges.* 45: 1—112. Wien.
- PAPP A.—CICHA I.—SENEŠ J.—STEININGER F. 1978: M₄ Badenien. — *Chronostr. und. Neostrat. (Miozän der Zentralen Paratethys.) VEDA Slow. Akad. Wiss.* 6. Bratislava.
- PAPP A.—MARINESCU F.—SENEŠ J. 1974: M₅ Sarmatiens. — *Cronostr. und. Neostrat. (Miozän der Zentralen Paratethys.) VEDA Slow. Akad. Wiss.* 4. Bratislava.
- PAPP A.—SENEŠ J. 1978: Äquivalente des Badenian in der Östlichen Paratethys. — *Chronostr. und. Neostrat. M₄ Badenien. VEDA Slow. Akad. Wiss.*: 53—54. Bratislava.
- PAPP A.—STEININGER F. 1979: Die Äquivalente des Tortonien und Messiniens in der Zentralen Paratethys. — *Verhandl. Geol. Bundesanst.*: 161—170. Wien.
- POPA-DIMIAN E. 1962: Contributiuni la studiul paleontologiei al tortonianului din Subcarpati (Crivineni și valea Muscelului) cu privire specială la fauna cu Venus konkensis. — *Dari de Seama ale Sedintelor.* 47: 185—198. București.
- RADÓCZ Gy. 1974: Zostera—Bryozoa—Spirorbis biocönózis a Borsodi-medencéből. (A Zostera—Bryozoa—Spirorbis biocoenose from the Borsod basin.) — *Földt. Int. Évi Jel.* 1972-ről: 55—59.
- RAILEANU G. 1956: Prezenta Buglovianului in regiunea Apahida. — *An. Univ. C. I. Prahon,* 9 (9): 159—163. București.
- REUSS A. 1867: Die fossile Fauna der Steinsalzablagerungen von Wieliczka in Galizien. — *Sitzungsber. k. Akad. Wiss. Math. Nat. Cl.* 55. Abt. 1: 1—166. Wien.

- RÖGL F.—MÜLLER C. 1976: Das Mittelmiozän und die Baden—Sarmat Grenze in Walbersdorf (Burgenland). — Ann. Naturhist. Mus. 80: 221—232. Wien.
- SACCO F. 1890—1904: I molluschi dei terreni terziarii del Piemonte e della Liguria. — 6—30. Torino.
- SAULEA E. 1960: Contributions à la stratigraphie du Miocène des Subcarpates de la Munténie. — Ann. Com. Géol. 29—30: 241—270.
- SCHAFARZIK F.—VENDL A. 1929: Geológiai kirándulások Budapest környékén. — Földt. Int. kiadv.
- SCHWETZ T. 1912: Die Fauna der Tschokrak-Kalke der Halbinsel Kertsch. — Verhandl. Russ.-Kais. Min. Ges. 2. Ser. 49: 251—380. St. Petersburg.
- SELMECZI I. 1982: A Baranya megyei Hidas község térségében lemezelt három barnakőszén-kutató fúrás miocén rétegsorának ősleánytani vizsgálata. — Eötvös Loránd Tud. Egyet. Ösl. Tanszék, kézirat.
- SENEŠ J. 1955: Stratigraphische und biofaziente Untersuchung einiger neogener Sedimente der Ostslowakei auf Grund der Makrofauna. — Geol. Práce, 40: 1—171. Bratislava.
- SENEŠ J. 1956: Die Menge des Vorkommens einiger Weichtierarten in der brackischen Sedimenten. — Geol. Sborník, 7 (3—4): 214—221.
- SIDOROVA N. P. 1961: Some new Sarmatian cardiids from Mangyshlak. — Palaeont. Journ. 2: 43—49. Moscow.
- SKARLATO O. A.—STAROBOGATOV YA. I. 1972: Bivalvia. — Opredelitel' fauny Chernogo i Azovskogo morey. AN USSR, Izd. „Naukova Dumka”, 3: 178—242. Kiev.
- SOKOLOV N. 1899: Die Schichten mit Venus konkensis am Flusse Konka. — Mém. Com. Géol. 9 (5): 1—96. St. Petersburg.
- STEININGER F.—NEVESSKAYA L. A. 1975: Stratotypes of Mediterranean Neogene Stages. — Slov. Acad. Sc. 2: 1—364. Bratislava.
- STEININGER F.—RÖGL F.—MÜLLER C. 1978: Geodynamik und paläogeographische Entwicklung des Badenien. — Chronostr. und Neostrat. M4 Badenien. VEDA Slov. Akad. Wiss.: 110—116. Bratislava.
- STEVANOVIĆ P. M. 1960: Das Neogen in Jugoslawien in seinen Beziehungen zum Wiener Becken. — Mitt. Geol. Ges. 52: 189—201. Wien.
- STRACHIMIROV B. 1953: La faune tertiaire de littoral de la mer Noire entre la riv. de Kamtchia et le cap Eminé. — Bulg. Akad. Nauk. Otl. za Geol.-Geogr. i Kim. Nauki: 27—87. Sofia.
- STRACHIMIROV B. 1960: Tortonien du type Crimea-Caucasien. Les fossiles du Bulgarie. VII. Tortonien. — Akad. Sc. Bulg.: 247—299. Sofia.
- STRACHIMIROV B. 1971: Sur la présence du faune sténohaline dans les couches du Miocène moyen au sud de la Ville de Burgas, Bulgarie. — Földt. Közl. 101: 316—320.
- ŠVAGROVSKY J. 1960: Die Biostratigraphie und Molluskenfauna aus dem Obertorton des östlichen Fussses des Gebirges Slanské Hory. — Geol. Práce, 57: 3—156. Bratislava.
- TEJKAL J. 1968: Molluskenfauna und Entwicklung des Biotop im Torton der Umgebung von Zeliezovce (Donautiefebene). — Folia Facult. Sc. Nat. Univ. Purk. Brunensis, Geologia. Ser. 9. Geologia. 13 (1): 1—58. Brno.
- VADÁSZ E. 1906: Budapest-Rákos felső mediterrán korú faunájáról. (Über die obermediterrane Fauna von Budapest-Rákos.) — Földt. Közl. 36: 256—283 (323—351).
- VANCEA A. 1960: Neogenul din Bazinul Transilvaniei. — Edit. Acad. Rep. Pop. Rom.: 40—52. Bucureşti.
- VOLKOVA N. S. 1965: Polevoy atlas fauny tretichnykh otlozhenny Tsentral'nogo Perdkavkaz'ya. — Moscow.
- VREDENBURG E. 1928: Descriptions of Mollusea from the Post-Eocene—Tertiary formation of North-Western India. — Mem. Geol. Survey of India. Calcutta.
- ZHGENTI E. M. 1958: Razvitie mollyuskovoy fauny konskogo gorizonta Gruzii. — Trudy Inst. Paleob. AN Gruz. SSR. 5: 19—116.
- ZHIZHCHENKO B. 1934: Mollusca from the Miocene of Ciscaucasia. — Transact. Oil Geol. Inst. Ser. A. 38: 1—92. Moscow.
- ZHIZHCHENKO B. 1936: Tschokrakische Mollusken. — Paläont. USSR. Akad. Wiss. USSR. 10 (3) Leningrad.
- ZHIZHCHENKO B. P. 1959: Atlas srednemiotsenovoy fauny Severnogo Kavkaza i Kryma. — Gostoptekhizdat, Moscow.

PLATES
FÉNYKÉPTÁBLÁK

Plate I — I. tábla

- 1—2. *Spirolina rimosa ukrainica* DÍDK.
Mány 194. 8×
3. a) *Mactra basterotii konkensis* SOK.
b) *Modiolus incrassatus* D'ORB.
Pécsvárad. 2.1×
4. a) *Modiolus incrassatum* D'ORB.
b) *Cardium ruthenicum* HILB.
Pécsvárad. 2×
5. *Modiolus incrassatus* D'ORB.
Pécsvárad. 2×
- 6—8. *Modiolus incrassatus buglovensis* GAT.
6—7. Pécsvárad. 2×
8. Budapest, Keresztúri út. 1.5×
9. a) *Modiolus incrassatus buglovensis* GAT.
b) *Modiolus incrassatus* D'ORB.
Budapest, Rákos "vasúti delta". Veselyankian. 2×
- 10, 14. *Modiolus incrassatus sultananensis* GAT.
Internal mould and silicon rubber mould.
Pécsvárad. 2.8×
11. *Modiolus ustjurtensis* ZHIZH.
Perbál 5. Veselyankian. 2.5×
12. *Modiolus incrassatus subpapilio* GAT.
Budapest, Keresztúri út. 2×
13. *Modiolus incrassatus subpapilio* GAT.
Pécsvárad. 2.4×

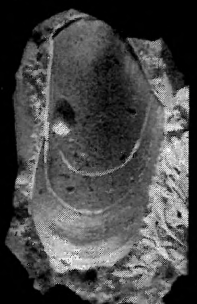
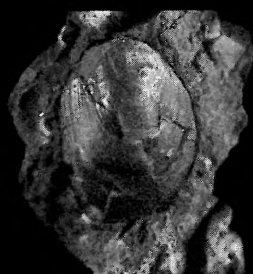
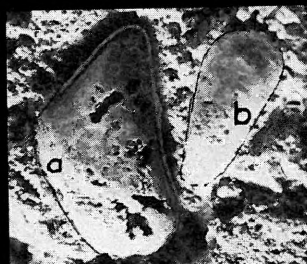
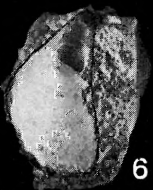
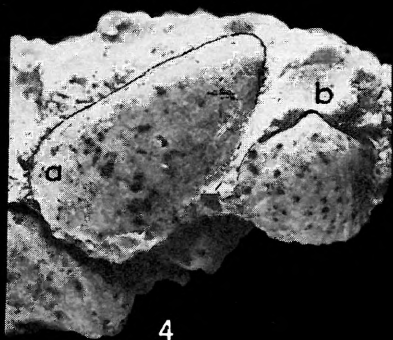


Plate II — II. tábla

- 1—3. *Musculus sarmaticus* GAT.
Pécsvárad. 2×
4. *Musculus sarmaticus naviculoides* KOLES.
Silicon rubber mould.
Pécsvárad. 2×
- 5—6. *Taras rotundatus caucasicus* ZHIZH.
Silicon rubber mould and internal mould.
Budapest, Örs vezér tér. Veselyankian. 2.8×
7. *Taras rotundatus caucasicus* ZHIZH.
Pécsvárad. 2.8×
- 8—9. *Taras rotundatus caucasicus* ZHIZH.
Budapest, Gyakorló út. 2×
- 10—12. *Lutetia (Spaniodontella) sokolovi* SINZ.
Perbál 5. Veselyankian. 8×
- 13—15. *Cardium obsoletum* EICHW.
13, 15. Internal mould. 3×
14. Silicon rubber mould. 2×
Pécsvárad.
16. *Cardium obsoletum* EICHW. subjuv.
Silicon rubber mould.
Budapest, Keresztúri út. 2×
17. *Cardium obsoletum* EICHW.
Silicon rubber mould.
Balatonakali 40. Veselyankian. 1.3×
18. *Cardium obsoletum* EICHW.
Perbál 5. Veselyankian. 2×
19. *Cardium ruthenicum* HILB.
Silicon rubber mould.
Budapest, Keresztúri út. 2.3×

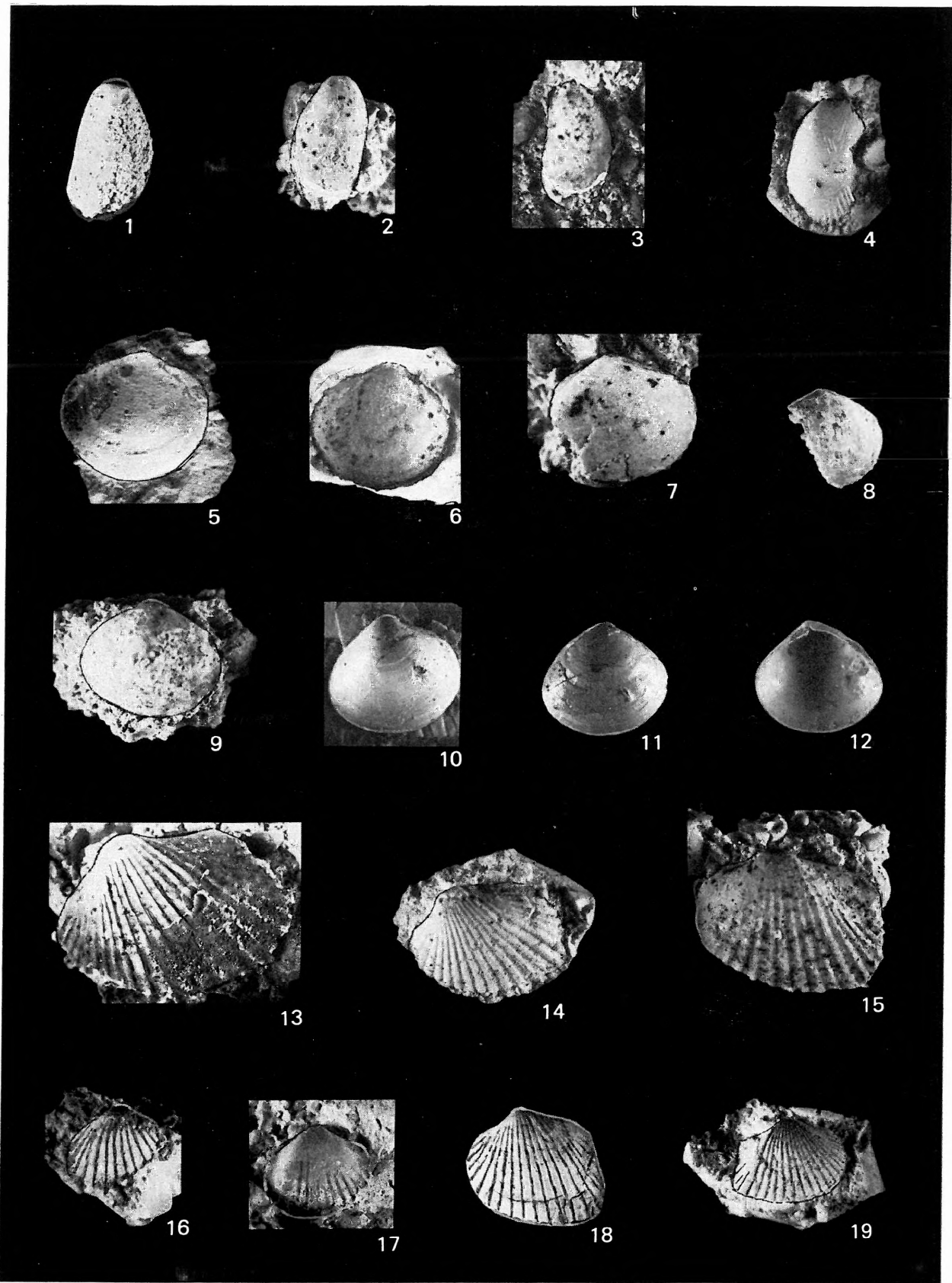


Plate III — III. tábla

1. *Cardium ruthenicum* HILB.
Budapest, Örs vezér tér. Veselyankian. 2×
- 2—5, 8. *Cardium ruthenicum* HILB.
2—5 and 8. Silicon rubber mould.
Balatonakali 40. Veselyankian. 2×
- 6, 9. *Cardium lithopodolicum* DUB.
Budapest, Örs vezér tér. Veselyankian. 2×
7. *Cardium kokkupicum* ANDR.
Budapest, Örs vezér tér. Veselyankian. 3×
10. *Cardium* cfr. *kaudense volhynicum* GRISCH.
Silicon rubber mould.
Budapest, Örs vezér tér. Veselyankian. 3×
11. *Cardium* cfr. *kaudense* SIDOR.
Silicon rubber mould.
Pécsvárad. 4×
12. *Cardium* cfr. *fischeriforme millelocum* SIDOR.
a) 2×
b—c) Silicon rubber mould. 4×
Balatonakali 40. Veselyankian.
- 13—16. *Cardium praeplicatum* HILB.
13. Mány 192. 3.7×
14. Budapest, Gyakorló út. 2×
15. Mány 8. Veselyankian. 2.4×
16. Hegymagos 84. 1×
17. *Cardium irregularare* EICHW.
Silicon rubber mould.
Balatonakali 40. Veselyankian. 2×
18. *Cardium mányense* KÓKAY
Mány 6. 3.5×

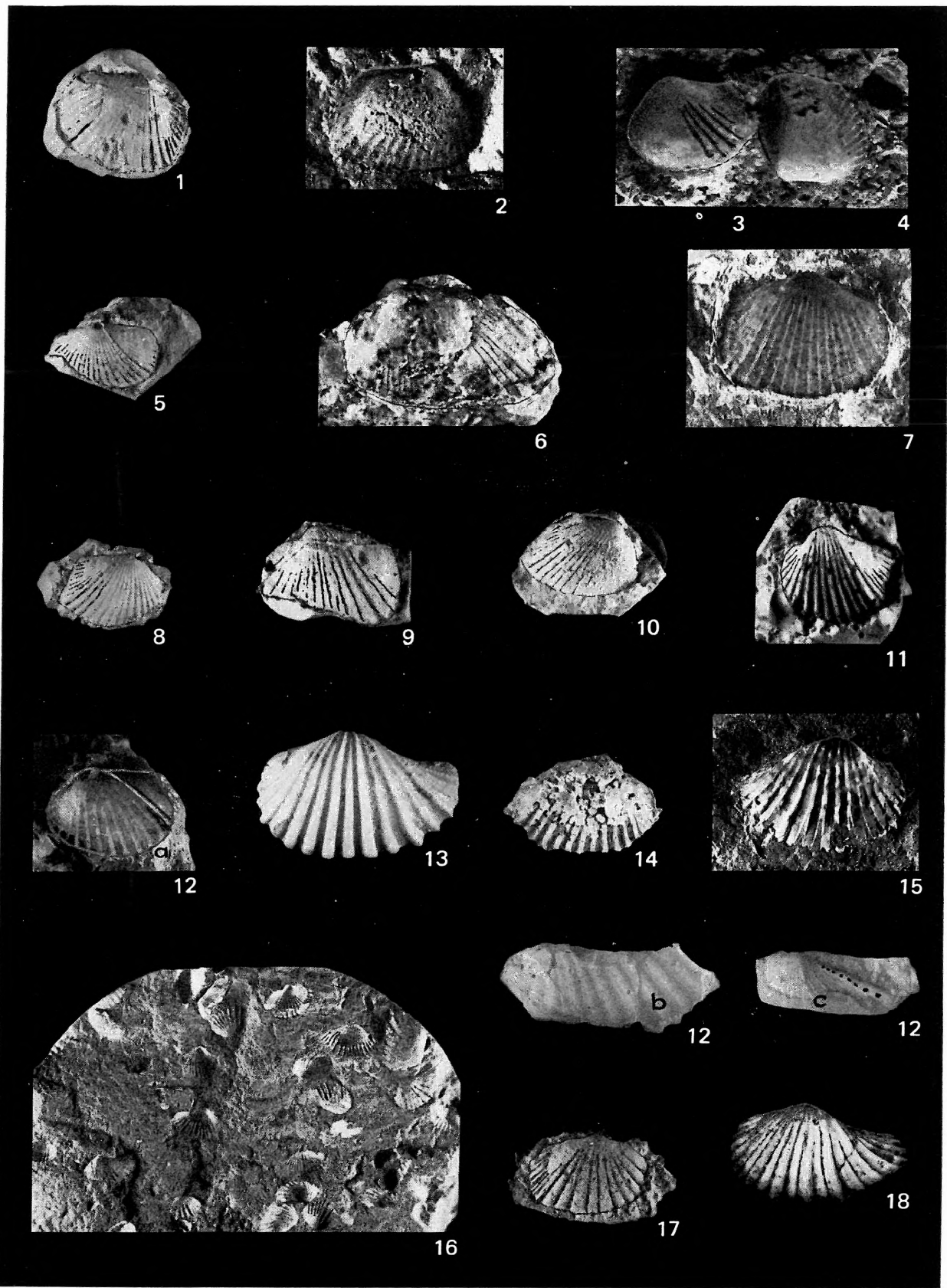


Plate IV — IV. tábla

- 1—3. *Cardium mányense* KÓKAY
Mány 6. $3.5\times$
- 4—9. *Cardium scylothicum* SOK.
Perbál 5. Veselyankian. 4—8: $2.3\times$, 9: $3\times$
- 10—14. *Cardium (Acanthocardia) aculeatum platorvi* BOG.
10, 13, 14. Hegymagos 84. $1.5\times$
11. Mány 198. Veselyankian. $1.6\times$
12. Mány 8. Veselyankian. $1.3\times$
15. *Cardium* sp.
Perbál 5. Veselyankian. $3.1\times$

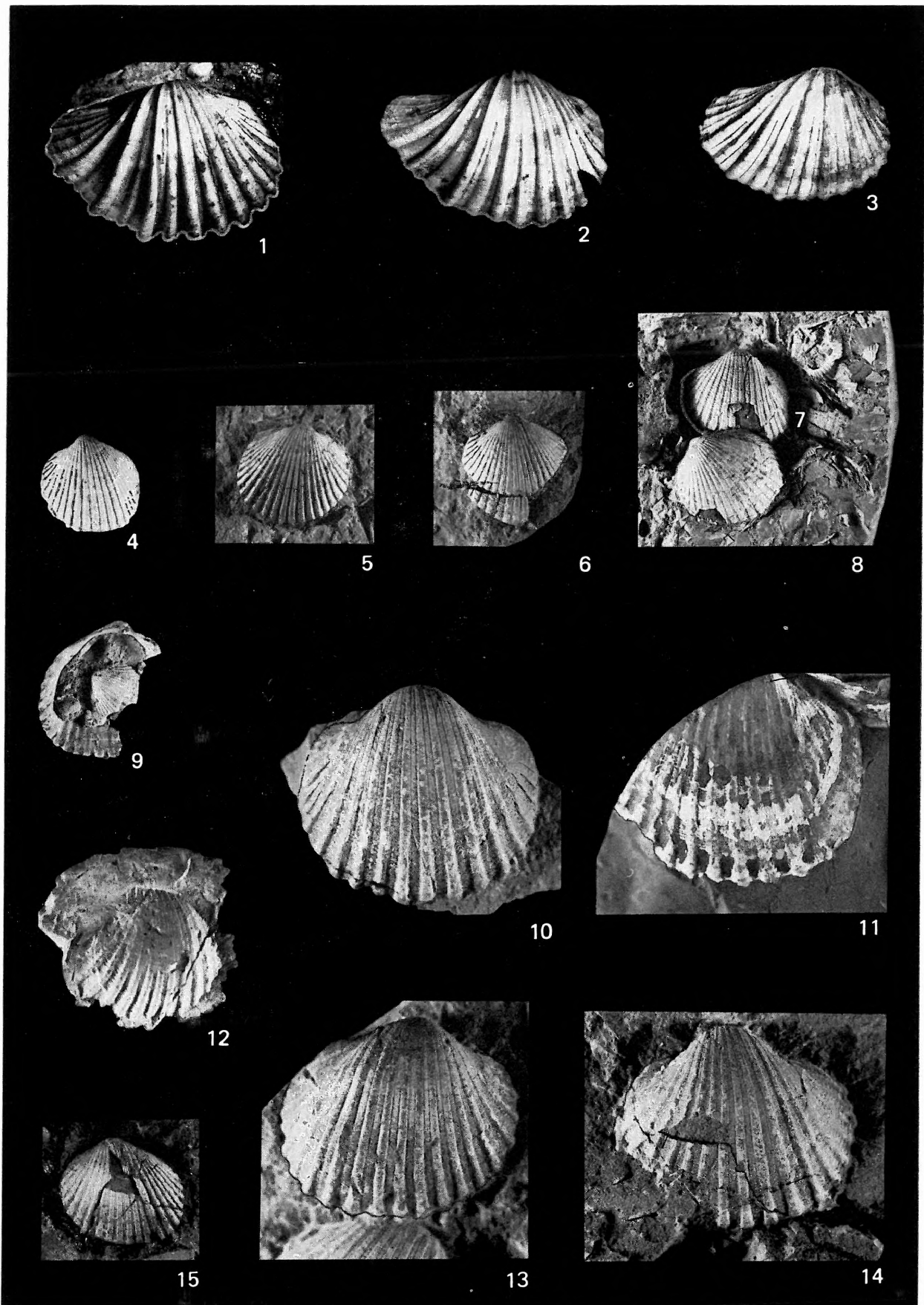


Plate V — V. tábla

1—2. *Cardium (Acanthocardia) aculeatum platovi* BOG.

Mány 8. Veselyankian. 1.8×

3. *Trachycardium pseudomulticostatum* ZHIZH.

Mány 8. Veselyankian. 1.7×

4—12. *Venus (Timoclea) konkensis* SOK.

Perbál 6. 6×

13—14, 16—22. *Paphia secunda* BOG.

Perbál 6. 2.8×

15. *Venus (Timoclea) konkensis* SOK. juv.

Mány 192. 15×

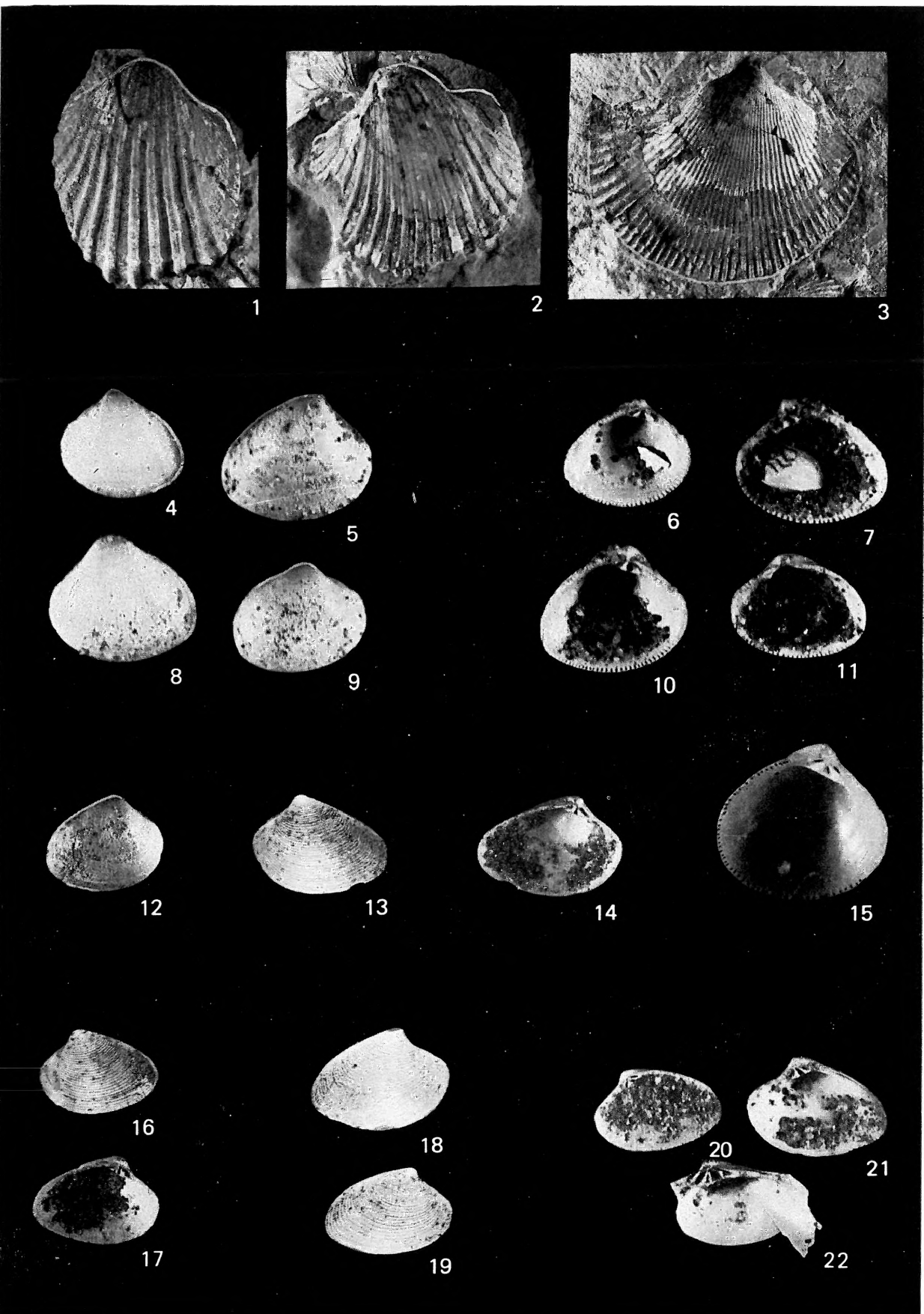
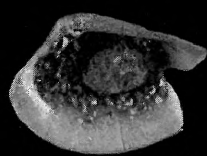
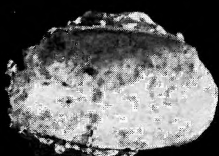


Plate VI — VI. tábla

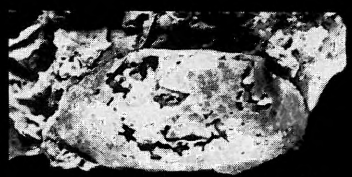
1. *Paphia secunda* BOG.
Mány 192. 3×
- 2—3. *Paphia vitaliana infrasarmatica* ANDR.
2. Budapest, Rákos "vasúti delta". Veselyankian. 2.7×
3. Budapest, Gyakorló út. 2.7×
4. *Irus (Paphirus) gregarius modestus* DUB.
Perbál 6. 3×
5. *Paphia vitaliana infrasarmatica* ANDR.
Budapest, Keresztúri út. Veselyankian. 2.7×
- 6—7. *Ervilia trigonula* SOK.
6. Budapest, Keresztúri út. 4.5×
7. Mány 8. Veselyankian. 5×
- 8—9. *Ervilia pusilla dissita* EICHW.
Pécsvárad. 2.2×
- 10—12. *Abra alba scythica* SOK.
10. Perbál 5. Veselyankian. 2.5×
11—12. Pécsvárad. 2.5×
- 13—14. *Abra reflexa* EICHW.
Pécsvárad. 2.2×
- 15—17. *Abra parabilis attalica* MERKL.
15. Mány 192. 3.5×
16—17. Hegymagos 78/18. 1.9×



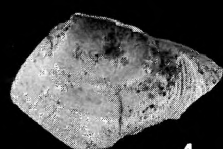
1



2



3



4



5



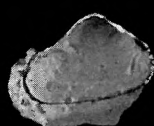
6



7



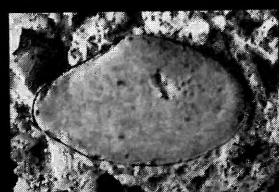
8



9



10



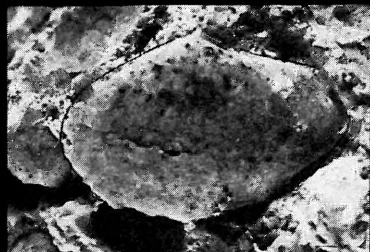
11



12



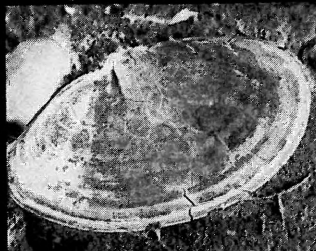
13



14



15



16



17

Plate VII — VII. tábla

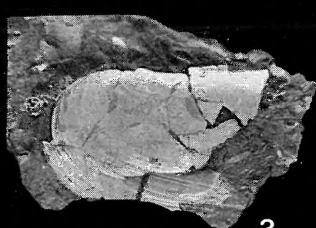
1. *Abra parabilis attalica* MERKL.
Hegymagos 78/18. 1.5×
2. a) *Cultellus scaphoideus* ZHIZH.
b) *Cardium scylothicum* SOK.
Perbál 5. Veselyankian. 2.4×
- 3, 5. *Cultellus scaphoideus* ZHIZH.
Perbál 5. Veselyankian. 2.4×
4. a) *Cultellus scaphoideus* ZHIZH.
b) *Abra alba scythica* SOK.
Perbál 2. Veselyankian. 1.6×
- 6, 10. *Mactra basteroti konkensis* SOK.
Pécsvárad. 2×
7. a) *Mactra basteroti konkensis* SOK.
b) *Modiolus incrassatus* D'ORB.
c) *Cardium ruthenicum* HILB.
d) *Cardium obsoletum* EICHW. juv.
e) *Pirenella picta mitralis* EICHW.
f) *Ervilia pusilla dissita* EICHW.
Pécsvárad. 1.7×
- 8—9. *Mactra basteroti konkensis* SOK.
8. Budapest, Órs vezér tér. 2×
9. Rákosi "vasúti delta". Veselyankian. 2×



1



2



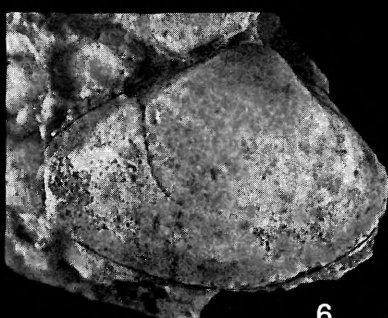
3



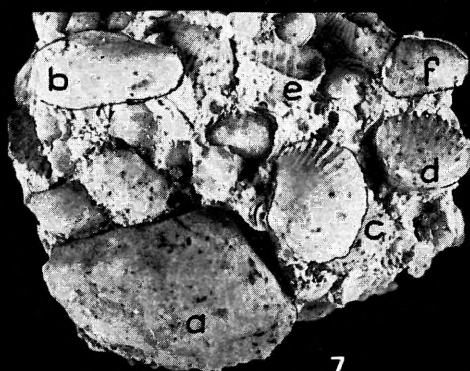
4



5



6



7



8



9



10

Plate VIII — VIII. tábla

- 1—3. *Mactra basteroti konkensis* SOK.
Budapest, Örs vezér tér. Veselyankian. 2×
4. *Mactra quasideltoides* BOG.
Budapest, H. 34. 1.7×
- 5—7. *Mactra andrussovi* KOLES.
Budapest, Örs vezér tér. Veselyankian. 2.3×
8. *Mactra ex aff. timida* ZHIZH.
Budapest, Örs vezér tér. Veselyankian. 2.6×
9. *Corbula michalskii* SOK.
Perbál 6. 3×
- 10—12. *Pholas bogatchevi* OSSIPOV
Perbál 6. 6×
13. *Pholas bogatchevi tanaica* OSSIPOV
Perbál 6. 4×
14. *Barnea ustjurtensis sinzovi* OSSIPOV
Perbál 6. 10×
15. *Gibbula cremenensis* ANDRZ.
Silicon rubber mould.
Pécsvárad. 3×
16. *Gibbula confessa* LIVER.
Silicon rubber mould.
Pécsvárad. 3.5×
17. *Gibbula cfr. confessa* LIVER.
Silicon rubber mould.
Pécsvárad. 3×
18. *Gibbula subbalatro* KOLES.
Silicon rubber mould.
Pécsvárad. 3×

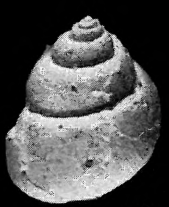
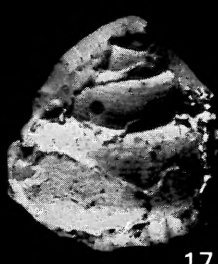
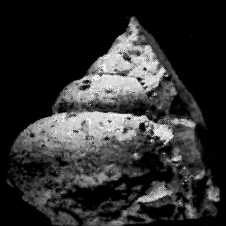
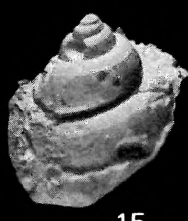
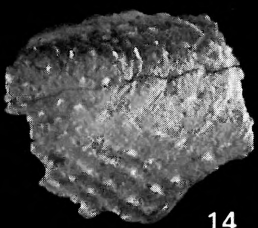
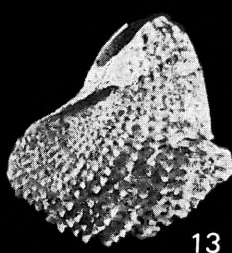
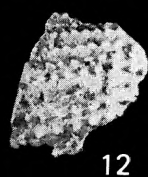
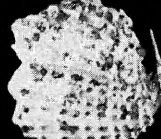
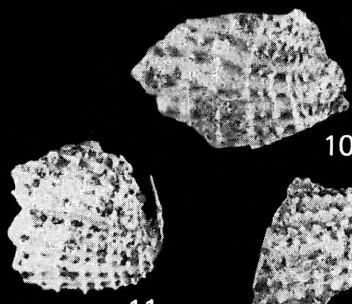
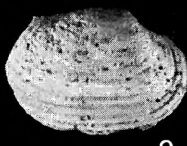
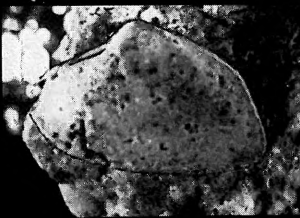
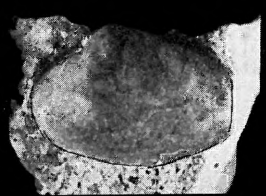
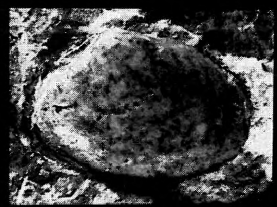
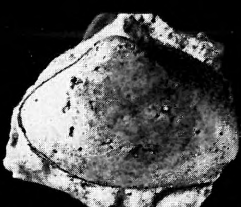
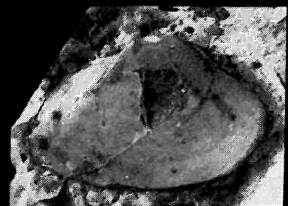
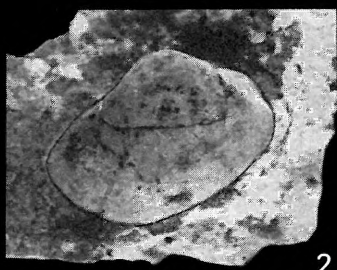
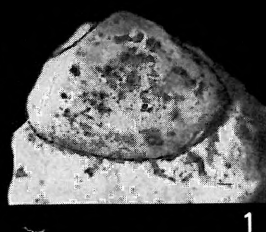
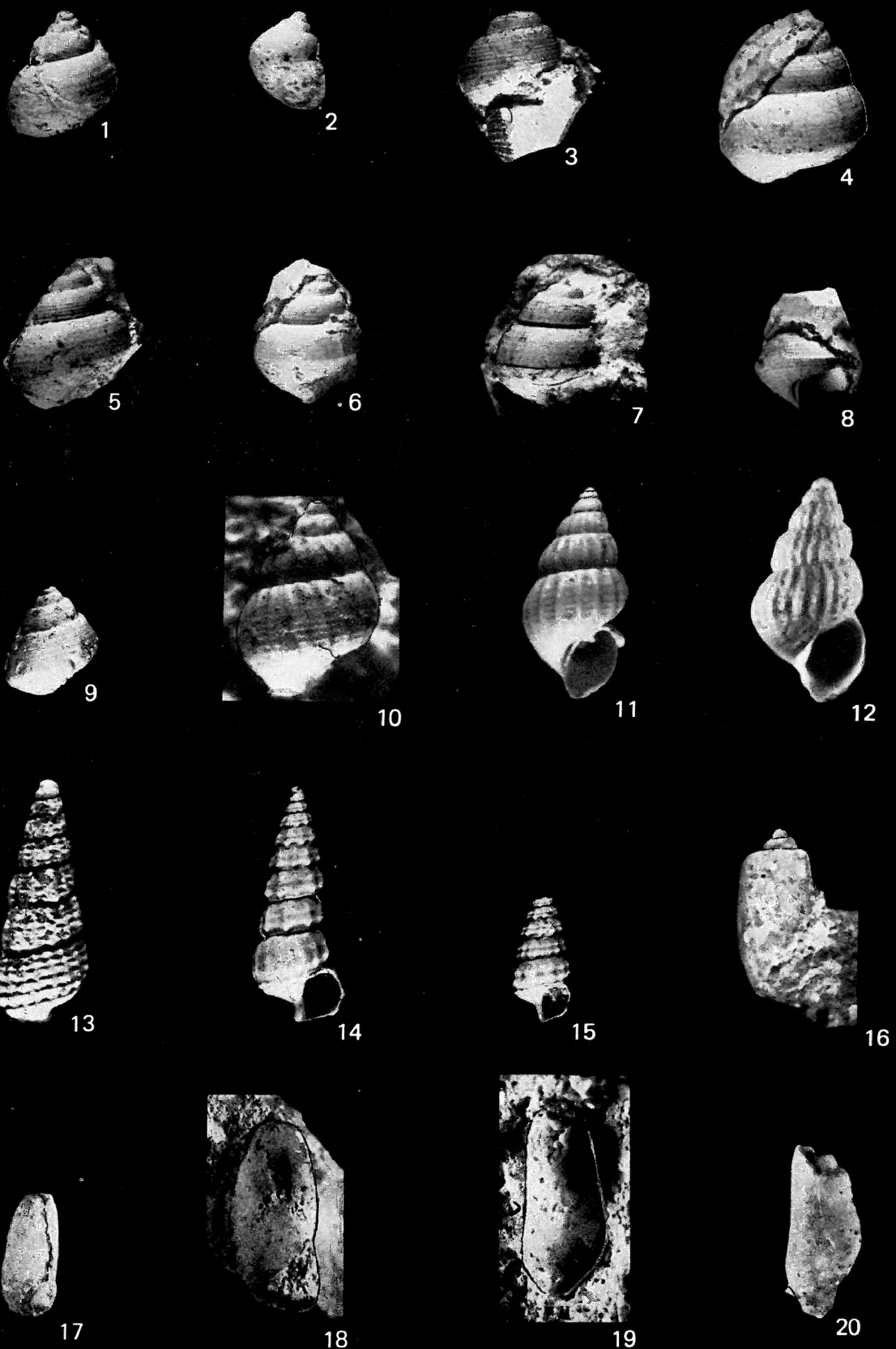


Plate IX — IX. tábla

- 1—2. *Gibbula subbalatro* KOLES.
 Silicon rubber mould.
 Pécsvárad. 3.2 ×
3. *Calliostoma angulatum* EICHW.
 Silicon rubber mould.
 Pécsvárad. 3 ×
- 4—6. *Calliostoma angulatum spirocarinatum* PAPP
 Silicon rubber mould.
 Pécsvárad. 3 ×
- 7—8. *Calliostoma anceps joanneum* HILB.
 Silicon rubber mould.
 Pécsvárad. 3 ×
9. *Calliostoma guttnerbergi* HILB.
 Silicon rubber mould.
 Pécsvárad. 3 ×
10. *Mohrensternia pseudoinflata* FRIEDB.
 Silicon rubber mould.
 Pécsvarad. 5 ×
11. *Mohrensternia pseudoinflata* FRIEDB.
 Perbál 6. 10 ×
12. *Mohrensternia multicostata* SENEŠ
 Perbál 6. 10 ×
13. *Bittium reticulatum konkensis* SOK.
 Perbál 6. 10 ×
- 14—15. *Newtoniella dertobicarinata agibelica* ZHIZH.
 Perbál 6. 6 ×
16. *Actaeocina lajonkaireana buhlovensis* FRIEDB.
 Pécsvarad. 5.8 ×
- 17—18. *Cyclidna melitopolitana* SOK.
 17. Budapest, Keresztúri út. 4.2 ×
 18. Budapest, Órs vezér tér. Veselyankian. 5 ×
- 19—20. *Cyllichna melitopolitana* SOK. var.
 Pécsvarad. 3.7 ×



**A STUDY OF OTTNANGIAN MOLLUSCS
FROM THE EASTERN BORSOD BASIN
(N HUNGARY)**

by

DR. M. BOHN-HAVAS

**A KELET-BORSODI MEDENCE
OTTNANGI KÉPZŐDMÉNYEINEK MOLLUSCA VIZSGÁLATA**
Írta

DR. BOHNNÉ DR. HAVAS MARGIT

A STUDY OF OTTNANGIAN MOLLUSCS FROM THE EASTERN BORSOD BASIN

INTRODUCTION

Recent upswing of brown-coal explorations in the Borsod Basin has provided an excellent opportunity for a paleontological study of the Miocene formations. Jointly with the exploration programmes in this Basin, the present writer has studied megafossils since 1978.

The research hitherto carried out has embraced four exploration areas covering the whole territory of the Eastern Borsod Basin (Fig. 1). 32 boreholes cutting Eggenburgian to Sarmatian formations were evaluated from the study area.

Our task was to study the fauna primarily of the Salgótarján Brown-Coal Formation, so in the present paper we shall give an evaluation of only those borehole sections (19 boreholes) which have furnished important information on the brown-coal measures. The megafossils of the schlier-like rocks overlying the Salgótarján Brown-Coal Formation and occurring only on the eastern margin of the basin (Újdiósgyőr-Forrásvölgy, Duzsnok) are dealt with just tangentially.

In our evaluation of the megafossils, we have profited of the results of paleontological studies by T. BÁLDI (1973a, in BÁLDI—RADÓCZ 1971), A. KECSKEMÉTI-KÖRMENDY (1959), GY. RADÓCZ (1960—75) and Z. SCHRÉTER (1929, 1952, 1959) as well.

I. GEOLOGICAL SETTING AND FAUNA OF THE AREAS EXPLORED

Tertiary boundaries to the E Borsod Basin are set by the Bükk Mountains in the southwest, the uplifted basement ranges of the Bükk and Rudabánya Mountains in the north-northeast and the Lower Paleozoic fault blocks of the Szendrő Mountains in the north-northeast.

Our studies have encompassed four brown-coal exploration areas within the basin (Fig. 1):

1. Újdiósgyőr-Forrásvölgy;
2. Tardona—Peres;
3. Felsőnyárád—Sajógalgóć;
4. Duzsnok (Sajószentpéter).

The idealized geological sections of the exploration areas are given in Fig. 2, the distribution of the most common and typical faunal associations is shown in Fig. 3.

Area 1: Újdiósgyőr-Forrásvölgy

The Újdiósgyőr-Forrásvölgy area lies on the southeastern margin of the E Borsod Brown-Coal Basin, north of Miskolc, in the immediate neighbourhood of the city. The boreholes studied from the area in question were Dgy. 366 (Újdiósgyőr) and Dgy. 367 (Forrásvölgy) (Fig. 4a).

Gyulakeszi Rhyolite Tuff Formation

Known as being constituted by terrestrial, water-deposited, weathered, redeposited and argilaceous facies in the study area, the Gyulakeszi Rhyolite Tuff Formation has been identified with the rhyolite tuffs and tuffaceous clays intersected in the interval of 364.9 to 357.0 m of borehole Dgy. 366. Borehole Dgy. 367 did not intersect the Lower Rhyolite Tuff.

Salgótarján Brown-Coal Formation

The coal measures and the rocks with uniform and peculiar sedimentary features appearing in the higher overlying series of Seam I, and probably assignable to the Garáb Schlier Formation, were cut in the interval of 357.0 to 31.6 m by borehole Dgy. 366 and between 472.1 and 224.0 m by borehole Dgy. 367. The alleged Garáb Schlier Formation in the borehole Dgy. 366 had a thickness of 90 m, and, in Dgy. 367, a thickness of 80 m, as shown by the results of faunal analyses. On evidence of the sequences studied for a comparison, the formation is common, though in varying thickness, in the study area.

The Salgótarján Brown-Coal Formation is represented, as a rule, by a five-seam-built coal measures complex, with intercalations composed of sands, micaceous sands, clayey sands, clays, clayey silts and sandy clays of varying grain size containing a comparatively rich, diversified, but usually poorly preserved Mollusca fauna.

Seam V

No Mollusca fauna was found.

Intercalations between Seams V and IV

Composed of sandy silts, tuffaceous sands and clays as well as sandy rocks, the sequence in question has a Mollusca fauna assignable to the *Crassostrea*- and *Cardium*—*Pirenella*—*Theodoxus*—*Congeria*—*Hydrobia*—*Melanopsis* associations.

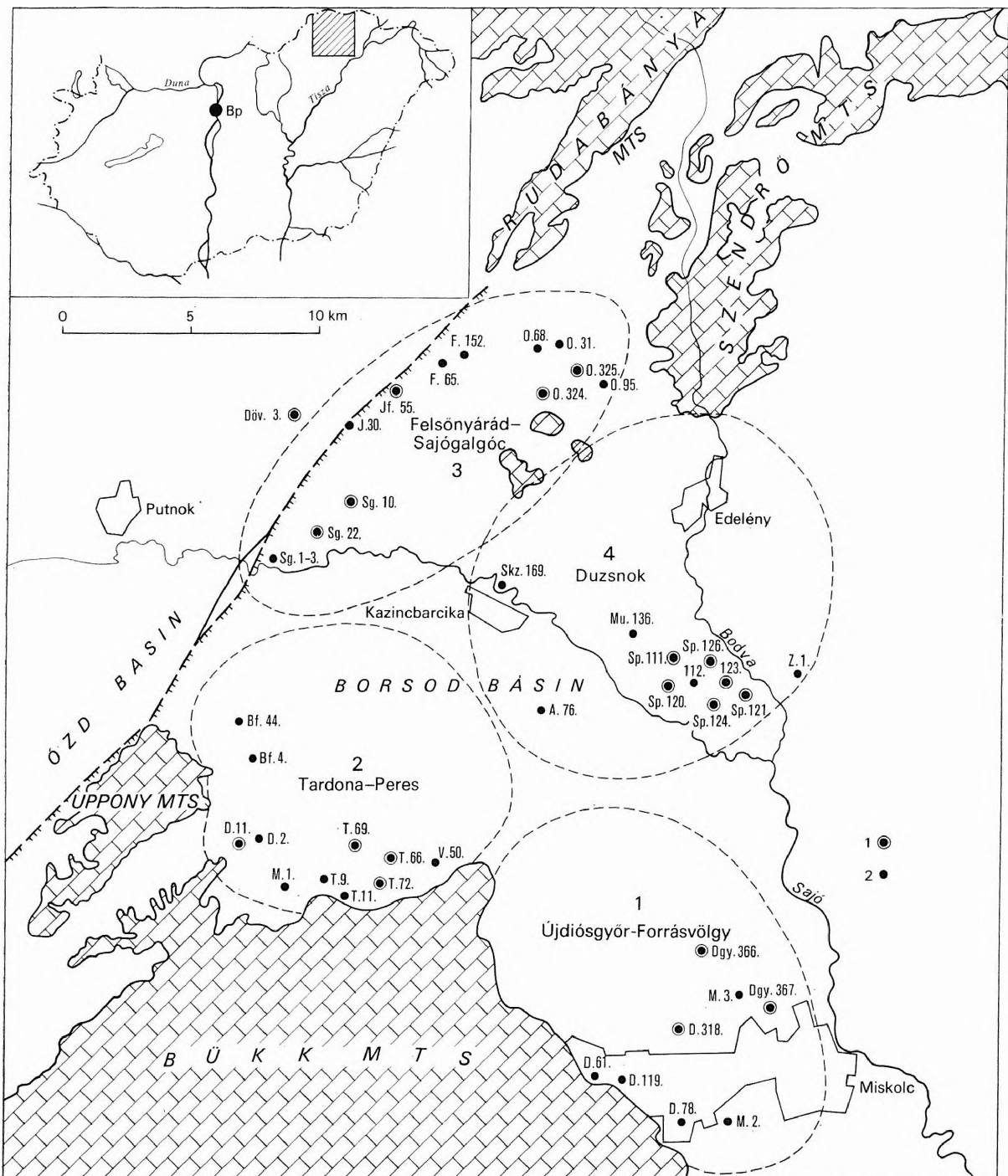


Fig. 1. Layout of exploration areas and important boreholes

1. Studied boreholes, 2. comparative boreholes. F = Felsőnyárád, O = Ormosbánya, Jf (J) = Jákfalva, Sg = Sajógalgóc, Skz = Sajókaza, Mu = Mucsony, Sp = Sajószentpéter, A = Alacska, Bf = Bánfalva, T = Tardona, D = Dédestapolesány, Döv = Dövény, M = Miskolc, V = Varbó, Dgy = Diósgyőr

1. ábra. A kutatási területek és a legfontosabb fúrások helyszínrajza

1. Vizsgált fúrások, 2. összehasonlító fúrások

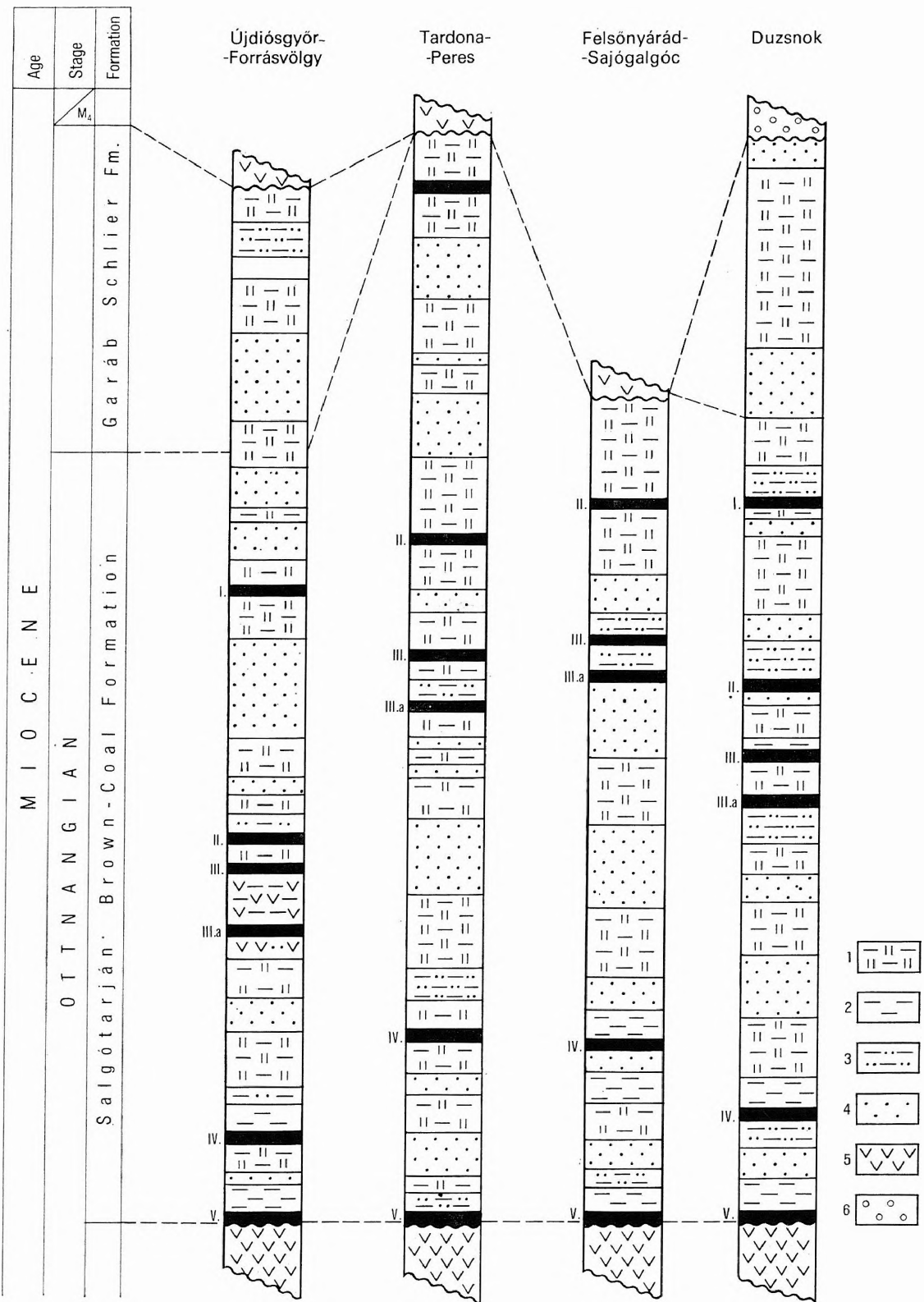


Fig. 2. Schematic geological section across exploration areas

1. Silt, sandy silt, 2. clay, claymarl, 3. sandy clay, 4. sand, 5. rhyolite tuff, 6. gravel

2. ábra. A kutatási területek vázlatos földtani szelvénye

1. Aleurit, homokos aleurit, 2. agyag, agyagmárga, 3. homokos agyag, 4. homok, 5. riolittufa, 6. kavics

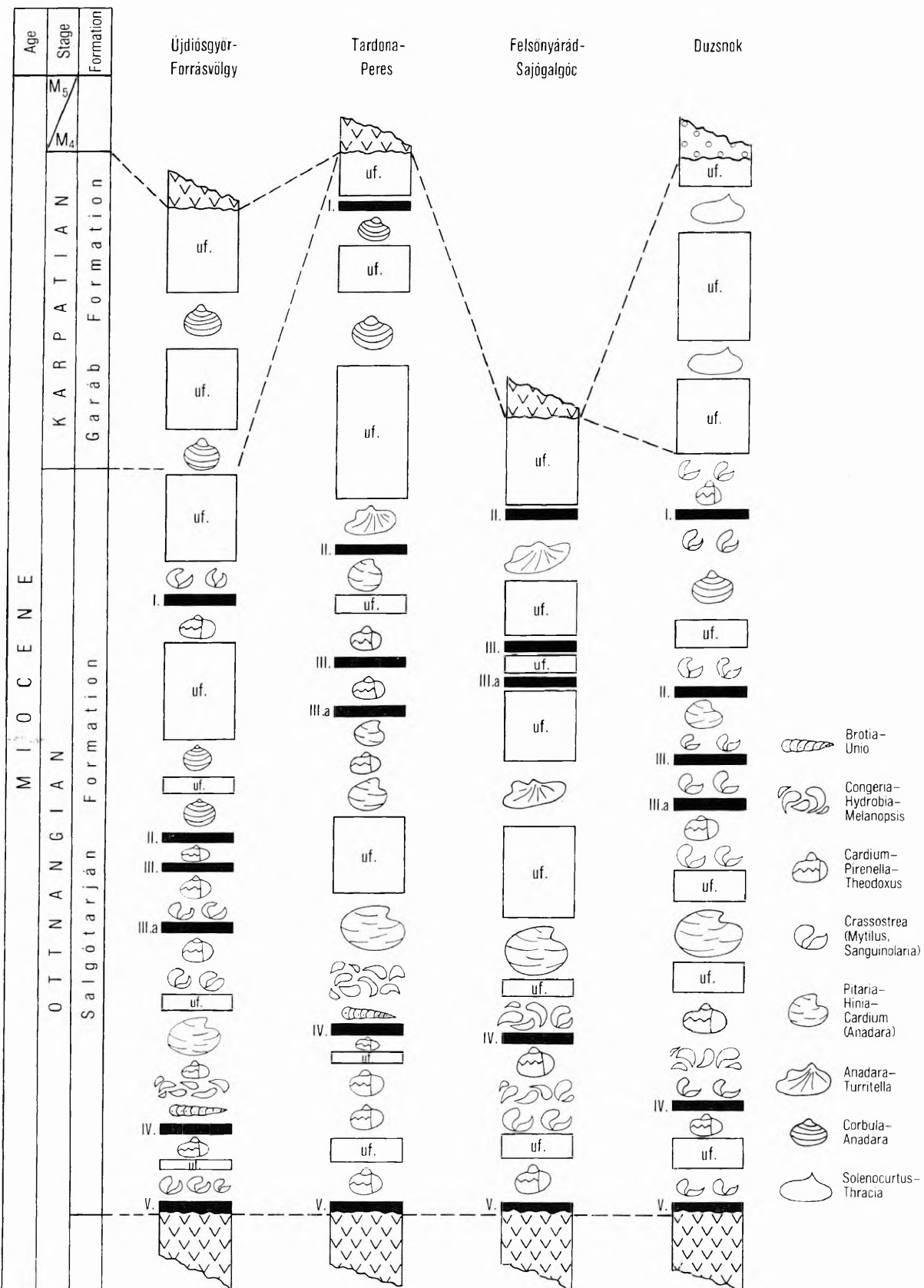


Fig. 3. Distribution of characteristic megafossil associations by exploration areas

2. ábra. A jellegzetű megfosszilis aszociációk elterjedése kutatói területeken körül.

Above Seam V there is a bed composed of an accumulation of single *Crassostrea crassissima* valves washed together, including very frequent borer-perforated shells in the upper part of the bed. On top of this, the Cardium—Pirenella—Theodoxus association grades upwards into that of the Congeria—Hydrobia—Melanopsis. In the tuffaceous clays underlying the redeposited tuffs forming the immediate footwall of Seam IV, it is the Cardium—Pirenella—Theodoxus association that regains predominance.

Seam IV

From the carbonaceous clay intercalations in the upper part of Seam IV, *Brotia escheri* and *Helix* sp. have come into the fore.

Intercalations between Seams IV and III/a

The sequence is composed of alternating silts, sandy silts, silts and clayey sands with two major sandy intercalations that are for the most part unfossiliferous. The Mollusca fauna is characterized by faunal associations showing the predominance of *Crassostrea*; Cardium—Pirenella—Theodoxus; Congeria—Hydrobia—Melanopsis; Pitaria—Cardium—Hinia (Anadara) and Sanguinolaria.

In borehole Dgy. 366, it is first *Crassostrea*—*Mytilus* and then *Congeria lumachelles* that appear above Seam IV, as being accompanied by *Pirenella*, *Theodoxus*, *Hydrobia* and *Congeria*. And, after a thin unfossiliferous interval, it is the *Pitaria*—*Cardium*—*Hinia* (Anadara) association that takes over the lead. Next to follow there is again an unfossiliferous interval and eventually there follow alternating beds with *Cardium*—*Pirenella*—*Theodoxus*, *Congeria*—*Hydrobia*—*Melanopsis*, *Crassostrea* and *Pitaria*—*Cardium*—*Hinia* (Anadara). The footwall of Seam III/a is represented by a tuffaceous-argillaceous formation containing a very peculiar fauna (*Sanguinolaria labordei* being predominant).

Borehole Dgy. 367 went through similar fossil assemblages, the difference consisting here, by and large, in that the *Ostrea*—*Mytilus* fauna in the hanging wall of Seam IV is absent, and that of the *Pitaria*—*Hinia*—*Cardium* (Anadara) association is present instead.

Intercalations between Seams III/a and III

The sequence is constituted predominantly by nontuffaceous, clayey, sandy, silty beds. In this interval of borehole Dgy. 366, *Crassostrea*- and *Pitaria*—*Cardium*—*Hinia* (Anadara) associations appear.

Intercalations between Seams III and II

The sequence is composed overwhelmingly of (unfossiliferous) sands, silts and clayey silts, the fauna of these latter being characterized by *Crassostrea*- and *Cardium*—*Pirenella*—*Theodoxus*. Seams II and II/a are underlain by *Crassostrea*-bearing beds.

Intercalations between Seams II—I/a—I

Borehole Dgy. 367 cut, in this interval, overwhelmingly unfossiliferous sands and sandy clays, with a *Cardium*—*Pirenella* association in the hanging wall of Seam II.

In borehole Dgy. 366 the sandy beds are usually unfossiliferous, while the silty or, subordinately, sandy beds around the middle of the sequence turned out to contain an Anadara fauna. Above Seam I/a, in borehole Dgy. 366, an alternation of *Cardium*—*Pirenella*—*Theodoxus* and *Crassostrea* associations is characteristic.

Beds overlying Seam I

In the hanging wall of Seam I, silt- and sandy silt beds occur. Characteristically enough, a *Crassostrea* bed appears at a height of about 8 to 10 m above Seam I. Next to it, in borehole Dgy. 367, the overlying sand beds are completely unfossiliferous and, at 224 m, the last fossiliferous bed is indicated by fragments of *Crassostrea*.

In borehole Dgy. 366, the immediate overlying bed is characterized by an alternation of *Crassostrea* and *Cardium*—*Pirenella*—*Theodoxus* associations and, subsequently, a *Corbula*—*Anadara* association appears in the silty sequence of the higher overburden, between 143.0 and 115.0 m. Higher up the section, the rocks with the afore-mentioned assemblage alternate with unfossiliferous beds. From this interval of the borehole, only point samples were available to the author.

Borehole Dgy. 366 started in this sequence, whereas in borehole Dgy. 367 it is Sarmatian (rhyolite tuff) rocks that follow in the higher overlying sequence of the Salgótarján Brown-Coal Formation.

Area 2: Tardona—Peres

The Tardona—Peres brown-coal deposit lies on the southwestern side of the E Borsod Basin.

Salgótarján Brown-Coal Formation

Of the boreholes studied, T. 66, 69 and 72 were those which cut the formation. This includes supposedly five coal seams, but Seam I and, in a lot of cases, Seam II too are absent due to erosion, so that deeper members of the coal measures would be overlain by Badenian marine or Sarmatian deposits (Fig. 4b).

Intercalations between Seams V and IV

The sequence is composed of alternating clays, silts, sandy silts and sands. The Cardium—Pirenella—Theodoxus association is most common in borehole sections T. 66 and T. 69, and a thin Congeria—Hydrobia lumachelle and, in the latter, an interbedding with Pitaria—Cardium—Hinia (Anadara) is also present. As opposed to the case of the two afore-mentioned boreholes, in the sandy silt beds underlying Seam IV in borehole T. 72, an Anadara—Turritella association was identified.

Intercalations between Seams IV and III/a—III

The sequence is composed largely of unfossiliferous sand, clayey sand and sandy silt beds. In borehole T. 72, Seam IV is directly overlain by a Congeria lumachelle, and the sandy silt overlying this shows the return of the Anadara—Turritella association observed in, and thus known from, the footwall of Seam IV. At a height of about 15 m above the seam, first a Zostera—Spirorbis association and then a Mytilus—Unio fauna appear and, after 3 metres of unfossiliferous interval, it is again the Pitaria—Cardium—Hinia (Anadara) association that regains predominance for a long interval on. Above Seam IV, at a height of about 40 to 50 m from its surface, it is for the most part unfossiliferous sands that follow in all three boreholes. In T. 66, the footwall of Seam III/a is marked by the Pitaria—Cardium—Hinia (Anadara) association.

In borehole sections T. 72 and T. 69, Seam III/a is absent. Here, after the unfossiliferous interval — before the appearance of Seam III —, the occurrence or alternation of Congeria—Hydrobia—Melanopsis-, Cardium—Pirenella—Theodoxus-, Mytilus—Sanguinolaria- and Pitaria—Cardium—Hinia associations is observable. The footwall of Seam III is represented, unlike the other cases, by sands with molluscan shell detritus or without fauna.

Intercalations between Seams III and II

The sequence is composed of unfossiliferous sand (immediately underlying Seam II), silt and sandy silt beds. In borehole section T. 72, Seam III is directly overlain by a Congeria lumachelle, whereas in T. 66 and T. 69, after an alternation of Cardium—Pirenella—Theodoxus and Crassostrea associations, a Pitaria—Cardium—Hinia (Anadara) one makes its appearance.

Beds overlying Seam II

Our two point samples taken from the silt and sandy silt beds of the sequence do not enable the delineation of the upper formation boundary. Both samples are composed of silt, with the presence of a Corbula—Anadara association being conspicuous.

Area 3: Felsőnyárád—Sajógalgóć

The Felsőnyárád—Sajógalgóć area is situated in the northwestern part of the E Borsod Basin, occupying the vicinities of Jákfalva, Felsőnyárád, Kurityán and Ormosbánya. In the studied borehole sections (Jf. 55, Ku. 630, 631, Ob. 322, 323), the brown-coal measures complex is represented only by Seams V and IV. It was in conjunction with this area that the fauna from boreholes Sajógalgóć 10 and 22 was studied (Fig. 4c).

Gyulakeszi Rhyolite Tuff Formation

Redeposited tuffaceous, sandy and argillaceous rocks traceable in comparatively great extension and thickness in the Feketevölgy area have been assigned to the Gyulakeszi Rhyolite Tuff Formation.

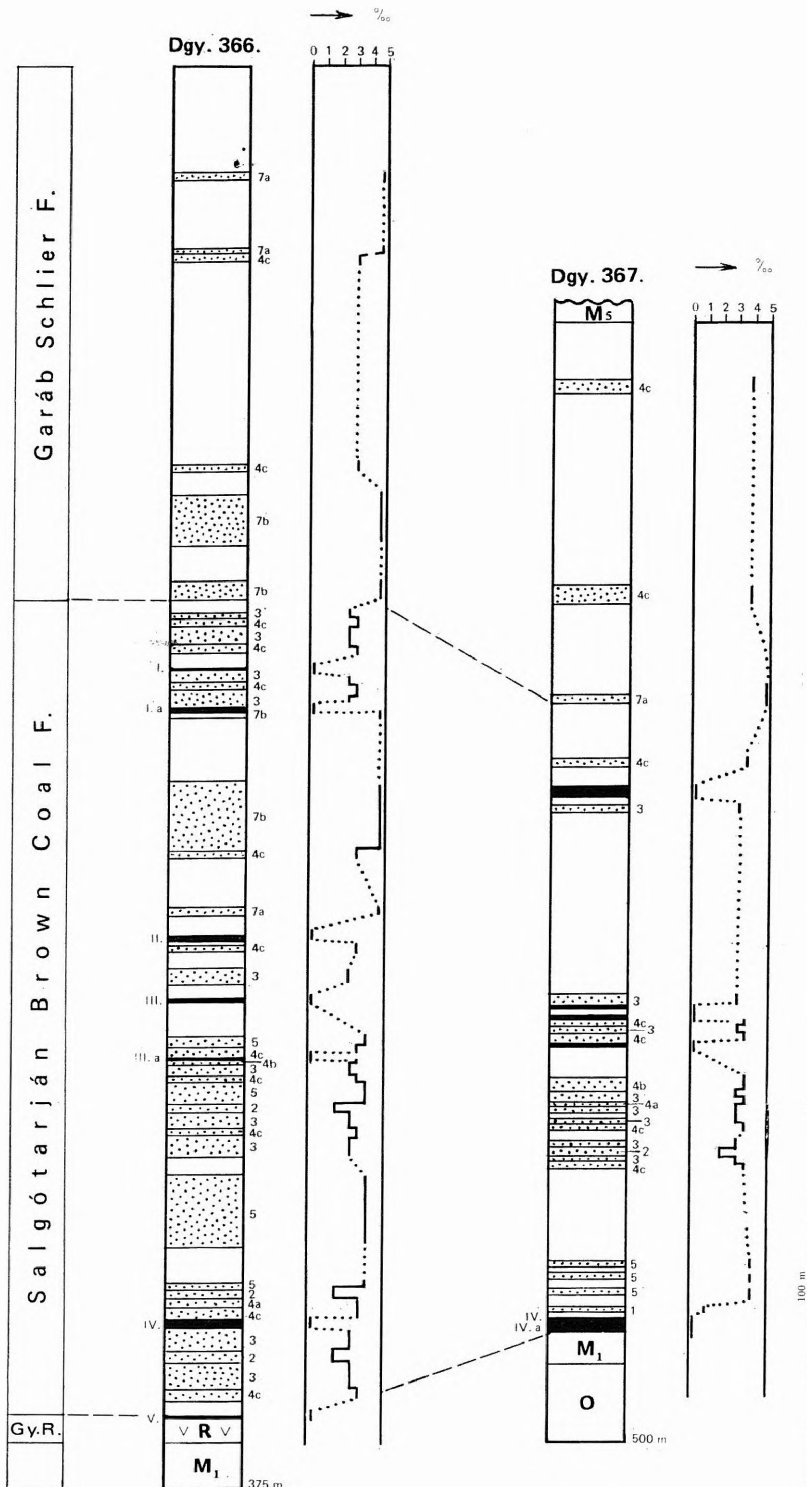


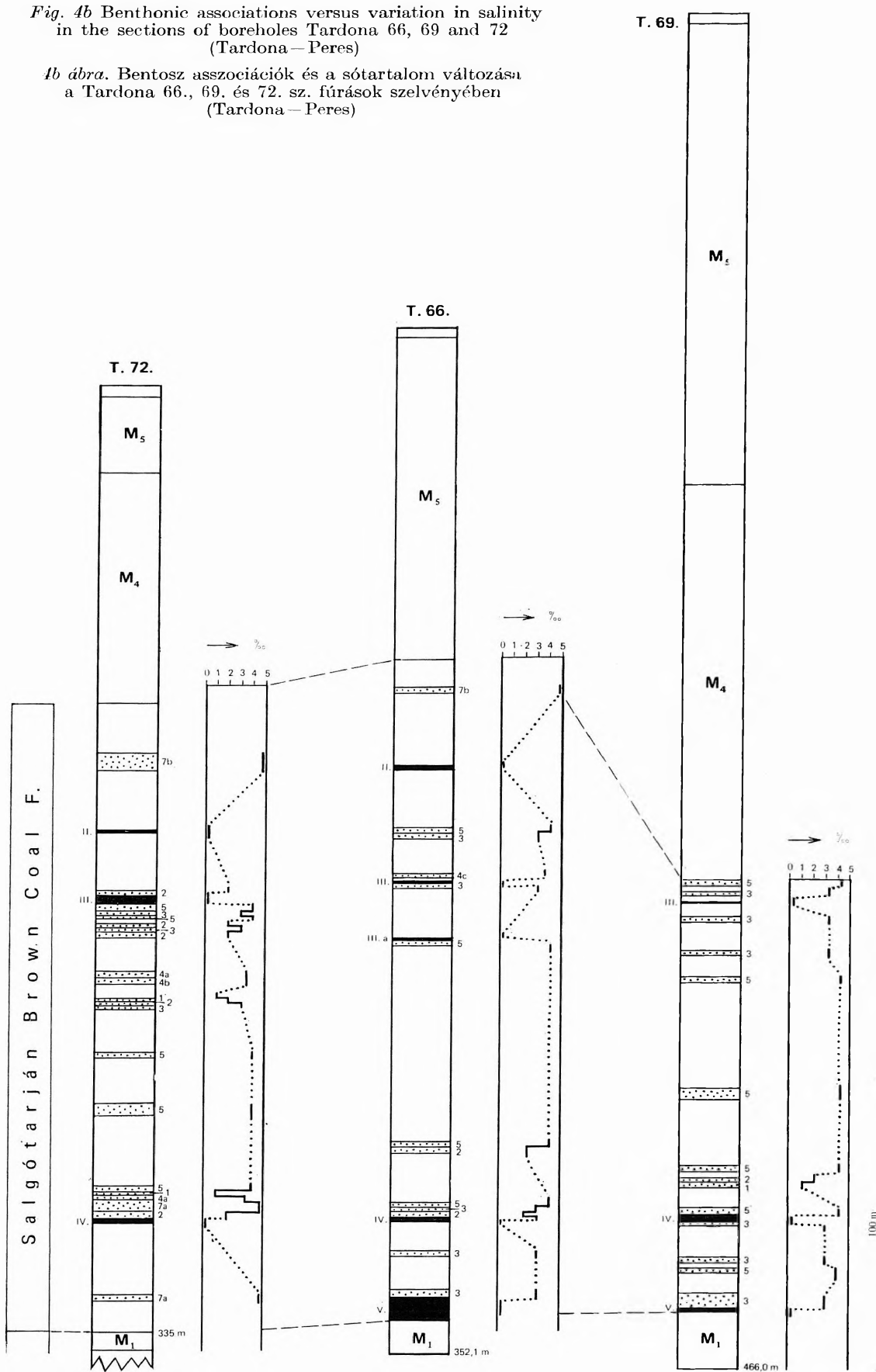
Fig. 4a Benthonic associations versus variation in salinity in the sections of boreholes Diósgyőr 366 and 367 (Újdiósgyőr-Forrásvölgy)

Fossiliferous beds: I. Brotia—Unio, II. Congeria—Hydrobia—Melanopsis, III. Cardium—Pirenella—Theodoxus, IVa. Mytilus association, Vb. Sanguinolaria association, VI. Crassostrea association, VII. Pitaria—Cardium (Anadara), VIII. Zostera—Spirorbis, IXa. Anadara—Turritella, Xb. Corbula—Anadara, XI. Solenocurtis—Thracia—Pitaria. Unfossiliferous beds: H = Holocene, P = Pannonian, M_s = Sarmatian, M₁ = Badenian, R = Ottangian (Lower Rhylite Tuff), M₁ = Eggenburgian, O = Oligocene. Salinity (%): 1. freshwater (0.5), 2. oligohaline (0.5–3.0), 3. mesohaline (3.0–16.5), 4. polyhaline (16.5–30.0), 5. marine (>30.0) (O = coal seam)

4a ábra. Bentosz asszociációk és a sótartalom változása a Diósgyőr 366. és 367. sz. fúrások szelvényében (Újdiósgyőr-Forrásvölgy)

Fig. 4b Benthonic associations versus variation in salinity
in the sections of boreholes Tardona 66, 69 and 72
(Tardona—Peres)

4b ábra. Bentosz asszociációk és a sótartalom változása
a Tardona 66., 69. és 72. sz. fúrások szelvényében
(Tardona—Peres)



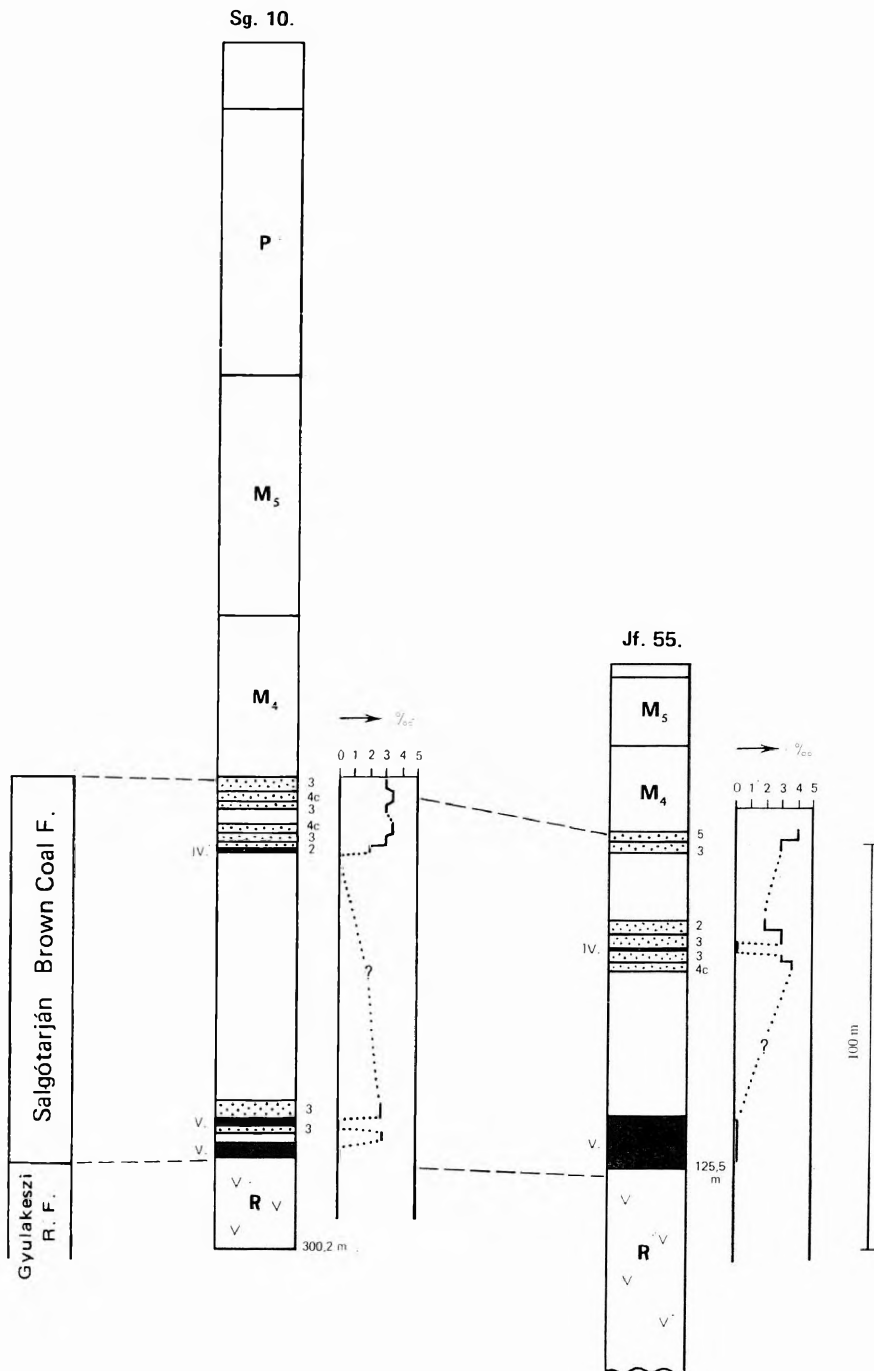


Fig. 4c Benthonic associations versus variation in salinity in the sections of boreholes Sajógalgóc 10 and Jákfalva 55 (Felsónyárád – Sajógalgóc)

4c ábra. Bentosz asszociációk és a sótartalom változása a Sajógalgóc 10. és a Jákfalva 55. sz. fúrások szelvényében (Felsónyárád – Sajógalgóc)

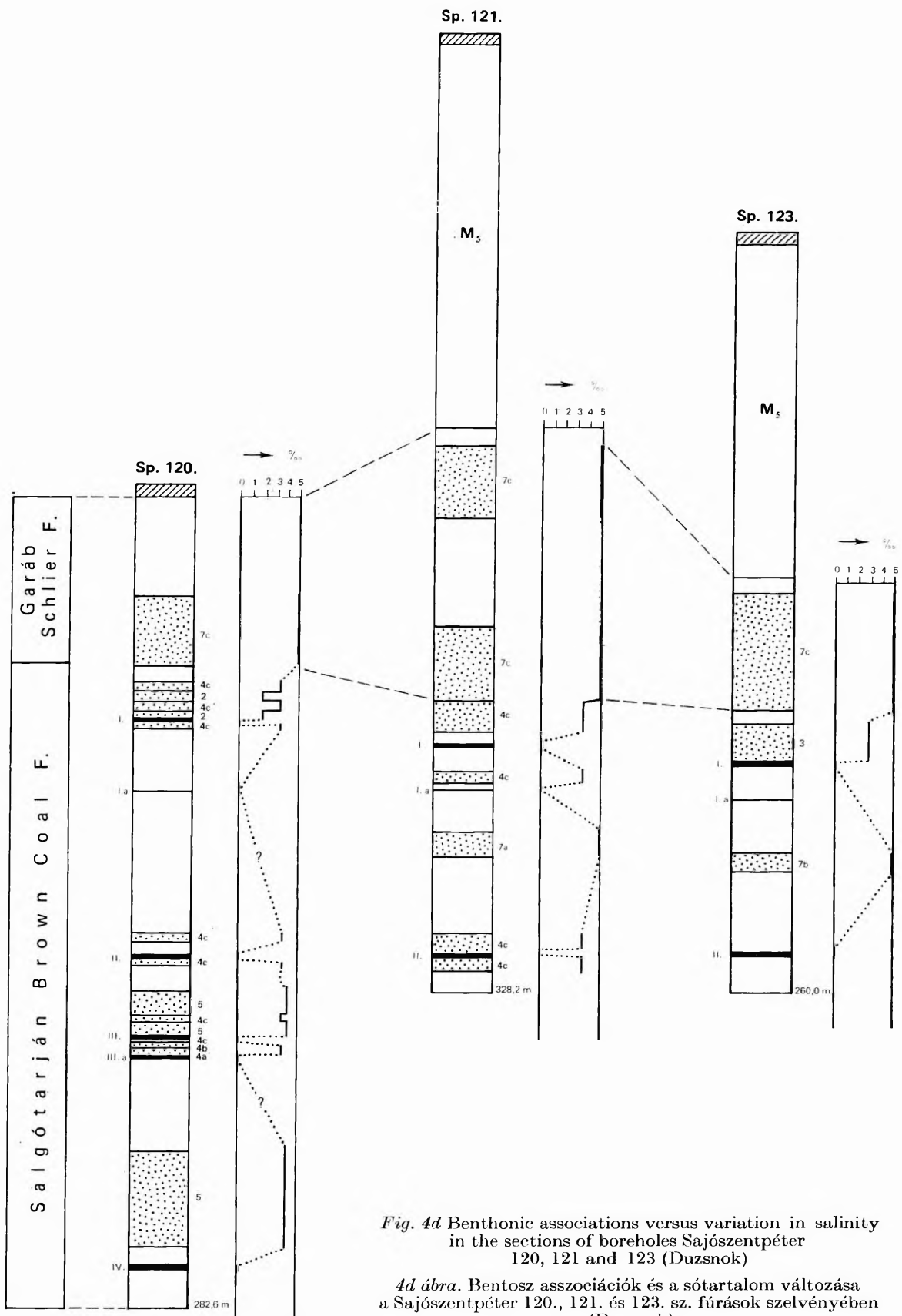


Fig. 4d Benthonic associations versus variation in salinity in the sections of boreholes Sajószentpéter 120., 121. and 123. sz. fúrások szelvényében (Duzsnok)

4d ábra. Bentosz asszociációk és a sótartalom változása a Sajószentpéter 120., 121. és 123. sz. fúrások szelvényében (Duzsnok)

Salgótarján Brown-Coal Formation

Intercalations between Seams V and IV

The immediate hanging wall of Seam V is constituted partly by unfossiliferous sands, partly by silts with a Cardium—Pirenella—Theodoxus association. At about 5 m beneath Seam IV there is an Ostrea bed and also Congeria-bearing beds appear.

Sequence overlying Seam IV

Seam IV is immediately overlain partly by Congeria lumachelle, partly by beds with Crassostrea and Cardium—Pirenella—Theodoxus associations. Higher up the section, this latter becomes predominant. In samples from borehole Jf. 55, the presence of a Pitaria—Cardium—Hinia (Anadara) association can be observed too.

Area 4: Duzsnok (Sajószentpéter)

The Duzsnok (Sajószentpéter) area lies on the NNE margin of the E Borsod Basin, north of the village Sajószentpéter. Of the boreholes studied by the writer, only Sp. 120 did intersect 4 seams or, respectively, penetrate into the beds underlying Seam IV. The rest of the boreholes stopped in the barren rock underlying Seam II (Fig. 4d).

For a comparison, the results obtained by the study of boreholes Sp. 110, 112 and 113 have been used for getting familiar with the beds underlying Seam IV.

Salgótarján Brown-Coal Formation

On evidence of the drilled sections referred to above, the Salgótarján Brown-Coal Formation in the Duzsnok area is represented by a five-seam coal measures complex.

Intercalations between Seams V and IV

The data available on the barren-rock-interval between Seams V and IV are scant. It is presumably Cardium—Pirenella—Theodoxus and Crassostrea associations that alternate and, in addition, Congeria-bearing beds, from borehole Sp. 112, are recorded too. As evidenced by borehole Sp. 120, no molluscs are found in the sandy sequence about 13 m thick with some redeposited tuff material underlying Seam IV, i.e. the tuffaceous clays in the interval of 281.8 to 282.6 m (hole bottom), contains only poorly preserved Turritella remains.

Intercalations between Seams IV—III/a—III

Borehole Sp. 120 intersected the sequence in question between 267.4 and 189.3 m as composed overwhelmingly of alternating fine-sandy silt, silt and sand beds. The mostly silty beds immediately overlying Seam IV bear a poor fauna represented, almost exclusively, by—very frequently in an autochthonous position—specimens of *Cardium sociale* and *Pitaria islandicoides*. In the silty intervals it is Cardium, in the more sandy beds it is Pitaria that predominate, being seldom accompanied by *Hinia* sp.

Higher up in the section, unfossiliferous strata occur or even prevail. It is these that constitute the footwall of Seam III/a, being represented by sands, sandy clays and sandstones with evidence of slumping or, less frequently, with ichnofossils of Y-shape.

In the clay intercalation between Seams III/a and III, Crassostrea, Mytilus and Sanguinolaria embedded para-autochtonously was encountered.

The silts directly underlying Seam III contain a mixed and fragmentary fauna (Pirenella, Theodoxus, Nucula).

Intercalations between Seams III and II

The alternating clayey, silty and sandy beds overlying Seam III are characterized by the predominance of Cardium and Pitaria. The difference from the type between III and IV consists in that its associated fauna is richer (Corbula, Spissula, Tellina, Nucula, etc.).

At a vertical distance of 2 m above Seam III there are interbeds containing Crassostrea shells washed together, but undergone hardly any transport. The silty beds overlying the Crassostrea-bearing intercalations abound with allochthonous, complete or incomplete Congeria- and juvenile Ostrea valves.

Intercalations between Seams II, I/a and I

In boreholes Sp. 120 and 121, Seam II is overlain by a *Crassostrea* bed, while in borehole Sp. 123 the hanging wall is represented by silts with ichnofossils.

The total thickness of the intercalations is rather constant (50—60 m). They are composed of silts and fine sands mostly with ichnofossils, the intervals devoid of molluscs being rather frequent. The silty clay beds appearing in about the middle of the sequence (in a thickness of about 4—5 m) contain an autochthonous fossil assemblage characterized by the predominance of deposit feeder elements.

Seam I/a is underlain, as a rule, by unfossiliferous silts, except for borehole Sp. 123, where the footwall is represented by a sandy layer with fragments of *Pitaria*, *Crassostrea* and *Anadara* shells. The interbeddings between Seams I/a and I are usually unfossiliferous. Seam I is underlain by a *Crassostrea* bed (boreholes Sp. 120, 121).

Beds overlying Seam I

The silts overlying Seam I have yielded a *Congeria*—*Hydrobia*—*Melanopsis*- (borehole Sp. 120) and a *Crassostrea* assemblage (borehole Sp. 120, 121), the sandy sequence has been observed to contain a *Cardium*—*Pirenella*—*Theodoxus* fauna.

After an unfossiliferous interval of about 1 m thickness there are silts from which a *Congeria*—*Melanopsis*—*Hydrobia* association has become known, overlain by sands with *Cardium*—*Pirenella*—*Theodoxus*. At about 10 to 15 m above Seam I, or, respectively, above the appearance of the *Cardium*—*Pirenella*—*Theodoxus* and *Crassostrea* associations, after an unfossiliferous interval of 5 to 10 m, it is sands of varying grain size with small pebbles that follow, grading upwards into silts affected by slumping and containing ichnofossils and a peculiar *Mollusca* fauna.

Characterized by the predominance of *Solenocurtus antiquatus vindobonensis*, *Thracia ventricosa*, *Pitaria islandicoides elongata* and *Lutraria*—very often in an autochthonous position—the aforementioned fossil assemblage shows the most striking abundance in the silty beds overlying Seam I.

The enclosing beds are traceable over a large distance, in a thickness of 20 to 80 m (borehole Sp. 121) in the study area, belonging presumably already to the Garáb Schlier Formation.

II. PALEOECOLOGICAL EVALUATION

In the Miocene, Eggenburgian to Sarmatian beds of the Eastern Borsod Basin, a total of 18 megafossil assemblages have been distinguished (Fig. 5). The dominance relations of the species have been used to define these assemblages. For monitoring the ecological requirements of the associations, we used the isocoenosis method (THORSON 1957, BÁLDI 1973b). In addition, the results of modern

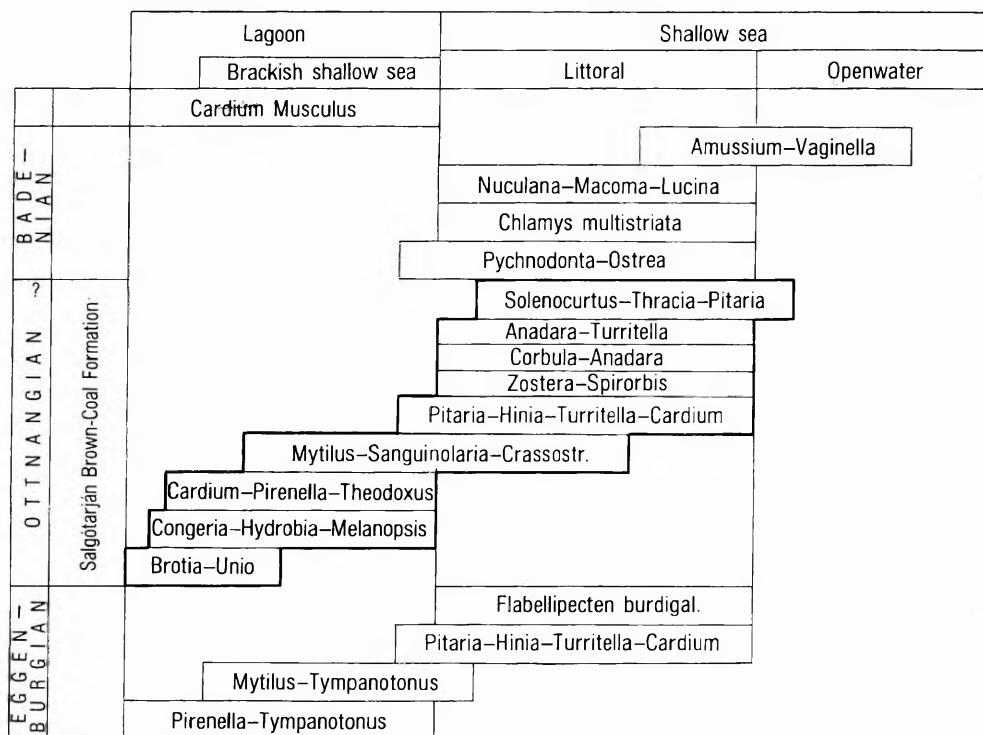


Fig. 5. Miocene faunal associations from the Eastern Borsod Basin. The items given in fatter frame represent benthonic associations described in the present study

5. ábra. A kelet-borsodi medence miocén faunaasszociációi. A vastagabb keret az e tanulmányban leírt bentosz asszociációkat jelzi

marine-biological research and of the ecological analyses of fossil paleocoenoses, with particular emphasis on bay-, lagoon- and estuarium environments (see list of references), have been taken into account. Special attention has been paid to the sedimentological features of the enclosing rock and to the biostratinomical phenomena involved (preservation, mode of embedding, orientation of shells with special regard for the life position, sorting by size, encrusters, borers, etc.).

Salgótarján Brown-Coal Formation: paleoecological description of the benthonic Mollusca associations

In the E Borsod Basin, the Salgótarján Brown-Coal Formation is represented largely by silty sands and, subordinately, by clay beds. Seven benthonic Mollusca associations have been distinguished (Fig. 6). In our brief description of the particular associations, we draw only final paleoecological conclusions, refraining from a detailed comparative analysis of the modern or fossil biocoenoses as this would have passed beyond the frame of this paper (for details, see BOHN-HAVAS 1983). The evaluation of the author's own results has been complemented with data concerning the Zostera—Bryozoa—Spirorbis biocoenosis (GY. RADÓCZ 1974) and, in addition, a short review of the Solenocurtus—Thracia—Pitaria association known from the Salgótarján Brown-Coal Formation has been appended.

Brotia—Unio association

Characteristic species: *Brotia escheri*, *Unio borsodensis*, *Anodonta* sp., accompanied by *Helix* sp., *Viviparus* sp., and *Congeria* sp.

Enclosing rock: Huminitic, coal-bearing clay.

Mode of embedding: Para-autochthonous, the *Unio* shells being accumulated in nacreous, bivalved form.

Most frequent occurrence: In the upper, huminitic, coal-bearing clays interbedded with the coal seams.

Description: An assemblage of epifauna character, of suspension-feeding predominance, distributed over a rather small area, its optimum habitat having been probably a shallow-water, nonagitated lagoon of oscillating salinity (not higher than oligohaline), rich in huminite, with a lush vegetation, on the way of transformation into a swamp.

Congeria—Hydrobia—Melaenopsis association

Characteristic species: *Congeria* ex gr. *clavaeformis*, *C. amygdaloidea*, *C. basteroti*, *Hydrobia* *frauendorfii*, *Melanopsis impressa monregaleensis*, *Cardium edule arcella*, *Theodoxus pictus*, *Unio* sp.

Enclosing rock: Clay, clayey silt, silt.

Mode of embedding: Allochthonous with traces suggestive of a short transport. Sorted and winnowed lumachelles are common. Complete, coloured valves, convex on the top, of *Congeria*, most frequently *Congeria* ex gr. *clavaeformis*, may form a lumachelle up to 30 cm thick. *Hydrobia* shells are accumulated in thin, 1 to 2 mm layers.

Most frequent occurrence: In the vicinity of coal seams, in the hanging wall of the seams, in form of lumachelles forming a "key horizon", less frequently, in the intercalations between the coal seams, being accompanied, in these cases, by *Crassostrea*- or *Cardium*—*Pirenella*—*Theodoxus* associations.

Description: Epifaunal, suspension-feeding structura with an occasionally striking number of browser elements, with frequent transitions to the *Cardium*—*Pirenella*—*Theodoxus* association. The optimum of the habitat for the association seems to have been represented by a shallow, oxygen-rich, agitated-water tract of unstable salinity (oligohaline) of a lagoon with a lush vegetation, where the effect of freshwater recharge was still strongly being felt.

Cardium—Pirenella—Theodoxus association

Characteristic species: *Cardium edule arcella*, *C. sociale*, *Pirenella borsodensis*, *P. moravica*, *Theodoxus pictus*, *Congeria clavaeformis*, *C. amygdaloidea*, *Hydrobia* sp., *Theodoxus* aff. *cyrtocelis*, *Brachydontes* sp., *Callistoma* sp., accompanied by fish remains.

Enclosing rock: Silt and silty fine sand.

Mode of embedding: Generally allochthonous.

Most frequent occurrence: In the footwall of the seams or in the interbeddings, in alternation with *Congeria*- and *Crassostrea* assemblages. This is the most common and most typical association of the Salgótarján Brown-Coal Formation.

Description: Assemblage of epifauna character. Dominated by browser suspension-feeding forms, the association often shows a mixing with *Congeria*-, *Crassostrea*- and *Mytilus* assemblages. The association in question may have lived in a shallow-water, oxygen-rich, agitated environment of unstable salinity, though mostly mesohaline (9—16.5%), with a bottom overgrown with seaweeds, on the leeward (lagoon-facing) side of the *Crassostrea* bars that were extending along the shoreline.

Crassostrea association

Characteristic species: *Crassostrea gryphoides*, *Ostrea* sp. (of small size), *Cardium edule arcella*, *Brachydontes* sp., *Mytilus haidingeri*, *Pirenella moravica*, *Theodoxus pictus*, *Hydrobia* sp.

Enclosing rock: Silt, sand.

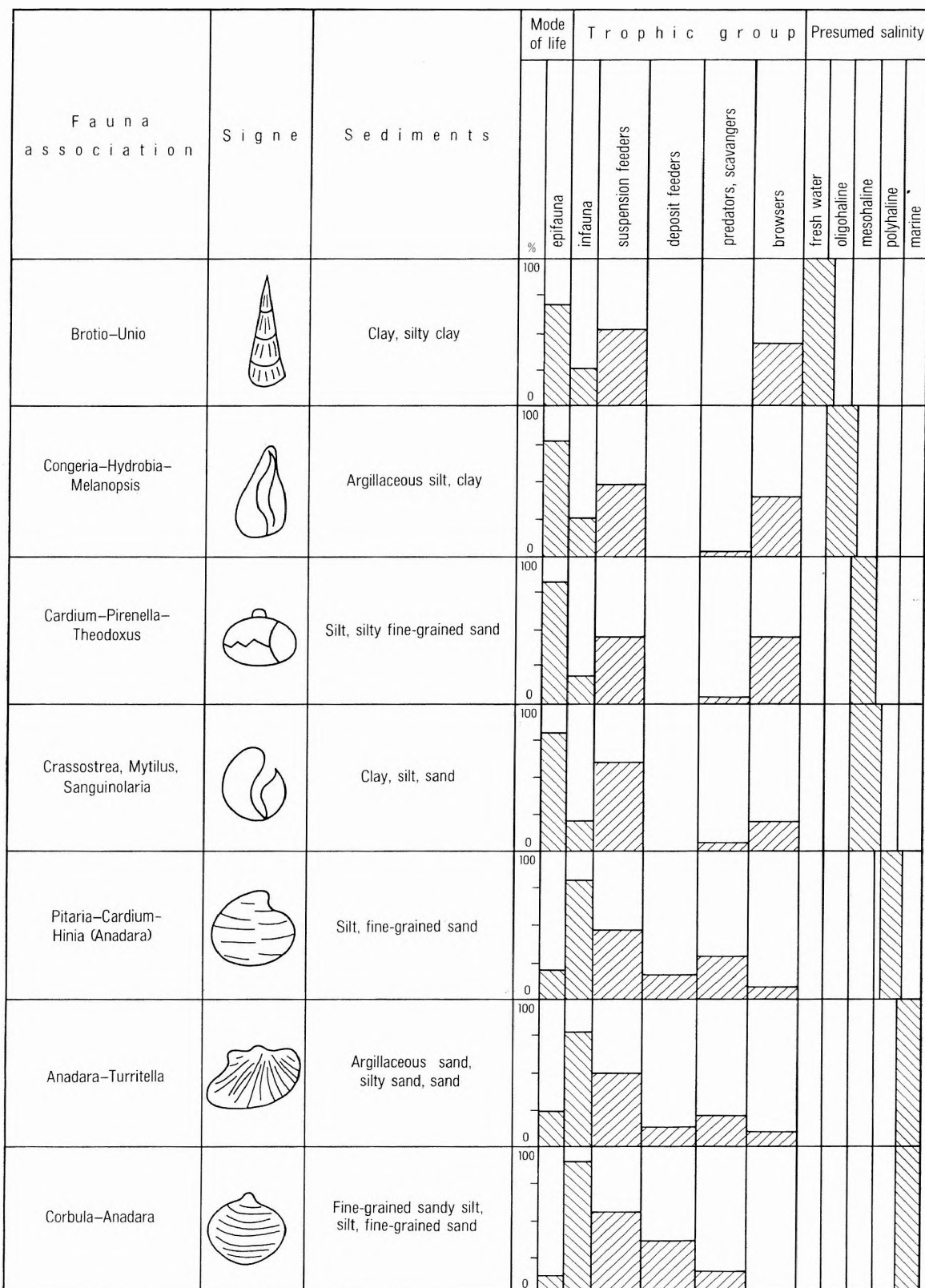


Fig. 6. Combined ecological characterization of the megafossil associations of the Salgótarján Brown-Coal Formation

6. ábra. A Salgótarjáni Barnakőszén Formáció makrofauna asszociációjának összevont ökológiai jellemzése

Mode of embedding: In situ in frequent cases, with *Crassostrea* valves preserved in life position, suggesting a rapid burial.

Most frequent occurrence: In the over- and underlying beds quite close to the coal seams and in the country rock, accompanied, in rare cases, by a *Congeria* assemblage, more frequently, by a *Cardium*—*Pirenella*—*Theodoxus* association.

Mytilus—*Sanguinolaria* association

Characteristic species: *Mytilus haidingeri*, *Sanguinolaria labordei*, *Brachyodontes* sp., *Modiolus* sp., *Ostrea* sp., *Pirenella moravica*, *Theodoxus pictus*, *Calyptrea chinensis*.

Enclosing rock: Clay, clayey silt.

Mode of embedding: Para-autochthonous in the vicinity of Seams III and III/a, allochthonous elsewhere.

Most frequent occurrence: Associated with Seams III and III/a.

Description: Association of epifauna type, dominated by suspension-feeders, indicative of a shallow-sublittoral environment of agitated waters of fluctuating salinity (meso- to polyhaline) with a muddy to fine-sandy bottom.

Pitaria—*Hinia*—*Cardium* (*Anadara*) association

Characteristic species: *Pitaria islandicoides grundensis*, *P. islandicoides elongata*, *Hinia edlaueri*, *H. hörnisi*, *Dorsanum ternodosum*, *Cardium edule arcella*, *Anadara diluvii*, *Spisula subtruncata triangula*, *Gastrana fragilis*.

Enclosing rock: Silt, fine sand.

Mode of embedding: Often autochthonous, with valves of *Pitaria*, *Cardium*, and *Gastrana* preserved in life position.

Most frequent occurrence: Far away from the seams in the country rock. This is the second most widely traceable association from the Salgótarján Brown-Coal Formation.

Description: Infauna type, dominated by suspension-feeders suggesting a shallow-sublittoral environment with agitated polyhaline (about 30‰) waters of proper O₂ supply (15—30 m deep).

Anadara—*Turritella* association

Characteristic species: *Anadara diluvii*, *Turritella* ex gr. *aguitaniensis*, *T. eryna*, *Hinia hörnisi*, *Myrtea spinifera*, *Nuculana fragilis*.

Enclosing rock: Clayey sand, silty sand, sand.

Mode of embedding: Most frequently allochthonous, with traces indicative of a short transport, in rare cases para-autochthonous, *Anadara* preserved with open double valves.

Most frequent occurrence: Far away from the coal seams, in the country rock.

Description: Association of infauna character, dominated by suspension-feeders with frequent transitions towards the *Anadara*—*Turritella* association suggesting a shallow-sublittoral (20—30 m), sea-current-agitated environment of normal salinity with a sandy, silty bottom.

Corbula—*Anadara* association

Characteristic species: *Corbula gibba*, *Corbula* sp., *Anadara diluvii*, *A. turonensis*, *Myrtea spinifera*, *Macoma elliptica ottangensis*, *Mitraefusus ottangensis*.

Enclosing rock: Fine-sandy silt, silt.

Mode of embedding: Most frequently allochthonous with traces suggesting a short-distance transport, sometimes with accumulation of selected *Anadara* or *Corbula* valves in an upward-convex position.

Most frequent occurrence: Far away from the coal seams, in the country rock.

Description: Association of infauna type dominated by suspension-feeders with frequent transitions towards the *Anadara*—*Turritella* association. The bottom must have been relatively rich in nutrients, as suggested by the increase in number of deposit-feeders. The total absence of browser elements is conspicuous. The association is suggestive of a nearshore, shallow-sublittoral (about 30 m) environment with a water of normal salinity, periodically agitated by sea currents.

Spatial relations of biofacies

As indicated by the ecological analyses of the seven benthonic Mollusca association distinguished within the Salgótarján Brown-Coal Formation, it is salinity and substratum quality that are factors controlling the lateral ranges of the associations i.e. their distribution by habitat.

Being familiar with the ecological characteristics, we have attempted to reconstruct the generalized spatial distribution pattern of the associations. In doing so, we considered basically the lateral

distribution variants, association-relations and mixing trends observed in the individual exploration areas and we compared the resulting pattern (Fig. 7) with the extension regularities of modern facies and biocoenoses characterized by similar geographical and ecological features.

As shown by the results, the associations under consideration may have lived partly in a near-shore shallow-water environment, partly in a brackish-water lagoonal environment adjacent to a marine sedimentary basin.

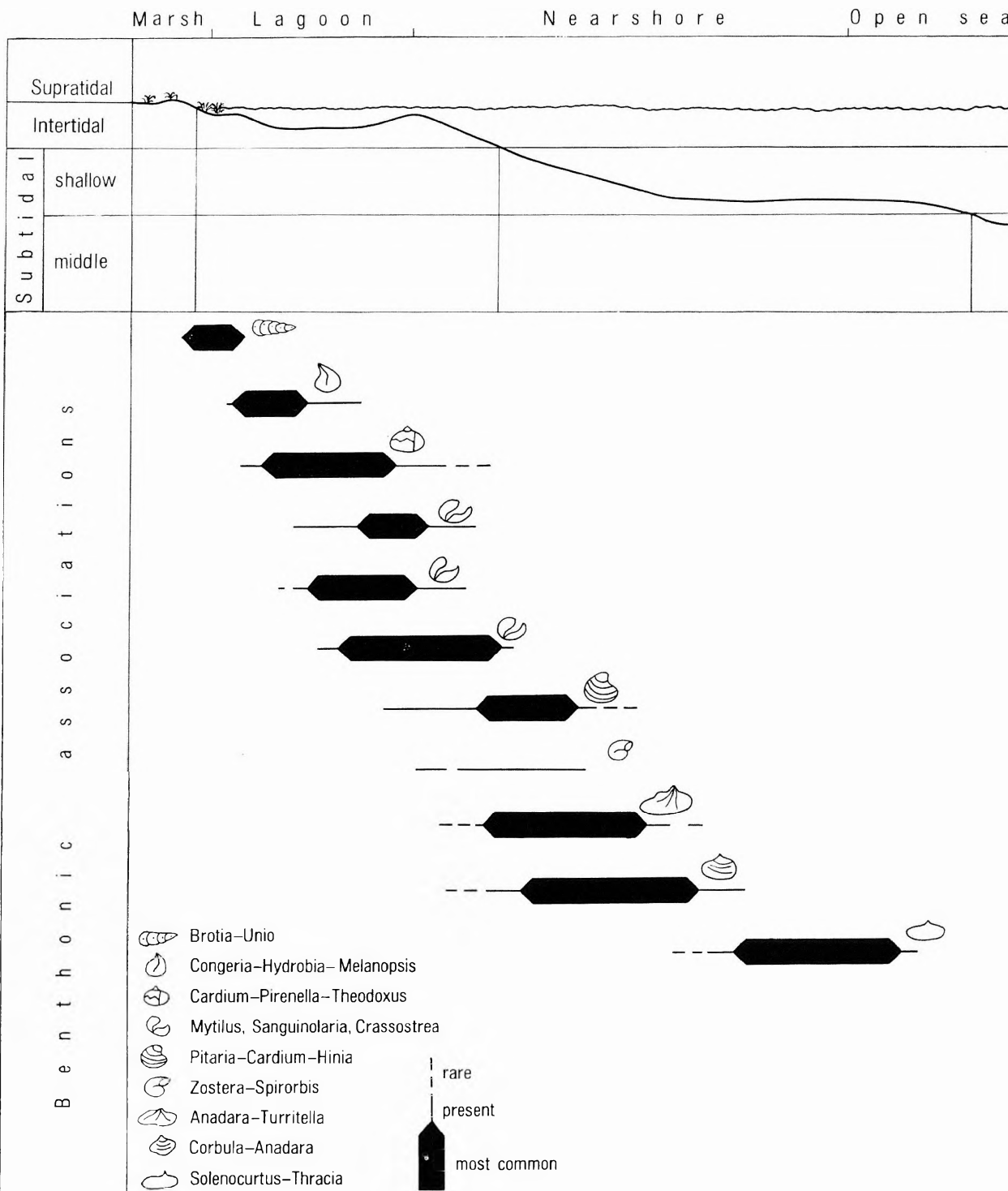


Fig. 7. Distribution of benthonic associations by habitats
7. ábra. A bentosz asszociációk élettér szerinti elterjedése

Proceeding offshore, the following intertonguing biofacies zones can be distinguished (Fig. 8):

- A freshwater to oligohaline lagoon, marshy, coastal, tidal zone of argillaceous facies characterized by the *Brotia*—*Unio* association.
- A more protected lagoonal environment of varying salinity (oligohaline to mesohaline), with a clayey to silty bottom, where the diluting effect of the rivers is felt even more strongly. Predominant association: *Congeria*—*Hydrobia*—*Melanopsis*.
- The largest stretch of lagoon, a few metres deep, of varying salinity (not lower than mesohaline), with a silty bottom, dominated by the *Cardium*—*Pirenella*—*Theodoxus* association.
- A near-shore, shallow-water or lagoonal environment, heavily agitated and of varying salinity (mesohaline to polyhaline), characterized by the appearance of *Mytilus*—*Crassostrea* associations (biostrome).

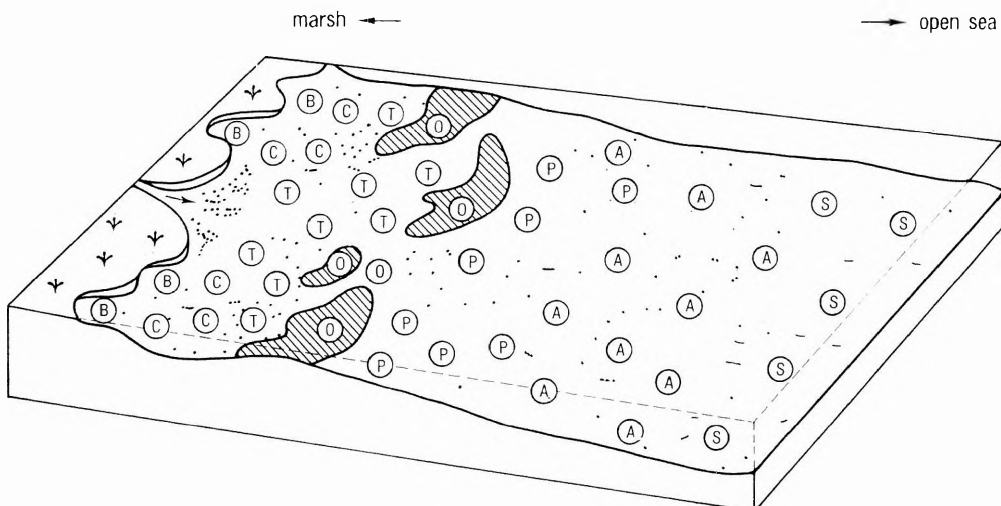


Fig. 8. A schematic reconstruction of paleoenvironment upon the distribution of faunal associations

B = *Brotia*—*Unio*, C = *Congeria*—*Hydrobia*—*Melanopsis*, T = *Cardium*—*Pirenella*—*Theodoxus*, O = *Mytilus*—*Crassostrea*, P = *Pitaria*—*Cardium*—*Hinia* (*Anadara*), A = *Anadara*—*Turritella* (*Corbula*—*Anadara*), S = *Solenocurtus*—*Thracia*—*Pitaria*

8. ábra. Vázlatos óskörnyezeti rekonstrukció

— A shallow sublittoral (15—30 m) environment of varying salinity (polyhaline to marine), agitated by sea currents, having a silty fine-sandy bottom and characterized by the abundance of the *Cardium*—*Hinia*—*Pitaria* association.

— A near-shore, shallow sublittoral (30—60 m) zone with a sea-current-agitated water of normal salinity and a silty bottom, characterized by *Anadara*—*Turritella* and *Corbula*—*Anadara* associations.

Biofacies variations in space and time in the E Borsod Basin

Traceable quite clearly upon the variation or alternation trends of the association involved, the shifts in space and time of the biofacies zones are of cyclic character and testify to frequent, positive to negative shifts of the shoreline. During the birth of the Salgótarján Brown-Coal Formation the filling of the marginal lagoons with sediment and their transformation into a paralic swamp and then, with the progress of transgression, the re-establishment of lagoonal or littoral, shallow-water regimes repeated themselves several times. It is to this cyclic development that the formation owes its diversified sequence.

In the Újdiósgyőr - Forrásvölgy area, after littoral, shallow-water lagoonal conditions in Eggenburgian time, the "Lower Rhyolite Tuff" was settled in a terrestrial, limnic or oligohaline environment. At the time of formation of the Vth Seam, an uneven tuff surface constituted the terrain. As a consequence of this, the seam was very often formed only in the deeper parts.

As a result of the subsidence that followed the birth of Seam V, the whole area submerged and lagoonal environmental conditions took the upper hand, with the predominance of a *Cardium*—*Pirenella*—*Theodoxus* association, accompanied by *Crassostrea* beds. With the decline of the rate of subsidence a new cycle of swamp development set in, embracing the whole area and resulting in the rise of Seam IV.

An initial slow subsidence trend marking the end of the formation of the seam is suggested by the appearance of a Brotia faunal assemblage in the carbonaceous clay interbeddings of upper part of the seam for which a strongly brackish-water lagoonal environment should be postulated. Next to follow there is a Crassostrea association and eventually littoral, shallow-water conditions are verified as predominant for a rather long span of time, upon the predominance of the Pitaria—Hinia—Cardium association.

During the differential movements responsible for the formation of the younger coal seams, frequent alternations of swamp-, lagoonal and marine environments may have existed several times. Associated with Seams III and III/a, the *Mytilus*—*Sanguinolaria* association appears in this area, too.

Prior to the birth of Seam I, nearshore, shallow-sublittoral conditions gained predominance being characterized by the predominance of a *Corbula*—*Anadara* association.

With the completion of the swamp development cycle of Seam I, the study area witnessed the re-establishment of littoral shallow-water conditions with the appearance, in the initial stage, of Crassostrea beds that are later to be replaced definitively by the *Anadara*—*Corbula* association.

In the Tardoná—Péres area, the brown-coal measures complex rests transgressively on the SSE marginal basement of the subbasin, whereas in the NNW subareas the coal measures group is underlain by the so-called "Amussium-bearing schlier" and the "glauconitic sandstone". The Mollusca fauna of these latter formations was studied by T. BÁLDI (in BÁLDI—RADÓCZ 1971).

The initial Ottangian eruption of acidic tuffs is represented only in traces in the study area. Introducing the slow Ottangian transgression, the first transformation of the area into swamps is witnessed by the formation of Seam V. The irregular configuration of its extension boundary was determined by the diversified topography. The swamp of Seam V reached its largest southward extent in the central part of the area (boreholes T. 66 and 69), while in the SSW part the terrestrial regime persisted. After the formation of the seam the whole area submerged, and lagoonal or nearshore, shallow-water conditions prevailed, as evidenced by the Cardium—*Pirenella*—*Theodoxus*, Congeria—*Hydrobia*—*Melanopsis* or Cardium—Pitaria—Hinia and Turritella—Anadara associations.

Eventually, as a result of the slowing down of the subsidence, a new cycle of swamp development set in, encompassing the whole area. After the birth of Seam IV the initial lagoonal environment was replaced, for a rather long span of time, by nearshore, shallow-water conditions, as indicated by the appearance of Pitaria—Hinia—Cardium and Turritella—Anadara associations.

Prior to the time of formation of Seam III, the lagoonal regime was re-established and the peculiar *Mytilus*—*Sanguinolaria* association appeared too.

After this swamp development cycle, it was again the lagoonal regime that was established, as indicated by Congeria—*Hydrobia*—*Melanopsis* and Cardium—*Pirenella*—*Theodoxus* associations, accompanied by Crassostrea. With the progress of transgression, however, littoral shallow-water conditions gained predominance.

As a result of the Styrian orogeny, the area emerged and, as a consequence of this, the higher parts of the brown-coal measures were eroded. So Seam II is overlain by littoral to more openwater neritic beds of the Badenian transgression containing *Macoma*—*Lucina* and *Amussium*—*Pteropoda* (*Vaginella*) associations.

In the Felsőnyárád—Sajógalgóca area, the Eggenburgian begins with the sedimentary sequence of a slow transgression, overlying the Paleozoic basement. All the boreholes studied by the author cut this formation in varying thickness. The Felsőnyárád Formation is found in depressions of varying size within the relatively elevated basement belt connecting the Uppony and Szendrő Mountains (GY. RADÓCZ 1973).

The initial limnic coal measures, as traversed in the boreholes studied by the author, contained no fossils, but the frequency of beds with siderite nodules (beds under- and overlying Seam VI) indicative of the swamp facies was conspicuous.

In the higher beds overlying the coal measures, however, already a typical brackish-water fauna was observed. *Mytilus*- and *Pirenella* associations alternated with each other, suggesting minor shifts of the shoreline. The *Mytilus aquitanicus* communities indicate the more agitated, more sandy parts of the beach, while the *Tympanotonus*—*Pirenella* communities are more in favour of a muddy beach environment overgrown with seaweeds (T. BÁLDI 1973b). With the progress of transgression there appear various types of Mollusca assemblages that are quite peculiar, being characterized by the predominance of Pitaria and Turritella or Flabellipecten, testifying quite clearly to the establishment of a shallow-sublittoral (15—30 m) marine environment of normal salinity. These formations are traceable over large areas.

The Eggenburgian sedimentation was followed by erosion and thereafter the "Lower Rhyolite Tuff" sequence was formed, overlain, in turn, already by the coal measures produced by the Ottangian oscillations (Salgótarján Brown-Coal Formation). At the beginning of the cycle, littoral, brackish-water, lagoonal sedimentation prevailed (Congeria—*Hydrobia*—*Melanopsis* and Crassostrea associa-

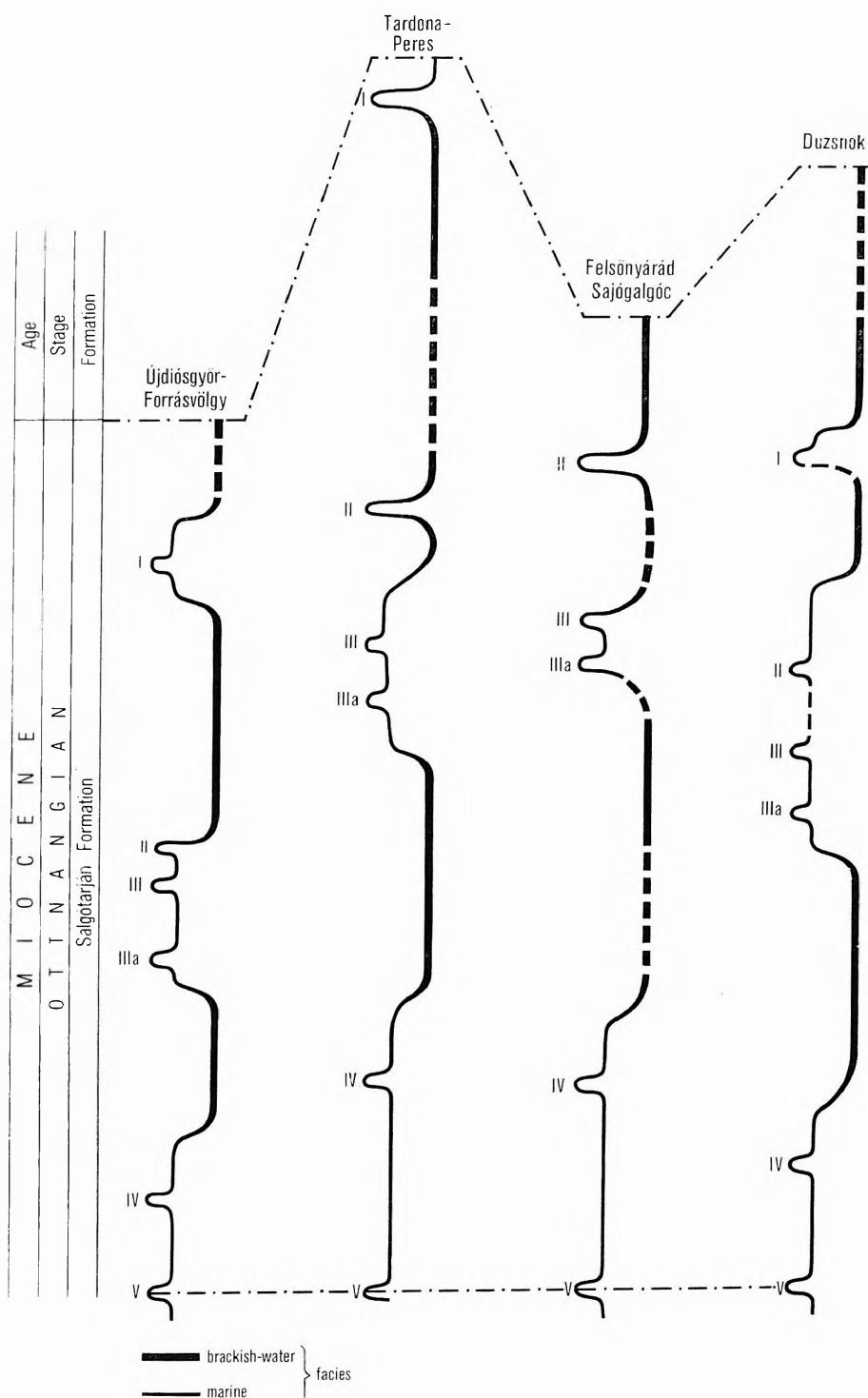


Fig. 9. Comparative facies diagram of exploration areas
9. ábra. A kutatási területek összehasonlító fáciesdiagramja

tions), but in the higher parts of the sequence, benthonic Mollusca assemblages indicative of normal-saline nearshore environments [Pitaria—Hinia—Cardium (Anadara)] also appear. In the studied boreholes, however, the beds of faunal assemblages concomitant of a full-scale transgression typical of the higher parts of the Ottangian are absent (e.g. the Anadara—Corbula association).

Let us note that Gy. RADÓCZ (1964), in describing the general geological column of the study area, registered the changes in the fauna too. Complementing my own data, I should like to quote two important data of RADÓCZ. He indicates the presence of the Corbula—Anadara association in the silt sequence intercalated between Seams III/a and IV. Furthermore, he quotes a Sanguinolaria—Mytilus association from the clays underlying Seam III/a.

In the Duzsnok—Sajószentpéter area the Salgótarján Brown-Coal Formation overlies, quite unconformably, the basement. The basal beds of the formation and the formations posterior to Seam V have not been analyzed for megafossils. So, referring only to the data of drilling records, we may suppose that, immediately prior to the birth of Seam IV, lagoonal circumstances prevailed in the study area. Although the sample taken from the 282.6 to 281.8 m interval of borehole Sp. 120 suggests a littoral shallow-water environment, a question like this cannot be settled upon the testimony of one single sample.

Assigned to the Pitaria—Cardium—Hinia (Anadara) association, the fauna appearing in the hanging wall of Seam IV shows some deviation from the earlier outlined association picture (the main difference consisting in its being featureless). The higher overlying beds of Seam IV contain no Mollusca fauna.

Between Seams III and III/a there are Crassostrea and Mytilus—Sanguinolaria associations in this area too.

With the closure of the swamp development cycle of Seam III, the Pitaria—Hinia—Cardium (Anadara) association reappears showing typical frequency pattern and suggesting a littoral shallow-water environment of deposition.

Before the appearance of Seam II, a Crassostrea association appears, as washed together, but scarcely transported, indicating shifts in the position of the shoreline and fluctuations in salinity. Appearing after a rather long vertical interval with no Mollusca, but with ichnofossils above Seam II, the Corbula—Anadara association is indicative of a littoral shallow-water environment. As compared to this, a definite change by more agitated water and a decrease of salinity is indicated by the rise of the Crassostrea association before the birth of Seam I.

With the conclusion of the coal-bearing complex, in the bed immediately overlying Seam I, the Crassostrea association returns and then the Congeria—Hydrobia—Melanopsis or Cardium—Pirenella—Theodoxus association appear, clearly indicating a lagoonal environment of deposition. Next to follow is a mollusc-sterile interval, then the return of sublittoral shallow-water depositional conditions is diagnosed upon the appearance of a Solenocurtus—Thracia—Pitaria association.

The trends of variation in fauna and facies during the deposition of the Salgótarján Brown-Coal Formation are shown if Fig. 3 and 9, comparatively for the four exploration areas.

III. PALEOGEOGRAPHIC INTERPRETATION

The most important events of the period that preceded the birth of the Salgótarján Brown-Coal Formation are connected with the Savian orogeny. It was in the compression phase of the cycle that the NW—SE trending Sajó Graben was formed. Eventually, along deep faults that had widened into rifts, eruptions of rhyolite tuffs took place just between Eggenburgian and Ottangian times, resulting in the appearance of the Gyulakeszi Rhyolite Tuff Formation (G. HÁMOR et al. 1982). In the majority of the cases, this formation constitutes the immediate underlying of the brown-coal measures.

The slow oscillating transgression in Ottangian time was ushered by deposition of the gravelly basal beds of the Salgótarján Brown-Coal Formation. The irregular areal extent of the latter was pre-determined by diversified topographic conditions. The deposition of the coal seams was terminated by seawater inundation of the subsiding rift-valley structures. The transgression reached the Újdíósgyőr-Forrásvölgy and Duzsnok areas from the southeast, having arrived from NNE direction in the Tardona—Peres region.

Because of the varied topography, the resulting depositional basins were actually intercommunicating subbasins which, as reflected in the light of facies changes, evolved in different ways owing to the position they occupied within the megatectonic graben (Fig. 8).

In the period that followed the birth of Seam V a lagoonal-brackish-water regime prevailed throughout the system, supposedly owing to the intense diluting effect of the rivers (Fig. 10).

Overgrown with seaweeds on its bottom and carrying a maze of suspended organic detritus in its sea-current-agitated, oxygen-rich waters, the resulting environment gave rise to a profilic and diversified biota. The evolving associations were characterized by an epifauna character and the predominance of suspension-feeders or browsers. The lower-salinity zones of the lagoons were inhabited by the Congeria—Hydrobia—Melanopsis association frequently grading to the Cardium—Pirenella—Theodoxus association that represented the most widespread and commonest association in the lagoon system. The afore-mentioned associations are now very often joined by Crassostrea beds and, less frequently, they accompany Mytilus associations.

In the SSE part of the Tardona—Peres exploration area, as evidenced by borehole Tardona 72, this period witnessed a littoral shallow-water sedimentation or the salinity in this part of the lagoon system was so high as to enable the spread of the Pitaria—Hinia—Cardium and Anadara—Turritella associations. As far as the eastern boundary of the area is concerned, no information is available to the author, but there is no manifestation of a virtual marine communication in the nearest Újdíósgyőr-Forrásvölgy area either.

After the subsidence of the basin had slowed down, the filling-up of the lagoons intensified, leading to the development of a swamp facies. Most widespread in the E Borsod Basin is Seam IV formed that time.

It was the slow restarting of the subsidence that put an end to the swamp development cycle. The initial freshwater to oligohaline, lagoonal environment was gradually replaced by a littoral shallow-water sedimentation or, as a consequence of the intensifying sea communication, the salinity of the water in the lagoon system rose higher, as indicated by the spread of assemblages of higher salinity demand. In the period that followed the formation of Seam IV, this trend was felt throughout the E Borsod Basin (Fig. 10).

In the Újdíósgyőr-Forrásvölgy area the process was slow, as feedbacks and changes in fauna or facies being quite frequent. In the Tardona subbasin, it is after a short brackish-water interval that the littoral shallow-water conditions became predominant, being characterized by a peculiar Pitaria—Hinia—Cardium association. A similar trend is exhibited by the Felsőnyárád subbasin, where the predominance of the Pitaria—Hinia—Cardium, and the Corbula—Anadara associations are conspicuous (GY. RADÓCZ 1964). The withdrawal of this vast ingression is indicated by a slow spread of the brackish-water fauna. As a consequence of the cessation of the subsidence a new cycle of swamp development sets in.

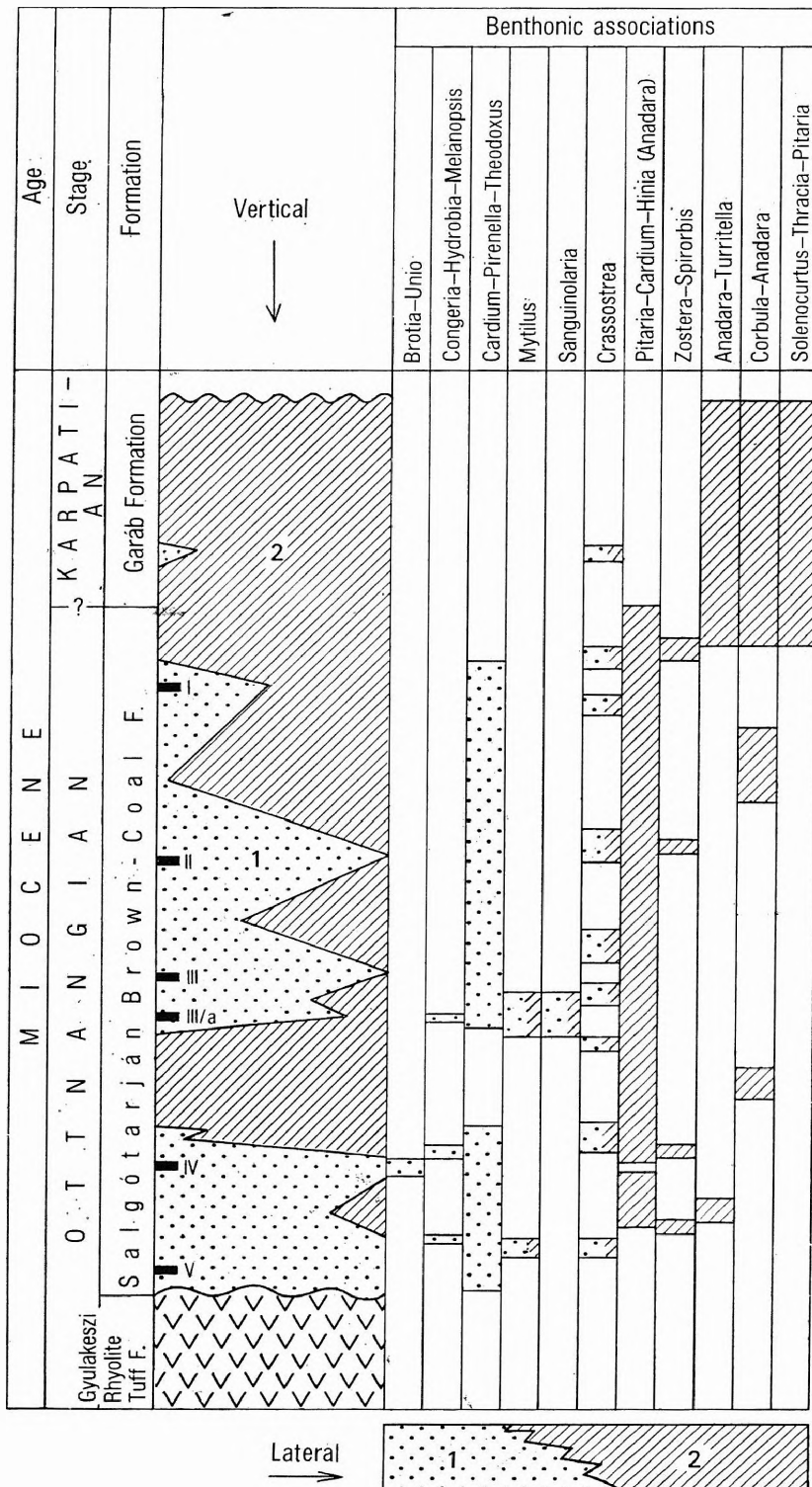


Fig. 10. Variation of facies of the Salgótarján Brown-Coal Formation in the E. Borsod Basin

1. Brackish-water facies, 2. marine facies

10. ábra. A Salgótarjáni Barnakőszén Formáció fáciesváltozásai a kelet-borsodi medencében

1. Csökkentsósvízi fácies, 2. tengeri fácies

After the formation of Seam III/a, a change affecting the whole lagoon system is observed, as indicated by the almost simultaneous spread of the *Mytilus*—*Sanguinolaria* association embedded, in many cases, para-autochtonously. The *Mytilus* associations are indicative of a relative small water depth (at or above the base of wave action) and a heavily agitated water. Such circumstances existed even earlier in the lagoon system, the afore-mentioned assemblage being known to us from older deposits as well. Although two or even more hypotheses may account for their sudden appearance encompassing the whole basin, no exact answer to this question is known to us.

At the beginning of the period that followed the formation of Seam III, a lagoonal, brackish-water environment evolved over much of the basin. In the Tardona and Duzsnok areas the brackish-water sedimentation was soon replaced by littoral, shallow-water conditions, whereas the Diósgyőr subbasin was witnessing the persistence of the brackish-water environment.

After the formation of Seam II, littoral shallow-water circumstances became predominant over most of the basin and, after an initial brackish-water interval, the same change took place in the Diósgyőr area too.

As far as the further history is concerned, it is only from the eastern part of the basin, the Diósgyőr—Duzsnok area, that we have got information, for, in the rest of the basin, the younger part of the coal measures has been lost to erosion.

The Újdiósgyőr—Förrásvölgy and Duzsnok areas show very similar development trends. The difference in faunal associations indicates quite clearly that the Diósgyőr area must have had a marginal position and the Duzsnok area was inside the basin. In both areas, prior to the birth of Seam I, *Crassostrea* biostromes were formed and eventually, with the completion of the swamp development cycle, the lagoon was re-populated. In the Duzsnok area, after the formation of Seam I, the *Cardium*—*Pirenella*—*Theodoxus* association indicative of brackish-water lagoonal conditions appeared too.

After this brief intermezzo—which may mark already the compression phase of the Styrian orogeny—littoral shallow-water sedimentation continued in both areas, a more littoral character having prevailed in the Diósgyőr area and a more openwater one in the Duzsnok area.

Summarizing the above discussion (Fig. 10), let us conclude that at the time when the Salgótarján Brown-Coal Formation was being deposited, the facies changes characterizable by faunal associations showed, in spite of local deviations, essentially the same trend. On megafossil evaluations, some events are generalizable for all the basin, as well as

- An overall ingressional that followed the birth of Seam IV;
- An environmental change responsible for the sudden spreading of the *Mytilus* association that invaded the entire basin immediately before and after the birth of Seams III and III/a;
- A transgression which followed the formation of Seam II and which ended with the onset of the period of accumulation of Seam I.

IV. BIOSTRATIGRAPHIC INTERPRETATION

The biostratigraphic interpretation of the Mollusca fauna has been based primarily on studying the stratigraphic ranges of the faunal associations. Overlying the Devonian, initially limnic to brackish-water and later becoming increasingly marine in character, the clayey, silty sequence (Felsőnyárád Formation) traceable in great extension in the Feketevölgy of Felsőnyárád contains a peculiar megafauna of E g g e n b u r g i a n character readily reflecting the changes in facies.

The Mollusca fauna of the initial brackish-water sequence (*Mytilus aquitanicus*, *Theodoxus pictus*, *Pirenella plicata*, *Tymanonotus margaritaceus*, etc.) comes very close to the Mytilus—Pirenella—Tymanonotus communities of the faciologically similar, latest Oligocene regression phase. Upon the greater number of younger species presenting themselves in the Eggenburgian and the absence of characteristic Egerian species (*Ampullina crassatina*, *Turritella beyrichi*, *Theodoxus bukkenensis*, *Polymesoda convexa*, etc. — T. BÁLDI—GY. RADÓCZ 1971), the formation in question has been assigned to the Eggenburgian.

The brackish-water beds are followed by clayey fine-sandy formations. The marine Mollusca fauna of these (Pitaria—Hinia—Turritella—Cardium—*Flabellipecten burdigalensis* assemblages) is

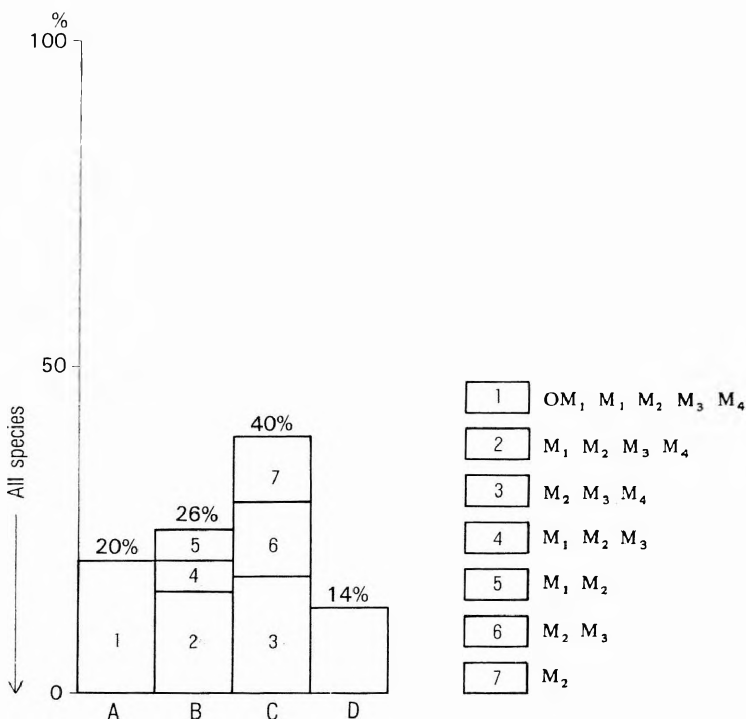


Fig. 11. Diagram showing the stratigraphic ranges of Mollusca in the Salgótarján Formation

A = species appearing in Egerian time, B = species appearing in Eggenburgian time,
C = species appearing in Otnangian time, D = local species

11. ábra. A Salgótarjáni Formáció Molluscáinak fajoltó-diagramja

A = egriben belépő fajok, B = eggemburgiban belépő fajok, C = ottnangiban belépő fajok,
D = helyi jellegű fajok

assignable to the Eggenburgian, for more than 60% of the Mollusca species are young forms appearing in the Eggenburgian.

Special mention should be made of the fauna of the tuffaceous silty clays from borehole Ormosbánya 322 (137.5—143.2 m) and the sandy silts of borehole Ormosbánya 323 (141.8—149.8 m) which is characterized by *Flabellipecten burdigalensis* and *Propeamussium miopliocenicum*. The aforementioned beds seem to be the highest member of the Eggenburgian in this area. *Flabellipecten burdigalensis* in the Paratethyan realm appears in the Egerian, but it is most common in the Lower Eocene, being unknown from post-Eggenburgian deposits. Fragments of Pecten other than the *Flabellipecten* and *Propeamussium* species occurring here have also been encountered (*Chlamys* sp. for the moment), but it remains for the future to study them in detail and exhaustively.

On evidence of the underlying beds, the mode of superposition and the comparisons with the brown-coal measures of the Nógrád Basin, the coal measures of the Borsod Basin was during the last 30 years assigned to the Helvetian. After the establishment of the regional stage scale for the Paratethys and following the resolutions of 1975 of the Paratethyan Working Group classifying the "Lower Rhyolite Tuff" as basal Ottangian, the coal measures in question has been assigned to the Ottangian. With a view to the chronostratigraphic evaluation of the megafossils, we have compiled (on the basis of 19 boreholes) a composite diagram showing the stratigraphic ranges of the species of the taxa in the Borsod sequence (after the chronogramme of BÁLDI 1976) (Fig. 11). The vertical range data of the taxa (Table 1) have been compiled by relying on the up-to-date study of Mollusca of biostratigraphic value. The individual columns (Fig. 11) show the per cent distribution of species of different date of entry as compared to the total of the species, while within the columns the different persistence values have been indicated by different symbols (or by Arabic numerals from 1 to 7). That the species first appearing in Ottangian time account for 40% of the fauna can be read off quite easily. Of these only 15% is constituted by species confined to the Ottangian (*Cardium sociale*, *Theodoxus cyrtocelis*, *Pirenella borsodensis*, *Unio borsodensis*, *Congeria clavaeformis*). Consequently, the Mollusca fauna of the Salgótarján Brown-Coal Formation is considered to be of Ottangian age.

As far as the lithologically diverse "schlier" formation resting on the coal measures complex is concerned, it might be dated as Karpatsian, according to the present state of study of the molluscs gained therefrom by drilling in the Újdiósgyőr and Duzsnok areas. Until the exhaustive study of the Mollusca fauna of the overlying sequence is completed, the question, however, has to remain open.

Distribution of Mollusca fauna in the Salgótarján Brown-Coal Formation A Mollusca fauna elterjedése a Salgótarjáni Barnakőszén Formációban

	1	2	3	4	5	6	7	8	9	10	11	12	13	14	15	16	17	18	19	20	21	22	23	24
<i>Cardium sociale</i> KR.	-	-	-	-	-	-	-	-	-	-	-	-	-	-	-	-	-	-	-	-	-	-	-	
<i>Cardium</i> sp. Nr. 1.	-	-	-	-	-	-	-	-	-	-	-	-	-	-	-	-	-	-	-	-	-	-	-	
<i>Cardium</i> sp. Nr. 2.	-	-	-	-	-	-	-	-	-	-	-	-	-	-	-	-	-	-	-	-	-	-	-	
<i>Pitaria islandicoides</i> grundensis KAFTSKY	-	-	-	-	-	-	-	-	-	-	-	-	-	-	-	-	-	-	-	-	-	-	-	
<i>Pitaria islandicoides elongata</i> (SHAFF.)	-	-	-	-	-	-	-	-	-	-	-	-	-	-	-	-	-	-	-	-	-	-	-	
<i>Venus multilamella</i> LAM.	-	-	-	-	-	-	-	-	-	-	-	-	-	-	-	-	-	-	-	-	-	-	-	
<i>Spiessula subtruncata triangula</i> REN.	-	-	-	-	-	-	-	-	-	-	-	-	-	-	-	-	-	-	-	-	-	-	-	
<i>Lutraria oblonga</i> (CHEMN.)	-	-	-	-	-	-	-	-	-	-	-	-	-	-	-	-	-	-	-	-	-	-	-	
<i>Solenocartus antiquatus</i> <i>vindobonensis</i> Cs. MEZS.	-	-	-	-	-	-	-	-	-	-	-	-	-	-	-	-	-	-	-	-	-	-	-	
<i>Sanguinolaria labordae</i> BAST.	-	-	-	-	-	-	-	-	-	-	-	-	-	-	-	-	-	-	-	-	-	-	-	
<i>Corbula gibba</i> OLIVI	-	-	-	-	-	-	-	-	-	-	-	-	-	-	-	-	-	-	-	-	-	-	-	
<i>Corbula</i> sp.	-	-	-	-	-	-	-	-	-	-	-	-	-	-	-	-	-	-	-	-	-	-	-	
<i>Gastrana fragilis persinosa</i> C. et P.	-	-	-	-	-	-	-	-	-	-	-	-	-	-	-	-	-	-	-	-	-	-	-	
<i>Macoma elliptica ottomanensis</i> (R. HOERN.)	-	-	-	-	-	-	-	-	-	-	-	-	-	-	-	-	-	-	-	-	-	-	-	
<i>Tellina planata</i> L.	-	-	-	-	-	-	-	-	-	-	-	-	-	-	-	-	-	-	-	-	-	-	-	
<i>Tellina donacina</i> L.	-	-	-	-	-	-	-	-	-	-	-	-	-	-	-	-	-	-	-	-	-	-	-	
<i>Laternula fuchsii</i> R. HOERN.	-	-	-	-	-	-	-	-	-	-	-	-	-	-	-	-	-	-	-	-	-	-	-	
<i>Thracia ventricosa</i> PHIL.	-	-	-	-	-	-	-	-	-	-	-	-	-	-	-	-	-	-	-	-	-	-	-	
G a s t r o p o d a :																								
<i>Calliostoma</i> sp.	-	-	-	-	-	-	-	-	-	-	-	-	-	-	-	-	-	-	-	-	-	-	-	
<i>Theodoxus pictus</i> FER.	-	-	-	-	-	-	-	-	-	-	-	-	-	-	-	-	-	-	-	-	-	-	-	
<i>Theodoxus</i> aff. <i>cyrtoelis</i> KR.	-	-	-	-	-	-	-	-	-	-	-	-	-	-	-	-	-	-	-	-	-	-	-	
<i>Viviparus</i> sp.	-	-	-	-	-	-	-	-	-	-	-	-	-	-	-	-	-	-	-	-	-	-	-	
<i>Hydrobia frauenfeldi</i> (HÖRN.)	-	-	-	-	-	-	-	-	-	-	-	-	-	-	-	-	-	-	-	-	-	-	-	
<i>Turritella ex gr. aquitanensis</i> TOURN.	-	-	-	-	-	-	-	-	-	-	-	-	-	-	-	-	-	-	-	-	-	-	-	
<i>Turritella eryma</i> D'ORB.	-	-	-	-	-	-	-	-	-	-	-	-	-	-	-	-	-	-	-	-	-	-	-	
<i>Turritella vermicularis</i> BR.	-	-	-	-	-	-	-	-	-	-	-	-	-	-	-	-	-	-	-	-	-	-	-	
<i>Brotia escheri</i> BRONG.	-	-	-	-	-	-	-	-	-	-	-	-	-	-	-	-	-	-	-	-	-	-	-	
<i>Melanopsis impressa</i> <i>monregalensis</i> SACCO	-	-	-	-	-	-	-	-	-	-	-	-	-	-	-	-	-	-	-	-	-	-	-	
<i>Pirella moravica</i> (HÖRN.)	-	-	-	-	-	-	-	-	-	-	-	-	-	-	-	-	-	-	-	-	-	-	-	

8–15: ☒ = rare — előfordul, ○ = common — gyakori, ● = abundant — tömeges.

Table I — 1. tiblázat (2)

	1	2	3	4	5	6	7	8	9	10	11	12	13	14	15	16	17	18	19	20	21	22	23	24
<i>Pirenella hirsutoides</i> SCHRÉTER	—	—	—	—	—	—	—	—	○	⊗	⊗	⊗	⊗	⊗	⊗	+	+	+	+	×	×	×	×	
<i>Pirenella nodosaphicata</i> (HÖRN.)	—	—	—	—	—	—	—	—	⊗	⊗	⊗	⊗	⊗	⊗	⊗	⊗	+	+	+	+	+	+	+	
<i>Terebraria lignitaria</i> EICHW.	—	—	—	—	—	—	—	—	—	—	—	—	—	—	—	—	—	—	—	—	—	—	—	
<i>Calyptraeina chinensis</i> L.	—	—	—	—	—	—	—	—	⊗	⊗	⊗	⊗	⊗	⊗	⊗	⊗	⊗	⊗	⊗	⊗	⊗	⊗	⊗	
<i>Natica millepunctata tigrina</i> DEBR.	—	—	—	—	—	—	—	—	⊗	⊗	⊗	⊗	⊗	⊗	⊗	⊗	⊗	⊗	⊗	⊗	⊗	⊗	⊗	
<i>Polynices catena helicina</i> BR.	—	—	—	—	—	—	—	—	—	—	—	—	—	—	—	—	—	—	—	—	—	—	—	
<i>Murex</i> sp.	—	—	—	—	—	—	—	—	—	—	—	—	—	—	—	—	—	—	—	—	—	—	—	
<i>Galeodes cornuta</i> (Ag.)	—	—	—	—	—	—	—	—	—	—	—	—	—	—	—	—	—	—	—	—	—	—	—	
<i>Dorsanum tenodosum</i> (HILB.)	—	—	—	—	—	—	—	—	—	—	—	—	—	—	—	—	—	—	—	—	—	—	—	
<i>Dorsanum hungaricum</i> SCHRÉTER	—	—	—	—	—	—	—	—	—	—	—	—	—	—	—	—	—	—	—	—	—	—	—	
<i>Hinia limata</i> (CHEMN.)	—	—	—	—	—	—	—	—	—	—	—	—	—	—	—	—	—	—	—	—	—	—	—	
<i>Hinia höernesii</i> MAY.	—	—	—	—	—	—	—	—	—	—	—	—	—	—	—	—	—	—	—	—	—	—	—	
<i>Hinia edlaueri</i> BEER-BISTR.	—	—	—	—	—	—	—	—	—	—	—	—	—	—	—	—	—	—	—	—	—	—	—	
<i>Mirafraeuus ornithogonis</i> R. HOERN.	—	—	—	—	—	—	—	—	—	—	—	—	—	—	—	—	—	—	—	—	—	—	—	
<i>Helix</i> sp.	—	—	—	—	—	—	—	—	—	—	—	—	—	—	—	—	—	—	—	—	—	—	—	

8–15: ⊗ = rare — előfordul. ○ = common — gyakori, ● = abundant — tömeges.

A KELET-BORSODI MEDENCE OTTNANGI KÉPZŐDMÉNYEINEK MOLLUSCA VIZSGÁLATA

BEVEZETÉS

A Borsodi-medencében a közelmúltban fellendült barnakőszén-kutatások kiváló alkalmat szolgáltattak a miocén képződmények őslénytani feldolgozására. A kutatási programokhoz kapcsolódva 1978 óta végzünk makrofaunisztikai vizsgálatokat a medencében.

Eddigi vizsgálataink négy kutatási területre terjedtek ki, melyek lefedik a kelet-borsodi medence egész területét (1. ábra). 32 fúrást értékeltünk a területről, melyek eggenburgitól szarmatáig terjedő korú képződményeket harántoltak.

Feladatunk elsősorban a Salgótarjáni Barnakőszén Formáció faunájának megismerése és feldolgozása volt, ezért jelen tanulmányunkban csak azoknak a fúrásoknak (19 db) az értékelésére térünk ki, melyek fontos adatokat szolgáltattak a barnakőszéntelepes képződményekre vonatkozóan. Csak érintőlegesen foglalkoztunk a Salgótarjáni Barnakőszén Formáció fedőjében települő, csak a medence peremén (Újdiósgyőr-Forrásvölgy, Duzsnok) jelentkező slír jellegű képződmények makrofaunájával.

Makrofaunisztikai értékelésünkhez felhasználtuk BÁLDI T. (1973a; in BÁLDI—RADÓCZ 1971), KECSKEMÉTI T.-NÉ (1959), RADÓCZ Gy. (1960—75) SCHRÉTER Z. (1929, 1952, 1959) faunavizsgálati eredményeit is.

I. A KUTATÁSI TERÜLETEK FÖLDTANI FELÉPÍTÉSE ÉS FAUNISZTIKAI JELLEMZÉSE

A kelet-borsodi medence természetes harmadidőszaki határait DNy-on a Bükk hegység, ÉÉNy-on a Bükk és a Rudabányai-hegység közötti Darnó zóna kiemelt alaphegység-vonulatai, ÉÉK-en a Szendrői-hegység ópaleozós rögei alkotják.

Vizsgálataink a medence 4 barnakőszén-kutatási területére terjedtek ki (1. ábra):

1. Újdiósgyőr-Forrásvölgy,
2. Tardona—Peres,
3. Felsőnyárád—Sajógalgóc,
4. Duzsnok (Sajószentpéter).

A kutatási területek ideális földtani szelvényeit a 2. ábra, az általánosan jellemző faunatársulások elterjedését a 3. ábra mutatja.

1. Újdiósgyőr-Forrásvölgy kutatási terület

A kutatási terület a kelet-borsodi barnakőszén-medence DK-i peremén, Miskolctól É-ra, a város közvetlen szomszédságában helyezkedik el. A területről a Dgy. 366. sz. (Újdiósgyőr) és Dgy. 367. sz. (Forrásvölgy) fúrást vizsgáltuk (4a ábra).

Gyulakeszi Riolittufa Formáció

A Dgy. 366. sz. fúrás 364,9—357,0 m között harántolt riolittufa, ill. tufás agyag képződményeit soroltuk a formációba, melynek szárazföldi, vízben ülepedett, málrott, áthalmozott s agyagos kifejlődése ismert a területről. A Dgy. 367. sz. fúrás nem határontolta az alsó riolittufát.

Salgótarjáni Barnakőszén Formáció

A Dgy. 366. sz. fúrás 357,0—31,6 m-ig és a Dgy. 367. sz. fúrás 472,1—224,0 m-ig harántolta a széntelepet, illetve az I. telep magasfedőjében jelentkező, feltételezhetően a Garábi Slír Formációba sorolható egyveretű, jellegzetes üledékjegyeket mutató képződményeket. Ez utóbbi vastagsága a Dgy. 366. sz. fúrásban 90 m, a Dgy. 367. sz. fúrásban 80 m volt a faunavizsgálati minták alapján. Az összehasonlításképpen vizsgált rétegsorok tanúsága szerint a képződmény általános elterjedésű a területen, de vastagsága változó.

A Salgótarjáni Barnakőszén Formáció általában 5 széntelepes kifejlődésben jelentkezik, a köztes meddők anyaga változó szemnagyságú homok, csillámos homok, agyagos homok, agyag, agyagos aleurit, homokos agyag, amely viszonylag gazdag, változatos, de általában rossz megtartású Mollusca faunát tartalmaz.

V. telep

Mollusca faunát nem tartalmazott.

Az V. és IV. telep közötti meddő képződmények

Az összlet homokos aleurit, tufás homok és agyag, valamint homokos képződményeinek Mollusca faunája a *Crassostrea* és a *Cardium*—*Pirenella*—*Theodoxus*; *Congeria*—*Hydrobia*—*Melanopsis* faunaaasszociációkba sorolható.

Az V. telep felett összehalmozott *Crassostrea crassissima* félteknyőkből álló réteg jelentkezik, melynek felső szakaszában igen gyakoriak a megfűrt héjak. Felette a *Cardium*—*Pirenella*—*Theodoxus* együttes tovább felfelé haladva átadja helyét a *Congeria*—*Hydrobia*—*Melanopsis* együttesnek. A IV. telep közvetlen fekujét adó áthalmozott tufa alatt levő tufás agyagban újra a *Cardium*—*Pirenella*—*Theodoxus* együttes veszi át az uralmat.

IV. telep

Képződményeiből — a felső szakasz szenes agyag közbetelepüléseiből — *Brotia escheri* és *Helix* sp. került elő.

A IV. és III/a telep közötti meddő képződmények

Az összlet váltakozó homokos aleurit, aleurit és agyagos homok üledékekkel épül fel, s két nagyobb homokos közbetelepülést tartalmaz, melyek túlnyomórészt faunamentesek. A Mollusca faunát a *Crassostrea*; *Cardium*—*Pirenella*—*Theodoxus*; *Congeria*—*Hydrobia*—*Melanopsis*; *Pitaria*—*Cardium*—*Hinia* (*Anadara*) és *Sanguinolaria* dominanciájú faunaasszociációk váltakozása jellemzi.

A Dgy. 366. sz. fúrásban a IV. telep felett először *Crassostrea*—*Mytilus*, majd *Congeria lumasella* jelentkezik, *Pirenella*, *Theodoxus*, *Hydrobia*, *Congeria* kíséretében, s egy rövid faunamentes szakasz után a *Pitaria*—*Cardium*—*Hinia* (*Anadara*) asszociáció veszi át az uralmat. Utána újra faunamentes szakasz, majd a *Cardium*—*Pirenella*—*Theodoxus*, *Congeria*—*Hydrobia*—*Melanopsis*, *Crassostrea* és *Pitaria*—*Cardium*—*Hinia* (*Anadara*) asszociációk váltakozó rétegei következnek. A III/a telep közvetlen fekujét igen jellegzetes faunatartalmú (*Sanguinolaria labordei* dominancia!) tufás agyagos képződmény adja.

A Dgy. 367. sz. fúrás hasonló faunaegyütteseket harántolt, az eltérés — nagy vonalakban — minden összefüggésben annyi, hogy a IV. telep fedőjében itt kimarad az ostreás—mytilusos fauna, s rögtön a *Pitaria*—*Hinia*—*Cardium* (*Anadara*) asszociáció jelentkezik.

A III/a és III. telep közötti meddő képződmények

Az összlet uralkodóan tufamentes, agyagos, homokos aleuritos rétegekből épül fel. A Dgy. 366. sz. fúrás ezen szakaszában a *Crassostrea*- és a *Pitaria*—*Cardium*—*Hinia* (*Anadara*) faunaegyüttes jelenik meg.

A III. és II. telep közötti meddő képződmények

A rétegösszlet túlnyomóan (faunamentes) homok, aleurit, agyagos aleurit üledékekkel épül fel, mely utóbbiak faunájára a *Crassostrea* és a *Cardium*—*Pirenella*—*Theodoxus* együttesek jellemzőek. A II., ill. a II/a telep fekujében *Crassostrea* tartalmú rétegek jelentkeznek.

A II—I/a—I. telep közötti meddő képződmények

A Dgy. 367. sz. fúrás ebben a szakaszban túlnyomóan faunamentes homokot, homokos agyagot tár fel, a II. telep közvetlen fedőjében *Cardium*—*Pirenella* asszociációval.

A Dgy. 366. sz. fúrásban a homokos rétegek általában faunamentesek, míg az összlet közepetján jelentkező aleuritos, — alárendelten — homokos képződményekben anadarás faunát határoztunk meg. Az I/a telep felett — Dgy. 366. sz. fúrás — a *Cardium*—*Pirenella*—*Theodoxus*, ill. a *Crassostrea* asszociáció váltakozása a jellemző.

Az I. telep fedő rétegcsoportja

Az I. telep közvetlen fedőjében aleurit, homokos aleurit képződmények jelentkeznek. Jellemző, hogy az I. telep felett kb. 8—10 m-rel *Crassostrea* pad jelentkezik, majd ezt követően a Dgy. 367. sz. fúrásban az azt fedő homokrétegek teljesen faunamentesek, s 224 m-ben *Crassostrea* töredékek jelzik az utolsó faunatartalmú réteget.

A Dgy. 366. sz. fúrásban a közvetlen fedőrétegek *Crassostrea* és *Cardium*—*Pirenella*—*Theodoxus* együttesek váltakozásából állnak, majd a magasfedőben levő aleuritos összletben *Corbula*—*Anadara* asszociáció jelentkezik 143,0—115,0 m között. A későbbiekben ez az együttes és faunamentes szakaszok váltják egymást. A képződmény ezen szakaszából csak pontmintáink voltak.

A Dgy. 366. sz. fúrás ebben az összletben indul, míg a Dgy. 367. sz. fúrásban szarmata (riolittufa) képződmények következnek a Salgótarjáni Barnakőszén Formáció magasfedőjében.

2. Tardona—Peres kutatási terület

A Tardona—Peres-i barnakőszén-előfordulás a kelet-borsodi medence DNy-i oldalán helyezkedik el.

Salgótarjáni Barnakőszén Formáció

Vizsgált fúrásaink közül a T. 66., 69. és 72. sz. harántolta a képződményt, mely feltehetően 5-széntelepes volt, de az I. telep, ill. sok esetben a II. telep is denudáció áldozata lett, s a telepes összlet mélyebb tagjaira bádeni tengeri, ill. szarmata üledékek következtek (4b ábra).

Az V—IV. telep közötti meddő képződmények

Az összlet agyag, aleurit, homokos aleurit, homok váltakozásából épül fel. A Cardium—Pirenella—Theodoxus faunaegyüttes a leggyakoribb a T. 66. és T. 69. sz. fúrásokban, és vékony Congeria—Hydrobia lumasella és Pitaria—Cardium—Hinia (Anadara) közbetelepülés is jelentkezik az utóbbitan. A T. 72. sz. fúrás IV. telep alatti homokos aleuritos rétegeiből — a fent említett két fúrás-tól eltérően — Anadara—Turritella faunaegyüttes jelentkezik.

A IV—III/a—III. telep közötti meddő rétegcsoport

A rétegösszlet túlnyomóan homok (faunamentes), agyagos homok, homokos aleurit üledékekből épül fel. A T. 72. sz. fúrásban a IV. telep közvetlen fedőjében Congeria lumasella jelentkezik, s a felette települő homokos aleuritból a IV. telep feküvében megismert Anadara—Turritella faunaegyüttes tér vissza. A telep felett kb. 15 m-rel először a Zostera—Spirorbis, majd mytilusos és uniós faunaegyüttes jelentkezik, s egy 3 méteres faunamentes szakasz után hosszú időre a Pitaria—Cardium—Hinia (Anadara) együttes veszi át az uralmat. A IV. telep felett kb. 40—50 m-rel mindenhang fúrásban jórészt faunamentes homok következik. A T. 66. sz. fúrásban a Pitaria—Cardium—Hinia (Anadara) társulás adja a III/a telep közvetlen feküjét.

A T. 72. sz. és T. 69. sz. fúrásokban a III/a telep nem fejlődött ki. Itt a faunamentes szakasz után — a III. telep képződését megelőzően — Congeria—Hydrobia—Melanopsis, Cardium—Pirenella—Theodoxus, Mytilus—Sanguinolaria, ill. Pitaria—Cardium—Hinia asszociációk jelentkezését, ill. váltakozását figyelhetjük meg. A III. telep közvetlen feküjét a T. 69. sz. fúrásban — a többtől eltérően — Mollusca héjtöredékes, ill. faunamentes homok adja.

A III. és II. telep közötti meddő rétegek

Az összlet faunamentes homok (a II. telep közvetlen feküje), aleurit, homokos aleurit rétegekből épül fel. A T. 72. sz. fúrásban a III. telep közvetlen fedőjét Congeria lumasella adja, míg a T. 66. és 69. sz. fúrásban a Cardium—Pirenella—Theodoxus és Crassostrea együttesek váltakozása után Pitaria—Cardium—Hinia (Anadara) asszociáció jelentkezik.

A II. telep fedő rétegei

Az összlet aleurit és homokos aleurit rétegeiből származó két pontmintánk nem teszi lehetővé a képződmény felső határának kijelölését. Mindkét minta aleuritos anyagú, jellemző a Corbula—Anadara asszociáció jelentkezése.

3. Felsőnyárád—Sajógalgók kutatási terület

A kutatási terület a kelet-borsodi medence ÉNy-i részén foglal helyet, s Jákfalva, Felsőnyárád, Kuriattyán és Ormosbánya környékét öleli fel. Az általunk vizsgált fúrásokban (Jf. 55. sz., Ku. 630. sz., 631. sz., Ob. 322. sz., 323. sz.) a barnakőszéntelepes összletet csak az V. és IV. telep képviseli. Ehhez a területhez kapcsolódva vizsgáltuk a Sajógalgók 10. sz. és 22. sz. fúrások faunáját (4c ábra).

Gyulakeszi Riolittufa Formáció

A feketevölgyi területen viszonylag nagy kiterjedésben és vastagságban nyomozható áthalmozott tufás, homokos, agyagos képződményeket soroltuk ide.

Salgótarjáni Barnakőszén Formáció

Az V. és IV. telep közötti meddő rétegcsoport

Az V. telep közvetlen fedőjét részben faunamentes homok, részben a Cardium—Pirenella—Theodoxus faunaegyüttest tartalmazó aleurit adja. A IV. telep alatt kb. 5 m-rel Ostrea pad, illetve congeriás rétegek jelentkeznek.

A IV. telepet fedő rétegösszlet

A IV. telep közvetlen fedőjében részben *Congeria lumasella*, részben *Crassostrea* és *Cardium*—*Pirenella*—*Theodoxus* együttes jelentkezik. Felfelé haladva ez utóbbi válik uralkodóvá. A Jf. 55. sz. fúrásban *Pitaria*—*Cardium*—*Hinia* (*Anadara*) társulás is megfigyelhető.

4. Duzsnok (Sajószentpéter) kutatási terület

A kutatási terület a kelet-borsodi medence ÉÉK-i peremén, Sajószentpétertől É-ra helyezkedik el. Az általunk vizsgált fúrások közül minden az Sp. 120. sz. harántolt 4 telepet, ill. 20 m-re belefűrt a IV. telep alatti feküképződményekbe. A többi fúrás a II. telep alatti meddő képződményekben állt le (4d ábra).

Összehasonlításképpen felhasználtuk az Sp. 110., 112., 113. sz. fúrások vizsgálati adatait a IV. telep feküképződményeinek megismerésére.

Salgótarjáni Barnakőszén Formáció

A formáció a duzsnoki területen — az összehasonlító fúrások tanúsága szerint — 5 széntelepes kifejlődésű.

Az V. és IV. telep közötti meddő képződmények

Az V. és IV. telep közötti meddő szakasz faunájáról kevés adatunk van. Feltehetően *Cardium*—*Pirenella*—*Theodoxus* és *Crassostrea* asszociációk váltják egymást, ill. az Sp. 112. sz. fúrásban congeriás rétegeket is említenek. Az Sp. 120. sz. fúrás tanúsága szerint a IV. telep alatti áthalmozott tufaanyagot tartalmazó homokos összlet (kb. 13 m vastag) *Mollusca* faunát nem tartalmazott, ill. 281,8—282,6 m (talp)-ig terjedő tufás agyagból rossz megtartású *Turritella* maradványok kerültek elő.

A IV—III/a—III. telep közötti meddő rétegcsoport

Az Sp. 120. sz. fúrás 267,4—189,3 m között harántolta az összletet, mely túlnyomóan finomhomokos aleurit, aleurit és homok rétegek váltakozásából áll. A IV. telep közvetlen fedőjében jelentkező, túlnyomóan aleuritos rétegek faunája gyér, szinte kizárolag *Cardium sociale* és *Pitaria islandicoides elongata* — igen gyakran autochton beágyazódású — példányaiiból áll. Az aleuritos szakaszokban *Cardium*, a homokosabb szakaszokban *Pitaria* dominál, ritkán *Hinia* sp. kísérében.

Felfelé faunamentes képződmények iktatódnak közbe, illetve jutnak uralomra. Ezek adják a III/a telep közvetlen fekijét, iszapmoszgásos nyomokat, ritkán Y alakú életnyomokat tartalmazó váltakozó homok, agyagos homok, s homokkő rétegek formájában. A III/a és III. telep közötti agyagos képződményekből *Crassostrea*, *Mytilus*, *Sanguinolaria* faunaegyüttes került elő, paraautochton beágyazódásban. A III. telep közvetlen fekijét alkotó aleurit kevert, töredékes faunát tartalmaz (*Pirenella*, *Theodoxus*, *Nucula*).

A III. és II. telep közötti meddő képződmények

A III. telep felettes váltakozó agyagos, aleuritos, homokos rétegekre a *Cardium* és *Pitaria* dominanciája jellemző, mely annyiban tér el a III. és IV. telep között megismert típustól, hogy kísérő faunája gazdagabb (*Corbula*, *Spissula*, *Tellina*, *Nucula* stb.).

A III. telep felettes 2 m-rel összemossott, de alig szállított *Crassostrea* héjakat tartalmazó közbelépülések jelentkeznek. A crassostreás közbelépülések felettes aleuritos képződményekben gyakoriak a bemosott, ép, illetve töredékes *Congeria* és juvenilis *Ostrea* héjak.

A II—I/a—I. telep közötti meddő rétegösszlet

Az Sp. 120. és 121. sz. fúrásokban *Crassostrea* pad adja a II. telep fedőjét, míg az Sp. 123. sz. fúrásban életnyomos aleurit jelentkezik.

A meddő rétegösszlet vastagsága (teleptávolság) viszonylag állandó (50—60 m). Túlnyomórészt életnyomos aleurit és finomhomok rétegekből épül fel, s gyakoriak a *Mollusca*fauna-mentes szakaszok. Az összlet közepe táján megjelenő aleuritos agyagos rétegek (kb. 4—5 m vastagságban) autochton beágyazódású, üledékfalok dominanciájával jellemezhető faunaegyüttest tartalmaznak.

Az I/a telep feküje általában faunamentes aleurit, kivétel az Sp. 123. sz. fúrás, ahol *Pitaria*, *Crassostrea*, *Anadara* töredékekkel tartalmazó homokos réteg alkotja a feküt. Az I/a és I. telep közötti rétegek általában faunamentesek. Az I. telep fekjében *Crassostrea* pad jelentkezik (Sp. 120., 121. sz. fúrások).

Az I. telepet fedő képződmények

Az I. telep fedőjében jelentkező aleuritból Congeria—Hydrobia—Melanopsis (Sp. 120. sz. f.), valamint Crassostrea együttes (Sp. 120., 121. sz. fúrások), a homokos összletből Cardium—Pirenella—Theodoxus faunaegyüttes vált ismertté.

Kb. 1 m vastag faunamentes szakasz után aleuritból Congeria—Melanopsis—Hydrobia, illetve az ezt fedő homokos összletből Cardium—Pirenella—Theodoxus faunaegyüttes vált ismertté. Az I. telep felett 10—15 m-rel, illetve a Cardium—Pirenella—Theodoxus és a Crassostrea faunaegyüttes jelentkezése felett, 5—10 m-es faunamentes szakasz után aprókavicsos változó szemnagyságú homokrétegek következnek, melyek felfelé iszapmozgásos életnyomos, jellegzetes Mollusca faunát tartalmazó aleuritba mennek át.

Ez a faunaegyüttes, melyre a *Solenocurtus antiquatus vindobonensis*, *Thracia ventricosa*, *Pitaria islandicoides elongata*, *Lutraria dominanciája* jellemző — igen gyakran autochton beágyazódásban — az I. telepet fedő aleuritos rétegekben a leggazdagabb.

A faunaegyüttest tartalmazó képződmények nagy kiterjedésben, 20—80 m vastagságban (Sp. 121. sz. fúrás) nyomozhatók a területünkön. E rétegek már feltehetően a Garábi Slír Formációba tartoznak.

II. PALEOÖKOLÓGIAI ÉRTÉKELÉS

A kelet-borsodi medence miocén — eggenburgitól szarmataig terjedő korú — képződményeiben 18 makrofauna asszociációt tudtunk elkölönlíteni (5. ábra). Az asszociációk elkölönlítésénél a fajok dominanciaviszonyait, illetve egymáshoz kapcsolódásuk gyakoriságát vettük alapul. Az asszociációk környezeti igényének megismérésére az izocönózis módszert (THORSON 1957, BÁLDI 1973b) alkalmaztuk, felhasználva a mai tengerbiológiai kutatások eredményeit, valamint a fosszilis paleocönózisok ökológiai elemzési adatait, különös tekintettel az öböl, lagúna, illetve estuárium környezetekre (l. irodalomjegyzék). Külön figyelmet fordítottunk a bezáró üledék földtani jellemzőinek megfigyeléssére, valamint a biosztratinómiai jelenségek rögzítésére (megtartási állapot, beágyazási mód, héjorientáció — különös tekintettel az élethelyzetre —, méret szerinti osztályozottság, bekérgezések, fűrás nyomok stb.).

A Salgótarjáni Barnakőszén Formáció bentosz Mollusca asszociációinak paleoökológiai jellemzése

A kelet-borsodi medencében a Salgótarjáni Barnakőszén Formációt alárendeltebben agyagos, túlnyomórészt aleuritos, homokos képződmények képviselik. Hét bentosz Mollusca asszociációt tudtunk elkölönlíteni (6. ábra). Az asszociációk rövid jellemzésénél csak a végső paleoökológiai következetéseket ismertetjük s eltekintünk a recens biocönózisok, illetve fosszilis paleocönózisok részletes, összehasonlító elemzésétől, mert ez terjedelme miatt meghaladja ezen dolgozat kereteit (részletes adatok: BOHN-HAVAS M. 1983). Értékelésünket kiegészítettük a *Zostera*—*Bryozoa*—*Spirorbis* biocönózisra vonatkozó adatokkal (RADÓCZ Gy. 1974), valamint érintőlegesen kitértünk a Salgótarjáni Barnakőszén Formáció fedő képződményeiből megismert *Solenocurtus*—*Thracia*—*Pitaria* asszociáció ismertetésére.

Brotia — *Unio* asszociáció

Jellemző fajok: *Brotia escheri*, *Unio borsodensis*, *Anodontula* sp. — *Helix* sp., *Viriparus* sp., *Congeria* sp. kíséretében.

Beágyazó üledék: Huminites szenes agyag.

Beágyazás módja: Paraautochton, az Úniák gyöngyházas duplateknős formában akkumulálódva.

Leggyakoribb előfordulás: A széntelepek felső, huminites szenes agyagos közbetelepüléseiben.

Jellemzés: Epifauna jellegű, szuszpenziófiltráló dominanciájú, kis kiterjedésben jelentkező együttes, mélynek optimális élettere a sekély, dús vegetációjú, ingadozó sótartalmú (oligohalinál nem nagyobb), huminitben gazdag, csendesvízű elmocsarasodó lagúnaszakasz lehetett.

Congeria — *Hydrobia* — *Melanoopsis* asszociáció

Jellemző fajok: *Congeria ex gr. clavaeformis*, *Congeria amygdaloïdes*, *C. basteroti*, *Hydrobia frauenfeldi*, *Melanopsis impressa monregalensis*, *Cardium edule arcella*, *Theodoxus pictus*, *Unio* sp.

Bezáró üledék: Agyag, agyagos aleurit, aleurit.

Beágyazódás módja: Allochton, rövid szállítódásra utaló nyomokkal. Gyakori az osztályozott és szelektált lumasella képződés. A Congeriák — leggyakrabban a *Congeria ex gr. clavaeformis* — ép, színes héjú, felül konvex teknői 30 cm vastag lumasellát is alkothatnak. A Hydrobiák vékony, 1–2 mm-es rétegekben akkumulálódnak.

Leggyakoribb előfordulás: A széntelepek környékén, a telepek közvetlen fedőjében, „vezető szintet” adó lumasella formájában, ritkábban a telepek közötti meddőkben, ilyenkor *Crassostrea*, ill. *Cardium*—*Pirenella*—*Theodoxus* együttesek kíséretében.

Jellemzés: Epifauna jellegű, szuszpenziófiltráló dominanciájú asszociáció, a növényevők időnként kiugró egyedszámával, gyakori átmenetekkel a *Cardium*—*Pirenella*—*Theodoxus* asszociáció

felé. Az asszociáció optimális élettere a kis mélységű, dús vegetációjú, oxigénben gazdag, mozgatott vizű, ingadozó sótartalmú (oligohalin) lagúnárész lehetett, ahol az édesvíz-utánpótlás még erősen érezte hatását.

Cardium — Pirenella — Theodoxus asszociáció

Jellemző fajok: *Cardium edule arcella*, *C. sociale*, *Pirenella borsodensis*, *P. moravica*, *Theodoxus pictus*, *Congeria clavaeformis*, *C. amygdaloïdes*, *Hydrobia* sp., *Theodoxus* aff. *cryptocelis*, *Brachydontes* sp., *Calliostoma* sp. — halmaradványok kíséretében.

Bezáró üledék: Aleurit, aleuritos finomhomok.

Beágyazódás módja: Általában allochton.

Leggyakoribb előfordulás: A telepek közvetlen feküjében, illetőleg a köztes meddőkben a congeriás, crassostreás asszociációkkal váltakozva. A Salgótarjáni Barnakőszén Formáció leggyakoribb és legjellegzetesebb együttese.

Jellemzés: Epifauna jellegű. A növényevő-szuszpenziófiltráló dominanciájú asszociáció gyakran mutat keveredést a congeriás, crassostreás, mytilusos együttesekkel. Az együttes kis mélységű (néhány méter mély), növényzettel borított aljzatú, mozgatott vizű, oxigénben gazdag, ingadozó, többször mezohalin (9—16,5% sótartalmú) környezetben élhetett, a partvonalaat kísérő *Crassostrea* padok lagúna felé eső védett oldalán.

Crassostrea asszociáció

Jellemző fajok: *Crassostrea gryphoides*, *Osrea* sp. (kis termetű), *Cardium edule arcella*, *Brachydontes* sp., *Mytilus haidingeri*, *Pirenella moravica*, *Theodoxus pictus*, *Hydrobia* sp.

Beágyazó üledék: Aleurit, homok.

Beágyazódás módja: Gyakran in situ élethelyzetű *Crassostrea* teknőkkel, gyors betemetődésre utalva.

Leggyakoribb előfordulás: A széntelepek közeli fekü és fedő rétegeiben és a köztes meddőkben, ritkán congeriás, gyakran *Cardium*—*Pirenella*—*Theodoxus* asszociáció kíséretében.

Mytilus — Sanguinolaria asszociáció

Jellemző fajok: *Mytilus haidingeri*, *Sanguinolaria labordei*, *Brachydontes* sp., *Modiolus* sp., *Ostera* sp., *Pirenella moravica*, *Theodoxus pictus*, *Calyptrea chinensis*.

Beágyazó üledék: Agyag, agyagos aleurit.

Beágyazás módja: Paraautochton a III. és III/a telep környékén, egyébként allochton.

Leggyakoribb előfordulása: A III. és a III/a telephez kapcsolódva.

Jellemzés: Epifauna jellegű, szuszpenziófiltráló dominanciájú együttes, ingadozó sótartalmú (mezo-polyhalin), mozgatott vizű, iszapos, finomhomokos aljzatú sekélyszublitorális környezetet jelez.

Pitaria — Hinia — *Cardium* (*Anadara*) asszociáció

Jellemző fajok: *Pitaria islandicoides grundensis*, *P. islandicoides elongata*, *Hinia edlaueri*, *H. hörnnesi*, *Dorsanum ternodosum*, *Cardium edule arcella*, *Anadara diluvii*, *Spissula subtruncata triangula*, *Gastrana fragilis*.

Beágyazó üledék: Aleurit, finomhomok.

Beágyazás módja: Gyakran autochton élethelyzetű *Pitaria*, *Cardium*, *Gastrana* teknőkkel.

Leggyakoribb előfordulás: A telepektől távol, a köztes meddőkben. A Salgótarjáni Barnakőszén Formáció második legnagyobb kiterjedésben nyomozható együttese.

Jellemzés: Infauna jellegű, szuszpenziófiltráló dominanciájú együttes, mely megfelelő O₂ ellátottságú, áramló vizű, polyhalin sótartalmú (30% körül), sekélyszublitorális (15—30 m) környezetet valósínni.

Anadara — *Turritella* asszociáció

Jellemző fajok: *Anadara diluvii*, *Turritella ex gr. aquitanensis*, *T. eryna*, *Hinia hörnnesi*, *Myrtea spinifera*, *Nuculana fragilis*.

Bezáró üledék: Agyagos homok, aleuritos homok, homok.

Beágyazás módja: Leggyakrabban allochton, rövid szállításra utaló nyomokkal, ritkán paraautochton, pillangó helyzetű *Anadarák*kal.

Leggyakoribb előfordulás: Széntelepektől távol, a köztes meddőkben.

Jellemzés: Infauna jellegű, szuszpenziófiltráló dominanciájú asszociáció, gyakori átmenetekkel a *Corbula*—*Anadara* együttes felé. Normális sótartalmú, áramlásoktól mozgatott vizű, partszegélyi, sekélyszublitorális (20—30 m) homokos, aleuritos aljzatú környezetet feltételez.

C o r b u l a — A n a d a r a asszociáció

Jellemző fajok: *Corbula gibba*, *Corbula* sp., *Anadara diluvii*, *A. turonensis*, *Myrtea spinifera*, *Macoma elliptica ottangensis*, *Mitraefusus ottangensis*.

Bezáró üledék: Finomhomokos aleurit, aleurit, finomszemű homok.

Beágyazás módja: Leggyakrabban allochton, rövid szállításra utaló nyomokkal; néha szelektált *Anadara*, illetve *Corbula*, felül konvex helyzetű teknők összehalmozódásával.

Leggyakoribb előfordulás: Széntelepektől távol, a köztes meddőkben.

Jellemzés: Infáuna jellegű, szuszpenziófiltráló dominanciájú együttes, gyakori átmenetekkel az *Anadara*—*Turritella* együttes felé. Az aljzat táplálékban viszonylag gazdag, erre utal az üledékevők számának növekedése. Jellemző a növényevők teljes hiánya. Az asszociáció normális sótartalmú, időnként áramlásuktól mozgatott vizű, partszegélyi sekély szublitorális (30 m körüli) környezetre utal.

A biofácierek térbeli kapcsolatai

A Salgótarjáni Barnakőszén Formáció képződményeiben elkülönített 7 bentosz Mollusca asszociáció ökológiai elemzési adatai arra utalnak, hogy a sótartalom és a szubsztrátum minősége az együttesek horizontális elterjedését, elettér szerinti eloszlását döntően meghatározó tényezők.

Az ökológiai jellemzők ismeretében megkíséreltük rekonstruálni az asszociációk térbeli, ideális elrendeződésének képét. Alapul vettük az egyes kutatási területeken megfigyelt laterális elterjedési változatokat, asszociációs kapcsolatokat, keveredési tendenciákat s az így kialakult képet (7. ábra) vetettük össze a mai, hasonló földrajzi és ökológiai adottságú környezetek fáciéseinek és biocönózisainak elterjedési rendszerével, szabályszerűségeivel.

Vizsgálataink alapján megállapítható volt, hogy asszociációink részben partközeli, sekélytengeri, részben a tengeri üledékgyűjtőtől övező, csökkentsóvízi lagúnás fáciestben élhettek.

A parttól a tenger felé haladva a következő, összefogazódó biofáciest-öveket különítettük el (8. ábra):

— A lagúna édesvízi—oligohalin sótartalmú, agyagos fáciestű, parti, mocsaras, ártéri övezetére a *Brotia*—*Unio* asszociáció a jellemző.

— A lagúna agyagos, aleuritos aljzatú, változó (oligohalin—mezohalin) sótartalmú védettebb környezetében a folyók hígító hatása még erősen érvényesül. Domináns társulás: *Congeria*—*Hydrobia*—*Melanopsis*.

— A lagúna legnagyobb kiterjedésű, néhány méter mély, aleuritos fáciestű, változó (mezohalinnál nem alacsonyabb) sótartalmú szakaszára a *Cardium*—*Pirenella*—*Theodoxus* együttes dominanciája a jellemző.

— A változó sótartalmú (mezohalin—polyhalin), erős hidrodinamikai tevékenységnek kitett, partszegélyi sekélytengeri vagy lagúnáparti fáciestre a *Mytilus*—*Crassostrea* asszociációk (biostrom) jelentkezése a jellemző.

— A változó sótartalmú (polyhalin—marin), aleuritos finomhomokos aljzatú, áramlásuktól mozgatott vizű, sekélyszublitorális (15—30 m) mélységű fáciestöre a *Cardium*—*Hinia*—*Pitaria* társulás gyakorisága a jellemző.

— A normális sótartalmú, áramlásuktól mozgatott vizű, homokos, aleuritos aljzatú, 30 m körüli mélységű partközeli, sekélytengeri fáciestöben az *Anadara*—*Turritella*, *Corbula*—*Anadara* társulások dominálnak.

A biofácierek térr- és időbeli változásai a kelet-borsodi medencében

A biofáciest-övek térbeli és időbeli bekövetkező eltolódásai — melyek az asszociációk változásán, illetve változás tendenciáján keresztül egyértelműen nyomon követhetők — ciklikus jellegűek és a partvonali gyakori pozitív—negatív irányú eltolódásáról tanúskodnak. A Salgótarjáni Barnakőszén Formáció képződése alatt többször is bekövetkezett, hogy a peremi lagúnák feltöltődtek üledékkel és paralikus síkláppá alakultak, majd a transzgresszió előrehaladásával újra lagunáris, illetve partszegélyi, sekélytengeri körülmények váltak uralkodóvá. Ennek a ciklusos képződésnek köszönhető a formáció változatos rétegsora.

Az Újdiós Győr-Forrás-völgy-i területen az eggenburgi partszegélyi—csökkentsóvízi lagunáris környezeti viszonyok után az „alsó riolittufa” szárazulati, limnikus, illetve félsóvízi fáciestben rakódott le. Az egyenlőtlen tufafelszín adja az V. telep keletkezése idején a térszínt. Ennek következtében a telep igen gyakran csak a mélyebb részeiken alakult ki.

Az V. telep képződését követő süllyedés következményeként az egész terület víz alá került, s lagunáris környezeti viszonyok váltak uralkodóvá a *Cardium*—*Pirenella*—*Theodoxus* asszociáció

dominanciájával, *Crassostrea* padok kíséretében. A medence süllyedésének lassulásával újabb mocsarasodási ciklus indult meg, mely az egész területre kiterjedt, s a IV. telep kialakulását eredményezte.

A telepképződési időszak megszűnésének kezdeti, lassú süllyedési tendenciájára utal, hogy a telep felső részében közbeiktatódó szenesagyagos rétegekben brotiás faunaegyüttes jelentkezik, ami erősen csökkentsősővízű lagúna viszonyokat tételez fel. Ezután a *Crassostrea* asszociáció jelentkezik, majd hosszabb időre partszegélyi, sekélytengeri viszonyok válnak uralkodóvá, melyet a *Pitaria*—*Hinia*—*Cardium* együttes dominanciája bizonyít.

A fiatalabb széntelepeket létrehozó oszcillációk során a mocsári, lagunáris és tengeri fáciesek sűrű változása többször is megfigyelhető. A III. és III/a telephez kapcsolódva — ezen a területen is — megjelenik a *Mytilus*—*Sanguinolaria* asszociáció.

Az I. telep képződését megelőző időszakban a parti—sekélytengeri viszonyok uralkodóvá válását figyelhetjük meg, melyre a *Corbula*—*Anadara* együttes dominanciája a jellemző.

Az I. telep láposodási ciklusát lezárva újra partszegélyi, sekélytengeri körülmények alakultak ki a területen, aminek kezdeti szakaszában *Crassostrea* padok jelentkeznek s ezek később véglegesen átadják helyüket az *Anadara*—*Corbula* asszociációnak.

A *Tardona*—*Peresi* területen a barnakőszéntelepes összlet a részmedence DDK-i peremén az alaphegységre transzgredál, míg az ÉÉNy-i területrészeken az ún. „amussiumos slír” és „glaukonitos homokkő” adja a feküt. Ez utóbbi képződmények Mollusca faunáját BÁLDI T. vizsgálta (in BÁLDI—RADÓCZ 1971).

Az ottangi kezdeti savanyú tufaszórás esak nyomokban jelentkezik a területen. A lassú ottangi transzgresszió bevezetéseként a terület első elmocsarasodása során létrejött V. telep elterjedési határát a változatos térszín tette szabálytalanná. Az V. telepi mocsár a terület középső részén a jelenlegi *Tardona*-patak völgyében nyúlt a legdélebbre (T. 66. sz., T. 69. sz. fúrás), míg a terület DDNy-i részén tovább tartott a szárazföldi időszak. A telepképződést követően az egész terület víz alá került, lagunáris, illetve partközeli sekélytengeri viszonyok váltak uralkodóvá, amit a *Cardium*—*Pirenella*—*Theodoxus*, *Congeria*—*Hydrobia*—*Melanopsis*, illetve *Cardium*—*Pitaria*—*Hinia* és *Turritella*—*Anadara* együttesek jeleznek.

Ezután a medence süllyedésének lassulása következtében újra láposodási ciklus indult meg, mely kiterjedt az egész területre. A IV. telep keletkezését követően a kezdeti lagunáris környezetet viszonylag hosszú időre partszegélyi, sekélytengeri körülmények váltják fel, melyre a *Pitaria*—*Hinia*—*Cardium* és *Turritella*—*Anadara* asszociáció jelentkezése utal.

A III. telep képződési időszakát megelőzve újra lagunáris viszonyok alakultak ki s megjelent a jellegzetes *Mytilus*—*Sanguinolaria* együttes is.

Ezt a láposodási ciklust követően rövid időre újra a lagúna hódít teret, melyet a *Congeria*—*Hydrobia*—*Melanopsis* és *Cardium*—*Pirenella*—*Theodoxus* együttesek jeleznek *Crassostreák* kíséretében. A transzgresszió előrehaladásával azonban partszegélyi, sekélytengeri viszonyok válnak uralkodóvá.

A stájer orogén hatására kiemelkedett a terület, s ennek következtében a barnakőszéntelepes összlet magasabb tagjai lepusztultak, s a II. telep fedőjében a bádeni transzgresszió partszegélyi, illetve nyíltabb sekélytengeri *Macoma*—*Lucina*, ill. *Amussium*—*Pteropoda* (*Vaginella*) faunaegyütteseket tartalmazó üledékei következnek.

A *Felsőnyárádi*—*Sajóágai* területen az eggenburgi a paleozóos alaphegységre települő lassú transzgressziós rétegsorral indul. Az általunk vizsgált összes fúrás kisebb-nagyobb vastagságban harántolta ezt a képződményt. A Felsőnyárádi Formáció az Upponyi- és Szendrői-hegységet összekötő kiemelt helyzetű alaphegységpászta kisebb-nagyobb mélyedéseiben található (RADÓCZ Gy. 1973).

A kezdeti limnikus kőszéntelepes összlet az általunk vizsgált fúrásokban faunát nem tartalmazott, de jellemző volt a mocsári fáciest jelző szideritgumós rétegek (VI. telep fekü, fedő) gyakorisága.

A kőszéntelepes képződmények magasabb fedőjében azonban már jellegzetes csökkentsősívi fauna jelentkezett. *Mytilus*, *pirenellás* asszociációk váltották egymást, utalva a partvonali kisebb változásaira. A *Mytilus aquitanicus* paleocönózisok a partszegély mozgatottabb, homokosabb szakaszain találhatók, míg a *Tympanotonus*—*Pirenella* közösségek inkább az iszapos, növényzettel borított síkparti környezetet kedvelik (BÁLDI T. 1973b). A transzgresszió előrehaladásával megjelennek az igen jellegzetes, több típusba sorolható *Pitaria* és *Turritella*, illetve *Flabellipecten* dominanciájával jellemző Mollusca együttesek, melyek egyértelműen a normális sótartalmú, sekélyszublitorális (15–30 m) tengeri környezet uralkodóvá válását bizonyítják. Ezek a képződmények nagy kiterjedésben nyomozhatók.

Az eggenburgi üledékképződést lepusztulás követte, majd az „alsó riolittufa” összlet képződött, melynek fedőjében már az ottangi oszceillációs széntelepes képződmények jelentkeztek (Salgótarjáni Barnakőszén Formáció). A ciklus kezdetén a partszegélyi, csökkentsősívi lagúnás fáciest volt az ural-

kodó (*Congeria*—*Hydrobia*—*Melanopsis* és *Crassostrea* együttesek), de a rétegsor magasabb részeiben már megjelentek a tengeri partszegélyi, partközeli környezetet jelző bentosz Mollusca asszociációk is [*Pitaria*—*Hinia*—*Cardium* (*Anadara*)]. Az általunk vizsgált fúrásokból azonban hiányoznak az ottangi felső szakaszára jellemző, kiteljesedő transzgresszió képződményei, illetve faunaegyüttesei (pl. az *Anadara*—*Corbula* asszociáció).

Meg kell jegyeznem, hogy RADÓCZ Gy. (1964) a terület általános rétegsorának leírása során rögzítette a faunaváltozásokat is, amiből két fontos adatot emelnék ki, saját adatainkat kiegészítendő. Ő a III/a és IV. telep köztes meddő aleurit összetében *Corbula*—*Anadara* együttes jelenlétét jelzi, továbbá a III/a telep feküjét adó agyagos rétegekből sanguinolariás—mytilusos faunaegyüttest említi.

A Duzsno k — Sajószen térség területén a Salgótarjáni Barnakőszén Formáció diszkordánsan települ az alaphegységre. A formáció bázisképződményeiből, illetve az V. telep képződését követő időszak képződményeiből makrofauna vizsgálat nem készült. Így csak a fúrási jegyzőkönyvek adataira hivatkozva feltételezhetjük, hogy a lagunáris körülmények voltak uralkodók a területen a IV. telep keletkezését megelőző időszakban. Bár az Sp. 120. sz. fúrás 282,6—281,8 m-ből származó mintája partszegélyi, sekélytengeri környezetre utal, egy minta alapján a kérdés nem döntető el.

A IV. telep fedőjében jelentkező fauna, melyet a *Pitaria*—*Cardium*—*Hinia* (*Anadara*) asszociációba soroltunk, bizonyos eltérést mutat (főleg jellegtelenségében) a korábban megismert asszociációképtől. A IV. telep magasabb fedőrétegei Mollusca faunát nem tartalmaznak.

A III. és III/a telep között ezen a területen is jelentkezik a crassostreás, mytilusos—sanguinolariás társulás.

A III. telep láposodási ciklusának lezáródásával újra a *Pitaria*—*Hinia*—*Cardium* (*Anadara*) együttes jelentkezik (típusos dominanciaviszonyokkal) partszegélyi sekélytengeri viszonyokat valószínűsítve.

A II. telep képződését megelőzően összemossott, de alig szállított formában — parteltolódást, sótartalom-ingadozást jelezve — *Crassostrea* asszociáció jelentkezik. A II. telep felett hosszabb Molluscafauna-mentes, de életnyomos szakasz után jelentkező *Corbula*—*Anadara* asszociáció partszegélyi, sekélytengeri környezetre utal. Ehhez képest határozott változást jelez (erősebb mozgatott víz, sótartalom-csökkenés) az I. telep képződését megelőzően tért hódító crassostreás faunaegyüttes.

A telepképződési időszak lezáródásával az I. telep közvetlen fedőjében újra a *Crassostrea* asszociáció tér vissza, majd egyértelműen lagunáris környezetre utalva megjelenik a *Congeria*—*Hydrobia*—*Melanopsis*, illetve a *Cardium*—*Pirenella*—*Theodoxus* faunaegyüttes. Ezt követően Molluscafauna-mentes szakasz következik, majd újra a partszegélyi, sekélytengeri körülmények válnak uralakodóvá, amit a *Solenocurtus*—*Thracia*—*Pitaria* asszociáció megjelenése igazol.

A Salgótarjáni Barnakőszén Formáció keletkezése során bekövetkezett fauna-, illetve fáciest változások tendenciáját — összehasonlítva a négy kutatási területet — a 3. és 9. ábra mutatja be.

III. ÖSFÖLDRAJZI ÉRTÉKELÉS

A Salgótarjáni Barnakőszén Formáció kialakulását megelőző időszak legfontosabb eseményei a szávai orogénhez kapcsolódnak. A ciklus kompresszív fázisában alakult ki az ÉNy—DK-i irányú Sajó-árok, majd a hasadékká szélesedő mélytörések mentén az eggenburgi—ottnangi határon riolittufa került a felszínre, a Gyulakeszi Rioliittufa Formáció (HÁMOR G. et al. 1982). Legtöbb esetben ez a képződmény adja a barnakőszéntelepes összlet fekjét.

Az ottnangi, viszonylag lassú oszcillációs transzgressziót a Salgótarjáni Barnakőszén Formáció kavicsos bázisképződményei, illetve az V. barnakőszéntelep vezeti be, melynek elterjedését a változatos térszin tette szabálytalanná. A telepképződési időszak akkor zárult le, amikor a meginduló süllyedés következtében az árkos szerkezetek nagy része víz alá került. A transzgresszió DK-i irányból érte az Újdiósgyőr-Forrásvölgy és Duzsnok-i területet, Tardona—Peres környékére ÉEK-i irányból érkezett.

A változatos térszíni viszonyok következtében tulajdonképpen részüledékgyűjtők alakultak ki, melyek egymással kapcsolatban voltak, de fejlődésük — a fáciesszállítások tükrében — a nagyszerkezeti árokban elfoglalt helyzetük következtében eltérően alakult (9. ábra).

Az V. telep keletkezését követő időszakban majdnem az egész rendszerben lagúnás—csökkentsősvízi körülmények uralkodtak, feltételezhetően a folyók intenzív hígító hatásának következtében (10. ábra).

Gazdag és színes élővilág alakult ki a növényzettel borított aljzatú, nagy mennyiségű szuszpen-dált szerves törmeléket szállító, áramlásuktól mozgatott vizű, oxigénbő környezetben. Az itt jelentkező asszociációra az epifauna jelleg és a szuszpenziófiltrálók, illetve a növényevők dominanciája a jellemző. A lagúnák kisebb sótartalmú zónáiban élt a *Congeria—Hydrobia—Melanopsis* asszociáció, gyakori átmeneteket képezve a *Cardium—Pirenella—Theodoxus* társulás felé, mely a legnagyobb elterjedésű, leggyakoribb társulása volt a lagúnarendszernek. Ezek igen gyakran *Crassostrea* padokhoz kapcsolódtak, ritkábban a mytilusos együtteseket kísérték.

A Tardona—Peres-i kutatási terület DDK-i részén azonban — a Tardona 72. sz. fúrás tanúsága szerint — ebben az időben partszegélyi sekélytengeri üledékképződés volt, illetve a lagúnarendszernek ezen a részén a sótartalom olyan magas értéket ért el, amely már lehetővé tette a *Pitaria—Hinia—Cardium* és *Anadara—Turritella* asszociáció elterjedését. A kutatási terület K-i határainál nincsenek adataink, de a legközelebb eső Újdiósgyőr-Forrásvölgy-i területen semmi sem utal élő tengeri kapcsolat kialakulására.

Miután a medence süllyedése lelassult, erősödött a lagúnák feltöltődése, ami mocsári fáciess kialakulásához vezetett. A kelet-borsodi medence területén a legnagyobb elterjedésű az ekkor képződött IV. telep.

A láposodási ciklusnak az újra lassan meginduló süllyedése vet véget. A kezdeti édesvízi—oligo-halin lagunáris környezetet folyamatosan partszegélyi sekélytengeri üledékképződés váltja fel, illetve a megerősödő tengeri kapcsolat következtében a lagúnarendszer sótartalma emelkedik, amit a magasabb sótartalom-igényű együttesek elterjedése jelez. A IV. telep képződését követő időszakban ez a tendencia az egész kelet-borsodi medence területén érvényesül (10. ábra).

Az Újdiósgyőr-Forrásvölgy-i területen a folyamat lassú, gyakoriak a visszacsatolások, a fauna-, illetve fáciesszállítások. A tardonai részmedencében rövid csökkentsősvízi szakasz után válnak ural-kodóvá a partszegélyi sekélytengeri körülmények, jellemző *Pitaria—Hinia—Cardium* asszociációval. Hasonló tendenciájú a felsőnyárádi medencerész fejlődése is, ahol ezen időszak alatt először a *Pitaria—Hinia—Cardium*, majd a *Corbula—Anadara* faunaegyüttető dominanciája jellemző (RADÓCZ Gy. 1964). Ennek a nagy kiterjedésű ingressziónak visszahúzódását a csökkentsősvízi fauna lassú térhódítása jelzi. A süllyedés megszűnése nék következtében újabb láposodási ciklus indul meg.

A III/a telep képződését követően az egész lagúnarendszerre kiható változás figyelhető meg, melyet a *Mytilus—Sanguinolaria* asszociáció szinte egyidejű — sok esetben paraautocton beágyazódású — hirtelen elterjedése jelez. A mytilusos asszociációk viszonylag kis mélységet (hullámbázis

környéke illetve felette), erősen mozgatott vizet jeleznek. Ilyen körülmények a lagúnarendszerben korábban is adottak voltak, korábbról is ismerjük ezt a társulást. Bár hirtelen, szinte az egész medencére kiterjedő megjelenésükre több feltételezés is adódik, nem ismerjük a pontos választ.

A III. telep képződését követő időszak kezdetén a medence nagyrészén lagúnás, csökkentsóvízi környezet alakult ki. A tardonai és duzsnoki területen a csökkentsóvízi üledékképződést rövidesen partszegélyi sekélytengeri körülmények váltották fel, míg a diósgyőri medencérészben továbbra is csökkentsóvízi környezet maradt fenn.

A II. telep képződését követően a medence túlnyomó részében — a kezdeti csökkentsóvízi szakasz után a diósgyőri területen is — partszegélyi sekélytengeri körülmények váltak uralkodójává.

Ezt követően már csak a medence keleti részéből, a diósgyőr—duzsnoki területről vannak adatunk, hisz a medence többi részén a telepes összlet fiatalabb része nagyrészt lepusztult.

Az Újdiósgyőr-Forrásvölgy és a Duzsnok-i területek fejlődési tendenciája nagyon hasonló. A faunaasszociációkbeli különbség egyértelműen utal a diósgyőri terület peremi és a duzsnoki terület medencebelsei helyzetére. Mind a két területen az I. telep keletkezését megelőző időszakban *Crassostrea biostromok* alakultak ki, majd a láposodási ciklus lezáródásával újra benépsítették a lagúnát. A duzsnoki területen az I. telep képződését követően a csökkentsóvízi lagúnás viszonyokat jelző *Cardium*—*Pirenella*—*Theodoxus* asszociáció is megjelent.

E rövid intermezzo után — mely talán már a stájer orogén fázis kompresszív szakaszát jelzi — minden területen partszegélyi sekélytengeri üledékképződés folytatódott, partibb jelleggel a diósgyőri, nyíltabb vízi fáciesben a duzsnoki területen.

Összefoglalva tehát az eddigiek (10. ábra), a Salgótarjáni Barnakőszén Formáció keletkezése idején a faunaasszociációkkal jellemezhető fáciesváltozások — helyi jellegű eltérések ellenére — azonos tendenciát mutatnak. Makrofauna-vizsgálatok alapján kimutatható, egész medencére kiható események:

- a IV. telep képződését követő általános ingresszió;
- III—III/a telepek képződését megelőzően, illetve követően a mytilusos asszociáció robbanás-szerű, az egész medencét meghódító elterjedését előidéző környezeti változás;
- a II. telep képződését követő tengerelöntés, melyet az I. telep feltöltődési időszaka zár le.

IV. BIOSZTRATIGRÁFIAI ÉRTÉKELÉS

A Mollusca fauna biosztratigráfiai értékelése elsősorban a faunaegyüttesek fajainak fajjöltő-vizsgálatán alapult. A felsőnyárádi Feketevölgyben a devonra települő, kezdetben limnikus, csökkentsővízi, később egyre tengeribbé váló, nagy kiterjedésben nyomozható agyagos, aleuritos összlet (Felsőnyárádi Formáció) jellegzetes, a fáciestávolozásokat jól tükröző e g g e n b u r g i jellegű makrofaunát tartalmaz.

A kezdeti csökkentsővízi agyagos homokos összlet Mollusca faunája (*Mytilus galloprovincialis*, *Theodoxus pictus*, *Pirenella plicata*, *Typhonotonus margaritaceus* stb.) igen közel áll az oligocénvégi regressziós szakasz hasonló fáciestű mytilusos—pirenellás—tympanotonusos együtteseihez. Az eggenburgiban fellépő fiatalabb fajok nagyobb száma, valamint a jellegzetes egri korú fajok hiánya (*Amphibola crassatina*, *Turritella beyrichii*, *Theodoxus bukensis*, *Polymesoda convexa* stb. — BÁLDI T.—RADÓCZ Gy. 1971) alapján a képződményt az eggenburgiba soroltuk.

A csökkentsővízi rétegekre agyagos, finomhomokos képződmények következnek, melyek tengeri Mollusca faunája (Pitaria—Hinia—Turritella—Cardium—Flabellipecten burdigalensis-es faunaegyüttesek) az eggenburgiba sorolható, hisz a Mollusca fauna fajainak több, mint 60%-a az eggenburgiban fellépő fiatal forma.

Külön meg kell említenünk az Ormosbánya 322. sz. fúrás (137,5—143,2 m) tufás aleuritos agyag, ill. az Ormosbánya 323. sz. fúrás (141,8—149,8 m) homokos aleurit rétegeinek faunáját, melyre a *Flabellipecten burdigalensis*, *Propeamussium miopliocenicum* a jellemző. Úgy tűnik, ez az eggenburgi legmagasabb tagja ezen a területen. A *Flabellipecten burdigalensis* a Paratethys területén az egriben jelenik meg, de az alsó-miocénben a legelterjedtebb. Az eggenburginál fiatalabb képződményekből nem ismert. Az itt található Flabellipecten és Propeamussium fajokon kívül egyéb Pecten töredékek (egyenlőre *Chlamys* sp.) is előkerültek, ezeknek részletes és teljes feldolgozása azonban a jövő feladata.

A Borsodi-medence széntelepes összletét feküdőképződményei, települési viszonyai, valamint a nógrádi barnakőszéntelepes rétegekkel való párhuzamosítás alapján az utóbbi 30 évben a helvétibe sorolták. A későbbiekben a Paratethysre felállított regionális emeletrendszer kialakítása után, ill. a Paratethys Munkabizottság 1975-ös határozata értelmében — mely az „alsó riolittufa” helyét az ottangyi bázisán jelölte ki — a széntelepes összlet az o t t n a n g i b a került. A makrofauna kor szempontjából történő kiértékelése érdekében elkészítettük (19 fúrás alapján) a formáció borsodi taxonokra vonatkoztatott összesített fajjöltő-diagramját (BÁLDI 1976-os kronogram után) (11. ábra). A taxonok vertikális elterjedésének adatait (1. táblázat) a korszerűen feldolgozott, biosztratigráfiailag is értékelhető miocén Mollusca faunák adataira támaszkodva állítottuk össze. Az egyes oszlopok a különböző belépési dátumú fajok százalékos eloszlását mutatják az összes fajhoz viszonyítva, míg az oszlopokon belül az eltérő perziszencia értékeiteltérő jelöléssel (ill. 1—7-ig terjedő arab számokkal) jelezük (11. ábra). Könnyen leolvasható, hogy az ottangiban belépő fajok a faunának 40%-át alkotják. Ezen belül csak 15% az ottangira korlátozódó fajok mennyisége (*Cardium sociale*, *Theodoxus cyrtocelis*, *Pirenella borsodensis*, *Unio borsodensis*, *Congeria clavaeformis*). Mindennek alapján a Salgótarjáni Barnakőszén Formáció Mollusca faunáját ottangyi korúnak véljük.

Az Újdiósgyőr-Forrás-völgy és Duzsnok területén mélyített fúrások makrofauna vizsgálata során a telepes összlet fedőjében jelentkező, elkülönülő üledékkégyeket mutató „slír” képződmény Mollusca faunájának eddigi vizsgálata kárpáti kör valószínűsít. A kérdést azonban nem tekinthetjük el-döntöttnek, amíg a fedőképződmények Mollusca faunájának feldolgozása le nem zárul.

- AGER V. D. 1963: Principles of Paleoenvironmental Geology. — New York.
- ALFÖLDI L. 1959: Abráziós diszkordancia nyomai a sajóvölgyi barnakőszéntelepek fedőjében. — Földt. Közl. 89: 125.
- BALOGH K. 1964: A Bükkhégység földtani képződményei. — Földt. Int. Évk. 48 (2).
- BALOGH K. (szerk.) 1975: Magyarázó Magyarország 200 000-es földtani térképsorozatához. M-34-XXXIII. Mis-kolek. — Földt. Int. kiadv.
- BALUK W.—RADWANSKI A. 1977: Organic communities and facies development of the Korytnica basin. — Acta Geol. Pol. 27 (2): 85—117.
- BÁLDI T. 1973a: Jelentés a tardonai és tapolesányi fúrások makrofauna vizsgálatáról. — Földt. Int. Adattár, kézirat.
- BÁLDI T. 1973b: Mollusc fauna of the Hungarian Upper Oligocene (Egerian). — Akad. Kiadó, Budapest.
- BÁLDI T. 1976: A Dunántúli-középhegység és É-Magyarország oligocénjének korrelációja. — Földt. Közl. 106: 407—424.
- BÁLDI T. 1979: A történeti földtan alapjai. — Tankönyvkiadó, Budapest.
- BÁLDI T. 1983: Magyarországi oligocén és alsómiocén formációk. — Akad. Kiadó, Budapest.
- BÁLDI T.—RÁDÓCZ Gy. 1965: Egri jellegű felsőoligocén és alsómiocén medencefácies Borsodban. — Földt. Közl. 95: 306—312.
- BÁLDI T.—RÁDÓCZ Gy. 1971: Die Stratigraphie der Egerien- und Eggenburgien Schichten zwischen Bretka und Eger. — Földt. Közl. 101: 130—159.
- BEER BISTRICKY E. 1956: Die miozänen Buccinidae und Nassariidae des Wiener Beckens und Niederösterreichs. — Mitteil. Geol. Ges. 49: 41—84. Wien.
- BERRY S. S. 1956: A tidal flat of the Vermilion Sea. — Journ. Conch. 24: 81—84.
- BOEKSHOUTEN G. J. 1966: Shell borings of sessile epibiontic organisms as paleoecologic guides (with examples from Dutch coast). — Palaeogeogr., Palaeoclimat., Palaeoecol. 2: 333—379. Amsterdam.
- BOESCH F. D.—WASS L. M.—VINSTEIN W. R. 1976: The dynamics of estuarine benthic communities. — In WILEY M. (ed.): Estuarine Processes 1: 177—197.
- BOHNNÉ HAVAS M. 1983: Miocén bentosz Molluszka asszociációk a Kelet-Borsodi medencében. — Földt. Int. Adattár, kézirat.
- BOHNNÉ HAVAS M. 1985: Reconstruction of paleoenvironment of a Miocene area in Hungary based on molluscs. — Proc. Eight European Malac. Congr. Budapest.
- BOUCHET P. 1977: Distribution des mollusques dans les mangroves du Sénégal. — Malacologia, 16 (1): 61—67. Milan.
- BUCHANAN J. B. 1958: The bottom-fauna communities across the Continental Shelf of Accra, Ghana (Gold Coast). — Proc. Zool. Soc. 130: 1—56. London.
- CASPERS H. 1957: Black Sea and Sea of Azov. — In Treatise on marine ecology and paleoecology. Geol. Soc. Amer. Mem. 67 (1): 801—890.
- CICHA J.—SENEŠ J.—TEJKAL J. 1971: Die Karpatische Serie und ihr Stratotypus (M_3 Karpatien). — Chronostr. u. Neostrat. VEDA Slow. Akad. Wiss. Bratislava.
- COOMANS E. H. 1969: Biological aspects of mangrove molluscs in the West Indies. — Malacologia 9 (1): 79—84.
- COSSMANN M.—PEYROT A. 1909—1934: Conchologie néogénique de l'Aquitaine. — Actes Soc. Linn. 63—70, 73—75, 77—79, 84. Bordeaux.
- CTYROKY P. 1968: The correlation of Rzehakia (Oncophora) Series in Eurasia. — Palaeogeogr., Palaeoclimat., Palaeoecol. 4: 257—270. Amsterdam.
- CTYROKY P. 1972: Die Molluskenfauna der Rzehakia (Oncophora) Schichten Mährens. — Ann. Nat. Hist. Mus. 76: 41—141. Wien.
- Cs. MEZNERICS I. 1951: Salgótarján vidéki slír és pectenes homokkő faunája. — Földt. Közl. 81: 303—349.
- Cs. MEZNERICS I. 1953: Salgótarjáni kőszénfekvő rétegek faunája. — Földt. Közl. 83: 35—56.
- Cs. MEZNERICS I. 1959: Az egercsehi—ózdi kőszénfekvő burdigalai faunája. — Földt. Közl. 89 (4): 413—424.
- Cs. MEZNERICS I. 1960: Pectinides du Néogène de la Hongrie et leur importance biostratigraphique. — Mém. Soc. Géol. Fr. 39 (92): 1—56. Paris.
- Cs. MEZNERICS I. 1967: Az ipolytarnóci burdigalai fauna. — Földt. Közl. 97: 177—185.

- Császár G.—Haas J.—Halmai J.—Hámor G.—Korpás L. 1982: A közép és fiatal alpi tektonikai fázisok szerepe Magyarország földtani fejlődésben. — Földt. Int. Évi Jel. 1980-ról: 509—516.
- Daley B. 1972: Macroinvertebrate assemblages from the Bembridge marls (Oligocene) of the Isle of Wight, England, and their environmental significance. — Palaeogeogr., Palaeoclimat., Palaeoecol. 11 (1): 11—32. Amsterdam.
- Davitashvili L. Sh.—Merklin R. L. 1966: Spravochnik po ekologii morskikh dvustvorok. — Izd. Nauka, Moscow.
- Deák J. 1982: Kutatási zárójelentés a Dubicsány-Sajóvölgy barnakőszén-területről. — KFH Adattár, kézirat.
- Dodd J. R.—Stanton R. J. 1981: Paleoecology, concepts and applications. — New York.
- Dollfus G. F.—Dautzenberg Ph. 1902—1920: Conchyliologie du Miocène moyen du Bassin de la Loire. — Mém. Soc. Géol. Fr. 27: 1—378. Paris.
- Dörjes J. 1971: Der Golf von Gaeta (Tyrrhenisches Meer). — Senckenbg. Marit. 3: 203—246.
- Ekman S. 1953: Zoogeographie of the Sea. — London.
- Farrow G. 1975: On the ecology and sedimentation of the Cardium Shellsands and transgressive shell banks of Traigh Mhor, Island of Barra Outer Hebrides. — Roy. Soc. 69 (9): 204—227. Edinburgh.
- Franz D. 1976: Benthic molluscan assemblages in relation to sediment gradients in northeastern Long Island Sound, Connecticut. — Malacologia, 15: 377—379.
- Fretter V.—Graham A. 1962: British prosobranch molluses. Their functional anatomy and ecology. — Roy. Soc. London.
- Frey W. R. Ed. 1975: The study of trace fossils. — New York.
- Fürsich F. T. 1977: Corallian (Upper Jurassic) marine benthic associations from England and Normandy. — Paleont. 5 (20) Part 2: 337—387. London.
- Fürsich F. T. 1978: The influence of faunal condensation and mixing and the preservation of fossil benthic communities. — Lethaia, 11: 243—250. Oslo.
- Gekker R. F. 1957: Vvedenie v paleoekologiyu. — Moscow.
- Gitton J. L. 1978: Apport de la paleoecologie à la reconstruction et à l'évolution d'un bassin sedimentaire. — These Docteur Diss. Univ. Paris Sud, Centre d'Orsay. Paris.
- Hámor G. 1970: A Kisterenye—Gyulakeszi (Nógrád m.) ottangi fácies sztratotípusa. — Földt. Int. Évi Jel. 1969-ról: 199—212.
- Hámor G. 1983: The quantitativ methods of palaeogeographical reconstruction. — Special Papers 2: 70. Földt. Int. kiadv.
- Hámor G.—Halmai J.—Forgó L. 1967: É-Magyarország miocén ősföldrajzi térképe. — Földt. Int. Adattár, kézirat.
- Hedgpeth J. W. 1957: Estuaries and lagoons. II. Biological aspects. — In Treatise on marine ecology and paleoecology. Geol. Soc. Am. Mem. 67: 693—729.
- Hilber V. 1879: Neue Conchylien aus dem mittelsteirischen Mediterranschichten. — Sitzungsber. Akad. Wiss. 1. Wien.
- Hoernes R. 1875: Die Fauna des Schliers von Ottnang. — Jb. Geol. Reichsanst. 25: 333—400. Wien.
- Hoffman A. 1978: System concepts and the evolution of benthic communities. — Lethaia, 11: 179—183.
- Hoffman A. 1979: A consideration upon macrobenthic assemblages of the Korytnica Clays (Middle Miocene Holy Cross Mountain). — Acta Geol. Polon. 29 (3): 345—352.
- Hoffman A. 1980: System-analytic conceptual framework for community paleoecology. — Roczn. Pols. Tow. Geol. 50 (1): 161—172.
- Hoffman A.—Szubzda B. 1976: Paleoecology of some molluscan assemblages from the Badenian (Miocene) marine sandy facies of Poland. — Palaeogeogr., Palaeoclimat., Palaeoecol. 20: 307—332. Amsterdam.
- Horváth M.—Nagy Marosi A. 1979: A rzebakias rétegek és a Garábi slír koráról nannoplankton és foraminifera vizsgálatok alapján. — Földt. Közl.: 211—229.
- Hölzl O. 1959: Die Mollusken-Fauna des oberbayerischen Burdigals. — Geol. Bav. 38. München.
- Hörnig M. 1856, 1870: Die fossilen Mollusken des Tertiärbeckens von Wien. — Abh. Geol. Reichsanst. I. Univallen, II. Bivalven. Wien.
- Hudson O. 1963: The recognition of salinity controlled mollusc assemblages in the Great Estuarin Series of the Inner Hebrides. — Paleontology 6: 318—326.
- Il'ina L. B.—Nevezskaya L. A.—Paramonova N. P. 1976: Regularities of mollusc development in the Neogene semimarine and brackishwater basins of Eurasia (Late Miocene—Early Pliocene). — Acad. Sc. USSR, Transact. Palaeont. Inst. 155. Moscow.
- Johnson R. G. 1960: Models and methods for analysis of the mode of formation of fossil assemblages. — Bull. Geol. Soc. Amer. 71: 1075—1086.
- Johnson R. G. 1962: Mode of formation of marine fossil assemblages of the Pleistocene Millerton Formation of California. — Bull. Geol. Soc. Amer. 73: 113—130.
- Juhász A. 1961: A borsodi szénmedence keleti részének földtani ismertetése. — Bány. Koh. Lapok 91 (5): 619—634.
- Juhász A. 1965a: A kelet-borsodi barnakőszénmedence vízföldtani viszonyai. — Bány. Koh. Lapok, 98 (10): 677—690.
- Juhász A. 1965b: A kelet-borsodi helvéti barnakőszéntelepek szénközettani vizsgálata. — Földt. Közl. 95 (1): 71—78.
- Juhász A. 1966: A borsodi medence miocén korú szénélőfordulásainak bányászati vonatkozásairól. — Bány. Koh. Lapok, 99 (9): 586—593.
- Juhász A. 1970: A borsodi medence keleti részén a helvéti barnakőszéntelepek szénközettani, településtani vizsgálata. — Földt. Közl. 100 (3): 209—306.

- JUX VON U. 1966: Torfe des rheinischen Tertiärs im Vergleich mit heutigen Bildungen an der amerikanischen Ostküste. — Z. Deutsch. Geol. Ges. 118: 69—101. Hannover.
- KAUFFMANN E. G.—FÜRSICH F. 1983: Ecological zonation of Cretaceous brackish water facies. — First Intern. Congr. on Paleocol. Abstr.
- KAUTSKY F. 1936: Die Veneriden und Petricoliden des niederösterreichischen Miozäns. — Bohrtechn. Z. 54: 157—160. Wien.
- KECSKEMÉTINÉ KÖRMENDY A. 1959: Jelentés a Felsőnyárád 201., 213. és 214. sz. fúrások alsó riolittufa alatti miocén rétegek makropaleontológiai vizsgálatáról. — Földt. Int. Adattár, kézirat.
- KOCHANSKY-DEVÍD V.—SLISKOVIC T. 1978: Miocene Kongerije Hrvatske Bosne i. Hercegovine. — Paleont. Jugosl. 19: 1—98.
- KOJUMDGIEVA E.—STACHIMIROV B. 1960: Les fossiles de Bulgaria. VII. Tortonien. — Acad. Sci. Bulg. Sofia.
- KOJUMDGIEVA E. 1976a: Paléoécologie des communautés des Mollusques du Miocène en Bulgarie de Nord-Ouest. I. Méthod et généralités. — Geol. Balc. 6 (1): 31—52.
- KOJUMDGIEVA E. 1976b: Paléoécologie des communautés des Mollusques de Miocène en Bulgarie de Nord-Ouest. II. Communautés des Mollusques de Badenien (Miocène moyen) en Bulgarie de Nord-Ouest. — Geol. Balc. 6 (2): 63—94.
- KOJUMDGIEVA E. 1976c: Paléoécologie des communautés des Mollusques du Miocène en Bulgarie du Nord-Ouest. III. Communautés des Mollusques du Volhynien (Sarmatien inférieur). — Geol. Balc. 6 (3): 53—68.
- KOJUMDGIEVA E. 1977: Paléoécologie des communautés des Mollusques du Miocène en Bulgarie du Nord-Ouest. V. Certaines particularités des communautés. — Geol. Balc. 7 (1): 81—96.
- KÓKAY J. 1966: A herend-márkói barnakőszénterület földtani és őslénytani vizsgálata. — Geol. Hung. Ser. Pal. 36.
- KÓKAY J. 1972: Az ottangien facies-sztratotípus szelvényei a Várpalotai-medencében. — Földt. Közl. 102: 40—53.
- KOROBKOV I. A. 1954: Spravochnik i metodicheskoe rukovodstvo po tretichnym mollyuskam. — Plastinchatozhabernye, 226. Leningrad.
- KORPÁSNÉ HÓDI M. 1983: A dunántúli-középhegység északi előtere pannóniai Mollusca faunájának paleoökologai és biosztratigráfiai vizsgálata. — Földt. Int. Évk. 66.
- KRAUSS F. 1852: Die Mollusken der Tertiär-Formation von Kirchberg an der Iller. — Jh. Ver. Vaterl. Naturk. Württemberg. 8: 136—157.
- LADD H. S. et al. 1957: Paleoecology. — In Treatise on marine ecology and paleoecology. Mem. Geol. Soc. Amer. 67 (2).
- LANKFORD R. R. 1976: Coastal lagoons of Mexico. — In WILEY M. (ed.): Estuarine Processes. 2: 182—217.
- LARSEN K. 1936: The distribution of the invertebrates in the Dibso Fjord, their biology and their importance as fish food. — Rep. Dan. Biol. Stat. 41: 4—35.
- LATRÁN B. 1981: Tardona—Peres barnakőszén-előfordulás előzetes fazisú összefoglaló jelentése. — KFH Adattár, kézirat.
- LAWRENCE D. R. 1968: Taphonomy and information loss in fossil communities. — Geol. Soc. Amer. Bull. 79: 1315—1330.
- LIBEAU A. 1980: Paläobathymetrie und Ökofaktoren: Flachmeer-Zonierung. — N. Jb. Geol. Paläont. Abh. 160 (2): 173—216.
- NEWELL N. D. 1959: Organism communities and bottom facies, Greet Bahama Bank. — Bull. Amer. Mus. Nat. Hist. 117: 196—225.
- NÉMEDI-VARGA Z. et al. 1982: A duzsnoki barnakőszénterület földtani kutatási jelentése. — KFH Adattár, kézirat.
- NIKITIN V. J. 1957: The Guadant oyster bank. — In Treatise on marine ecology and paleontology. Geol. Soc. Amer. Mem. 67 (1).
- NIKITIN V. N. 1964: Kolichestvennoe raspredelenie donnoy makrofauny v Chernom more. — Trudy Inst. Okean. 69: 285—329.
- PARKER R. H. 1955: Changes in the invertebrate fauna, apparently attributable to salinity changes, in the bays of Central Texas. — Journ. Paleont. 29 (2): 193—211.
- PARKER R. 1956: Macro-invertebrate assemblages as indicators of sedimentary environments in East Mississippi delta region. — Bull. Amer. Assoc. Petr. Geol. 40 (2).
- PARKER R. H. 1959: Macro-invertebrate assemblages of Central Texas coastal bays and Laguna Madre. — Bull. Amer. Assoc. Petr. Geol. 43: 2100—2166.
- PARKER R. 1960: Ecology and distributional patterns of marine macro-invertebrates, northern Gulf of Mexico. — Amer. Assoc. Petr. Geol.: 302—381.
- PARKER R. 1964: Zoogeography and ecology of macro-invertebrates of Gulf of California and continental slope off Western Mexico. — Amer. Assoc. Petr. Geol. Mem. 3: 331—376.
- PEARSE A. S.—GUNTER G. 1957: Salinity. — In Treatise on marine ecology. Geol. Soc. Amer. Mem. 67 (1): 129—158.
- RADÓCZ Gy. 1960: A borsodi barnakőszénkutatás új eredményei. — Földt. Közl. 90: 48—55.
- RADÓCZ Gy. 1964: Földtani vizsgálatok a Feketevölgy-i (É-Borsodi) barnakőszén-területen. — Földt. Int. Évi Jel. 1962-ről: 511—545.
- RADÓCZ Gy. 1966: A Borsodi-medence helvét összletének barnakőszén-prognózisa. — Földt. Int. Évi Jel. 1964-ről: 495—501.
- RADÓCZ Gy. 1973: A borsodi paleogén és alsómiocén rétegtani kérdései. — Földt. Közl. 103: 189—195.
- RADÓCZ Gy. 1974: Zostera—Bryozoa—Spirorbis biocönózis a Borsodi-medencéből. — Földt. Int. Évi Jel. 1972-ről: 56—63.
- REINECKE H. S.—SINGH I. B. 1973: Depositional sedimentary environments. — Springer, New York.

- REMANE A. 1934: Die Brackwasserfauna. — Verh. Deutsch. Zool. Ges. Zool. Ann. 7.
- REMANE A.—SCHLIEPER C. 1958: Die Biologie des Brackwassers. — In THIENEMAN A.: Die Binnengewässer. 22: 1—348.
- RZEHAK A. 1893: Die Fauna der Oncophora Schichten Mährens. — Verh. Naturf. Ver. Brünn, 31: 142—192.
- SCHLICKUM W. R. 1962: Die Gattung *Linnopappia* n. gen. — Arch. Moll. 91 (1/3): 109—115.
- SCHLICKUM W. R. 1963: Die Molluskenfauna der Süssbrackwassermolasse von Oben- und Unterkirchenberg. — Arch. Moll. 92 (1/2): 1—10.
- SCHLICKUM W. R. 1964a: Die Molluskenfauna der Süssbrackwassermolasse Niederbayerns. — Arch. Moll. 93 (1): 1—70.
- SCHLICKUM W. R. 1964b: Zur Molluskenfaune der Süssbrackwassermolasse Niederbayerns. — Arch. Moll. 93 (2/3): 163—164.
- SCHLICKUM W. R. 1964c: Die Molluskenfauna der Kirchberger Schichten des Jungholzes bei Leipheim/Donau. — Arch. Moll. 95 (5/6): 321—335.
- SCHLICKUM W. R. 1967: Zur Molluskenfauna der Süssbrackwassermolasse Niederbayerns. 2. — Arch. Moll. 96 (3/6): 175—179.
- SCHLICKUM W. R.—CTYROKY P. 1965: Zur Systematik der miozänen Brackwassercardiiden. — Arch. Moll. 94 (3/4): 105—110.
- SCHRÉTER Z. 1929: A borsod—hevesi szén- és lignitterületek bányaföldtani leírása. — Földt. Int. Alk. Kiadv.
- SCHRÉTER Z. 1952: Újabb földtani vizsgálatok a sajóvölgyi barnakőszénmedencében. — Földt. Int. Évi Jel. 1949 - ról: 115—131.
- SCHRÉTER Z. 1959: Földtani és őslénytani vizsgálatok a Jákfalva 17. sz. fúrás mintaanyagában. — Földt. Int. Adattár, kézirat.
- SCOTT R. W. 1974: Bay and shoreface benthic communities in the lower Cretaceous. — Lethaia, 7: 315—330.
- SCOTT R. W. 1978: Approaches to trophic analyses of paleocommunities. — Lethaia, 11: 1—14.
- SCOTT R. W.—WEST R. R. 1976: Structure and classification of paleocommunities. — Dowden, Hutchinson and Ross, Pennsylvania.
- SENEŠ J. 1960: Beitrag zur Frage der fossilen brackischen Biotope. — Geol. Práce 19: 27—58.
- SENEŠ J. 1964: Grundlegende Analysen für die biofazielle Bewertung fossiler brackischen Biotope. — Biol. Práce 10 (2): 1—74.
- SENEŠ J. 1973: Facialne analyzy Adriatického selfu z aspectu potrieb geologie. — Geol. Ust. Slov. Akad.
- SHEPARD P. P. 1958: Sedimentation of the Northwestern Gulf of Mexico. — Geol. Rundschau 47: 150—167.
- SCHIER D. E. 1969: Vermiid reefs and coastal development in the Ten Thousand Islands, SW Florida. — Geol. Soc. Am. Bull. 80: 485—508.
- SIEBER R. 1956: Die mittelmiocänen Carditidae und Cardiidae des Wiener Beckens. — Mitteil. Geol. Ges. 47: 183—234. Wien.
- SIEBER R. 1960: Die miocäne Turritellidae und Mathildae Oesterreichs. — Mitteil. Geol. Ges. 51: 229—280. Wien.
- SORGENFREI TH. 1958: Molluscan assemblages from the marine Middle Miocene of South Jutland and their environments. — Danm. Geol. Unders. 2 (79): 1—355.
- STANTON R. J.—DODD J. R. 1976: The application of trophic structure of fossil communities in paleoenvironmental reconstructions. — Lethaia, 9: 327—342.
- STRAATEN VAN L. M. J. V. 1970: Holocene and Late Pleistocene sedimentation in the Adriatic Sea. — Geol. Rundschau 60: 106—131.
- STRAUSZ L. 1928: Geologische Fazieskunde. — Földt. Int. Évk. 28: 75—272.
- TEICHMÜLLER M. VON 1958: Reconstructionen verschiedener Moortypen des Hauptflözes der niederrheinischen Braunkohle. — Fortsch. Geol. von Rheinland und Westfalen. 1—2: 599—612.
- THIELE J. 1931—1935: Handbuch der systematischen Weichtierkunde. I., II. — Jena.
- THORSON G. 1957: Bottom communities (sublitoral or shallow shelf). — In Treatise on Marine Ecology and Palaeoecology. Geol. Soc. Amer. Mem. 67: 461—534.
- TRWIN N. H.—WELSH W. 1976: Formation and composition of a graded estuarine shell bed. — Palaeogeogr., Palaeoclimat., Palaeoecol. 19: 219—230. Amsterdam.
- TURPAEVA E. P. 1954: Tipy morskikh donnykh biotsenozov i savisimost' ikh raspredeleleniya ot abioticheskikh faktorov sredy. — Trudy Inst. Okean. 11: 36—55.
- VADÁSZ E. 1929: A borsodi szénmedence bányaföldtani viszonyai. — Földt. Int. Alk. Kiadv.: 394—459.
- WALKER K. R.—BAMBACH R. K. 1974: Feeding by benthic invertebrates. Classification and terminology for paleoecological analysis. — Lethaia, 7: 67—78.
- WARME J. E. 1971: Paleoecological aspects of a modern coastal lagoon. — Univ. Calif. Publ. in Geol. Sci. Univ. 87: 1—139.
- WENZ W. 1938—1944: Gastropoda. — In SCHINDEWOLF: Handbuch der Paleozoologie. Berlin.
- YONGE C. M. 1946a: On the habits and adaptations of *Alloidis* (*Corbula*) *gibba*. — Journ. Mar. Biol. Ass. U. K. 26: 358—376.
- YONGE C. M. 1946b: On the habits of *Turritella communis* Risso. — Journ. Mar. Biol. Ass. U. K. 26: 377—380.
- YONGE C. M. 1949: On the structure and adaptations of the Tellinacea, depositfeeding Eulamellibranchiata. — Phil. Trans. Roy. Soc. Ser. 234: 29—76. London.
- ZENKEVICH L. 1963: Biology of the seas of the U.S.S.R. — London.
- ZITTEL K. 1881: Handbuch der Paleontologie. II. — München und Leipzig.

PLATES
FÉNYKÉPTÁBLÁK

Plate I — I. tábla*Mytilus haidingeri* HOERN.

1. Tardona 72. 279.5 m 1.7×
2. Diósgyőr 366. 273.9—279.3 m 5.6×
3. Tardona 69. 399.5 m 2.1×
4. Sajógalgóc 22. 117.7 m 2.5×
5. Sajógalgóc 22. 117.7 m 1×

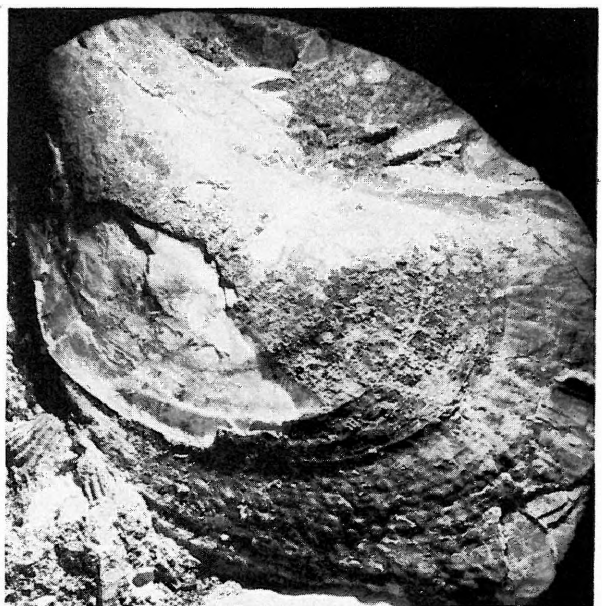
Photos on Plates I—XV by Ms. M. PELLÉRDY and Ms. I. LAKY



1



2



3



4



5

Plate II — II. tábla

Crassostrea bed (with Crassostrea cross-sections)

1—2. Sajógalgóc 22. 116.90—117.00 m 1.1×

3—4. Sajógalgóc 22. 117.03—117.12 m 1.1×



1



2



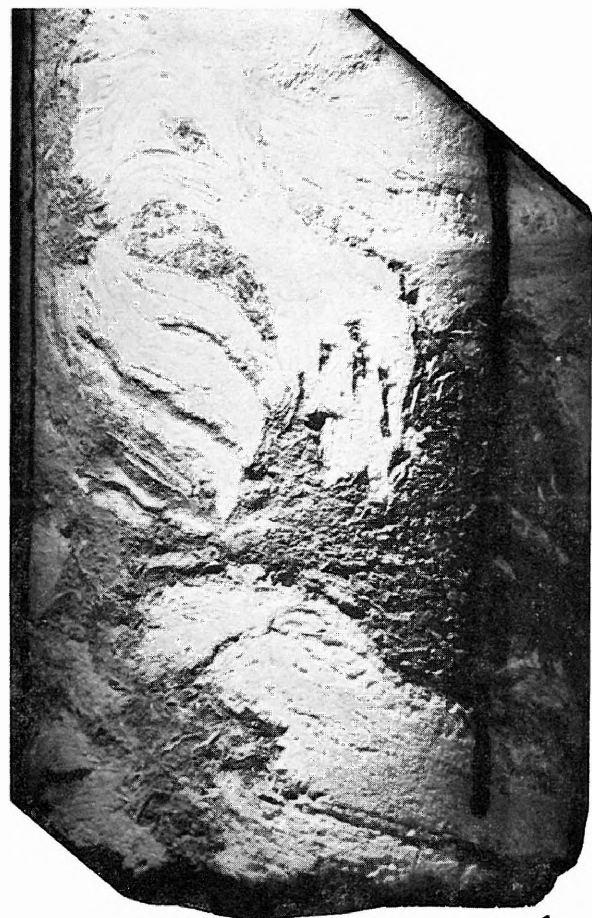
3



4

Plate III — III. táblaCross-sections of *Crassostrea* in drill core

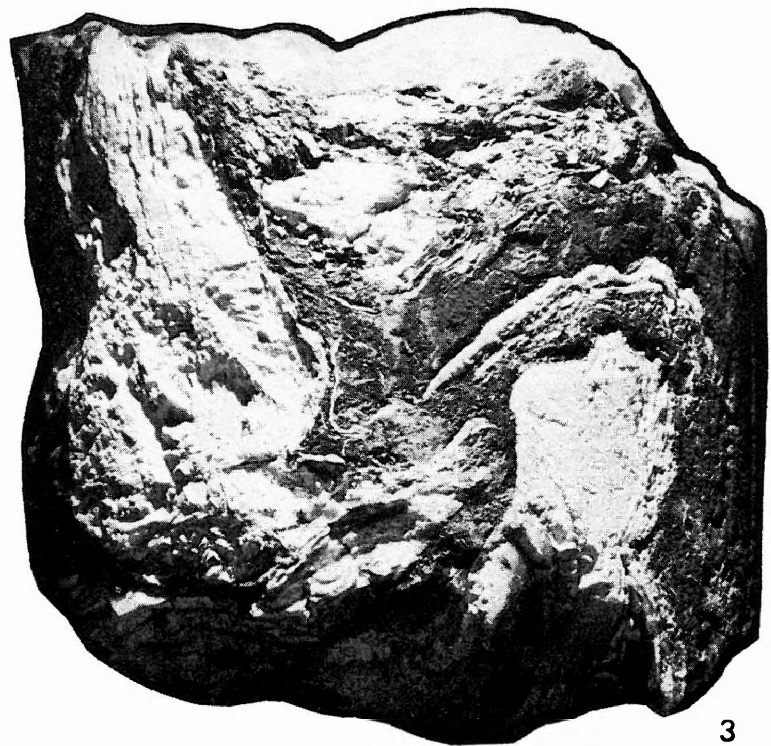
- 1—2. Diósgyőr 367. 393.6 m 1.6×
3. Diósgyőr 367. 326.5 m 2×



1



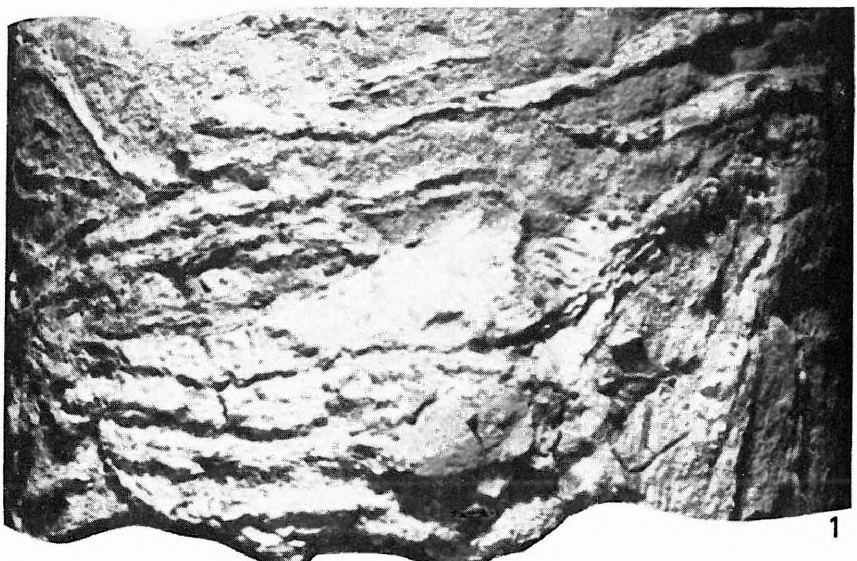
2



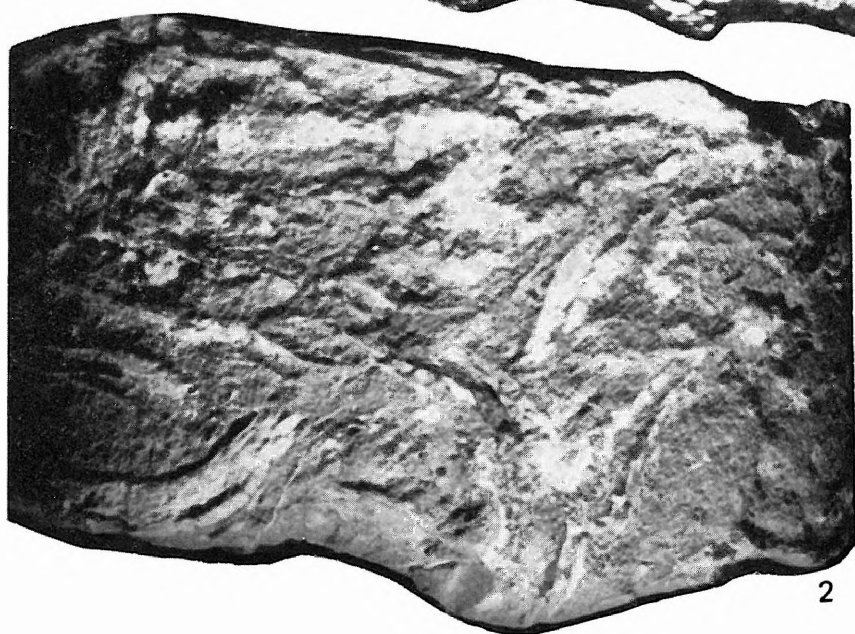
3

Plate IV — IV. tábla

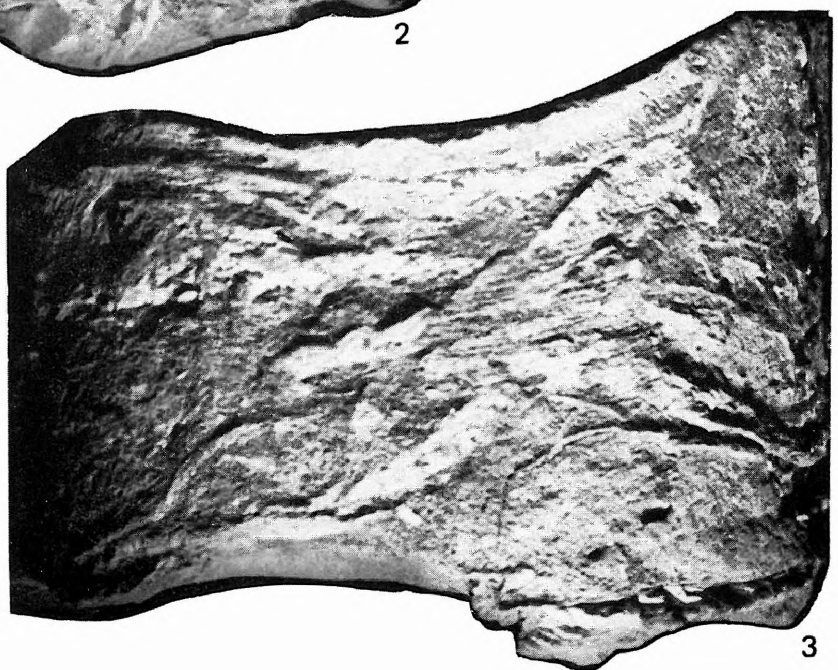
1—3. Cross-sections of *Crassostrea* shells washed together, in drill core
Diósgyőr 366. 165.5 m 1.8×



1



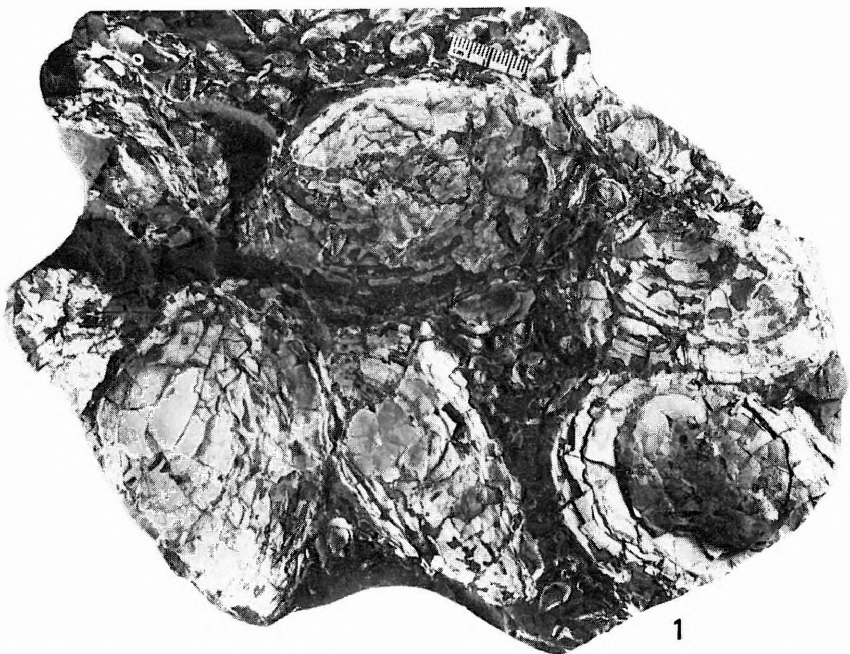
2



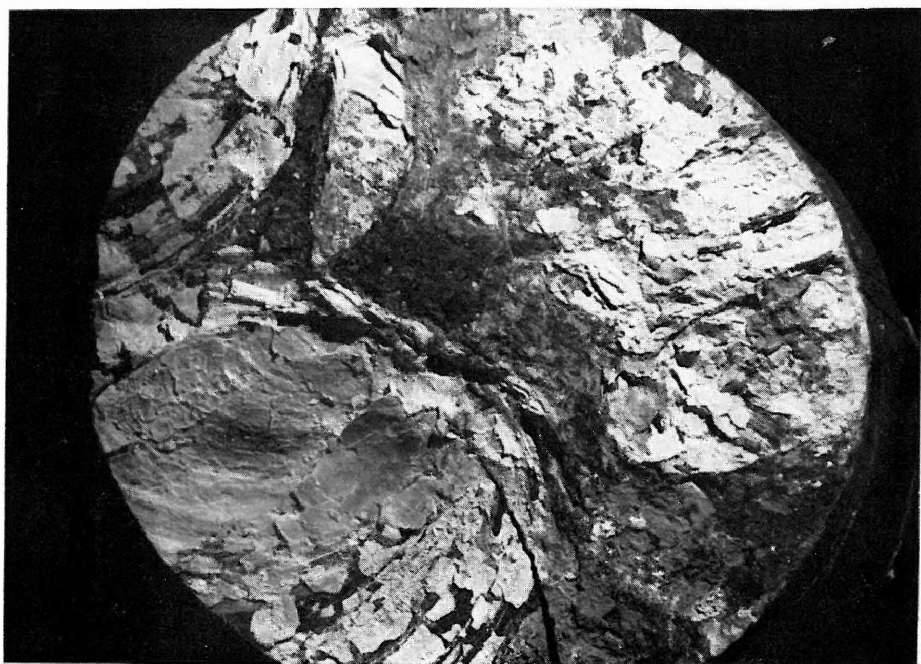
3

Plate V — V. tábla

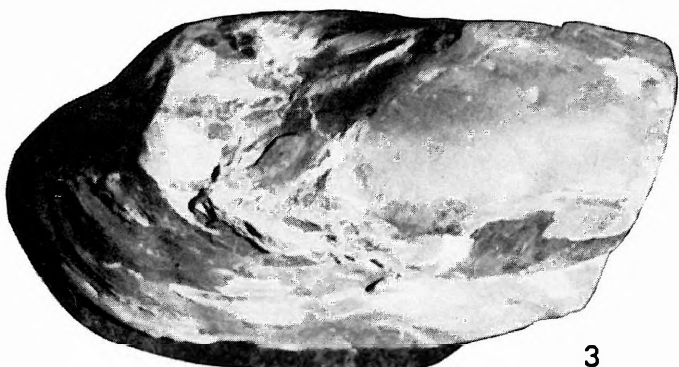
1. *Unio borsodensis* SCHRÉTER
Parasznya, Adriányi telep 0.5×
2. *Unio borsodensis* SCHRÉTER
Tardona 72. 278.5 m 1.7×
3. *Lutraria oblonga* (CHEMN.)
Diósgyőr 366. 188.5 m 2.2×



1



2



3

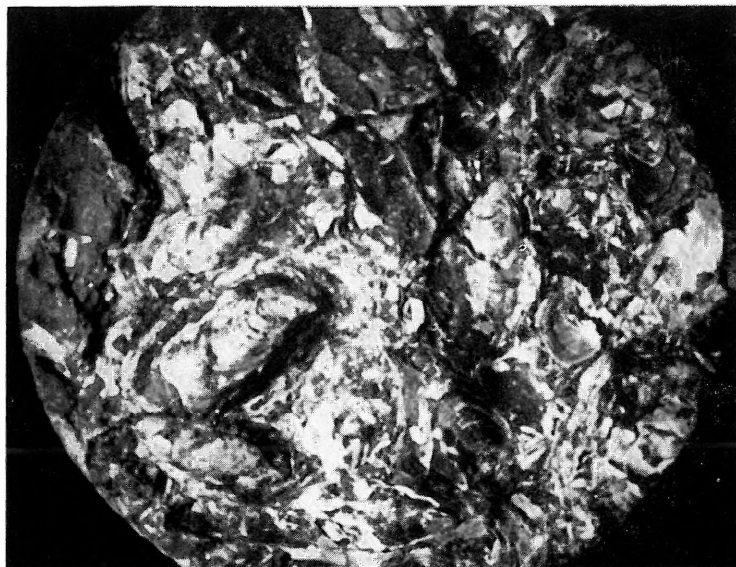
Plate VI — VI. tábla

Unio borsodensis SCHRÉTER, holotype, Hung. Geol. Inst. Museum, M. 109
Disznóshorvát



Plate VII — VII. tábla

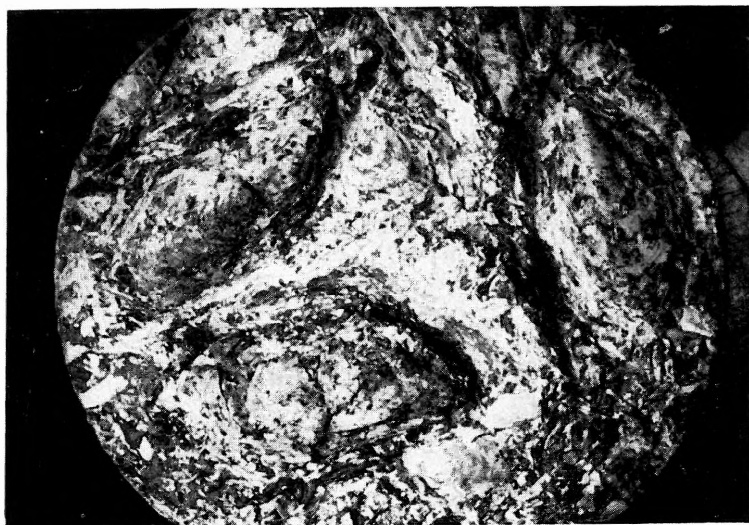
1. *Congeria ex gr. clavaeformis* KRAUSS
Jákfalva 55. 68.0—71.5 m 1.5×
2. *Congeria ex gr. clavaeformis* KRAUSS
Jákfalva 55. 65.1 m 1.3×
3. *Congeria ex gr. clavaeformis* KRAUSS
Jákfalva 55. 68.0—71.0 m 1.3×
4. *Congeria amygdaloides* DUNK.
Sajógalgóc 22. 121.5 m 1.3×



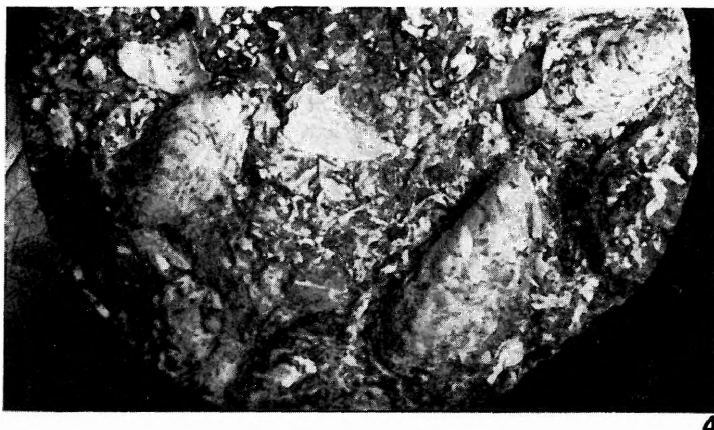
1



2



3



4

Plate VIII — VIII. tábla

1. *Congeria* sp. Nr. 1
Diósgyőr 366. 169.6 m 6×
2. *Congeria* sp. Nr. 1.
Diósgyőr 366. 169.6 m 1.8×
3. *Congeria* sp. Nr. 1.
Diósgyőr 366. 162.8 m 6×
4. *Congeria* sp. Nr. 1.
Dövény 3. 212.5 m 3.5×
5. *Congeria* ex gr. *clavaeformis* KRAUSS
Diósgyőr 366. 340.0 m 1.5×
6. *Congeria* ex gr. *clavaeformis* KRAUSS
Diósgyőr 366. 340.0 m 3.9×
7. *Congeria* ex gr. *clavaeformis* KRAUSS
Dövény 3. 212.5 m 3.5×
8. *Congeria amygdalooides* DUNK.
Diósgyőr 366. 340.0 m 3.9×
9. *Congeria* ex gr. *clavaeformis* KRAUSS
Tardona 69. 446.0 m 5.2×
10. *Congeria* sp.
Diósgyőr 366. 263.2 m 2×



1



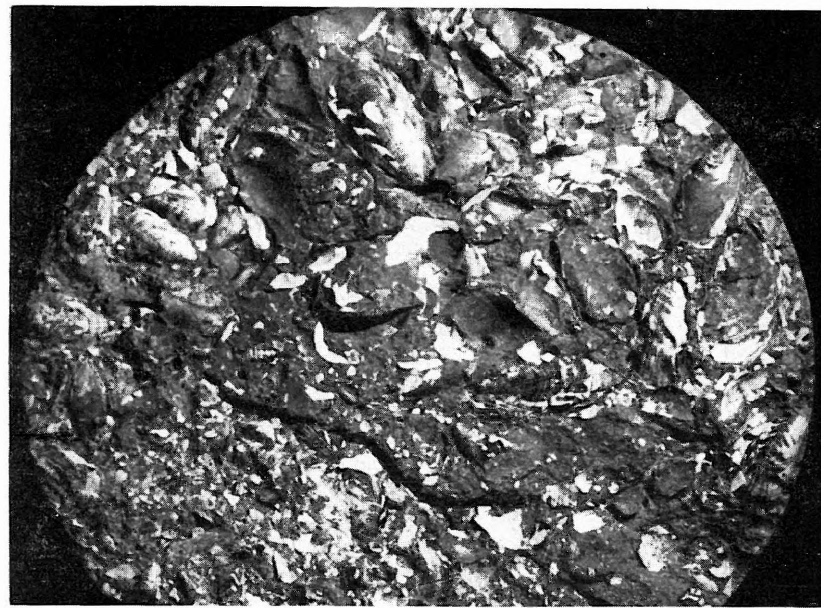
2



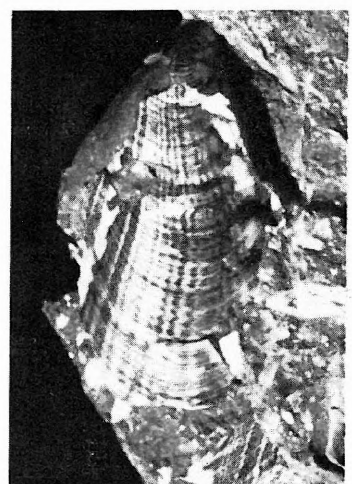
3



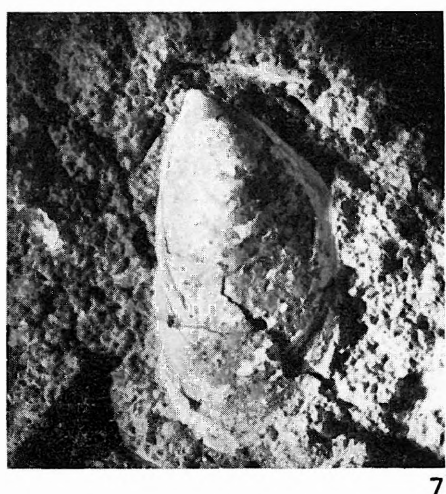
4



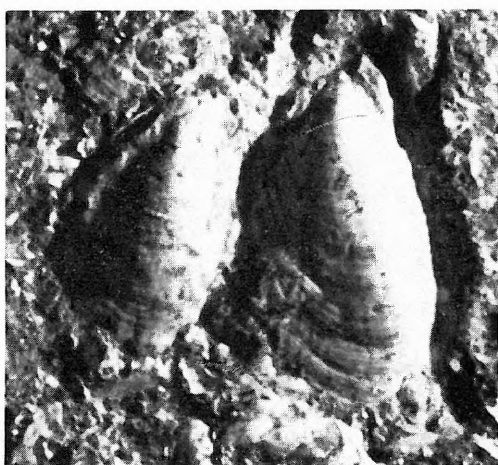
5



6



7



8



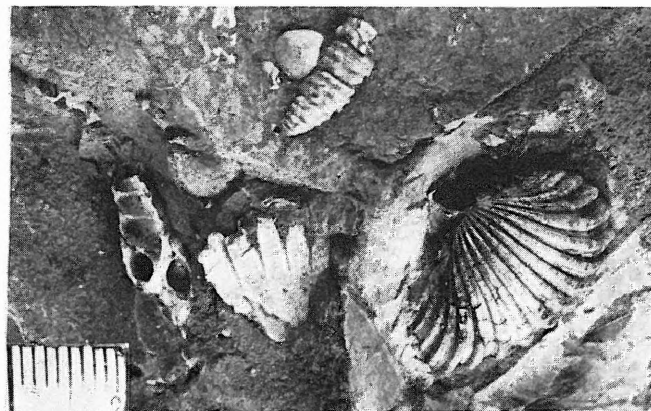
9



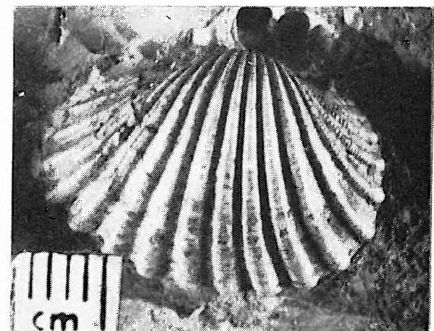
10

Plate IX — IX. tábla

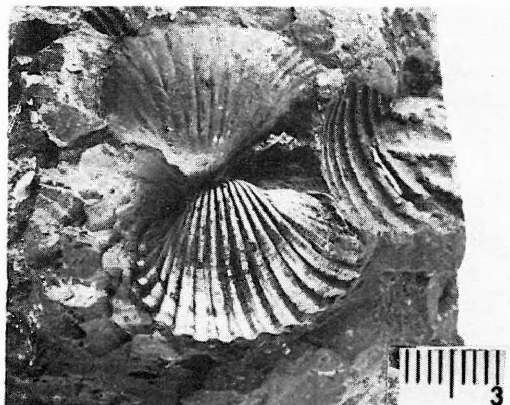
1. *Cardium sociale* KRAUSS
Pereces
2. *Cardium sociale* KRAUSS
Pereces
3. *Cardium sociale* KRAUSS
Parasznya
- 4—5. *Cardium edule arcella* DUJ.
Sajószentpéter 120. 187.7 m 1×
6. *Cardium sociale* KRAUSS
Pereces 1.5×



1



2



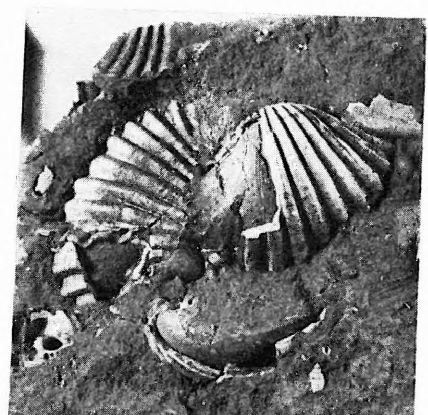
3



4



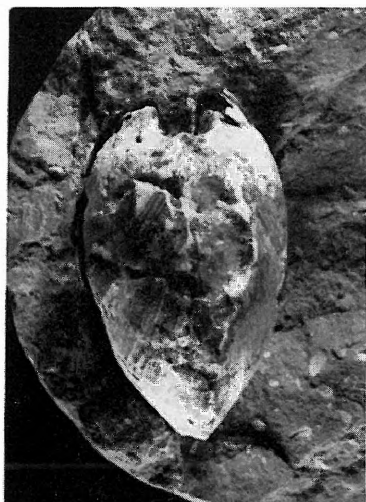
5



6

Plate X — X. tábla

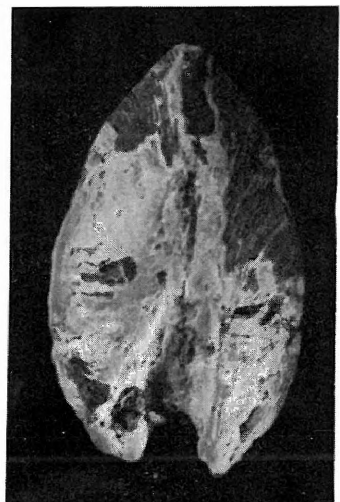
1. *Pitaria islandicoides grundensis* KAUTSKY
Sajószentpéter 120. 188.0 m 1×
- 2—3. *Pitaria islandicoides grundensis* KAUTSKY
Sajószentpéter 120. 188.0 m 1.2×
4. *Pitaria islandicoides elongata* (SCHAFF.)
Jákfalva 55. 69.4 m 1.3×
5. *Pitaria islandicoides elongata* (SCHAFF.)
Sajókaza, Radvánszky bánya, 1×
6. *Pitaria* sp.
Sajószentpéter 121. 211.0—212.0 m 1×
7. *Pitaria islandicoides elongata* (SCHAFF.)
Diósgyőr 366. 323.0 m 2×
- 8—9. *Pitaria islandicoides elongata* (SCHAFF.)
Diósgyőr 366. 239.7 m 5.3×
10. *Pitaria aff. chione* L.
Diósgyőr 366. 281.4—282.9 m 1.6×



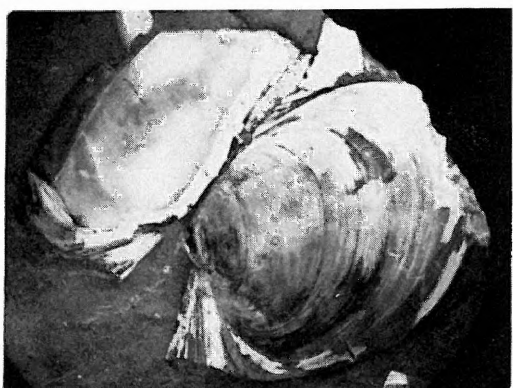
1



2



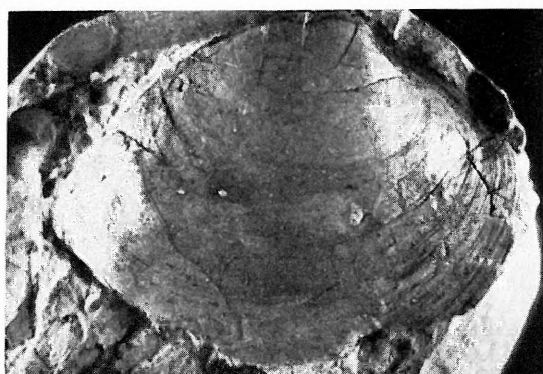
3



4



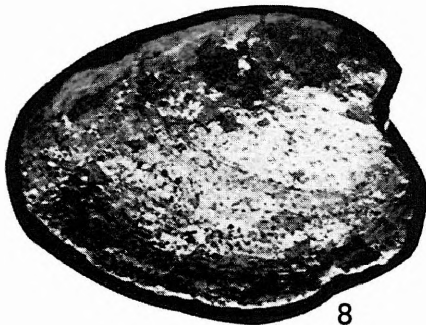
5



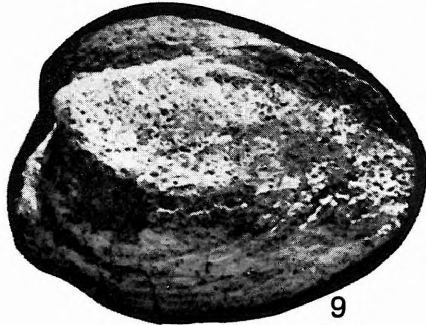
6



7



8



9



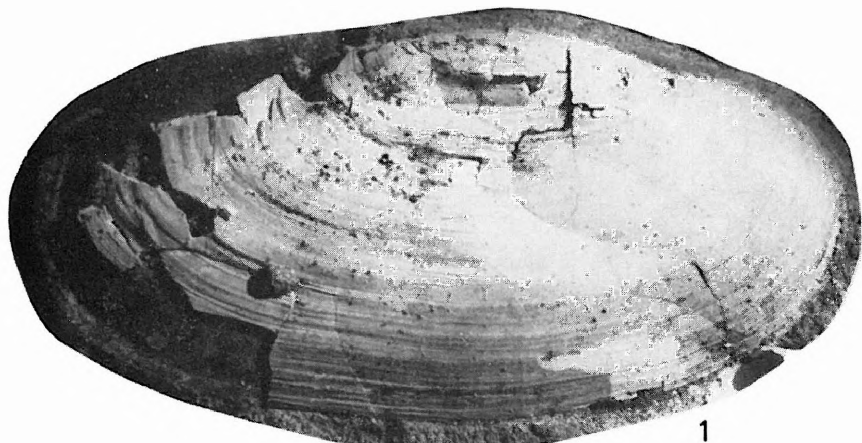
10

Plate XI — XI. tábla*Sanguinolaria labordei* BAST.

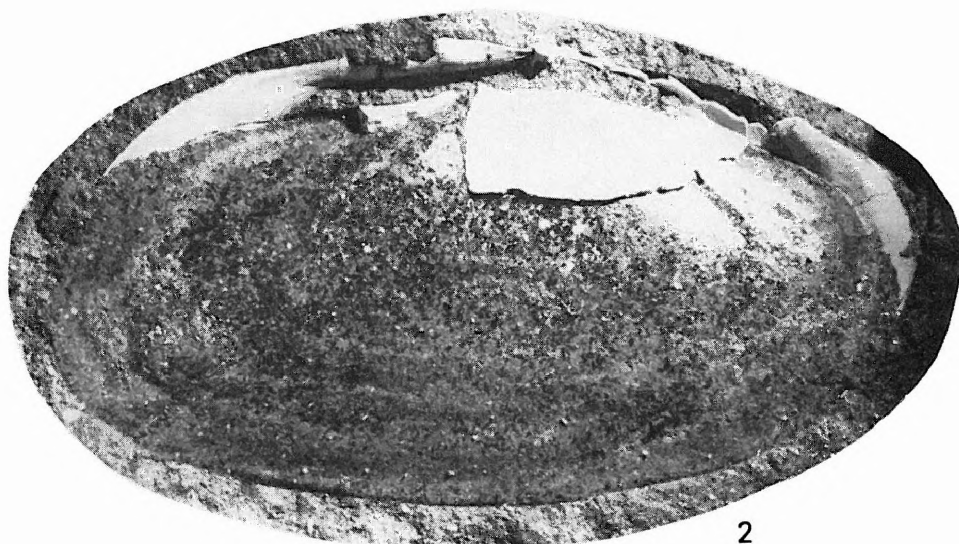
1—2. Tardona 72. 208.5 m 1.7×

3. Diósgyőr 366. 264.5 m 1.6×

4—5. Hanging wall of seam IIIa, Sajószentpéter



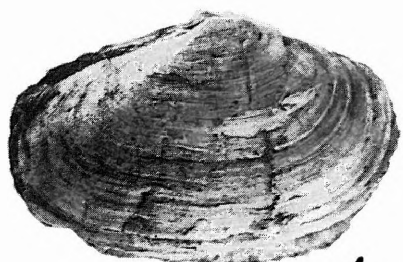
1



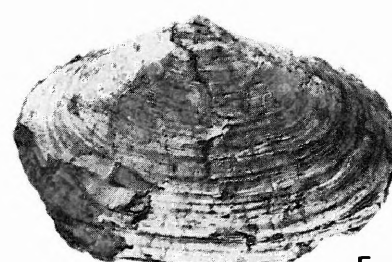
2



3



4



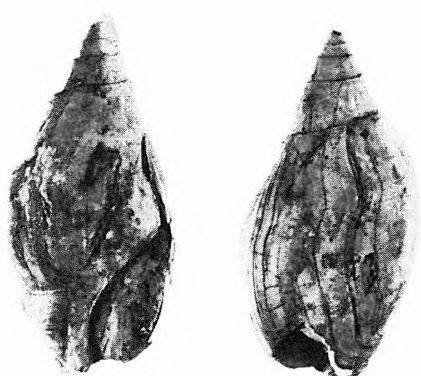
5

Plate XII — XII. tábla*Melanopsis impressa monregalensis* SACCO

1—2. Sajószentpéter

3. Diósgyőr 366. 399.0 m 1.6 ×

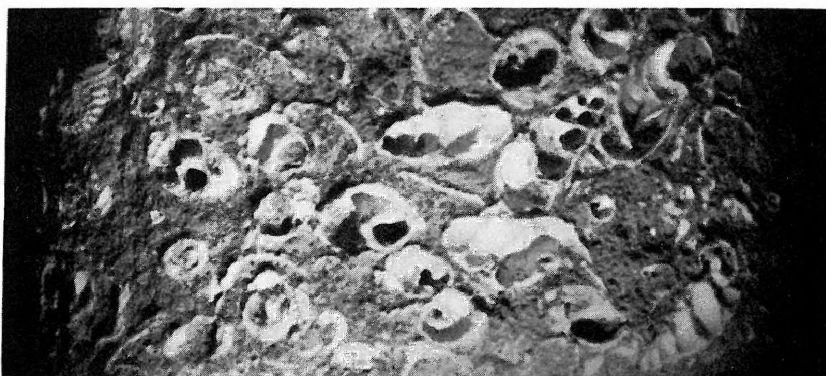
4—5. Diósgyőr 366. 338.6 m 1.6 ×



1 2



4



5

Plate XIII — XIII. tabla

1—6. *Pirenella borsodensis* SCHRÉTER, holotype, Hung. Geol. Inst. Museum, M. 106.

Pereces

1, 6. 8×

2—3. 2×

4—5. 5×

7—10. *Dorsanum hungaricum* SCHRÉTER

Bánfalva 3×

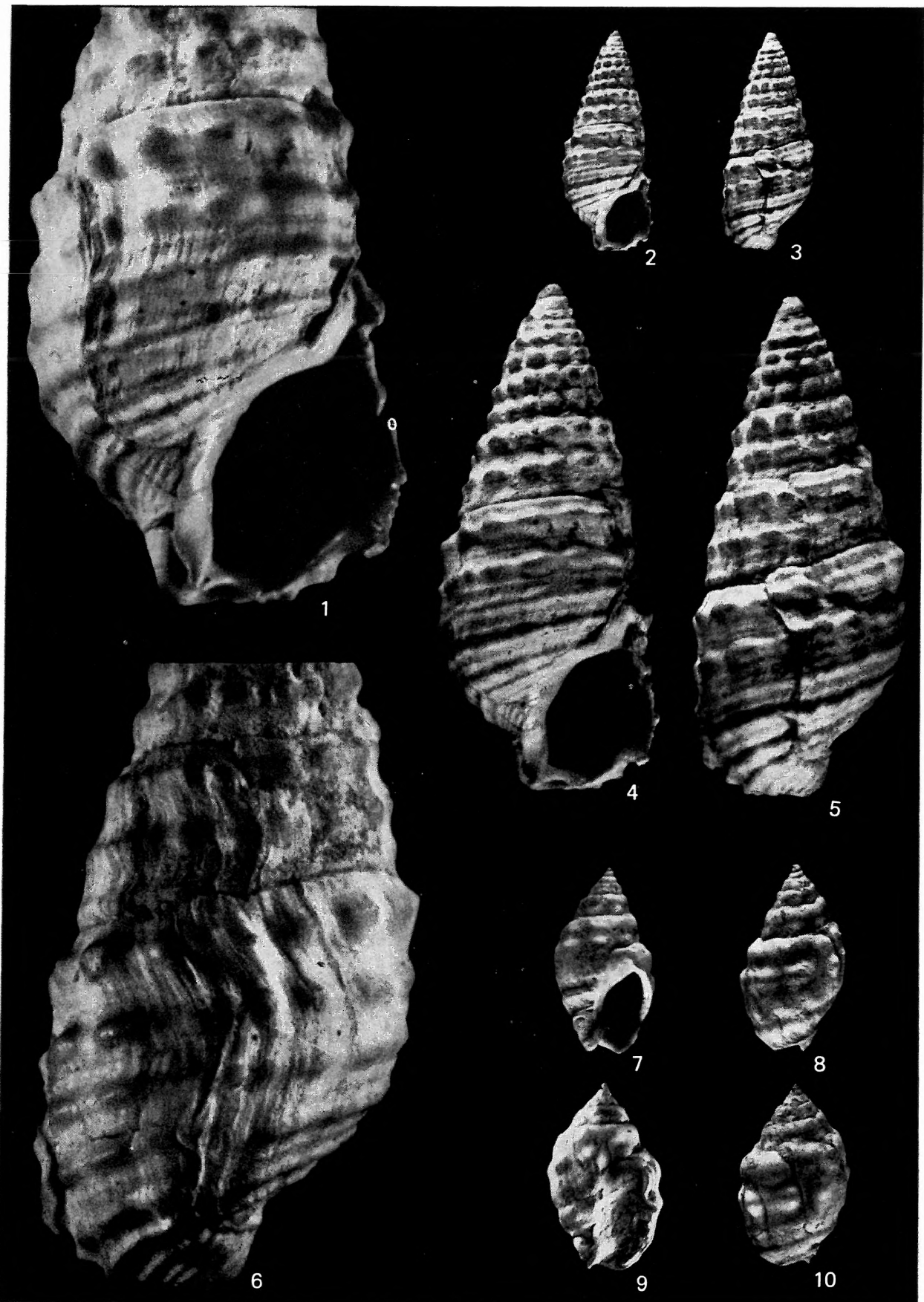
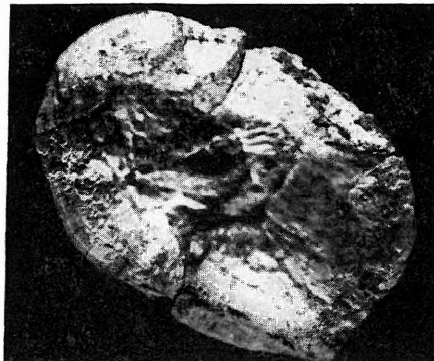
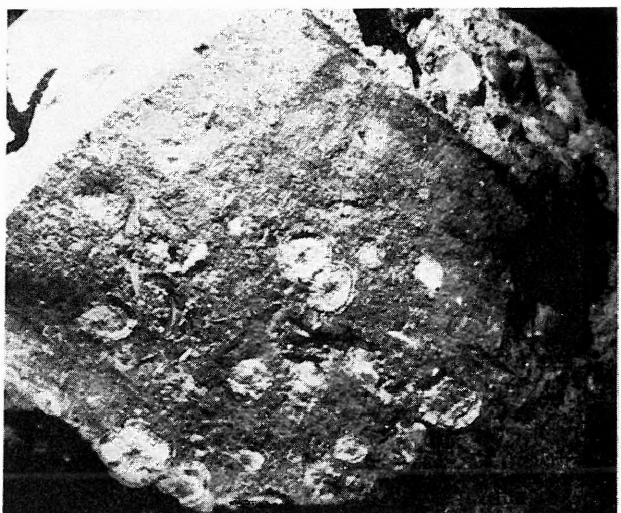


Plate XIV — XIV. tábla

1. *Balanus* sp.
Diósgyőr 366. 158.2 m 8.3×
2. *Balanus* sp.
Tardona 72. 206.2 m 2×
3. *Balanus* sp.
Diósgyőr 366. 188.2 m 1.8×
4. Bryozoa
Tardona 72. 279.2 m 1.7×
- 5—6. Coalified algal filament with *Spirorbis*
Diósgyőr 366. 160.3 m 9×



1



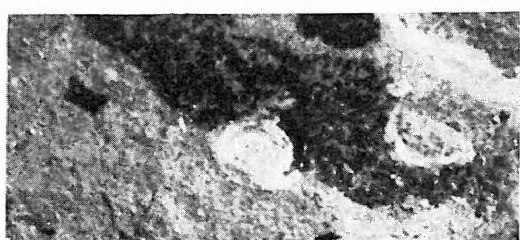
2



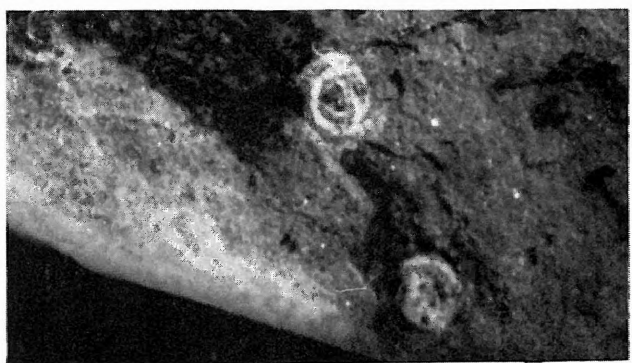
3



4



5



6

Plate XV. — XV. tábla

1. Fish remain
Tardona 72. 207.0 m 1.7×
2. Fish remain
Tardona 72. 182.5 m 1.7×
3. Surface with leaf cast
Felsőnyárád 296. 121.8 m 2.5×
4. Coalified leaf cast
Felsőnyárád 296. 126.1 m 2.5×



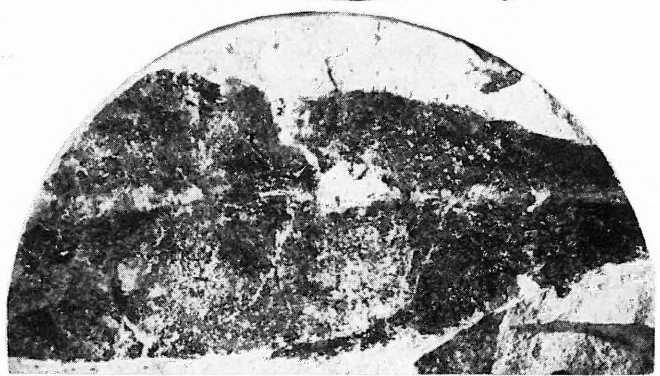
1



2



3



4

**A STUDY OF OTTNANGIAN FORAMINIFERS
FROM THE EASTERN BORSOD BASIN
(N HUNGARY)**

by

DR. I. KORECZ-LAKY

**A KELET-BORSODI MEDENCE OTTNANGI KÉPZŐDMÉNYEINEK
FORAMINIFERA VIZSGÁLATA**

Írta

KORECZNÉ DR. LAKY ILONA

A STUDY OF OTTNANGIAN FORAMINIFERS FROM THE EASTERN BORSOD BASIN

INTRODUCTION

An intensive study with stratigraphical evaluation of the Foraminifera in the Borsod brown-coal deposits was requested by a comprehensive geological research joining the brown coal explorations carried out in this very region. Examinations were performed on 400 samples taken from 18 boreholes, resulting in the identification of layers belonging to the Oligocene, Eggenburgian, Ottangian, (?) Karpatian, Lower Badenian and Sarmatian. The direct aim of the work was the biostratigraphical evaluation of the Foraminifera included by the different formations as well as their correct stratigraphical classification. This latter often hit against difficulties, because the faunal assemblages of identical composition appearing in the same facies might have denoted any stage. In such cases, lithological features or the presence of other microfaunal elements could promote the solution of the problem. Naturally, a complete knowledge of the Foraminifera fauna of the coal seams and their under/overlying beds would require further overall studies.

The results of the microfaunistical examination of the borehole sections studied so far are described here according to areal units.

I. THE ÚJDIÓSGYŐR-FORRÁSVÖLGY AREA OF STUDY

The study of the material collected from the boreholes in the environs of Diósgyőr has been aimed at the Foraminifera-centred elaboration of the barren rocks in the brown coal measures. Previously, there were no microfaunal studies devoted to these formations, thus our examinations have yielded new scientific data. Accordingly, the concerned barren layers were largely deposited in brackish shallow seawater, as testified by the dominance of foraminifers of brackish-water origin. Reworked tuffaceous materials (Fig. 1) from the Lower Rhyolite Tuff (Gyulakeszi Formation) can be observed throughout the brown coal measures, as containing also abundant organic remains by siliceous skeletal elements, like diatoms and sponge spicules. Microfaunistical examinations were performed on the material of boreholes Diósgyőr 366/3 (380.30–50.40 m) and 367/13 (489.90–279.50 m), see Fig. 2.

Borehole Diósgyőr Dgy. 366/3

The borehole intersected the Lower Rhyolite Tuff at 380.30–375.00 m. In the tuffaceous layers between 375.00–367.00 m, there were only a few Foraminifera found [*Rotalia beccarii* (L.), *Nonion granosum* (D'ORB.)]. The fauna included by a sample from 367.00 m renders a marine lagoon environment probable (with *Miliammina* sp.). Within the borehole, the richest marine microfauna was met at 365.00 m, below the Vth brown coal seam. The fauna is composed of the following species: *Bolivina crenulata* CUSHM., *Virgulina schreibersiana* Cžrž., *Textularia abbreviata* D'ORB., *Nonion granosum* (D'ORB.), *N. tuberculatum* (D'ORB.), *Rotalia beccarii* (L.), *Coryphostoma sinuosa* (CUSHM.) (see Table 1). In the hanging wall of the Vth brown coal seam (357.05–356.30 m) there are fairly tuffaceous layers containing many diatoms and radiolarians. The Foraminifera fauna is characterized by the species *Rotalia beccarii* (L.), *R. simplex* (D'ORB.) and *Elphidium minimum* SEG. In the immediate cover of the IVth brown coal seam (332.80–329.70 m) species *Rotalia beccarii* (L.) and *Nonion granosum* (D'ORB.) occurred. Between 279.50 and 276.00 m, *Rotalia beccarii* (L.), *R. simplex* (D'ORB.), *Elphidium minimum* SEG. and *E. minutum* (REUSS) were found. Over these, between 276.00–260.00 m, below the coal seam III/a (260.00–259.40 m), an assemblage of *Rotalia beccarii* (L.), *R. simplex* (D'ORB.) and *Nonion granosum* (D'ORB.) are present. Intercalations between the coal seams III (259.40–256.50 m) and III/a abound in *Rotalia beccarii* (L.) only. The same observation could be made for the layers between the coal seams III and II (between 232.30 and 229.80 m). In the hanging wall of the coal seam II, the microfauna is very poor, comprising only a few specimens of *Rotalia beccarii* (L.). At 198.00 m, however, marine sediments characteristic of a higher salinity are known again, represented by *Bathysiphon taurinensis* SACCO and *Reussella spinulosa* (REUSS) (see Plate VI), *Rotalia beccarii* (L.), *Nonion granosum* (D'ORB.). Below the coal seam I/a (172.50–172.45 m), the *Rotalia*–*Nonion*–*Elphidium* assemblage is present again, which was identified in the overlying beds of the coal seams as well. In the hanging wall of coal seam I (161.75–160.00 m) situated between 160.00 and 50.40 m, at certain places the microfauna is more abundant. Besides *Rotaliae*, *Nonions* and *Elphidia*, *Bolivinae* can be found in the assemblage as well (Plate VII). Sponge spicules, ostracods, fish remains, echinoid spines as well as molluscan fragments are found together with microfauna. In general, *Echinodermata* are always present in the sediments of higher salinity.

The borehole intersected Ottangian layers in full (380.30–50.40 m).

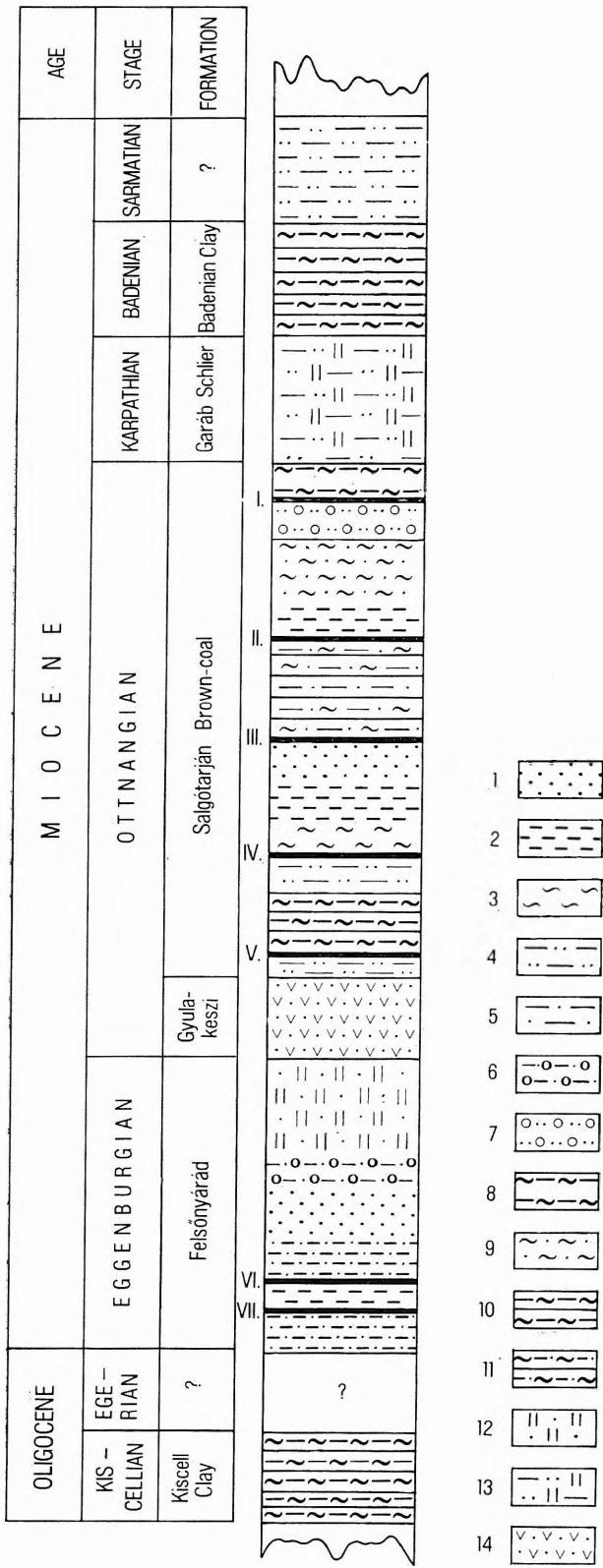


Fig. 1. Schematic stratigraphic column of the East Borsod brown-coal basin

1. Sand, 2. clay, 3. marl, 4. sandy clay, 5. argillaceous sand, 6. argillaceous sand with pebbles, 7. sand with pebbles, 8. argillaceous marl, 9. sandy marl, 10. claymarl, 11. sandy claymarl, 12. sandy aleurite, 13. argillaceous, sandy silt, 14. rhyolite tuff

1. ábra. A kelet-borsodi barnakőszén-medence vázlatos földtani szelvénye

1. Homok, 2. agyag, 3. márga, 4. homokos agyag, 5. agyagos homok, 6. kavicsos, agyagos homok, 7. kavicsos homok, 8. agyagos márga, 9. homokos márga, 10. agyagmárga, 11. homokos agyagmárga, 12. homokos aleurit, 13. agyagos, homokos aleurit, 14. riolittufa

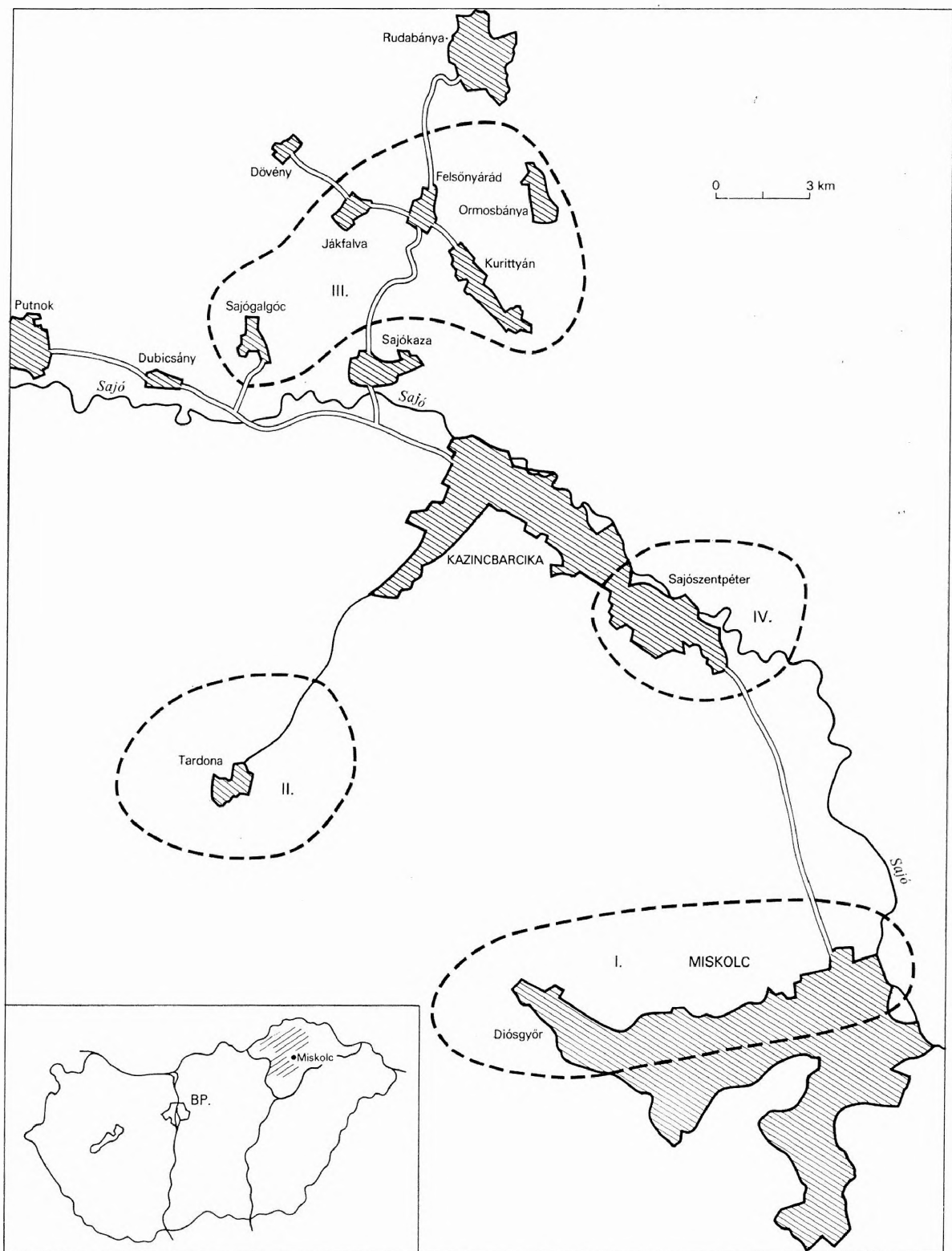


Fig. 2. A general map of the study areas in the East Borsod basin
2. ábra. A kelet-borsodi medence kutatási területeinek átnézetes térképe

Borehole Diósgyőr Dgy. 367/13

The borehole has drilled Ottnangian coal seams between 467.90 and 279.50 m. Their microfauna could be properly correlated with the similar horizon in borehole 366/3 (see Table 2).

In an interval ranging from 489.90 to 486.00 m, the beds contain a microfauna characteristic of the Kiscell Clay. Several specimens of species *Tritaxia szabói* (HANTK.), *T. haeringensis* (CUSHM.), *Anomalina grosserugosa* GÜMB., *Dentalina zsigmondii* HANTK., *Almaena osnabrugensis* (ROEM.), *Uvigerina hantkeni* CUSM., *Rhabdammina abyssorum* M. SARS, *Karreriella hantkeniana* CUSHM., *Bulimina truncana* GÜMB. were found in the assemblage. The microfauna is characteristic of a shallow marine basin environment of normal salinity. The formation can be dated upon the presence of *Karreriella hantkeniana* CUSHM. and *Tritaxia haeringensis* (CUSHM.), as belonging to the Kiscellian stage of the Oligocene.

Similar Oligocene foraminiferal formations were cut by borehole Miskolc 3, sunk earlier (in 1958), from 516.00 to 510.00 m. Over the sediments between 510.00–405.00 m, containing no fauna, Ottnangian formations characterized by the presence of *Rotalia beccarii* (L.) and *Nonion granosum* (d'ORB.), were drilled (405.00–298.00 m). They can well be correlated with the rocks of other bore-hole sections.

II. THE TARDONA—PERES AREA OF STUDY

No Miocene formations older than Ottnangian are known from this area. Brackish-water sediments of the Ott n a n g i a n stage were drilled by the boreholes between coal seams II and III, in a thickness of 19 metres, while between coal seams III and IV, in that of 115 m. Above and below the IIIrd coal seam beds contain *Rotalia beccarii* (L.) only. In general, a facies characterized by the Rotalia—Nonion—Elphidium assemblage is dominating.

On the Ottnangian rocks L o w e r B a d e n i a n formations are found in a thickness of 118 metres, containing a Foraminifera fauna consisting mainly of planktonic forms. Among planktonic species, *Orbulina universa* d'ORB., *O. suturalis* BRONNIMANN, *Globoquadrina dehiscens* CHAPM.—PARR—COLLINS, *G. altispira* (CUSHM.—JARV.) and *Globigerinoides triloba* (REUSS) occur in the greatest number within the assemblage. Among the benthonic species, *Planularia auris* DEFR., *Coryphostoma sinuosa* (CUSHM.), *Dentalina pauperata* d'ORB., *Uvigerina macrocarinata* PAPP—TURN., *U. pygmaeoides* PAPP—TURN. are the most characteristic forms. The fauna indicates a warm, shallow-water basin facies. Planktonic forms occurring in large quantities show a direct connection with the open sea. The Lower Badenian *Orbulina*—*Globoquadrina* layers are fairly widespread, and represent a “guide horizon” in the Mecsek and Börzsöny Mts, moreover in the SW Transdanubian Basin and around Sopron, Szilvásvárad, and Bihar Nagybajom.

The foraminifers of the Lower Badenian beds in the Tardona area can be regarded as one of the best microfaunal ‘Key material’ in Hungary, considering the large number of species and specimens and their good state of preservation.

Borehole Tardona T. 66

In this borehole, brackish-water sedimentary rocks belonging to the Ottnangian stage (187.00—168.00 m) — can be characterized by the species *Rotalia beccarii* (L.), which is most frequent. These beds contain abundant molluscan remains as well, besides Foraminifera. At 123.00 m, above the IIInd coal seam, the borehole intersected shallow-water marine sediments deposited from water of normal salinity containing the following Foraminifera fauna: *Reussella spinulosa* (REUSS), *Robulus inornatus* (d'ORB.) *Plectofrondicularia diversicostata* NEUG., *Nonion tuberculatum* (d'ORB.) and *Rotalia beccarii* (L.). Echinodermata remains are always present in the marine deposits in the form of spicules and other skeletal elements.

Borehole Tardona T. 69

On top of the coal seam IV, borehole penetrated Ottnangian brackish-water deposits between 416.00 and 303.20 metres, as characterized by a Rotalia—Nonion—Elphidium fauna. Over this, below and immediately above coal seam III (303.20—299.80 m), beds with the presence of *Rotalia beccarii* (L.) follow.

The borehole sequence terminates in Lower Badenian marine, basinal sandy clay marl layers (298.70—180.00 m). In the fairly rich Foraminifera assemblage planktonic forms are predominant,

Table 1 — 1. táblázat

Dominance relations of the Foraminifera of borehole Diósgyőr 366/3

A Diósgyőr 366/3. sz. fúrás Foraminiferáinak dominanciaüzonyai

		Ottens Biaya										Fish tooth																	
Age	Depth (m)	3	4	5	6	7	8	9	10	11	12	13	14	15	16	17	18	19	20	21	22	23	24	25	26	27	28	29	30
1 = 1–5 specimens	50.40																												
2 = 6–10 specimens	109.70	1																											
3 = 11–20 specimens	113.70	1																											
4 = 21–50 specimens	117.00	1																											
5 = > 50 specimens	117.50	1																											
	120.00	1																											
	124.00	1																											
	125.00	1																											
	125.30																												
	125.60	1																											
	126.60	1																											
	128.00	1	1																										
	128.60	2																											
	138.00	2																											
	143.50	1	1	1																									
	148.00	4	1																										
	156.50	1	1																										
	159.50	1	1																										
	162.00	4																											
	164.30	2																											
	169.60	1																											
	172.40																												
	174.20																												
	188.50	1	1																										
	191.00	1	1																										
	193.90	1	1																										
	198.00	1	3																										
	199.20	1	1																										
	200.20	2																											

1 = 1–5 specimens
2 = 6–10 specimens
3 = 11–20 specimens
4 = 21–50 specimens
5 = > 50 specimens

1	2	3	4	5	6	7	8	9	10	11	12	13	14	15	16	17	18	19	20	21	22	23	24	25	26	27	28	29	30
200.60		2																											
206.50		2																											
222.50		1																											
224.00-227.00	1	1																											
229.80																													
233.40																													
239.70																													
242.50		4																											
243.10		4																											
257.10		4																											
257.40		1																											
258.60		4																											
259.20		1																											
260.40		1																											
260.90		1																											
272.00-273.00		1																											
273.90-279.30		1																											
276.00-279.50		1																											
279.30-282.90/a		1																											
279.30-282.90/b		1	4																										
284.00		1																											
296.70-301.50		1																											
306.00																													
310.00			1																										
320.00			1																										
322.00			1																										
323.00																													
324.00-325.50		1	1																										
327.30		1																											
328.00		1																											
333.80		1	1																										
335.00		1																											
340.00																													
342.00			1																										
343.00-346.00/a			1																										
343.90-346.00/b																													
349.00-350.50		1																											
365.00		1	1																										
367.00		1	1																										
375.00-380.30		1																											
379.00		1																											

Ottangian

Table 2 — 2. táblázat

Dominance relations of the Foraminifera of borehole Diósgyőr 367/13

A Diósgyőr 367/13. sz. fürás Foraminiferáinak dominanciaviszonyai

Specimen:	Age	Depth (m)	Ottinian-Giaan	Kisecíliaan
1 = 1–5		279.50–282.00		
2 = 6–10		280.00		
3 = 11–20		297.80–300.80		
4 = 21–50		305.70–306.20		
5 = >50		364.60–367.10		
		388.00–391.00		
		399.00		
		405.80		
		411.50		
		416.30–416.50		
		422.80		
		425.40		
		425.50		
		428.00		
		428.90		
		429.10–429.30		
		429.50		
		447.10		
		454.40		
		457.00		
		461.30		
		467.90		
		486.00–489.90	1 1 2 2 1 1 1 1 1 2 1 2 1	1 1 1 1 1 1 1 1 1 1 1 1 1 1

Spongace accumulations		1 1 1 1 1 1 1 1 1 5 5
Shell fragments		1 1 1 1 1 1 1 1 1 5 5
Sponge spicules		1 1 1 1 1 1 1 1 1 5 5
Carbonized plant debris		1 1 1 1 1 1 1 1 1 5 5
Mollusca shell fragments		1 1 1 1 1 1 1 1 1 5 5
Ostreocida		1 1 1 1 1 1 1 1 1 5 5
Fish remains		1 1 1 1 1 1 1 1 1 5 5
Notion communum		2 2 1 1 1 1 1 1 1 5 5
Elaphidium murinum		2 2 1 1 1 1 1 1 1 5 5
Notion tuberculatum		2 2 1 1 1 1 1 1 1 5 5
R. beccarii		2 2 1 1 1 1 1 1 1 5 5
Rotalia simplex		2 2 1 1 1 1 1 1 1 5 5
Notion granosum		1 1 1 1 1 1 1 1 1 5 5
Pulnaria bulloides		1 1 1 1 1 1 1 1 1 5 5
Chitides duemeijeri		1 1 1 1 1 1 1 1 1 5 5
Eponides hadizingeri		1 1 1 1 1 1 1 1 1 5 5
Almannia osmanburgensis		1 1 1 1 1 1 1 1 1 5 5
Bigerriana agglutinans		1 1 1 1 1 1 1 1 1 5 5
Martiniella communis		1 1 1 1 1 1 1 1 1 5 5
Trilaxia sabatii		1 1 1 1 1 1 1 1 1 5 5
Bulimina truncatula		1 1 1 1 1 1 1 1 1 5 5
Uvigerina hamekenii		1 1 1 1 1 1 1 1 1 5 5
Stiphommina reticulata		1 1 1 1 1 1 1 1 1 5 5
R. horridus		1 1 1 1 1 1 1 1 1 5 5
Robulus arcuostriatus		1 1 1 1 1 1 1 1 1 5 5
Anomalia grosserrugosa		1 1 1 1 1 1 1 1 1 5 5
Buliminula elongata		1 1 1 1 1 1 1 1 1 5 5
Dentalina sigmoidalis		1 1 1 1 1 1 1 1 1 5 5
Cyclammina pacemita		1 1 1 1 1 1 1 1 1 5 5
Rhabdammina abyssorum		1 1 1 1 1 1 1 1 1 5 5
Kurrerella hantkenii		1 1 1 1 1 1 1 1 1 5 5
Trilaxia hartergenses		1 1 1 1 1 1 1 1 1 5 5
Dentalina approximata		1 1 1 1 1 1 1 1 1 5 5
		1 1 1 1 1 1 1 1 1 5 5

however, with many benthonic elements (Table 3). This fauna must have lived, most likely, under perfect conditions of marine environment, as attested to by the large, decoratively ornated Foraminifera tests as well.

Borehole Tardona T. 78

Rocks belonging to the Lower Badenian Baden Clay Formation were drilled between 303.00 and 243.00 m. Here the Foraminifera assemblage rich in planktonic as well as benthonic forms indicates a shallow, warm-water marine environment of normal salinity.

III. STUDY AREAS FEKETEVÖLGY VI AND VII

The most diversified Miocene sections can be plotted upon the boreholes of this area. Rocks belonging to the Eggenburgian, Ottangian and Lower Badenian stage could be equally found here. Eggenburgian formations are found in various facies as well as environments of freshwater, swampy, brackish, and shallow-water marine deposition. Rocks of marshy freshwater origin were cut in boreholes Ormosbánya 323, Jákfalva 55 and Felsőnyárád 296. In these formations no microfaunal elements were found, however, the presence of coal seams VI and VII has been proved on the basis of spher siderite concretions found in the material left after decantation, which, in this facies, consists totally or mainly of (?) iron-rich concretions frequently met in the hanging wall of coal seams VI and VII. Brackish - water facies was recognized in the boreholes at Ormosbánya, Kurityán and Felsőnyárád. In the microfauna of samples from these boreholes, besides the species *Rotalia beccarii* (L.), *R. simplex* d'ORB., and *Nonion granosum* (d'ORB.), we find the form *Rotalia* sp. I, that cannot be seen in the Oligocene or Ottangian "brackish assemblages" studied till now. In the shallow-water facies, the species *Bulimina elongata* appeared besides Rotaliae (including *Rotalia* sp. I) and *Nonion granosum* (d'ORB.). This species is known to be fairly persistent, however, together with the species *Rotalia* sp. I, it is characteristic of this formation. This facies occur in the environs of Felsőnyárád and Ormosbánya.

The Rotalia—Nonion—Elphidium assemblage characteristic of the brackish-water deposits of the Ottangian is found in a small thickness in this area, more closely in the environs of Jákfalva, Ormosbánya, and in the overlying layers of the Vth coal seam at Sajógalgóc.

Within this area, Lower Badenian formations were drilled by borehole Sajógalgóc 10. The shallow-water marine formations containing an *Orbulina*—*Globoquadrina* planktonic assemblage along with a benthonic fauna rich in Lagenidae, correspond to the so-called Tardona sequence.

Borehole Sajógalgóc Sg. 10

This borehole has been sunk so deeply as the Lower Rhyolite Tuff (Gyulakeszi Formation) appears as hit at 295.00 m. Below coal seam V of twofold division, there are no microfaunal elements, only some sponge spicules embedded in glauconitic clay. In the intercalation separating in two the seam and in the hanging wall of the Vth coal seam (270.00—265.00 m), it is only the species *Rotalia beccarii* (L.) that can be found in considerable quantities. Between 265.00 and 259.00 m, the Rotalia—Nonion—Elphidium assemblage represents a very poor fauna (Table 4). At 232.00 m, a faunal assemblage that had required higher than brackish salinity appear, containing Echinodermata. However, this might be considered as an isolated sample i.e. information of restricted significance. Between 219.00 and 198.00 metres, including the coal seam IV, the Rotalia—Nonion assemblage characteristic of a brackish environment is present in the material, with the dominance of *Rotalia beccarii* (L.). From 198.00 to 178.00 m, only the species *Rotalia beccarii* (L.) was found in the samples, in great individual numbers. Based on recent analogies, the living space of *R. beccarii* (L.) can be defined by 0—10 m sea depth, 15—30‰ salinity and a water temperature over 15 °C. Most likely, similar conditions had furthered the bloom of this species here.

Between 173.80—140.00 metres, Lower Badenian sedimentary rocks containing a rich fauna were met.

Borehole Sajógalgóc Sg. 22

The depth interval examined in this borehole (125.00—93.80 m) can be characterized by the Ottangian Rotalia—Nonion fauna, typical for a brackish-water environment. *Rotalia beccarii* (L.) is present in great quantities throughout, and in conspicuously large number at a depth of 116.00 m.

Dominance relations of the Foraminifera
A Tardona 69. sz. fúrás

Specimen:		Age	Depth (m)
		<i>Rotalia beccarii</i>	
		<i>Nonion granosum</i>	
		<i>Elphidium minimum</i>	
		<i>Spiroplectammina depredita</i>	
		<i>Frondicularia laevigata</i>	
		<i>Plectofrondicularia diversicostata</i>	
		<i>Uvigerina urnula</i>	
		<i>Robulus cultratus</i>	
		<i>Pullexia bulboides</i>	
		<i>Cibicides ungrianus</i>	
		<i>Nonion boueanum</i>	
		<i>Globigerinoides triloba</i>	
		<i>Globorotalia mayeri</i>	
		<i>Coryphostoma sinuosa</i>	
		<i>Bolivina fastigia</i>	
		<i>Uvigerina pygmaea</i>	
		<i>U. macrocarinata</i>	
		<i>Dentalina paupera</i>	
		<i>Eponites haitingeri</i>	
		<i>Nodosaria longiscata</i>	
		<i>Robulus clericii</i>	
		<i>R. inornatus</i>	
		<i>Globorotalia scitula</i>	
		<i>Gyroidea soldanii</i>	
		<i>Buliminina inflata</i>	
		<i>B. buchiana</i>	
		<i>Glutulinina problema</i>	
		<i>Dentalina approximata</i>	
		<i>Globigerina bulloides</i>	
		<i>G. apertura</i>	
Badenian	180.00	1	
	211.70		
	216.60		
	220.60		
	239.00		
	247.20		
	251.00		
	297.40		
	298.70		
Ottomanian	299.80	4	
	303.20	4	1
	364.20		
	369.70		
	397.30	4	
	416.70	4	1

Borehole Kurittyán Ku. 630

Examinations were performed on the samples taken from 226.10—186.20 m above coal seam VI. Foraminifera were found here only from 208.90 to 207.40 metres. The fauna is of Eggenburgian brackish-water character [*Rotalia beccarii* (L.), *Nonion boueanum* (D'ORB.), *Rotalia* sp I]. After decantation, many pyrite grains were seen. In the hanging wall of coal seam VI, only abundant ferrous particles were observed.

Borehole Kurittyán Ku. 631

The samples coming from between 262.00 and 261.00 metres abound in pyrite grains. It is the species *Rotalia beccarii* (L.) that occurs in large quantities among the fossils, and many specimens of *Rotalia* sp. I are found. These beds resting on the VIth coal seam represent the brackish-water sediments of Eggenburgian time:

Borehole Ormosbánya O. 322

The part between 266.20 and 247.30 m of this drilled section is represented by "brackish" *Rotalia*-rich layers belonging to the Eggenburgian (*Rotalia* sp. I). Many pyrite grains and molluscan fragments can be observed here. At 246.00 m, beside numerous pyrite and glauconite grains, fish remains are fairly common (scales, vertebrae, swimming prickles). Shallow-water marine sediments belonging to the Eggenburgian appear from 143.20 to 137.00 metres, where the fauna assemblage is characterized by the species *Rotalia* sp. I and *Buliminina elongata* D'ORB. (Table 5).

of borehole Tardona 69

dominanciaviszonyai

Table 3 – 3. táblázat

	<i>G. woodii</i>	<i>G. foliata</i>	<i>Orbulina universa</i>	<i>O. suurialis</i>	<i>Cibicides du Templei</i>	<i>Bulimina elongata</i>	<i>Dentalina vertebralis</i>	<i>Globigerina praebulloides</i>	<i>G. falconensis</i>	<i>G. concinna</i>	<i>Bolivina dilatata</i>	<i>Martinottiella communis</i>	<i>Bulimina pyrula</i>	<i>Dimorphina variabilis</i>	<i>Nodosaria scalaris</i>	<i>Textularia abbreviata</i>	<i>Spiroplectammina carinata</i>	<i>Sphaeroidina bulloides</i>	<i>Virgulina schreibersiana</i>	<i>Nonion soldanii</i>	<i>Entosolenia orbigniana</i>	<i>Frondicularia vaughani</i>	<i>Anomadina austriaca</i>	<i>Cassidulinoides bradyi</i>	<i>Cassidulina crassa</i>	<i>Uvigerina semiornata</i>	<i>Dentalina communis</i>	<i>Spiroloculina tenuis</i>	Mollusca shell fragments	Ostracoda	Sponge spicules	Fish remains	Shell fragments	Echinoderm spines	Sponge accumulations
2	1																																		
2	2	3	3	2	1	1	1	1	2	1	1	1	1	1	1	1	1	1	1	1	1	1	1	1	1	1	1	1	1	1	1	1			
2	2	3	2	1																															

Borehole Ormosbánya O. 323

In the drilled interval of 314.00–303.00 m, which includes coal seam VI, many spher siderite concretions appear below and above the coal bed proving the pre-existence of a freshwater marshy environment. Point samples taken from 241.00 m, 230.00 m and 187.00 m mark the presence of the *Bulimina elongata* assemblage, characteristic of the shallow-water marine environment of the Eggenburgian. Between 156.00 and 136.00 metres there are shallow-water marine formations, too.

In the overlying bed of the Vth coal seam, from 85.00 to 81.00 m, Ottangian brackish-water deposits are indicated by a Rotalia—Nonion assemblage.

Borehole Felsőnyárád Fny. 6

The borehole cut the freshwater rocks containing spher siderite concretions in the overlying of the VIIth coal bed (275.60–271.70 m) and it did between 240.50 and 239.70 m, above coal bed VI. From 205.00 to 203.00 m and by 188.00 m, brackish-water deposits belonging to the Eggenburgian have been recorded as containing the Rotalia fauna assemblage. The interval ranging from 146.00 to 143.00 m contains a shallow-water marine *Bulimina elongata* assemblage.

Borehole Felsőnyárád Fny. 300

The depth interval of 155.00–153.00 metres in this borehole displays Eggenburgian “brackish” Rotalia-containing layers. *Rotalia* sp. I and *Rotalia beccarii* (L.) appear in a considerable number but at the top of the series only, otherwise the microfauna is characterized by some fragmental foraminifers.

Borehole Jákfalva Jf. 55

The Eggenburgian freshwater formations containing spherosiderite concretions can be observed here between 335.00 and 321.00 metres, between coal seam VII and VI, and they reappear on top of the VIth coal bed lying between 298.00 and 293.00 m. The material of coal seams VII and VI had been supplied by marsh plants and trees. After the decantation of some sample materials, plant roots came also into sight as carbonized plant fibres. In the span between the VIth and Vth coal seams (278.00—125.40 m), tuffaceous rocks have been detected throughout the sequence, containing no organic remains but sponge spicules only.

Table 4 — 4. táblázat

of borehole Sajógalgóc 10/100
Foraminiferáinak dominanciaviszonyai

		<i>Planularia auris</i>																										
		<i>Robulus clerici</i>																										
		<i>Dentalina adolphina</i>																										
		<i>Siphonina reticulata</i>																										
		<i>Uvigerina macrocarinata</i>																										
		<i>Pullenia bullroides</i>																										
		<i>Pyralina fusiformis</i>																										
1	1	<i>Nomion soldanii</i>																										
1	1	<i>Frondicularia sp.</i>																										
		<i>Globorotalia obesa</i>																										
		<i>Nomion boreanum</i>																										
		<i>Nodosaria longiseta</i>																										
		<i>Bolivina viennensis</i>																										
		<i>B. antiqua</i>																										
		<i>Spirolocalina tenuis</i>																										
		<i>Ehrenbergina serpula</i>																										
		<i>Planularia wuellestorfi</i>																										
		<i>Dentalina communis</i>																										
		<i>D. elegans</i>																										
		<i>Nodosaria pyrula</i>																										
		<i>N. affinis</i>																										
		<i>Dentalina soluta</i>																										
		<i>Marginulina sp.</i>																										
		<i>Robulus vortex</i>																										
		Sponge spicules																										
		Shell fragments																										
		Sponge accumulations																										
		Mollusca shell fragments																										
		Echinoderm spines																										
		Fish tooth																										
		Radiolaria																										
		Fish remains																										
		Ostracoda																										
		<i>Operculum</i>																										
		<i>Otolithus</i>																										
																												1

Table 5 — 5. táblázat

Dominance relations of the Foraminifera of the borehole Ormosbánya 322
Az Ormosbánya 322. sz. fúrás Foraminiferáinak dominanciaviszonyai

Age	Depth (m)	Specimen:																							
		<i>Rotalia beccarii</i>	<i>R. simplex</i>	<i>Quinqueloculina costata</i>	<i>Nonion boreanum</i>	<i>Buliminina buchiana</i>	<i>B. elongata</i>	<i>Spiroplectammina carinata</i>	<i>Rubulus inornatus</i>	<i>Gyroidina soldanii</i>	<i>Eponides haidingerii</i>	<i>Dentalina punctata</i>	<i>D. pauperata</i>	<i>Nodogenerina sp.</i>	<i>Nodosaria sp.</i>	Ostracoda	Fish remains	Mollusca shell fragment	Fish tooth	Carbonized plant debris	Echinoderm spines	Shell fragments	Sponge spicules	Sponge accumulations	
Eggenburgian	137.5																								
	137.9																								
	138.2																								
	140.8																								
	143.2	2																							
	222.3																								
	224.2																								
	226.0																								
	246.0																								
	247.3																								
	263.9	4	1	1																					
	264.8	4	1																						
	266.2	4	1																						

Brackish-water deposits belonging to the Ottangian stage were found, with Rotalia—Nonion assemblages (91.80—31.70 m).

As it appears from the research results, the coal seams VII and VI were formed during Eggenburgian time, while for seams V—I it was in the Ottangian.

IV. THE DUZSNOK (SAJÓSZENTPÉTER) AREA OF STUDY

In the geological setting of this area, beds belonging to the Ottangian, (?) Karpatian and Sarmatian stages are compositional. Among the coal seams, the beds I and II were developed in the whole territory, together with the very thin IIIrd coal bed. The coal seam IV is significant only in the western part of the territory, while bed V is missing on most parts of this area. Brackish-water sediments belonging to the Ottangian can be characterized by a Rotalia—Nonion—Elphidium fauna. Shallow-water marine sediments of normal salinity are demonstrated in small thickness within the sequence, containing in their fauna assemblage *Globigerinoides triloba* (REUSS), *Globigerina praebulloides* BLOW, and *G. ciperoensis ottangensis* RÖGL as well. Immediately on the coal bed IV, there is a seaside lagoon facies containing the species *Miliammina* sp., *Ammomarginulina* sp., *Ambobaculites* sp. and *Rotalia beccarii* (L.). The presence of *R. beccarii* in the faunal association proves a "brackish" environment, with over 15% salt content, and a water temperature of at least 15 °C. Above coal seam I, the brackish-water beds with numerous *Rotalia beccarii* (L.), are followed by a Rotalia—Nonion assemblage indicative of marine layers, containing also several specimens of *Bathysiphon taurinensis* SACCO. These marine formations might represent the (?) Karpatian in this area. To clear up this problem, however, more, and more intensive studies devoted to the formations overlying the coal bed I would be necessary. The formations belonging to the Sarmatian stage are characterized by the very frequent occurrence of *Porosononion subgranosum* EGGER with numerous *Nonion granosum* (D'ORB.) and *Elphidium flexuosum* (D'ORB.) specimens.

Table 6 — 6. táblázat

Dominance relations of the Foraminifera of the borehole Sajószentpéter 120
A Sajószentpéter 120. sz. fúrás Foraminiferáinak dominanciaviszonyai

Specimen:		Age	Depth (m)	<i>Rotalia simplex</i>	<i>R. beccarii</i>	<i>Ammobaculites</i> sp.	<i>Ammonia marginulina</i> sp.	<i>Nonion boueanum</i>	<i>N. granosum</i>	<i>Globigerina praebulloides</i>	<i>Dentalina</i> sp.	<i>Globigerinoides triloba</i>	<i>Elphidium minimum</i>	<i>Vitulina schreberiana</i>	<i>Bathyphym tauriensis</i>	<i>Nonion commune</i>	<i>N. granosum parvus</i>	<i>N. aff. graniferus</i>	Sponge spicules	Mollusca shell fragments	Echinoderm spines	Ostracoda	Fish remains	Shell fragments	Plant debris	Fish tooth	Carbonized plant debris
1 = 1–5	2 = 6–10	3 = 11–20	4 = 21–50	5 = > 50																							
42.50		1																									
43.40		1	1																								
44.50		1	1																								
46.00																											
48.00/a																											
48.00/b																											
54.00–55.00		1					3																				
56.00		1					1																				
56.00–57.00		1					1																				
59.00–60.00		1					1																				
61.00							1																				
61.00–62.00		1	1				1																				
63.70		1	1				1																				
67.00–70.00			5																								
74.00–75.00		3	3				3	1																			
75.50		1	1																								
75.00–76.00		1	1					1																			
77.00–78.00		1																									
78.00–79.00		1	1																								
79.00–80.00		1	1																								
80.00–81.00		1	1																								
84.00–86.00		3					3	3	1	3	1	3															
97.00–98.00		1																									
100.00–102.00		3	3																								
105.20		1	1																								
113.00–115.00																											
135.00–136.00		1						1																			
140.00–141.00		1						1																			
145.00–146.00		1																									
150.20																											
176.00																											
187.70		1																									
190.40		1																									
245.00–246.00		1																									
257.00–262.00		1																									
263.20/a																											
263.20/b		1																									
266.00		1	1	1	1																						
282.00–283.00		1	1																								

Borehole Sajószentpéter Sp. 120

This borehole has drilled Ottangian brackish-water sediments from 283.00 to 282.00 m. At 266.00 m, in the hanging wall of the coal bed IV, the presence of a seaside lagoon facies with *Rotalia beccarii* (L.), *Miliammina* sp., *Ammonia marginulina* sp. and *Ammobaculites* sp. is verified. This is followed by rocks containing *Rotalia beccarii* (L.), that can be traced above the coal beds IV and I as well. Formations containing Rotalia—Nonion assemblage occur several times in the sequence. From

86.00 to 84.00 m, besides the Rotaliae and the Nonions, the species *Globigerina praebulloides* BLOW, *G. ciperoensis ottangensis* RÖGL (Plate VIII), *Globigerinoides triloba* (REUSS) appear in a marine facies. Upwardly from the 1st coal bed, and immediately above the "brackish" Rotalia—Nonion facies, marine sediments follow again, characterized by the presence of *Bathysiphon taurinensis* SACCO beside Rotalia and Nonion, from 59.00 to 54.00 m. Between 54.00 and 42.50 m, the sequence of this borehole is terminated by a Rotalia—Nonion marine facies (Table 6).

The presence of Bathysiphons might represent the oldest phase of the (?) Karpatian schlier sedimentation. This assemblage, observed in the sample (46.00 m) from borehole Sp. 121, also indicates the hanging wall of the Ist coal seam, while it can be detected in borehole Diósgyör 366 as lying between the coal seams I and II. It is possible, however, that the beds with Bathysiphons represent the near-shore isochronous facies of the marine Globigerina layers, belonging to the Öttnangian.

Table 7 — 7. táblázat

Dominance relations of the Foraminifera of the borehole Sajószentpéter 126

A Sajószentpéter 126. sz. fúrás Foraminiferáinak dominanciaviszonyai

Borehole Sajószentpéter Sp. 121

Between 302.00 and 142.00 metres in this borehole section, the Rotalia—Nonion assemblage was found. The borehole intersects the formations containing Bathysiphons from 47.00 to 46.00 m, that can fairly well be correlated with the similar layers of borehole Sp. 120.

Borehole Sajószentpéter Sp. 123

The “brackish” Rotalia—Nonion assemblage occupies an interval between 251.00 and 186.00 metres and in point samples taken from 170.00 and 121.00 m in this borehole.

Borehole Sajószentpéter Sp. 126

The detailed analysis of this material is still in progress, thus only a preliminary evaluation is now feasible thereon. In most parts of the sequence, Ottangian brackish-water Rotalia—Nonion layers are found (Table 7). At 231.00 m, below the coal layer I/a marine facies with Globigerinae occurs again.

Between 43.00 and 20.00 metres, there are Sarmatian rocks abounding in *Porosononion subgranosum* EGGER, and with many specimens of *Nonion granosum* (D'ORB.) and *Elphidium flexuosum* (D'ORB.).

STRATIGRAPHICAL EVALUATION

In the research areas examined [I. Újdiósgyőr-Forrásvölgy; II. Tardona—Peres; III. Feketevölgy VI—VII; IV. Duzsnok (Sajószentpéter)], our microfauna examinations have resulted in the recognition of Kiscellian, Eggenburgian, Ottnangian, (?) Karpatian, Lower Badenian and Sarmatian formations (Figs 3a—c).

1. Oligocene sedimentary rocks belonging to the Kiscellian stage, which are very rich in Foraminifera, represent the marine basin facies of the *Kiscell Clay Formation*. These layers have been recorded from the Újdiósgyőr-Forrásvölgy area. The most characteristic forms of the Foraminifera assemblage are *Uvigerina hantkeni* CUSHM.—EDW., *Tritaxia szabói* (HANTK.), *Rhabdammina abyssorum* M. SARS, *Karreriella hantkeniana* CUSHM., *Dentalina zsigmondyi* HANTK., *Anomalina grosserugosa* (GÜMB.), *Almaena osnabrugensis* (ROEM.) and *Cibicides dutemplei* (D'ORB.).

2. The oldest Miocene formations of the area are represented by the Egenbúrgian beds, appearing by a rather diversified facial distribution. Freshwater, marshy, brackish-water and shallow-water marine environment types can be attached to this period. These variable facies have become known in the Feketevölgy Research Area (*Felsőnyárád Formation*).

The freshwater-marshy facies was drilled in boreholes Jákfalva 55 (335.00—293.00 m); Ormosbánya 323 (314.00—303.00 m) and Felsőnyárád 296 (275.60—239.70 m). In these formations no microfauna was found, but abundant spherosiderite concretions indicate the presence of the coal beds VI and VII clearly.

The brackish-water facies, the microfauna of which is characterisable by *Rotalia* sp. I and also includes *Rotalia beccarii* (L.), *R. simplex* D'ORB., and *Nonion granosum* (D'ORB.), was penetrated by the following boreholes: Felsőnyárád 300 (155.50—153.00 m), Fny. 301 (203.30—162.10 m), Fny. 296 (205.00—203.00 m), Kurittyán 630 (226.10—186.20 m), Ku. 631 (262.00—261.00 m) and Ormosbánya 322 (266.00—247.30 m). This brackish-water facies is known from Slovakia as well from the borehole ČČ 3, where the species referred to here as *Rotalia* sp. I, is likely described as *Ammonia ex gr. beccarii*. The Eggenburgian age of this biofacies containing Rotaliae and Nonions is proved by the presence of *Rotalia* sp. I.

The microfauna of the shallow-water marine facies is characterized by the presence of *Buliminina elongata* D'ORB. (with Rotaliae and Nonions). This is a fairly persistent form, but it is especially characteristic of these formations, together with *Rotalia* sp. I. This biofacies was drilled in boreholes Felsőnyárád 301 (157.00—146.00 m), Fny. 296 (146.00—143.00 m), Ormosbánya 322 (143.00—137.00 m) and O. 323, an interval ranging between 156.00 and 136.00 m (Table 8).

3. In the initiating member of the Ottnangian formations (*Gyulakeszi Rhyolite Tuff Formation*) there are no foraminifers present in the crystalline, fairly tuffaceous rocks. Instead of these, they are rich in siliceous organic remains like sponge spicules, diatoms and radiolarians. The bulk of the Ottnangian formations, including the coal seams I—V, were settled down in brackish-water and shallow-water marine environment of deposition. This can be detected all over the four research areas (*Salgótarján Brown-Coal Formation*).

The fauna of brackish-water origin can be characterized by Rotaliae, Nonions and Elphidida. In beds overlying the coal seams, often only the species *Rotalia beccarii* (L.) is found in varying quantities. There is also a certain assemblage known in the vicinity of the coal seams IV and V, comprising forms with primitive agglutinated tests, indicating the depositional conditions of marshy lagoons of landlocked seaside zones. These species (*Miliammina* sp., *Ammobaculites* sp., *Ammomarginulina* sp.) have no chronological significance, they indicate merely facies relations. Based on the presence of the species *Rotalia beccarii* (L.) in the assemblage, however, we can suppose that they must have lived in a seawater with 15‰ salt content, not colder than 12—15 °C. At some places within the "brackish" sequence (Diósgyőr, Duzsnok and Tardona area) layers deposited in normal saline marine environment were also met. The planktonic species of the microfauna, like

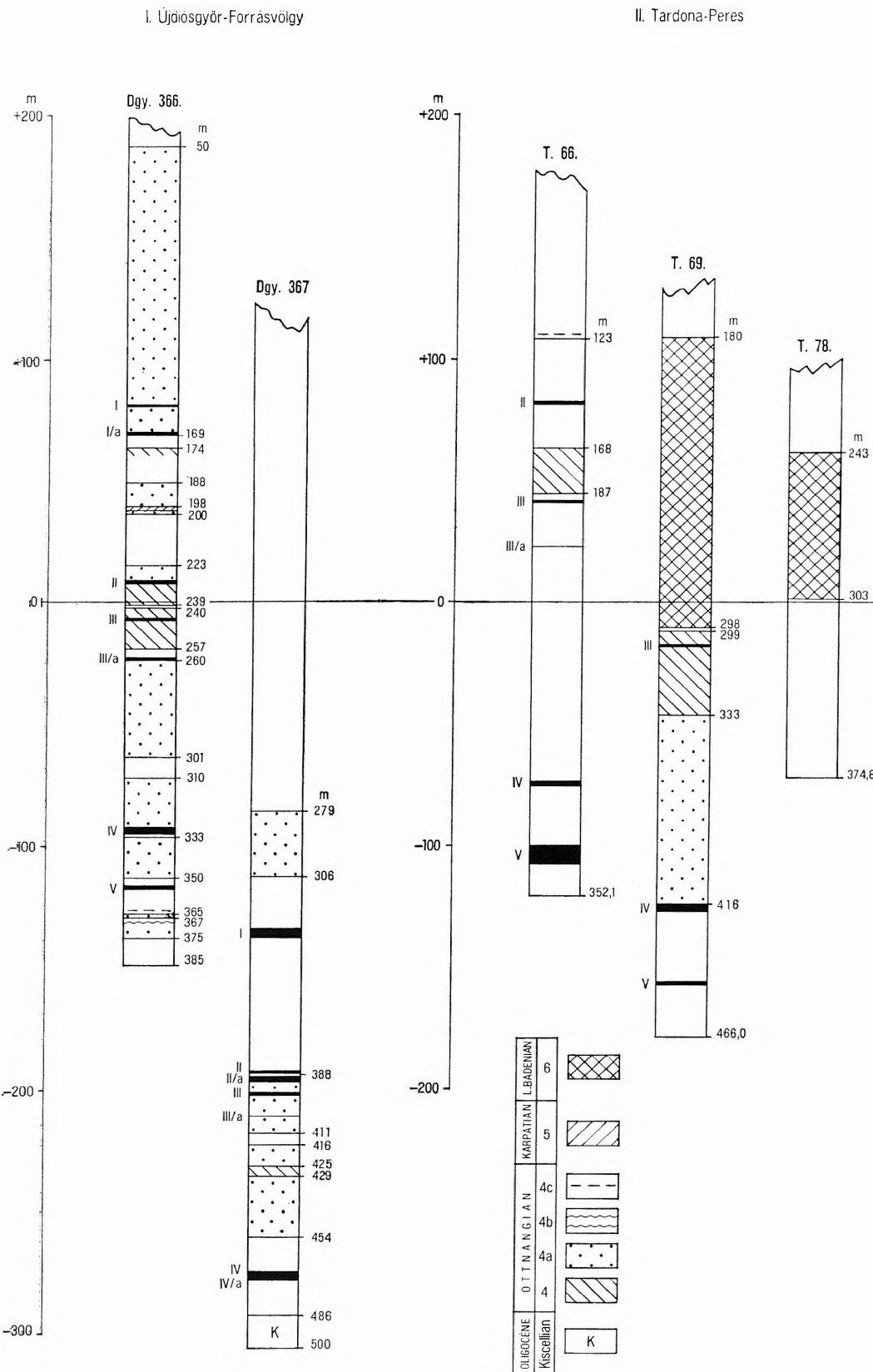


Fig. 3a-c Comparative stratigraphic columns of the study area, based on Foraminifera assemblages

Kiscellian: *Tritaxia szabói*. Eggemburgian: 1. sphaerosiderite concretions, 2. *Rotalia* sp. I., 3. *Bulimina elongata*. Ottangian: 4. *Rotalia beccarii*, 4a *Rotalia*—Nonion—*Elphidium*, 4b *Miliammina*—*Ammomarginulina*, 4c *Globigerina*. Karpatian: 5. *Bathysiphon taurinensis*. Lower Badenian: 6. *Oribulina*—*Globquadrina*.

3a-c ábra. A kutatási területek összehasonlító szelvénnyei Foraminifera együttesek alapján

III. Fekete-völgy
VI - VII

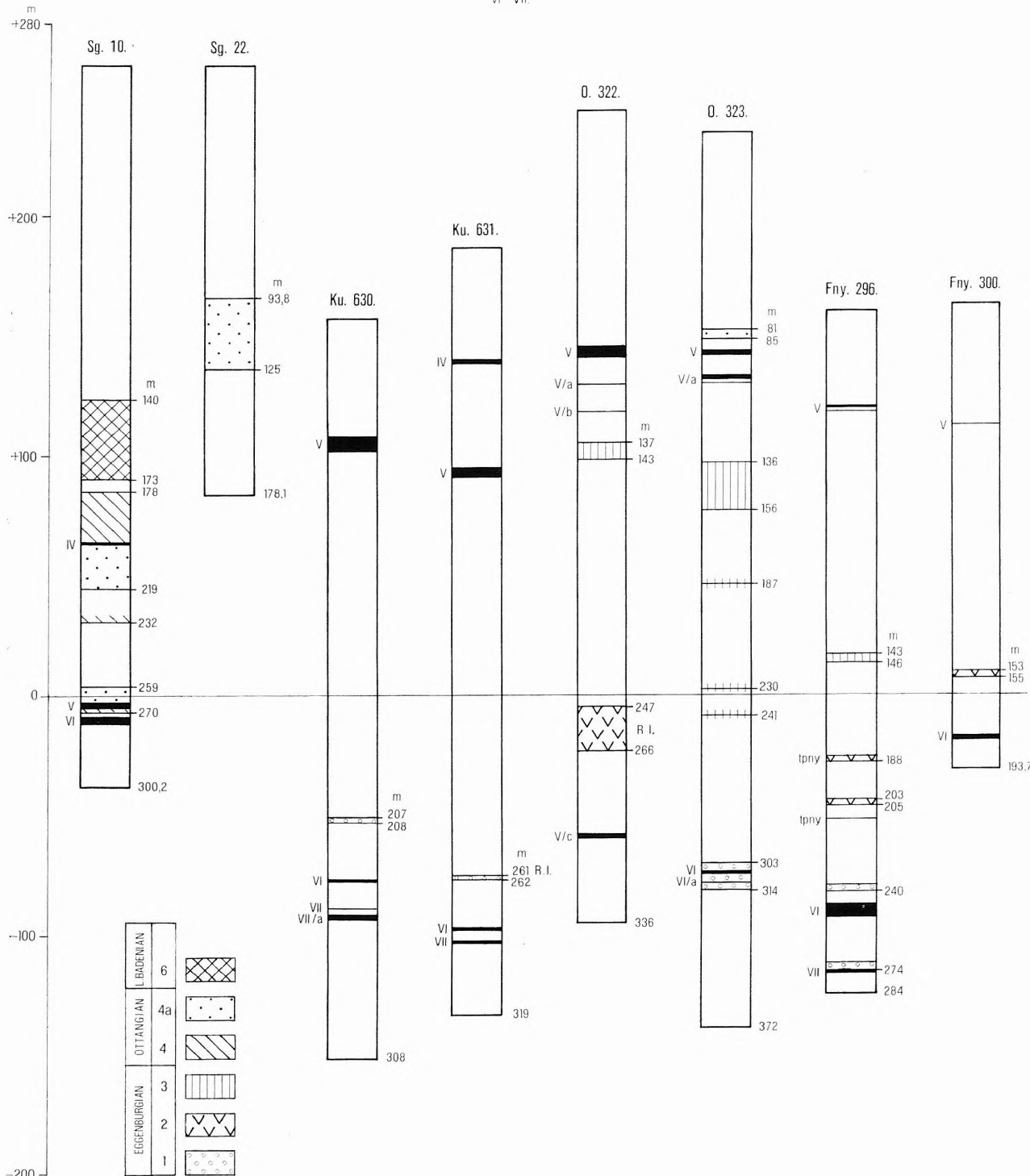


Fig. 3b — 3b ábra

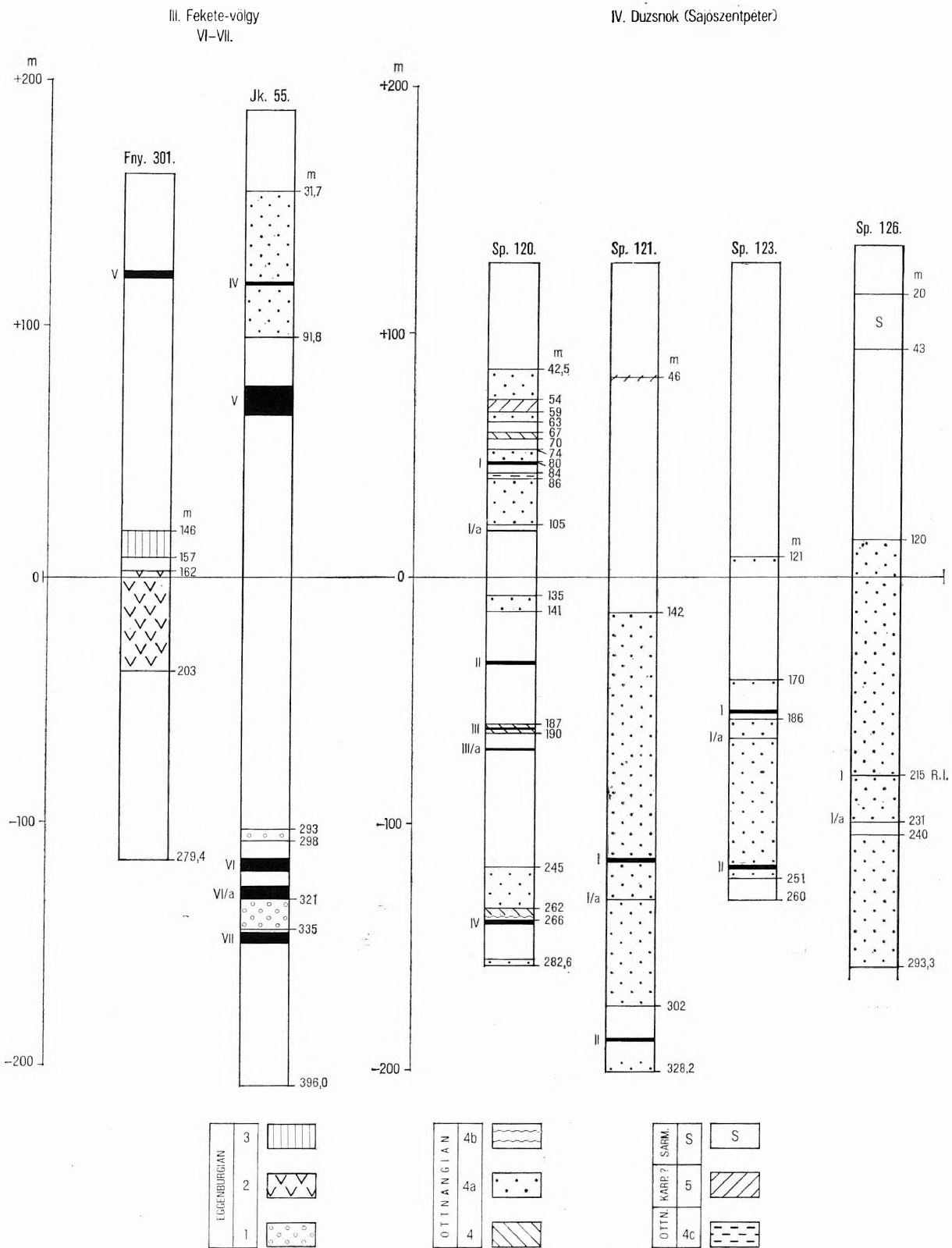


Fig. 3c — 3c ábra

Table 8 — 8. táblázat

The Eggenburgian Foraminifera fauna of the East Borsod brown-coal basin
 A kelet-borsodi barnakőszén-medence eggenburgi Foraminifera faunája

Fauna	O.		Ku.		Fny.		
	1	2	3	4	5	6	7
<i>Spiroplectammina carinata</i> (D'ORBIGNY)	○	+					
<i>Quinqueloculina costata</i> D'ORBIGNY	+						
<i>Quinqueloculina seminula</i> (LINNE)		+			+	+	+
<i>Triloculina consobrina</i> D'ORBIGNY					+		
<i>Robulus cultratus</i> MONTFORT		+					
<i>Robulus inornatus</i> (D'ORBIGNY)	+						
<i>Dentalina pauperata</i> D'ORBIGNY	+						
<i>Dentalina punctata</i> D'ORBIGNY	+	+					
<i>Polymorphina sororia</i> REUSS			+				
<i>Nonion boueanum</i> (D'ORBIGNY)	+	+	+	+			+
<i>Nonion commune</i> (D'ORBIGNY)	+	+				+	
<i>Nonion granosum</i> (D'ORBIGNY)		+			+		+
<i>Nonion soldanii</i> (D'ORBIGNY)		+					
<i>Elphidium crispum</i> (LINNE)							+
<i>Bulimina buchiana</i> D'ORBIGNY	+						
<i>Bulimina elongata</i> D'ORBIGNY	○				+		+
<i>Virgulina schreibersiana</i> CŽJZEK		+					+
<i>Gyroidina soldanii</i> D'ORBIGNY	+	+					
<i>Eponides haidingerii</i> (D'ORBIGNY)	○						
<i>Rotalia beccarii</i> (LINNE)	○	○	●	●	+	●	●
<i>Rotalia simplex</i> (D'ORBIGNY)	+	+		○	+	+	+
<i>Rotalia</i> sp. I.	+		+	○	+	+	+

Boreholes:

1. Ormosbánya 322, 137.00—143.00 m, 247.30—266.00 m
2. Ormosbánya 323, 136.00—156.00 m, 187.00 m, 230.00 m, 241.00 m
3. Kurittyán 630, 186.20—226.10 m
4. Kurittyán 631, 261.00—262.00 m
5. Felsőnyárád 296, 203.00—205.00 m, 143.00—146.00 m, 188.00 m
6. Felsőnyárád 300, 153.00—155.00 m
7. Felsőnyárád 301, 146.00—157.00 m, 162.10—203.30 m

+ = few — kevés, ○ = many — sok, ● = very frequent — tömeges.

Globigerina ciperoensis ottangensis RÖGL, *G. praebulloides* BLOW, *Globigerinoides triloba* (REUSS) are assignable to the Ottangian stage (Table 9).

4. In the hanging wall of the Ist coald bed (Duzsnok area) and between coal seams I and II (Diósgyőr area) another marine horizon, characterized by the presence of *Bathysiphon taurinensis* SACCO was detected (Table 10). This species is known from the Eggenburgian up to the lower part of the Karpatian schlier. Considering its stratigraphical position above coal bed I, this marine sequence can be assigned to the (?) Karpatian stage. Nevertheless, knowing about its position between coal seams I and II in the Diósgyőr area, we might suppose that this marine facies belongs to the Ottangian as well. The presence of rocks belonging to the Karpatian stage in the territory examined should be monitored by further complex studies of the overlying beds of coal seam I.

5. Badenian successions have been detected in the Tardona and Feketevölgy areas. Formations belonging to the B a d e n i a n are characterized by the grey, yellowish grey, slightly sandy clay-marl layers of the Lower Badenian substage (*Baden Clay Formation*). Its Foraminifera fauna is mainly composed of planktonic forms. Beside the floating forms, benthonic species are also present in the assemblage, in no significant number of specimens. Among the planktonic fossils, the forms *Orbulina universa* D'ORB. and *O. suturalis* BRONNIMAN appear for the first time, occurring in a large number together with *Globogaudrina dehiscens* CHAPM.—PARR—COLLINS, *G. altispira* CUSHM.—JARV. and *Globigerinoides triloba* (REUSS), determining the Early Badenian age of the assemblage. Among benthonic species, the presence of *Planularia auri* DEF. and *Coryphostoma sinuosa* CUSHM. is also restricted to this substage. The composition of the fauna is characteristic of a shallow-water, open-sea environment with normal salinity [boreholes Tardona 69 (298.00—180.00 m), T. 78 (303.00—243.00 m), and Sajógalgóć 10 (173.00—140.00 m)] (Table 11).

Table 9 — 9. táblázat

The Ottangian Foraminifera fauna of the East Borsod brown-coal basin
 A kelet-borsodi barnakőszén-medence ottangi Foraminifera faunája

Fauna	Dgy.		T.		Sg.		O.	Jf.	Sp.			
	1	2	3	4	5	6	7	8	9	10	11	12
<i>Ammomarginulina</i> sp.									+			
<i>Ammobaculites</i> sp.									○			
<i>Miliammina</i> sp.												
<i>Bathysiphon taurinensis</i> SACCO	●											
<i>Textularia abbreviata</i> D'ORBIGNY	+											+
<i>Robulus inornatus</i> (D'ORBIGNY)			+									
<i>Nodosaria crassa</i> HANTKEN					+							
<i>Nonion boueanum</i> (D'ORBIGNY)	+						+					+
<i>Nonion commune</i> (D'ORBIGNY)		+					+					+
<i>Nonion granosum</i> (D'ORBIGNY)	●	○		○	+		+					+
<i>Nonion granosum parvus</i> BOGDANOVICZ					+		+					+
<i>N. aff. graniferus</i> TERGU.												+
<i>Nonion tuberculatum</i> (D'ORBIGNY)	+	+	+									
<i>Elphidium minimum</i> SEGUENZA	○	+		+	+							+
<i>Elphidium minutum</i> (REUSS)	○	+										+
<i>Elphidium striatopunctatum</i> (FICHTEL—MOLL)					+							
<i>Plectofrondicularia diversicostata</i> (NEUGEBOREN)												
<i>Bulimina elongata</i> D'ORBIGNY						+						
<i>Virgulina schreibersiana</i> CŽJZEK												
<i>Bolivina scitula</i> HOFMANN	+											
<i>Bolivina crenulata</i> CUSHMAN	+											
<i>Bolivina punctata</i> D'ORBIGNY												
<i>Reussella spinulosa</i> (REUSS)	+		+									
<i>Rotalia beccarii</i> (LINNE)	●	○	+	+	+	+	+	+	+	+	+	+
<i>Rotalia simplex</i> (D'ORBIGNY)	+	○			+	+	+	+	+	+	+	+
<i>Globigerina ciperoensis ottangensis</i> RÖGL												+
<i>Globigerina praebulloides</i> BLOW												+
<i>Globigerinoides triloba</i> (REUSS)												+

Boreholes:

1. Diósgyőr 366/3, 50.40—279.00 m
2. Diósgyőr 367/13, 279.00—467.00 m
3. Tardona 66, 123.00—187.00 m
4. Tardona 69, 299.00—416.00 m
5. Sajógalgóc 10, 178.50—293.00 m
6. Sajógalgóc 22, 93.80—125.00 m
7. Ormosbánya 323, 81.00—87.00 m
8. Jákfalva 55, 31.70—91.80 m
9. Sajószentpéter 120, 42.50—283.00 m
10. Sajószentpéter 121, 46.00—302.00 m
11. Sajószentpéter 123, 121.00—251.00 m
12. Sajószentpéter 126, 126.00—231.00 m

+ = few — kevés, ○ = many — sok, ● = very frequent — tömeges.

Table 10 — 10. táblázat

The Karpatian? Foraminifera fauna of the East Borsod brown-coal basin
 A kelet-borsodi barnakőszén-medence kárpáti? Foraminifera faunája

Fauna	Diósgyőr 366. 198.00 m	Sajószentpéter 121. 46.00—47.00 m
<i>Bathysiphon taurinensis</i> SACCO	+	○
<i>Reussella spinulosa</i> (REUSS)	○	+
<i>Virgulina schreibersiana</i> CŽJZEK	○	○
<i>Nonion boueanum</i> (D'ORBIGNY)	○	+
<i>Nonion granosum</i> (D'ORBIGNY)	○	○
<i>Rotalia beccarii</i> (LINNE)	●	○

+ = few — kevés, ○ = many — sok, ● = very frequent — tömeges.

Table 11 — 11. táblázat

The Badenian Foraminifera fauna of the East Borsod brown-coal basin
 A kelet-borsodi barnakőszén-medence bádeni Foraminifera faunája

Fauna	Tardona		Sajógalgóc 10. 140.00—173.00 m	
	69. 180.00—298.00 m	78. 243.00—303.00 m		
	1	2	3	4
<i>Haplostiche rufa</i> (COSTA)			+	
<i>Spiroplectammina carinata</i> (D'ORBIGNY)	+			
<i>Spiroplectammina deperdita</i> (D'ORBIGNY)	+			
<i>Textularia abbreviata</i> D'ORBIGNY	+			
<i>Bigenerina agglutinans</i> D'ORBIGNY	+			
<i>Martinottiella communis</i> (D'ORBIGNY)	+	+		+
<i>Spirolucina tenuis</i> (CŽJŽEK)	+			+
<i>Sigmoilina celata</i> (COSTA)		+		
<i>Robulus calcar</i> (LINNE)				+
<i>Robulus clericii</i> (FORNASINI)	+			+
<i>Robulus cultratus</i> MONTFORT	○			+
<i>Robulus inornatus</i> (D'ORBIGNY)	+	+		+
<i>Robulus rotulatus</i> (LAMARCK)			+	
<i>Robulus vortex</i> (FICHTEL—MOLL)	+			
<i>Planularia auris</i> (DEFRANCE)	+			+
<i>Marginulina hirsuta</i> D'ORBIGNY	+			+
<i>Dentalina adolphina</i> D'ORBIGNY	+			+
<i>Dentalina approximata</i> (REUSS)	+			+
<i>Dentalina communis</i> D'ORBIGNY	+	+		+
<i>Dentalina consobrina</i> D'ORBIGNY	+			+
<i>Dentalina elegans</i> D'ORBIGNY	+			+
<i>Dentalina pauperata</i> D'ORBIGNY	○	○		○
<i>Dentalina soluta</i> REUSS				+
<i>Dentalina vertebralis</i> (BATSCH)	+			
<i>Nodosaria affinis</i> D'ORBIGNY				+
<i>Nodosaria longiscata</i> D'ORBIGNY	+			+
<i>Nodosaria pyrula</i> D'ORBIGNY				+
<i>Nodosaria scalaris</i> BATSCH			+	
<i>Frondicularia laevigata</i> KARRER				+
<i>Frondicularia vaughani</i> CUSHMAN	+			+
<i>Guttulina austriaca</i> D'ORBIGNY	+			+
<i>Guttulina problema</i> D'ORBIGNY	+			+
<i>Globulina gibba</i> D'ORBIGNY	+		+	+
<i>Dimorphina variabilis</i> (NEUGEBOREN)	+		+	+
<i>Pyrulina fusiformis</i> (ROEMER)	+		+	+
<i>Nonion bogueanum</i> (D'ORBIGNY)	○	+		+
<i>Nonion soldanii</i> (D'ORBIGNY)	+	+		+
<i>Elphidium macellum</i> (FICHTEL—MOLL)	+		+	
<i>Elphidium minimum</i> SEGUENZA	+		+	
<i>Plectofrondicularia diversicostata</i> (NEUG.)	+			+
<i>Bulimina buchiana</i> D'ORBIGNY	+		+	+
<i>Bulimina elongata</i> D'ORBIGNY	+			+
<i>Bulimina inflata</i> SEGUENZA	+			
<i>Bulimina pyrula</i> D'ORBIGNY	+			
<i>Entosolenia orbignyana</i> SEGUENZA	+			
<i>Virgulina schreibersiana</i> CŽJŽEK	+			+
<i>Bolivina arta</i> MACFADYEN	+			+
<i>Bolivina antiqua</i> D'ORBIGNY			+	
<i>Bolivina dilatata</i> REUSS	+			
<i>Bolivina fastigia</i> CUSHMAN	+			

Table 11 — 11. táblázat (2)

1	2	3	4
<i>Bolivina viennensis</i> MARKS			+
<i>Coryphostoma sinuosa</i> (CUSHMAN)	+		+
<i>Reussella spinulosa</i> (REUSS)	+		+
<i>Uvigerina macrocarinata</i> PAPP—TURNOVSKY	+		+
<i>Uvigerina pygmaea</i> PAPP—TURNOVSKY	+		+
<i>Uvigerina semiornata</i> D'ORBIGNY	+		
<i>Uvigerina urnula</i> D'ORBIGNY	+		
<i>Gyroidina soldanii</i> D'ORBIGNY	+	+	+
<i>Eponides haidingerii</i> (D'ORBIGNY)	+	+	+
<i>Rotalia beccarii</i> (LINNE)	+	+	+
<i>Siphonina reticulata</i> (CŽJŽEK)			+
<i>Cassidulina crassa</i> D'ORBIGNY	+		+
<i>Cassidulinoides bradyi</i> (NORMAN)	+		
<i>Ehrenbergina serrata</i> REUSS			+
<i>Pullenia bulloides</i> (D'ORBIGNY)	+		+
<i>Sphaeroidina bulloides</i> D'ORBIGNY	+		+
<i>Globigerina apertura</i> CUSHMAN	+		
<i>Globigerina bulloides</i> D'ORBIGNY	+		
<i>Globigerina concinna</i> REUSS	+		
<i>Globigerina falconensis</i> BLOW	+		
<i>Globigerina foliata</i> BOLLI	+		+
<i>Globigerina praebulloides</i> BLOW	+		
<i>Globigerina woodi</i> JENKINS	+		
<i>Globigerinoides sicanus</i> DI STEPHANI			+
<i>Globigerinoides triloba</i> (REUSS)	●	●	●
<i>Orbulina bilobata</i> (D'ORBIGNY)		+	+
<i>Orbulina suturalis</i> BRONNIMANN	○	+	○
<i>Orbulina universa</i> D'ORBIGNY	●	●	●
<i>Globoquadrina altispira</i> CUSHMAN—JARVIS		●	●
<i>Globoquadrina dehiscens</i> CHAPMAN—PARR—COLLINS		●	●
<i>Globoquadrina globosa</i> BOLLI		+	+
<i>Globorotalia mayeri</i> CUSHMAN—ELLISOR	○		○
<i>Globorotalia obesa</i> BOLLI			+
<i>Globorotalia scitula</i> (BRADY)	+	+	○
<i>Anomalina austriaca</i> D'ORBIGNY	+	+	+
<i>Planulina wuellerstorfi</i> SCHWAGER			+
<i>Cibicides dutemplei</i> (D'ORBIGNY)	○	+	+
<i>Cibicides ungerianus</i> (D'ORBIGNY)	+	○	+

+ = few — kevés, ○ = many — sok, ● = very frequent — tömeges

Table 12 — 12. táblázat

The Sarmatian Foraminifera fauna of the East Borsod brown-coal basin

A kelet-borsodi barnakőszén-medence szarmata
Foraminifera faunája

Fauna	Sajószentpéter 126. 20.00—43.00 m
<i>Nonion granosum</i> (D'ORBIGNY)	○
<i>Nonion commune</i> (D'ORBIGNY)	+
<i>Porosononion subgranosum</i> EGGER	●
<i>Elphidium flexuosum</i> (D'ORBIGNY)	○

+ = few — kevés, ○ = many — sok, ● = very frequent — tömeges.

6. Rocks of Sarmatian age were received for investigation from the Duzsnok area, where between 43.00 and 20.00 m in borehole Sajószentpéter 126 the rocks display the very frequent presence of *Porosononion subgranosum* EGGER, *Nonion granosum* (D'ORB.) and *Elphidium flexuosum* (D'ORB.) (Table 12).

PALEOGEOGRAPHICAL RELATIONS

The freshwater, brackish-water and shallow-water—marine deposits of the Eggenburgian stage (Felsőnyárád Formation) are known from the Feketevölgy area in the environs of Felsőnyárád, Ormosbánya, Kurittyán and Jákfalva. These have not yet been recorded from other territories of Hungary. Equivalents of this fauna can be found in Slovakia, in the Vág valley, near Trenčín and Nitra, and also in the Vienna Basin. From these territories, faunal associations similar to this assemblage have been described.

The Ottangian formations are much more widely spread than the Eggenburgian ones. The presence of Ottangian sediments has been verified in all the four research areas (Gyulakeszi Rhyolite Tuff Formation, Salgótarján Brown-Coal Formation). Apart from the territory examined, Ottangian formations were drilled—among others—in boreholes around Mátraverebély, Bélapátfalva, Buják and Bántapuszta, as well as in the Ottangian key section at Gyulakeszi, moreover in boreholes Lak 1 and Rákoskeresztúr 1. Further relations of the formations belonging to this stage can be traced in Austria, Southern Slovakia and in the Transylvanian Basin.

The Badenian stage is represented in the Tardona and Feketevölgy areas by Orbulina—Globoquadrina biofacies characteristic of the Lower Badenian Baden Clay Formation. This assemblage is widely distributed, marking a guide horizon in the Börzsöny Mts, in the environs of Sopron, in the SW Transdanubian Basin, in the Mecsek Mts, and around the localities Tengelic, Szilvásvarad and Bihar Nagybajom. The same formations have been described from the Vienna Basin, East and West Slovakia, N Transylvania, Rumania, Yugoslavia, NW Bulgaria and from the northern part of the Holy Cross Mts in Poland.

Formations belonging to the Sarmatian stage are present in the Duzsnok area. They can be found in similar facies in the Tokaj Mts, around Sopron and Budapest and in the Mecsek Mts as well. Its farther equivalents are found in the Vienna Basin, around Zagreb, in Rumania and in the Transcarpathian territory of the USSR.

PALEOECOLOGICAL CONCLUSIONS

The environmental circumstances and the development of the faunal assemblages are governed by several factors working together. The most important factors determining the life conditions of the Foraminifera are the depth of the sea, the temperature, salinity and ventilation of the sea water, and the quality of the sea-floor (Fig. 4).

The rocks of the Kiscellián Stage are rich in forms with agglutinated skeletons. The development of such assemblages is generally promoted by cold water. However, as the concerned faunal assemblages contain species with limy tests as well, we might consider the possibility of a shallow-water, warm, marine environment, occasionally influenced by cold currents. Most favourable for the development of the assemblages with agglutinated forms, is a water depth of about 90–100 metres. With the change of water temperature, however, a change in the chemical conditions of water is also brought about. In warm water the agglutinated tests are smaller than in a colder region. Reconstructing the conditions for the sedimentation of the Kiscellián Clay, we can suppose a sea depth of about 100 metres, with a normal salinity of 35‰ under a temperate climate.

In Eggenburgian time, the gradual change from marshy freshwater environment to brackish-water conditions led to the formation and distribution of species tolerating the fluctuation in salinity and temperature. These assemblages are generally dominated by the most frequent Rotaliae, the living conditions of which are secured by a sea depth of 0–30 metres, 15–30‰ salinity and by water not colder than 15 °C. Since these associations are persistent through the Ottangian, the pertaining rocks are presumed to have been formed under similar conditions of environment. Upon the presence of Nonion and Elphidium, 30‰ salt content and 30–50 m depth for the pre-existent sea is verifiable. The agglutinated assemblages developed in the sea-side lagoons during the Ottangian, with the very frequent and numerous occurrence of the genera Ammomarginulina, Ammobaculites and Miliammina, proving the existence of cold, shallow, disturbed water of low salinity.

In the warm, subtropical waters of the Badenian sea, rich Foraminifera assemblages existed. Higher temperatures have brought about the dominance of forms of larger stature. The effect of cold currents existing also in the Miocene sea has led to the appearance of agglutinated forms accumulating

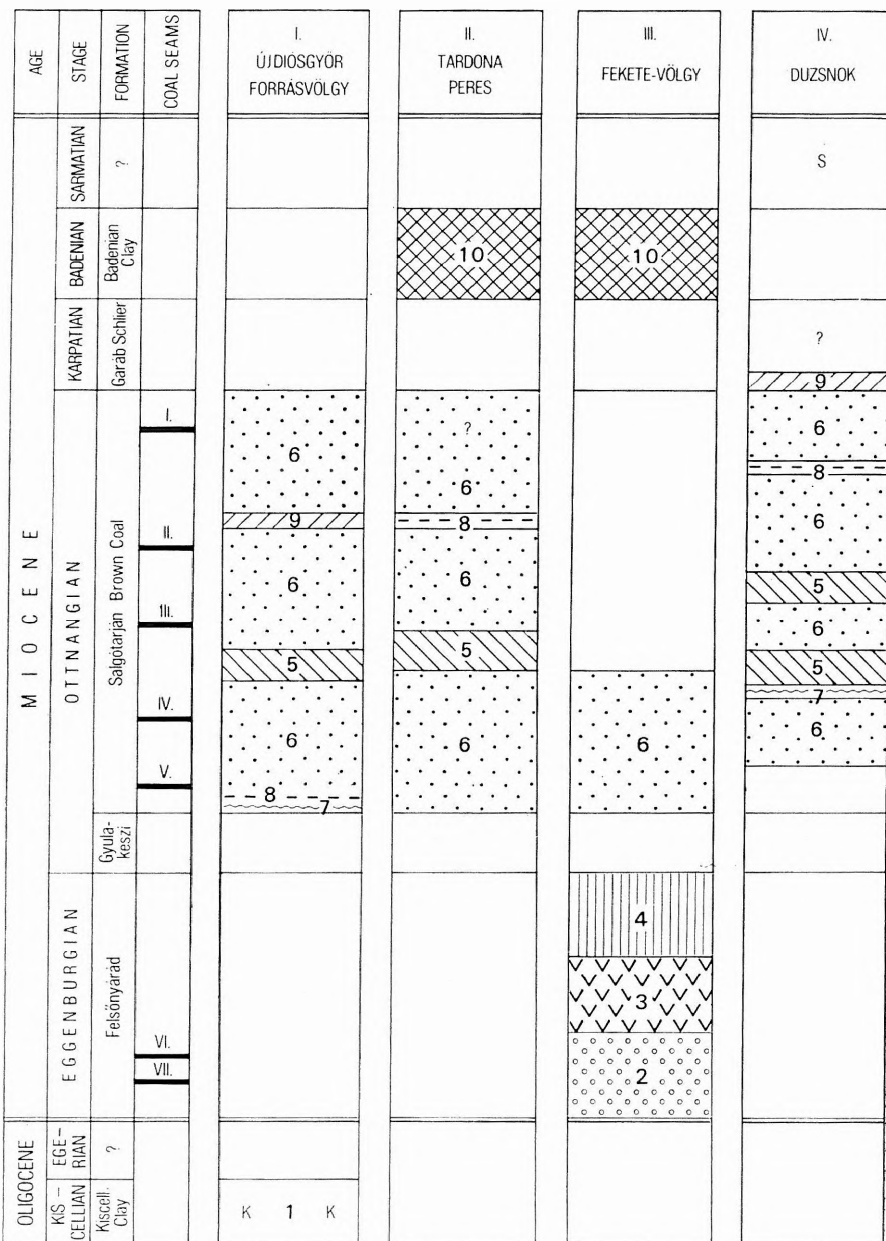


Fig. 4. Comparative stratigraphic columns of biofacies of the study area, based on Foraminifera assemblages

1. *Tritaxia szabói*, 2. sphaerosiderite concretions, 3. *Rotalia* sp. I., 4. *Bulimina elongata*, 5. *Rotalia beccarii*, 6. *Rotalia*—*Nonion*—*Elphidium*, 7. *Miliammina*—*Ammomarginulina*, 8. *Globigerina*, 9. *Bathysiphon taurinensis*, 10. *Orbulina*—*Globoquadrina*, S=Sarmatian

4. ábra. A kutatási területek biofáciéseinek összehasonlító szelvényei
Foraminifera együttesek alapján

at some places. The presence of the Lagenidae in the assemblage may indicate a water depth of 120–150 metres. Planktonic Foraminifera live largely in the upper zone of water, down to about 100 metres, because here the illumination of the water and, consequently, the quantity of feeding stuffs is highest. This zone contains large numbers of Diatom that serve as food for the planktonic fauna. According to certain observations, the planktonic organisms change the depth of their living in the course of their life. Some species, like *Orbulina universa*, breed in the deeper water horizons, and come to live nearer the surface only later. This change of position is reflected in the wall thickness of the test as well. Specimens living in deeper water have thinner, more fragile tests. As a consequence of their floating way of living, planktonic foraminifers can be drifted by the surfs and different currents quite close to the shore. Thus we may find planktonic species in rocks deposited in a quite shallow water.

SUMMARY

On the present study, the following conclusions from the examinations of biofacies of the brown coal sequence can be drawn:

In the Eggenburgian coal seams VI and VII as well as in their hanging wall and footwall no microfauna was found. Spherosiderite concretions, gained abundantly through a decantation of the loose rock material, however, are clear markers of the coal deposits. At the same time, they prove the freshwater, marshy origin of these seams. In the higher overlying strata of coal bed VI, a gradual change from freshwater environment to a "brackish" one, and later, to a marine environment, promoting the microfaunal life, can be experienced. In the brackish-water sediments, the species marked as *Rotalia* sp. I beside abundant *Rotalia beccarii* (L.) is found in great specimen number, characterizing the brackish-water biofacies of the Eggenburgian. These formations are overlain by the shallow-water marine Eggenburgian beds. The biofacies of these latter is defined by the species *Bulimina elongata* D'ORB., occurring together with *Rotalia* sp. I.

The lowermost Ottinian stage is represented by the product of volcanic activity, the Lower Rhyolite Tuff. The microfossils in these formations consist of siliceous skeletal elements (sponge spicules, diatoms). In the overlying beds of the rhyolite tuff in the Újdiósgyör-Forrásvölgy area, a brackish-water—marshy environment can be deduced from the presence of genera *Miliammina*—*Ammobaculites*—*Ammomarginulina* preferring cold, troubled waters of low salinity. In the Duzsnok area, similar assemblage is known above the IVth coal seam. The coal seams V—II indicate a brackish-water to shallow-water marine environment of deposition. The microfauna is characterized by the *Rotalia*—*Nonion*—*Elphidium* assemblage. Between the coal seams IV and III, and above the IIIrd coal bed, rocks of a very shallow, brackish-water facies are demonstrated, with water depth not exceeding 10 metres, and not colder than 15 °C, characterized by the abundant occurrence of *Rotalia beccarii* (L.). Normal-saline marine deposits are found in the strata resting on coal seams II and I. The microfauna here contains planktonic species as well, marking certain connections with the open sea. In the material, treated by decantation, skeletal elements and echinoid spines can be observed in great quantity, also proving a 36‰ salt content of the seawater.

The species *Bathysiphon taurinensis* SACCO present in this assemblage might be assigned to the Karpatian stage, thus we can suppose that the formation of coal seam I took place as early as the Karpatian time.

A KELET-BORSODI MEDENCE OTTNANGI KÉPZŐDMÉNYEINEK FORAMINIFERA VIZSGÁLATA

BEVEZETÉS

A borsodi barnakőszén-terület Foraminiferáinak megismerését, rétegtani értékelését a komplex vizsgálatokon alapuló barnakőszén-kutatások tették időszervű és szükségessé. A vizsgálatok 18 kutatófúrás 400 db mintájából készültek, melyek alapján oligocén, eggengburgi, ottangi, kárpáti?, alsó-bádeni és szarmata rétegeket lehetett elkülöníteni. A munka célja az egyes formációk Foraminiferáinak biosztratigráfiai értékelése és a képződmények pontos rétegtani besorolása volt. Ez sokszor nehézséget jelentett, mivel az azonos fáciesben megjelenő, azonos összetételű faunaegyüttesek bár-melyik emeletet jelölhették. Ilyenkor az eltérő litológiai jellegek, vagy az egyéb mikrofauna-elemek segítettek hozzá a probléma megoldásához. Természetesen még további kiterjedt vizsgálatokra lenne szükség a széntelepes összlet, a fekü és fedőképződmények Foraminifera faunájának teljes megismertetéséhez. A feldolgozott fúrások mikrofauna-vizsgálati eredményeit kutatási területenként ismertetem.

I. ÚJDIÓSGYŐR-FORRÁSVÖLGYI KUTATÁSI TERÜLET

A diósgyőri fúrások anyagvizsgálata az ott nangi barnakőszén-telepes összlet meddőinek Foraminifera feldolgozására irányult. Mivel ezekből a képződményekből korábban mikrofauna-feldolgozás nem készült, így ez új, ismeretlen anyagot szolgáltatott. A vizsgálatokból megállapítható, hogy a meddőnagy része csökkenés előtt áll, s e k é l y t e n g e r i k i f e j l ő d e s ū, mivel a Foraminifera faunában a csökkentsósvízre jellemző alakok dominálnak. A barnakőszén-telepes összleten belül végig megfigyelhetők az alsó riolittufa (Gyulakeszi Formáció) áthalmozott tufás üledékei (1. ábra), melyekben sok kovavázas szerves maradvány, Diatoma és szivacstű található. A terület (2. ábra) fúrásai közül a Diósgyőr 366/3. sz. fúrás 380,30–50,40 m és a 367/13. sz. fúrás 489,90–279,50 m közötti szakaszából készült mikrofauna-vizsgálat.

Diósgyőr Dgy. 366/3. sz. fúrás

A fúrás 380,30–375,00 m között az alsó riolittufát harántolta. A 375,00–367,00 m-es szakasz tufás rétegeiben kevés Foraminifera fordult elő [*Rotalia beccarii* (L.), *Nonion granosum* (D'ORB.)]. A 367,00 m-ból származó minta faunája tengeri lagúnát valószínűsít (*Miliammina* sp.). A fúrásban az V. barnakőszéntelep feküjéből ismert a leggazdagabb tengeri mikrofauna (365,00 m). A fauna összetétele a következő: *Bolivina crenulata* CUSHM., *Virgulina schreibersiana* Cžž., *Textularia abbreviata* D'ORB., *Nonion granosum* (D'ORB.), *N. tuberculatum* (D'ORB.), *Rotalia beccarii* (L.), *Coryphostoma sinuosa* (CUSHM.) (1. táblázat). A 0,75 m vastag V. barnakőszéntelep (357,05–356,30 m) fedőjében erősen tufás rétegek települnek, melyekben sok Diatoma és Radiolaria figyelhető meg. A Foraminifera faunára a *Rotalia beccarii* (L.), *R. simplex* (D'ORB.) és *Elphidium minimum* SEG. fajok jellemzők. A IV. barnakőszén-telep (332,80–329,70 m) közvetlen fedőjében a *Rotalia beccarii* (L.) és *Nonion granosum* (D'ORB.) fordult elő. 279,50–276,00 m-ben *Rotalia beccarii* (L.), *R. simplex* (D'ORB.), *Elphidium minimum* SEG. és *E. minutum* (REUSS) fajok találhatók. Felette 276,00–260,00 m között *Rotalia beccarii* (L.), *R. simplex* (D'ORB.) és *Nonion granosum* (D'ORB.) társulással jelentkezik a III/a telep (260,00–259,40 m) feküje. A III. (259,40–256,50 m) és III/a telep közötti meddő rétegekben csupán a *Rotalia beccarii* (L.) faj található tömegesen. Ugyanez figyelhető meg a III. és a II. telep között is (232,30–229,80 m). A II. telep közvetlen fedőjében nagyon kevés a mikrofauna, néhány *Rotalia beccarii* (L.) példány. 198,00 m-ben viszont ismét magasabb sótartalmú tengeri üledékek ismertek *Bathysiphon taurinensis* SACCO és *Reussella spinulosa* (REUSS) (VI. tábla), *Rotalia beccarii* (L.), *Nonion granosum* (D'ORB.) fajokkal. Az I/a telep (172,50–172,45 m) feküje ismét rotaliás–nonionos–elphidiumos társulással jelentkezik, mely a telep fedőjéből is kimutatható. Az I. telep (161,75–160,00 m) fedőjében (160,00–50,40 m) helyenként gazdagabb a mikrofauna. A Rotaliák, Nonionok, Elphidiumok mellett Bolivinák (VII. tábla) is előfordulnak az együttesben. Szivacstűk, Ostracodák, halmaradványok, Echinodermata tüskék és Mollusca maradványok találhatók a mikrofauna mellett. Általában a magasabb sótartalmú üledékekben minden megjelennek az Echinodermata maradványok.

A fúrás végig (380,30–50,40 m) ottnangi rétegeket tárt fel.

Diósgyőr Dgy. 367/13. sz. fúrás

A fúrás 467,90–279,50 m között harántolta az ottnangi széntelepes összletet, melynek mikrofaunája jól azonosítható a 366/3. sz. fúrás hasonló anyagával (2. táblázat).

489,90–486,00 m-ben a képződmények oligocén kiscelli agyagra jellemző mikrofaunát tartalmaznak. Az együttesben több példányban fordulnak elő a *Tritaxia szabói* (HANTK.), *T. haeringensis*

(CUSHM.), *Anomalina grosserugosa* GÜMB., *Dentalina zsigmondii* HANTK., *Almaena osnabrugensis* (ROEM.), *Uvigerina hantkeni* CUSHM., *Rhabdammina abyssorum* M. SARS, *Karreriella hantkeniana* CUSHM., *Bulimina truncana* GÜMB. fajok. A mikrofauna normál sótartalmú, sekélytengeri medencefáciest jelöl. A képződmény korát a *Karreriella hantkeniana* CUSHM. és *Tritaxia haeringensis* (CUSHM.) fajok egyértelműen az oligocén kiscelli emeletében rögzítik.

A korábban (1958) mélyített Miskolc 3. sz. fúrás 516,00—510,00 m közötti szakasza is hasonló oligocén foraminiferás képződményeket harántolt. Az 510,00—405,00 m közötti faunamentes üledékek felett (405,00—298,00 m) *Rotalia beccarii* (L.) és *Nonion granosum* (d'ORB.) fajokkal jellemzett ottangyi képződményeket tár fel a fúrás, melyek jól azonosíthatók a többi fúrás anyagával.

II. TARDONA—PERESI KUTATÁSI TERÜLET

A területen ottanginál idősebb miocén képződményeket nem ismerünk. Az ottangi emelet csökkentsóvízi üledékeit a II. és III. telep között 19 m vastagságban, a III. és IV. telep között 115 m vastagságban tárta fel a fúrások. A III. telep fedőjében és fekүjében csupán a *Rotalia beccarii* (L.) faj fordult elő a képződményekben. Általában a rotaliás—nonionos—elphidiumos társulással jellemzett fáciest az uralkodó.

Az ottangi emelet üledékeire 118 m vastag alsó-bádeni képződmények települnek, melyek Foraminifera faunája főleg plankton alakokból áll. A plankton fajok közül az *Orbulina universa* d'ORB., *O. suturalis* BRONNIMANN, *Globoquadrina dehiscens* CHAPM.—PARR—COLLINS, *G. altispira* (CUSHM.—JARV.), *Globigerinoides triloba* (REUSS) szerepelnek a legtöbb egyedszámmal az együttesben. A bentosz fajok közül a *Planularia auris* DEF., *Coryphostoma sinuosa* (CUSHM.), *Dentalina pauperata* d'ORB., *Uvigerina macrocarinata* PAPP—TURN., *U. pygmaea* PAPP—TURN. a legjellemzőbbek. A faunakép alapján meleg, sekélytengeri, medencefáciestre következtethetünk. A tömegesen fellépő plankton formák nyílttengeri kapcsolatra utalnak. Az alsó-bádeni orbulinás—globoquadrinás rétegek általánosan elterjedtek és vezető szintet jelölnek a Mecsek és Börzsöny hegységben, a DNY-dunántúli medencében, Sopron, Szilvásvárad és Bihar Nagybajom környékén.

A tardonai kutatási terület alsó-bádeni üledékeinek Foraminifera faunája, a fauna megtartási állapota, faj- és egyedgazdasága alapján az ország egyik legjobb alsó-bádeni mikrofauna-anyagának tekinthető.

Tardona T. 66. sz. fúrás

A fúrásban 187,00—168,00 m között a III. telep fedőjében az ottangi emelet csökkentsóvízi képződményei a nagy egyedszámban megjelenő *Rotalia beccarii* (L.) fajjal jellemzhetők. A Foraminiferák mellett a Mollusca fauna is tömegesen fordul elő ezekben a képződményekben. 123,00 m-ben a II. telep fedőjében normál sótartalmú, sekélytengeri üledékekkel tár fel a fúrás, melyek Foraminiferái a következők: *Reussella spinulosa* (REUSS), *Robulus inornatus* (d'ORB.), *Plectofrondicularia diversicostata* (NEUG.), *Nonion tuberculatum* (d'ORB.) és *Rotalia beccarii* (L.). A tengeri üledékekben minden jelen vannak az Echinodermata maradványok (tüskék és vázelemrészek) is.

Tardona T. 69. sz. fúrás

A IV. telep felett 416,00—303,20 m között az ottangi emelet rotaliás—nonionos—elphidiumos csökkentsóvízi üledékeit tárta fel a fúrás. Majd a III. telep fekүjében és közvetlen fedőjében (303,20—299,80 m) a *Rotalia beccarii* (L.) fajjal jelzett képződmények következnek.

298,70—180,00 m között alsó-bádeni tengeri, medencekifejlődésű homokos agyagmárga rétegekkel zárol a fúrás rétegsora. A gazdag Foraminifera társulásra a plankton formák dominanciája jellemző (3. táblázat), de nagyszámú bentosz faj is található az együttesben. A fauna optimális tengeri környezetben élhetett, amit a szépen díszített, nagyra nőtt Foraminifera házak is igazolnak.

Tardona T. 78. sz. fúrás

A fúrás 303,00—243,00 m-es szakasza tárta fel az alsó-bádeni Bádeni Agyag Formációba tartozó üledékekkel. A plankton és bentosz fajokban egyaránt gazdag Foraminifera együttes normál sótartalmú, sekély, melegtengeri környezetre utal.

III. FEKETEVÖLGY VI—VII. KUTATÁSI TERÜLET

A legváltozatosabb miocén rétegsort e terület fúrásainból állíthatjuk össze. Megtalálhatók itt az eggenburgi, ottangi és alsó-bádeni üledékek. Az e g g e n b u r g i képződmények nagyon változatos fácierekben jelennek meg a területen. Kimutatható egy mocsaras édesvízi, egy csökkentsósvízi és egy sekélytengeri fácierek. A m o c s a r a s é d e s v í z i fáciest az Ormosbánya 323., Jákfalva 55. és Felsőnyárad 296. sz. fúrások tárták fel. Ezekben a képződményekben mikrofauna nem fordult elő, mégis biztosan kimutatható ebben a szakaszban a VI. és VII. barnakőszéntelep, az iszapolási maradékban előforduló szferosziderit-konkréciók alapján. Ebben a fácierekben az iszapolási maradék nagyrészen, vagy teljes egészében vasas? konkréciókból áll és ez jelenik meg a VI. és VII. telepek fedőjében. A c s ö k k e n t s ó s v í z i fáciest az ormosbányai, kurittyáni és felsőnyárádi fúrásokból ismertük meg. A mikrofaunában a *Rotalia beccarii* (L.), *R. simplex* D'ORB. és *Nonion granosum* (D'ORB.) fajok mellett megjelenik a *Rotalia* sp. I.-nek nevezett forma, mely sem az oligocén, sem pedig az ottangi csökkentsósvízi együttesekben nem szerepel. A sekélytengeri fácierekben a Rotaliák (*Rotalia* sp. I. is) és *Nonion granosum* (D'ORB.) mellett megjelenik a *Bulimina elongata* faj, mely ugyan perzisztens forma, de ezekre a képződményekre a *Rotalia* sp. I. formával együtt jellemző. Ez a fácierek Felsőnyárad és Ormosbánya környékén fordul elő.

Az o t t n a n g i emelet csökkentsósvízi rotaliás—nonionos—elphidiumos társulása területünkön kis vastagságban Jákfalva, Ormosbánya és Sajógalgók környékén az V. széntelep fedőjéből mutatható ki.

A l s ó - b á d e n i képződményeket harántolt a Sajógalgók 10. sz. fúrás a területen. Az orbulínás—globoquadrinás plankton társulással és a lagenidás bentosz társulással jellemzhető sekélytengeri képződmények a tardonai kifejlődésekkel azonosíthatók.

Sajógalgók Sz. 10. sz. fúrás

A fúrás 295,00 m-ben az alsó riolittufában (Gyulakeszi Formáció) állt le. A két teleprésre különböző V. széntelep fekijében mikrofauna nem található, csupán szivacstűk fordultak elő a glaukonitos anyagban. A két teleprészt elválasztó meddőben és az V. telep fedőjében (270,00—265,00 m) csupán a *Rotalia beccarii* (L.) faj fordult elő nagyobb mennyiségen. A 265,00—259,00 m közötti szakaszban a rotaliás—nonionos—elphidiumos együttes jelentkezett nagyon kevés faunával (4. táblázat). 232,80 m-ben a csökkentsósvíznél magasabb sótartalmat igénylő faunaegyüttés jelenik meg Echinodermákkal, de ez csak pontszerű minta, egyetlen adat a rétegsorban. 219,00—198,00 m között (mely a IV. telepet is magában foglalja) a csökkentsósvízre jellemző rotaliás—nonionos társulás jelentkezik az anyagban a *Rotalia beccarii* (L.) faj túlsúlyával. 198,00—178,00 m-ben csupán a *Rotalia beccarii* (L.) faj fordult elő nagy egyedszámban. Recens irodalmi adatok alapján a *Rotalia beccarii* (L.) faj élettere a 0—10 m-es tengermélység, 15—30%-os sótartalom és 15 °C-nál nem hidegebb vízhőmérséklet. Feltételezhetjük, hogy itt ilyen adottságok mellett éltek nagy mennyiségen a faj.

173,80—140,00 m között a gazdag faunát tartalmazó alsó-bádeni üledékek mutathatók ki.

Sajógalgók Sz. 22. sz. fúrás

A fúrásból vizsgált 125,00—93,80 m-es szakasz az ottangi csökkentsósvízi rotaliás—nonionos faunával jellemzhető. A mintákban a *Rotalia beccarii* (L.) faj végig nagy mennyiségen található. 116,00 m-ben tömegesen jelenik meg.

Kurittyán Ku. 630. sz. fúrás

226,10—186,20 m közötti szakaszából, a VI. széntelep feletti részből készültek vizsgálatok. Foraminiferák csak a 208,90—207,40 m-es szakaszban találhatók. A fauna az eggenburgi csökkentsósvízi kifejlődést igazolja [*Rotalia beccarii* (L.), *Nonion boueanum* (D'ORB.), *Rotalia* sp. I.]. Az iszapolási anyagban sok piritszemcse figyelhető meg. A VI. telep közvetlen fedőjében itt csak sok vasas szemcse található.

Kurittyán Ku. 631. sz. fúrás

A fúrás 262,00—261,00 m-ből származó mintájában nagyon sok piritszemcse található. A faunában a *Rotalia beccarii* (L.) faj megjelenése tömeges. A *Rotalia* sp. I. sok példányban található. A képződmények a VI. telep fedőjében az eggenburgi emelet csökkentsósvízi lerakódásait képviselik.

Ormosbánya O. 322. sz. fúrás

A fúrás 266,20—247,30 m-es szakaszát az eggenburgi csökkentsósvízi rotaliás rétegek képviselik (*Rotalia* sp. I.). Ebben a szakaszban sok Mollusca maradvány és piritszemcse figyelhető meg. 246,00 m-ben a sok pirit és glaukonitszemcse mellett sok halmaradvány (pikkely, csigolya, úszótüske) található. 143,20—137,00 m között jelenik meg az eggenburgi emeletbe tartozó sekélytengeri kifejlődés anyaga, melyben a *Rotalia* sp. I. és *Bulimina elongata* d'ORB. fajok határozzák meg a faunatársulást (5. táblázat).

Ormosbánya O. 323. sz. fúrás

A fúrás 314,00—303,00 m közötti szakaszában, mely a VI. telepet is magában foglalja, a feküben és fedőben tömegesen megjelenő szferosziderit-konkréciók jelzik a széntelep édesvízi mocsári kifejlődését. A 241,00, 230,00 és 187,00 m-ből vett pontminták az eggenburgi sekélytengeri *Bulimina elongata*-s társulást rögzítik. A 156,00—136,00 m közötti szakasz ugyancsak sekélytengeri kifejlődést tárta fel.

Az V. telep fedőjében 85,00—81,00 m között az ottangi emelet csökkentsósvízi üledékeit a rotaliás—nonionos faunatársulás jelzi.

Felsőnyárád Fny. 296. sz. fúrás

A fúrás 275,60—271,70 m között a VII. telep fedőjében és 240,50—239,70 m között a VI. telep fedőjében tárta fel az édesvízi szferosziderit-konkréciókat tartalmazó üledékeket. 205,00—203,00 m és 188,00 m-ben az eggenburgi emeletbe tartozó csökkentsósvízi képződmények mutathatók ki rotaliás faunatársulással. A 146,00—143,00 m-es szakasz sekélytengeri *Bulimina elongata*-s együttest tartalmazott.

Felsőnyárád Fny. 300. sz. fúrás

A fúrás 155,00—153,00 m közötti szakasza az eggenburgi csökkentsósvízi rotaliás rétegeket tárta fel. Csak az összlet felső szakaszán jelennek meg a *Rotalia* sp. I. és *Rotalia beccarii* (L.) példányai nagyobb egyedszámban, egyébként a mikrofaunát kevés, töredézetű Foraminifera képviseli.

Felsőnyárád Fny. 301. sz. fúrás

A fúrásban 203,00—162,00 m között mutatható ki az eggenburgi csökkentsósvízi rotaliás összlet. Az összleten belül a *Rotalia beccarii* (L.) és *Rotalia* sp. I. változó egyedszámban szerepel. 157,00—146,00 m között már sekélytengeri az üledék, amit a Foraminiferákon kívül az Echinodermaták jelenléte is igazol.

Az ormosbányai és felsőnyárádi fúrásokból jól kitűnik, hogy az eggenburgi édesvízi, csökkentsósvízi és sekélytengeri fáciestek egymás felett a VI. és V. telep közötti szakaszon mutathatók ki. Az V. telep fedőjében már ottangi csökkentsósvízi üledékek települnek (Ormosbánya 323. sz. f.).

Jákfalva Jf. 55. sz. fúrás

A fúrásban az eggenburgi édesvízi szferosziderit-konkréciós képződmények 335,00—321,00 m között, a VII. és VI. telepek között mutathatók ki, majd 298,00—293,00 m között a VI. telep fedőjében ismét megjelennek. A VII. és VI. széntelepek anyagát mocsári növények, fák szolgáltatták. Helyenként a növények gyökerei is megfigyelhetők az iszapolási maradékban, mint szenesedett növényi szálak. A 278,00—125,40 m-ig terjedő szakaszban (a VI. és V. telep között) végig tufás üledékek mutathatók ki, melyekben kovaszivacstükön kívül más szerves maradvány nem található.

91,80—31,70 m között az ottangi emeletbe tartozó csökkentsósvízi kifejlődések következnek az V. telep fedőjében, rotaliás—nonionos faunatársulásokkal.

A vizsgálati eredményekből kitűnik, hogy a VII. és VI. széntelepek képződési ideje az eggenburgi emeletben, az V—I. telepeké pedig az ottangi emeletben határozható meg.

IV. DUZSNOKI (SAJÓSZENTPÉTERI) KUTATÁSI TERÜLET

A terület földtani felépítésében ottnangi, kárpáti? és szarmata rétegek vesznek részt. A széntelepek közül az I. és II. telep az egész területen kifejlődött a nagyon kis vastagságú III. teleppel együtt. A IV. telep csak a terület Ny-i részén jelentősebb, míg az V. telep a terület nagy részén hiányzik. Az ottanagi emeletbe tartozó csökkentsósvízi üledékek a rotaliás—nonionos—elphidiumos faunával jellemzőek. A rétegsorban kis vastagságban normál sótartalmú, sekélytengeri lerakódások is ki-mutathatók, melyek faunatársulásaiban a *Globigerinoides triloba* (REUSS), *Globigerina praebulloides* BLOW és *G. ciperoensis ottnangensis* RÖGL fajok is jelen vannak. A IV. telep közvetlen fedőjében tengerparti lagúnában élő faunaegyüttet ismeretes *Miliammina* sp., *Ammomarginulina* sp., *Ammobaculites* sp. és *Rotalia beccarii* (L.) fajokkal. A *R. beccarii* (L.) jelenléte az együttesben csökkentsósvízi környezetet igazol, legalább 15%-os sótartalommal és 15 °C-nál nem hidegebb vízhőmérséklettel. Az I. telep felett a csökkentsósvízi, *R. beccarii* (L.) fajt nagy mennyiségen tartalmazó, majd rotaliás—nonionos társulással jellemző üledékek fölött tengeri rétegek következnek, melyek faunaegyüttetében a Rotaliák és Nonionok mellett megjelenik a *Bathysiphon taurinensis* SACCO faj több példányban. Ezek a tengeri kifejlődések lehetnek a területen a kárpati? képződmények. Több, behatóbb vizsgálatra lenne szükség az I. telep felett a képződményekből, hogy a kérdést egyértelműen tisztázni lehessen. A szarmata emelet képződményeit a *Porosononion subgranosum* EGGER tömeges, a *Nonion granosum* (d'ORB.) és *Elphidium flexuosum* (d'ORB.) fajok nagyszámú előfordulása jellemzi.

Sajószentpéter Sp. 120. sz. fúrás

A fúrás 283,00—282,00 m-ben ottnangi csökkentsósvízi üledékeket harántolt. 266,00 m-ben a IV. telep felett tengerparti lagúna fáciest mutatható ki *Rotalia beccarii* (L.), *Miliammina* sp., *Ammomarginulina* sp. és *Ammobaculites* sp. jelenlétével. Erre következnek a *Rotalia beccarii* (L.) tartalmú üledékek, melyek a IV. és I. telepek felett is megtalálhatók. A rétegsorban többször előfordulnak a rotaliás—nonionos faunával jellemzett kifejlődések. 86,00—84,00 m-ben tengeri fáciest a Rotaliák és Nonionok mellett megjelennek a *Globigerina praebulloides* BLOW, *G. ciperoensis ottnangensis* RÖGL. (VIII. tábla), *Globigerinoides triloba* (REUSS) fajok. Az I. telep fedőjében a csökkentsósvízi rotaliás—nonionos fáciest felett ismét tengeri üledékek következnek, melyben a Rotaliák és Nonionok mellett a *Bathysiphon taurinensis* SACCO faj jellemző (59,00—54,00 m). 54,00—42,50 m-ig rotaliás—nonionos faunával továbbra is tengeri fáciestű rétegek zárják a fúrás rétegsorát (6. táblázat).

A fúrásban előforduló bathysiphonos üledékek már a kárpáti emelet? slír fáciestű üledékeinek alsó, legidősebb szakaszát jelölhetnék. Ez a társulás az Sp. 121. sz. fúrás 46,00 m-ból vizsgált mintájában szintén az I. telep fedőjéből származik, míg a Diósgyőr 366. sz. fúrásban az I. és II. telepek között mutatható ki. Feltehető az is, hogy ez a bathysiphonos kifejlődés az ottnangi tengeri fáciestű globigerinás rétegek partközelebbi megfelelője.

Sajószentpéter Sp. 121. sz. fúrás

A fúrás 302,00—142,00 m közötti szakaszában a rotaliás—nonionos kifejlődés ismert. 47,00—46,00 m között harántolta a fúrás a bathysiphonos képződményeket, melyek jól azonosíthatók a Sp. 120. sz. fúrás hasonló rétegeivel.

Sajószentpéter Sp. 123. sz. fúrás

A fúrásban 251,00—186,00 m között, majd a 170,00 és 121,00 m-es pontmintában mutatható ki a csökkentsósvízi rotaliás—nonionos fáciest.

Sajószentpéter Sp. 126. sz. fúrás

A fúrás anyagvizsgálata még folyamatban van, ezért csak vázlatos értékelésre van lehetőség. A fúrás nagy részében az ottnangi csökkentsósvízi rotaliás—nonionos rétegek ismertek (7. táblázat). Az I/a telep alatt 231,00 m-ben ismét megjelenik a globigerinás tengeri fáciestű üledék.

43,00—20,00 m között szarmata lerakódások mutathatók ki a *Porosononion subgranosum* EGGER tömeges, a *Nonion granosum* (d'ORB.) és *Elphidium flexuosum* (d'ORB.) nagyszámú megjelenésével.

RÉTEGTANI ÉRTÉKELÉS

A vizsgált kutatási területeken [I. Újdiósgyőr-Forrásvölgy, II. Tardona—Peres, III. Fekete-völgy VI—VII., IV. Duzsnok (Sajószentpéter)] kiscelli, eggenburgi, ottnangi, kárpáti? alsó-bádeni és szarmata képződményeket tudtunk mikrofaunisztikai vizsgálatok alapján kimutatni (3a—c ábra).

1. Az o l i g o c é n k i s c e l l i emeletébe tartozó gazdag foraminiferás üledékek a *Kiscelli Agyag Formáció* tengeri, medencefáciest jelzik. Ezek a kifejlődések az újdiósgyőr-forrásvölgyi területen mutathatók ki. A Foraminifera együttes leggyakoribb alakjai: az *Uvigerina hantkeni* CUSHM.—EDW., *Tritaxia szabói* (HANTK.), *Rhabdammina abyssorum* M. SARS, *Karreriella hantkeniana* CUSHM., *Dentalina zsigmondyi* HANTK., *Anomalina grosserugosa* (GÜMB.), *Almaena osnabrugensis* (ROEM.), *Cibicides dutemplei* (D'ORB.).

2. A terület leg idősebb miocén e g g e n b u r g i képződményei igen változatos fáciesekben jelennek meg. Kimutatható egy mocsaras édesvízi, egy csökkentsósvízi és egy sekélytengeri fáciest. Ezek a kifejlődések a feketevölgyi kutatási területen váltak ismertté (*Felsőnyáradi Formáció*).

A m o c s a r a s é d e s v í z i fáciest a Jákfalva 55. sz. fúrás 335,00—293,00 m-es, az Ormosbánya 323. sz. fúrás 314,00—303,00 m-es és a Felsőnyáradi 296. sz. fúrás 275,60—239,70 m-es szakasza tárta fel. Ezekben a képződményekben mikrofauna nem fordult elő, mégis az iszapolási maradékban tömegesen található szfersziderit-konkréciók biztos jelzői a VI. és VII. telepeknek.

A c s ö k k e n t s ó s v í z i fáciest, melynek mikrofauna-együttessel a *Rotalia beccarii* (L.), *R. simplex* D'ORB., *Nonion granosum* (D'ORB.) fajok mellett a *Rotalia* sp. I.-nek jelölt faunával jellemezhetjük, a Felsőnyáradi 300. sz. fúrás 155,50—153,00 m, Fny. 301. sz. fúrás 203,30—162,10 m, Fny. 296. sz. fúrás 205,00—203,00 m, Kurittyán 630. sz. fúrás 226,10—186,20 m, Ku. 631. sz. fúrás 262,00—261,00 m, és Ormosbánya 322. sz. fúrás 266,00—247,30 m-es szakasza tárta fel. Szlovákiában a ČC 3. sz. fúrásban is ismert ez a csökkentsósvízi fáciest, melyben valószínűleg a mi *Rotalia* sp. I.-nek nevezett fajainkat *Ammonia ex gr. beccarii* néven említik. Ennek a Rotaliákat—Nonionokat tartalmazó biofáciesteknek eggenburgi korát a *Rotalia* sp. I. faj bizonyítja.

A s e k é l y t e n g e r i fáciest mikrofaunájában a Rotaliák és Nonionok mellett megjelenik a *Bulimina elongata* D'ORB. faj, mely ugyan perziszten forma, de ezekre a képződményekre a *Rotalia* sp. I.-gyel együtt jellemző. Ezt a biofáciest tárta fel a Felsőnyáradi 301. sz. fúrás 157,00—146,00 m, Fny. 296. sz. fúrás 146,00—143,00 m, Ormosbánya 322. sz. fúrás 143,00—137,00 m és Ormosbánya 323. sz. fúrás 156,00—136,00 m-es szakasza (8. táblázat).

3. Az o t t n a n g i emelet kezdő tagjának (*Gyulakeszi Riolittufa Formáció*) kristályos, erősen tufás képződményeiben Foraminiferák nem találhatók, viszont a kovavázas szerves maradványok (szivacstűk, Diatomák és Radiolariák) feldúsulása jellemző. A barnakőszéntelepeket (I—V.) is magukba foglaló ottnangi képződmények nagyrésze csökkentsósvízi, sekélytengeri kifejlődésű, mely minden a négy kutatási területen kimutatható (*Salgótarjáni Barnakőszén Formáció*).

A c s ö k k e n t s ó s v í z i lerakódások Foraminifera faunáját Rotaliák—Nonionok és Elphidiumok jellemzik. A széntelepek fedőjében sokszor csak a *Rotalia beccarii* (L.) faj található az üledékekben, változó mennyiségen. Ismert még az összetlen belül a IV. és V. telepek közelében egy primitív agglutinált házú alakokból álló együttes, melyek létfeltételeiket a mocsaras, lefűződött tengerparti lajúnak a találják meg. Ezeknek a fajoknak (*Miliammina* sp., *Ammobaculites* sp., *Ammomarginulina* sp.) korjelző értékük nincsen, csupán fáciest jelölnek. Mivel itt a *Rotalia beccarii* (L.) faj is jelen van az együttesben, feltételezhetjük, hogy 15%-os sótartalmú, 12—15 °C-nál nem hidegebb hőmérsékletű vízben élhettek. A csökkentsósvízi üledékek között helyenként (diósgyőri, duzsnoki, tardonai terület) normál sótartalmú, tengeri rétegek is megfigyelhetők. A mikrofaunában jelen levő plankton fajok, a *Globigerina ciperoensis ottnangensis* RÖGL, *G. praebulloides* BLOW, *Globigerinoides triloba* (REUSS) az ottnangi emeletet jelzik (9. táblázat).

4. Az I. telep fedőjében (duzsnoki terület) és az I—II. telep között (diósgyőri terület) egy szintén tengeri kifejlődésű szakasz ismert a *Bathygiphon taurinensis* SACCO faj megjelenésével (10. táblázat). A faj az eggenburgi emelettől a kárpáti slír alsó szakaszáig ismert. Ezért ezt a tengeri kifejlődést

— az I. telep feletti helyzetét is mérlegelve — a kárpáti? emeletbe soroltuk. Mivel azonban a diósgyőri területen ez a kifejlődés az I. és II. telep között is előfordul, feltételezhetjük, hogy ez a tengeri fáciest is ottangi korú. Annak tisztázásához, hogy a vizsgált területen jelen vannak-e a kárpáti emelet üledékei, még több komplex vizsgálaton alapuló értékelésre lenne szükség az I. telep fedőképződményeiből.

5. A bádeni emelet üledékeit a tardonai és feketevölgyi területről tudtuk kimutatni. A bádeni emelet képződményeit az alsó-bádeni alemelletbe tartozó szürke, sárgásszürke, kissé homokos agyagmárga rétegek jellemzik (*Bádeni Agyag Formáció*). Foraminifera faunája főleg plankton alakokból áll. A lebegő formák mellett bentosz fajok is szerepelnek az együttesben, de egyedszámuk nem jelentős. A plankton fajok közül itt jelennek meg először az *Orbulina universa* d'ORB. és *O. suturalis* BRONNIMANN fajok, melyek a *Globoquadrina dehiscens* CHAPM.—PARR—COLLINS, *G. altispira* CUSHM.—JARV. és *Globigerinoides triloba* (REUSS) fajokkal nagy egyedszámban szerepelnek az együttesben és meghatározzák azok alsó-bádeni korát. A bentosz fajok közül a *Planularia auris* DEF.R. és *Coryphostoma sinuosa* CUSHM. jelenléte is erre az alemeletre korlátozódik. Faunakép alapján ezek a képződmények normál sótartalmú, sekély, nyílttengeri lerakódások (Tardona 69. sz. fúrás 298,00—180,00 m, T. 78. sz. fúrás 303,00—243,00 m, Sajógalgó 10. sz. fúrás 173,00—140,00 m) (11. táblázat).

6. A szarmata emelet képződményeit a duzsnoki területről határoztuk meg, ahol a Sajó-szentpéter 126. sz. fúrás 43,00—20,00 m-es szakaszából *Porosononion subgranosum* EGGER, *Nonion granosum* (d'ORB.) és *Elphidium flexuosum* (d'ORB.) fajok nagyszámú előfordulása jellemzte az üledéket (12. táblázat).

ŐSFÖLDRAJZI KAPCSOLATOK

Az egenburgi emelet édesvízi, csökkentsósvízi és sekélytengeri kifejlődéseit (Felsőnyárádi Formáció) a feketevölgyi területről Felsőnyárád, Ormosbánya, Kurityán, Jákfalva környékéről ismerjük. Ezeket a kifejlődéseket hazánkban ezideig nem sikerült más területről kimutatni. A fauna távolabbi kapcsolata a szlovákiai Vág völgyi, trencséni és felsőnyitrai, valamint a bécsi-medencei együttesekkel mutatható ki, ahol a mi faunánkkal megegyező jellegzetes asszociációk ismertek.

Az ottangyi emelet képződményeinek elterjedése jóval nagyobb területre jellemző, mint az eggenburgi üledékeké. Mind a négy kutatási területen: Újdiósgyőr, Tardona, Feketevölgy és Duzsnok, kimutathatók az ottangi üledékek (Gyulakeszi Riolittufa Formáció, Salgótárjáni Barnakőszén Formáció). A jelenleg vizsgált területen kívül — többek között — Mátraverebély, Bélápátfalva, Buják és Bántapuszta környéki fúrások, a Lak 1. sz. fúrás a gyulakeszi ottangi alapszelvény és a Rákoskeresztúr 1. sz. fúrás tár fel ottangi képződményeket. Az emelet képződményeinek távolabbi kapcsolata Ausztriában, Dél-Szlovákiában és az Erdélyi-medencében nyomozható.

A bádeni emelet képződményeit az alsó-bádeni alemelletbe tartozó Bádeni Agyag Formáció Orbulinás-globoquadrinás biotársulása képviseli a tardonai és feketevölgyi területen. Ez a kifejlődés általában elterjedt és vezető szintet jelöl a Börzsöny hegységben, Sopron környékén, a DNy-dunántúli medencében, a Mecsek hegységben, Tengelic, Szilvásvárad és Bihar Nagybajom környékén. Kimutathatók ezek a képződmények a Bécsi-medencében, K- és Ny-Szlovákiában, É-Erdélyben, Romániában, Jugoszláviában, ÉNy-Bulgáriában és Legyelországban a Szentkereszt-hegység É-i részén.

A szarmata emelet képződményeit a duzsnoki területről ismertük meg. Azonos fáciestben a Tokaj-hegységben, Sopron környékén, Budapest környékén és a Mecsek hegységben található. Távolabbi kapcsolata a Bécsi-medencében, Zágráb környékén, Romániában és a kárpátaljai területen nyomozható.

PALEOÖKOLÓGIAI KÖVETKEZTETÉSEK

A környezeti viszonyokat, a faunaegyüttesek kialakulását több tényező együttes hatása befolyásolja. A Foraminiferák életfeltételeit meghatározó legfontosabb tényezők közül a tengervíz mélységét, hőfokát, sótartalmát, szellőzöttségét, az aljzat minőségét említhetjük (4. ábra).

A kiscelli emelet üledékeiben nagyszámú agglutinált házú forma ismert. Ezeknek az együtteseknek kialakulására általában az alacsony hőmérsékletű vizek alkalmasak. Mivel területünkön az együttesben meszes házú fajok is találhatók, sekély melegtengeri környezetet kell feltételeznünk, amit csak időnként érhettek hideg áramlatok. Az agglutinált házú együttesek kialakulására a 90—100 m-es tengermélység a legkedvezőbb. A hőmérséklet változása a víz kemizmusának a változását is jelenti. A magasabb hőmérséklet hatására az agglutinált házak kisebb termetűek, mint a hidegebb régiókban. A kiscelli agyag lerakódása idején tehát a tengervíz mélysége 100 m körüli lehetett, normál 35%-os sótartalommal, a mérsékelt övihez hasonló hőmérsékettel.

Az egenburgi emelet mocsaras, édesvízi környezetből fokozatosan kialakuló csökkentsósvízi környezet már lehetőséget nyújtott a hőmérséklet és sótartalom ingadozását türelmező fajok kialakulásához, elszaporodásához. Ezekben a faunaegyüttesekben legnagyobb egyedszámban a Rotalia-

félék szerepelnek, melyek létfeltételeit 0–30 m-es mélység, 15–30‰-es sótartalom és 15 °C-nál nem hidegebb víz biztosítja. Mivel ezek a társulások az otnangi emeletben is végig kísérhetők, hasonló környezetet tételezhettünk fel. A Nonionok és Elphidiumok jelenléte az együttesben a 30‰-es sótartalmat és 30–50 m-es mélységet valószínűsít. Az otnangi emelet tengerparti lagúnáiban ki-alakult agglutinált házú együttesek az Ammomarginulina, Ammobaculites es Miliammina nemzetiségek tömeges előfordulásával kismélységű, zavaros vizű, alacsony hőmérsékletű és sótartalmú környezetet igazolnak.

A bádeni tenger meleg, szubtrópusi vizeiben gazdag Foraminifera együttesek alakultak ki. A magasabb hőmérsékletű vizekben a nagyobb termetű formák dominálnak. A hideg áramlatok hatása a miocén tengerben is érvényesül, amit a helyenként felszaporodó agglutinált fauna igazol. A Lagenidaek jelenléte az együttesben 120–150 m-es mélységet tételez fel. A plankton Foraminiferák legnagyobb tömegben a felső vízrétegekben élnek kb. 100 m mélységgel terjedő szakaszban, mivel a víz megvilágítottsága és ezzel összefüggésben a táplálékanyag mennyisége itt a legnagyobb. Ebben a szakaszban ugyanis nagy mennyiségben találhatók a Diatomák és ezek biztosítják a planktonok táplálékszükségletét. Megfigyelések szerint a planktonok fejlődésük során változtatják a mélységet, melyben élnek. Egyes fajok (pl. *Orbulina universa*) a mélyebb vizekben szaporodnak és csak később élnek a felszín közelében. Ez a helyváltoztatás a ház falának vastagságában is észlelhető. A mélyebb vízi példányok házfala vékonyabb, törékenyebb. Mivel a plankton Foraminiferák lebegve élő szervezetek, a hullámverés és különböző áramlások a partok közelébe sodorhatják őket és ezért találunk egészen sekélyvizű üledékekben is plankton fajokat.

ÖSSZEFoglalás

A vizsgálatok eredményeként a barnakőszéntelepes összlet biofáciéseiről a következőket állapíthatjuk meg:

Az eggenburgi emeletbe sorolható VI. és VII. telepek feküpében és fedőjében mikrofauna nem fordul elő, de az iszapolási maradékban tömegesen megjelenő szferosziderit-konkréciók biztos jelzői a telepeknek. Egyben igazolják a telepek édesvízi, mocsári kifejlődését. A VI. telep magasabb fedőjében az édesvízi környezetet csökkentsósvízi, majd tengeri biotóp váltja fel, mely már kedvezett a mikrofauna kialakulásának. A csökkentsósvízi lerakódásokban a *Rotalia beccarii* (L.) tömeges megjelenése mellett a *Rotalia* sp. I.-nek jelölt faj sok példányban található, mely az eggenburgi csökkentsósvízi biofáciest jelzője. Ezekre az üledékekre települnek a sekélytengeri eggenburgi képződmények, melyekben a biofáciest a *Bulimina elongata* d'ORB. faj megjelenése határozza meg a *Rotalia* sp. I. fajjal együtt.

Az ottan a n g i emelet kezdetét a vulkáni tevékenység terméke, az alsó riolittufa jelzi. Ezekben a képződményekben a mikrofaunát kovavázas szerves maradványok (szivacstűk, Diatomák) alkotják. A riolittufa fedőjében a diósgyőr-forrásvölgyi területen mocsaras, csökkentsósvízi környezetben a *Miliammina*—*Ammobaculites*—*Ammomarginulina* nemzetseg fajai mutathatók ki, melyek zavaros, alacsony hőmérsékletű és sótartalmú vizekben találják meg létfeltételeiket. A duzsnoki területen hasonló kifejlődés ismert a IV. telep fedőjében. Az V—II. telepek csökkentsósvízi, sekélytengeri környezetben találhatók. A mikrofaunát rotaliás—nonionos—elphidiumos társulás jellemzi. A IV. és III. telepek között és a III. telep fedőjében kimutatható egy sekély, 10 m-nél nem mélyebb és 15 °C-nál nem hidegebb csökkentsósvízi fáciest, melyben a *Rotalia beccarii* (L.) faj tömeges előfordulása jellemző. Normál sótartalmú üledékek a II. és I. telepek fedőjében mutathatók ki. A mikrofaunában plankton fajok is szerepelnek, melyek a nyílttengerrel való kapcsolatot jelzik. Az iszapolási maradékban sok Echinodermata tüske és vázelemrész is megfigyelhető, melyek szintén igazolják a tengervíz 36%-os sótartalmát.

A faunaegyüttesben jelenlevő *Bathysiphon taurinensis* SACCO faja a kárpáti emeletet jelölheti és így feltételezhetjük, hogy az I. telep képződési ideje már a kárpáti emeletben volt.

REFERENCES — IRODALOM

- CUSHMAN J. A. 1939: A monograph of the foraminiferal family Nonionidae. — US Geol. Surv. Prof. Paper. 191: 1—69.
- ELLIS B. F.—MESSINA A. R. 1940—1960: Catalogue of Foraminifera. — Amer. Mus. Nat. Hist. New York: 1—45.
- GHEORGHIAN M. 1971: Sur quelques affleurements de dépôts ottnangiens de Roumanie et sur leur contenu microfaunique. — Mém. Ét. Micropal. 14: 103—125. Bucureşti.
- MAJZON L. 1966: Foraminifera vizsgálatok. — Akad. Kiadó, Budapest.
- PAPP A.—RÖGL F.—SENEŠ J. 1973: Chronostratigraphie und Neostratotypen. Miozän der Zentralen Paratethys. III. Ottnangien. — VEDA Verlang Slow. Akad. Wiss.: 1—841. Bratislava.

PLATES
FÉNYKÉPTÁBLÁK

Plate I — I. tábla

Ottnangian

Nonion granosum (D'ORBIGNY)

1. Total view — Totálkép 220×
2. Surface pores — Felületi pörusok 2200×

Nonion aff. graniferus TERQU.

3. Total view — Totálkép 200×
4. Ornamented surface of the umbilical side — A köldöki rész díszített felülete 400×
5. Detail of the surface — Felületrészlet 3000×
6. Detail of the surface with pores — Felületrészlet a pörusokkal 1000×

1—6: Borehole Sajószentpéter 120, 74.00—75.00 m, 84.00—86.00 m

SEMs

Photos on Plates I—VIII by Ms. I. LAKY and Ms. B. TAKÁCS

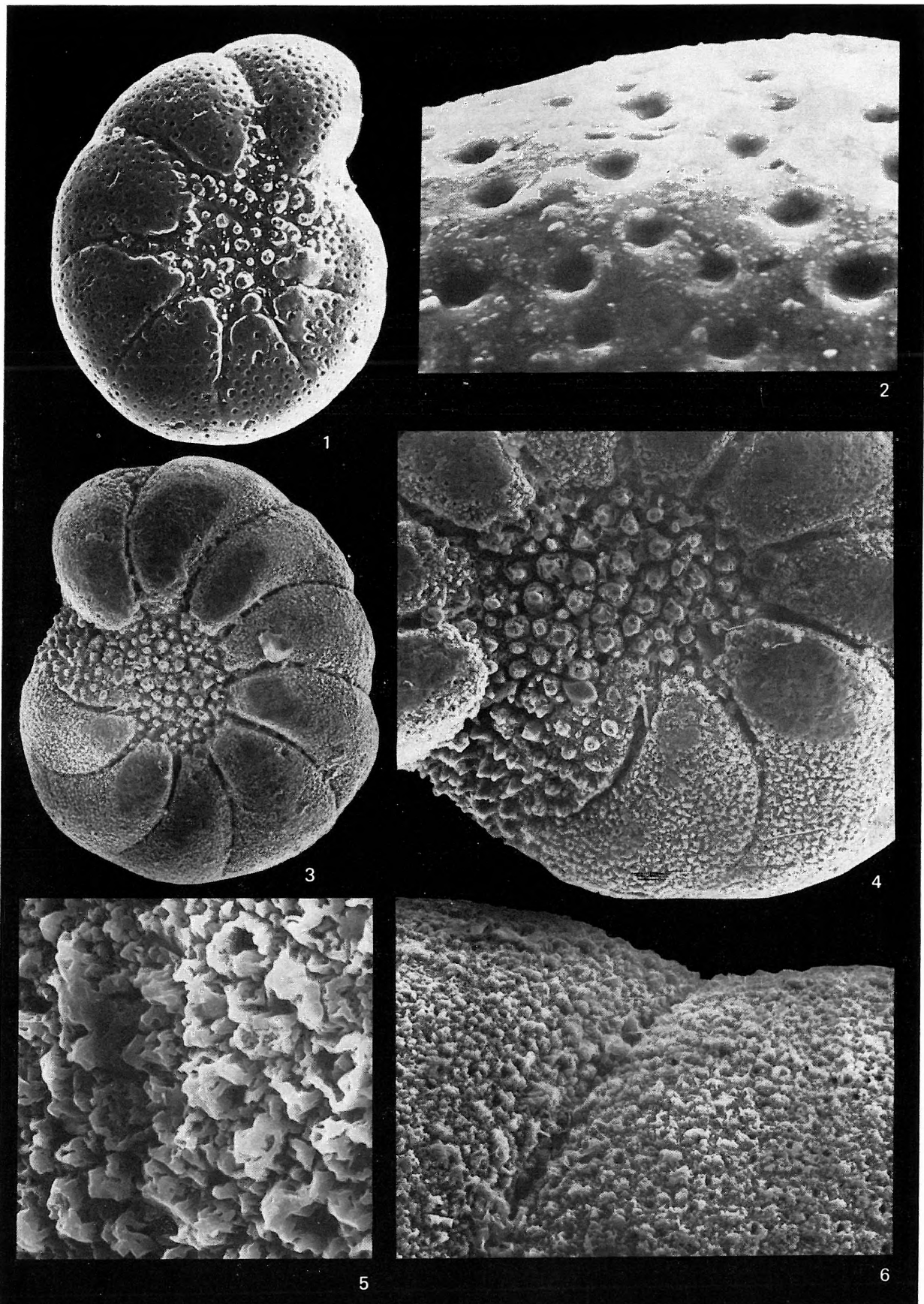


Plate II — II. tábla**Ottnangian***Nonion granosum parvus* BOGDANOVICZ

1. Total view — Totálkép 160×
2. Aperture with pearl-like ornaments — A nyílás a gyöngyös díszítéssel 540×
3. Detail of the surface with pearl-like ornaments — Felületrészlet a gyöngyös díszítéssel 780×
4. Surface pores — Felületi pörusok 2400×
5. Surface pores — Felületi pörusok 6000×

1—5: Borehole Sajószentpéter 120, 74.00—75.00 m

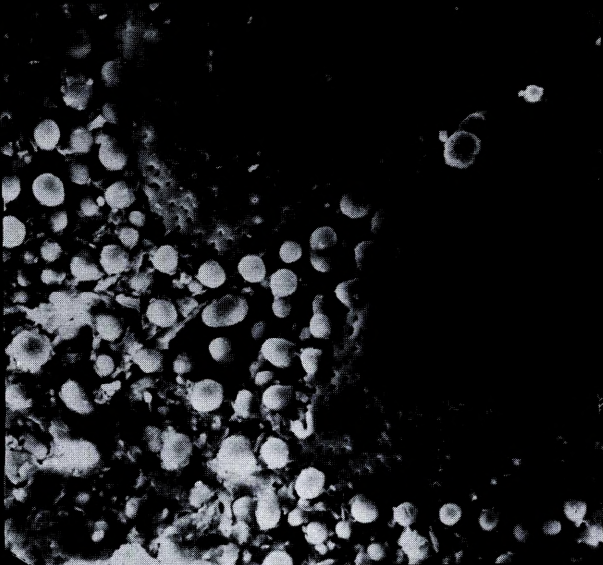
SEMs



1



2



3



4



5

Plate III — III. tábla

Ottangian

Nonion tuberculatum (D'ORBIGNY)

1. Total view — Totálkép 100×
 2. Aperture on the base of the last chamber — Az utolsó kamra bázisán elhelyezkedő nyílás 200×
 3. The umbilical side with the ornamentation of the sutures — A köldökrész és a kamraválaszszalak díszítése 200×
 4. Ornamentation of the suture and the surface perforation — A kamraválaszszal díszítése és a felületi perforáció 1000×
 5. Surface pores — Felületi pörusok 6000×
- 1—5: Borehole Diósgyőr 366, 365.00 m

SEM-s

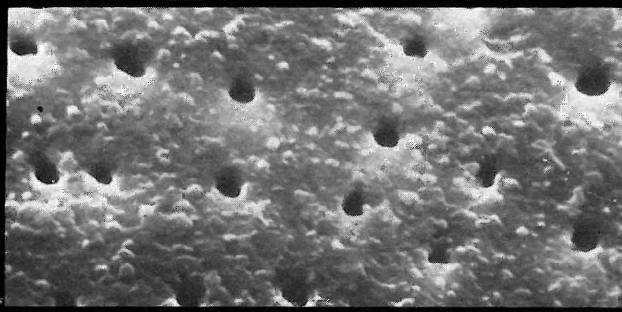
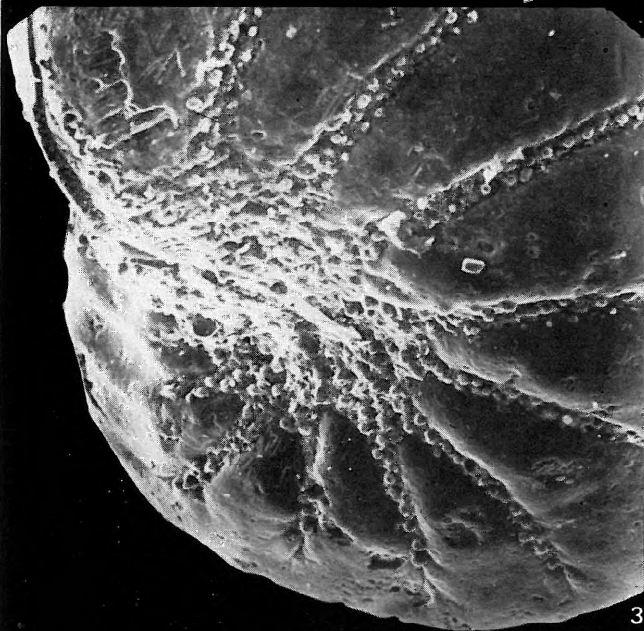


Plate IV — IV. tábla

Ottangian

Elphidium minutum (REUSS)

1. Total view — Totálkép 200×
2. Lateral view with the aperture — Oldalnézet a nyílással 200×
3. Umbilical side with the pearl-like ornamentation — Köldöki rész a gyöngyös díszítéssel 600×

1—3: Borehole Diósgyőr 366, 188.50 m

Elphidium minimum SEGUENZA

4. Total view — Totálkép 200×
5. Umbilical side with pearl-like ornamentation — Gyöngyökkel díszített köldöki rész 480×
6. Ornamentation of the sutures — Varratvonalak díszítése 720×

4—6: Borehole Diósgyőr 366, 276.00—279.00 m

SEMs

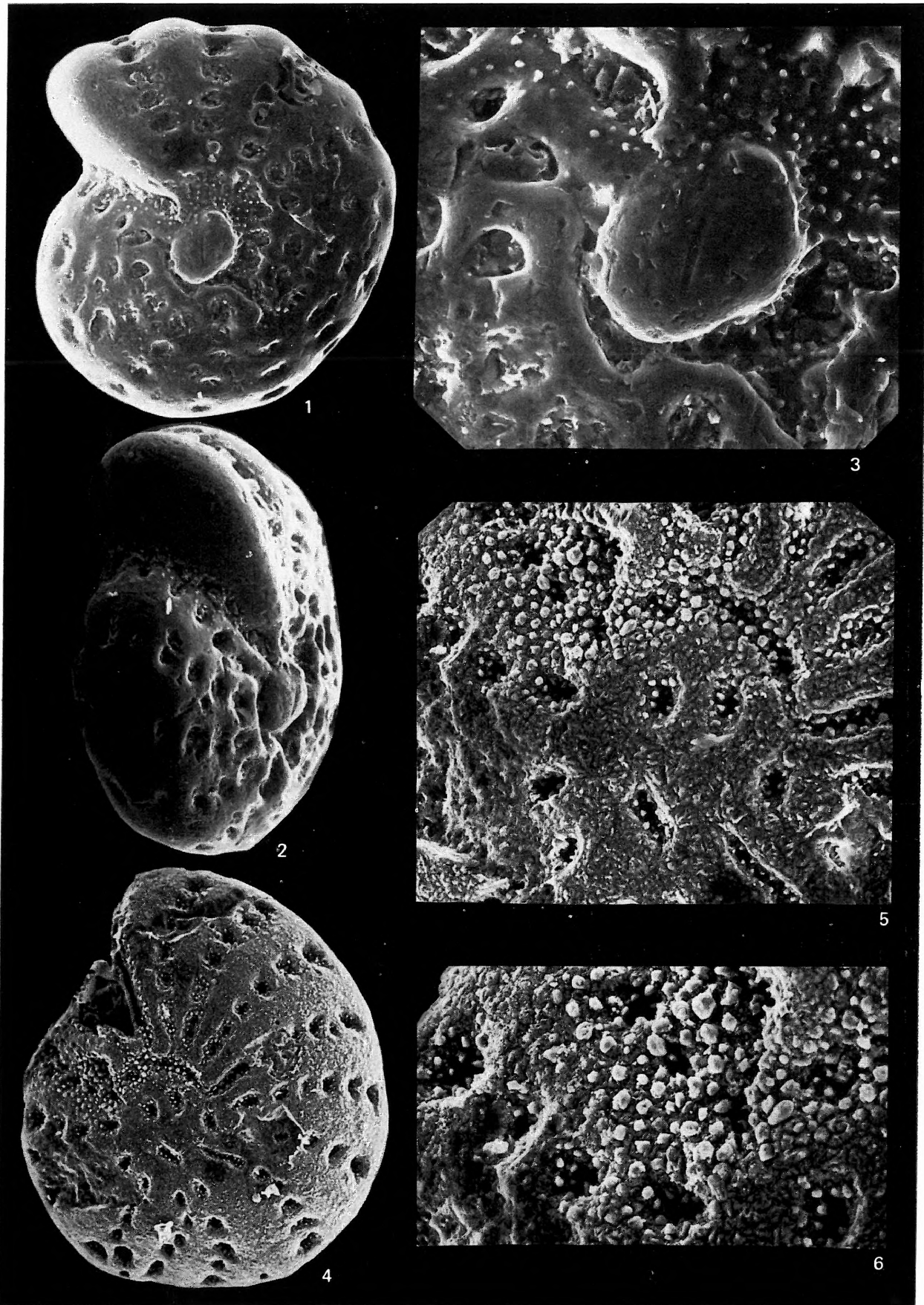


Plate V — V. tábla

Ottnangian

Rotalia simplex D'ORBIGNY

1. Total view (dorsal side) — Totálkép (tekercsoldal) 200×
2. Detail of the surface with the pores — Felületrészlet a pórusokkal 440×
3. Detail of the umbilical side — Részlet a köldökoldalról 400×
4. The umbo — A köldök 1000×
5. Surface pores — Felületi pórusok 1000×

1—5: Borehole Diósgyőr 366, 223.50 m

SEMs

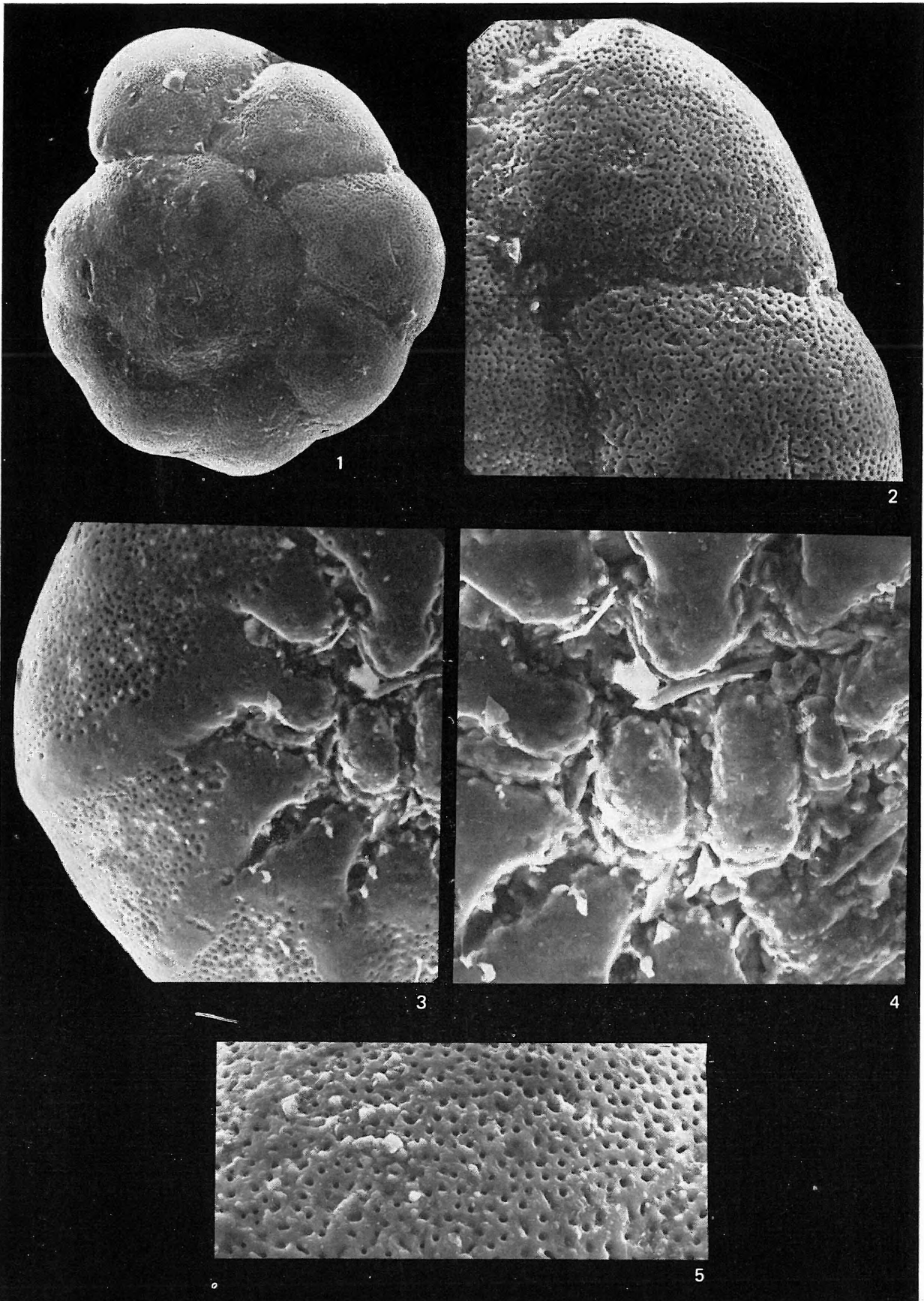


Plate VI — VI. tábla

Ottnangian

Reussella spinulosa (REUSS)

1—3. Total view — Totálkép 120×

4. The youngest chambers of the specimen No. 1 — Az 1. példány legfiatalabb kamrái 400×
5. The youngest chambers of the specimen No. 2 — A 2. példány legfiatalabb kamrái 300×
6. The aperture with the periphery (specimen No. 3) — A peremmel ellátott nyílás (3. példány) 200×
7. Lateral view of the chambers — A kamrák oldalnézetből 400×

1—7: Borehole Diósgyőr 366, 198.00 m

SEMs

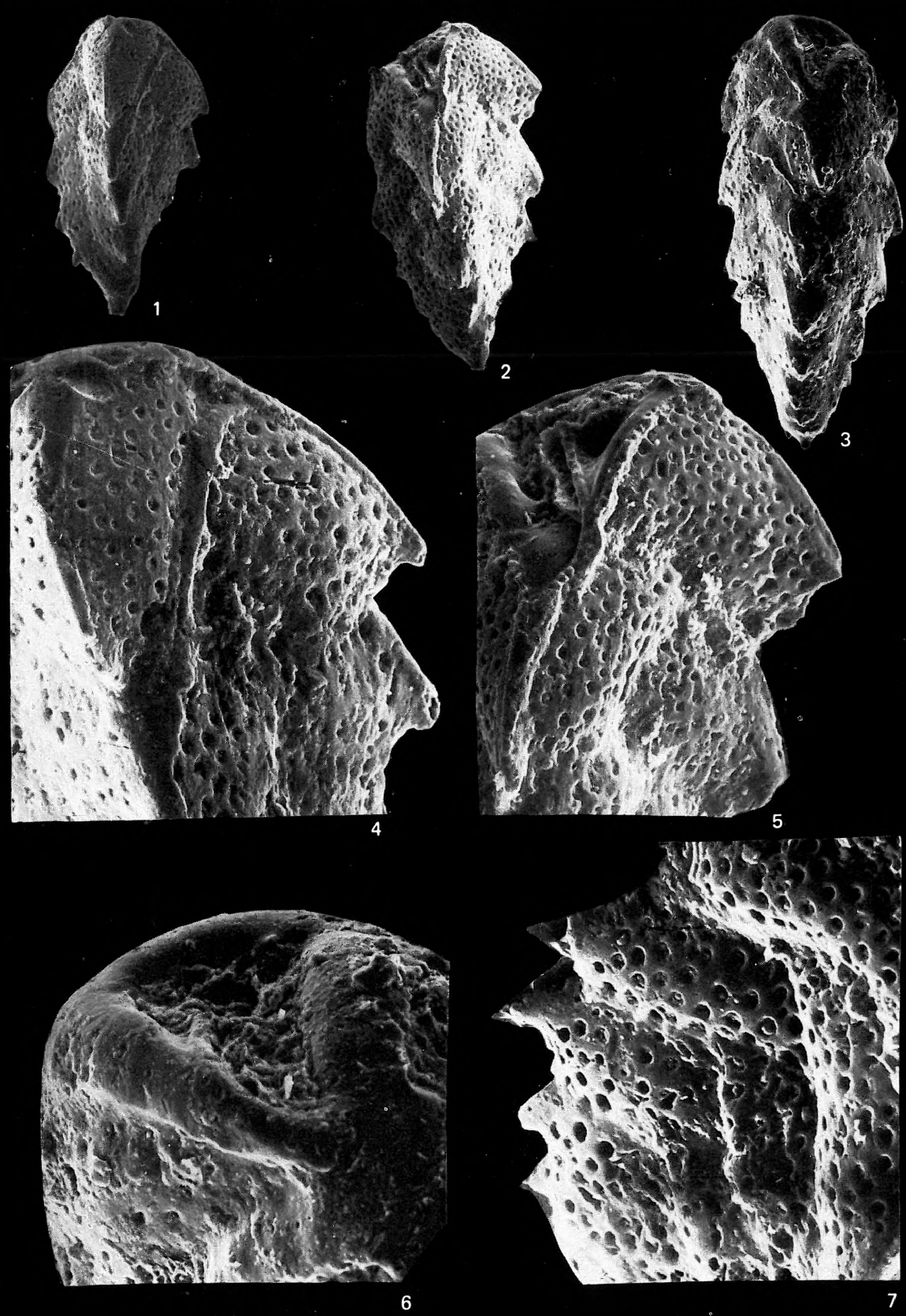


Plate VII — VII. tábla

Ottnangian

Bolivina scitula HOFMANN

1. Total view — Totálkép 120×
2. The aperture on the last chamber — Az utolsó kamrán elhelyezkedő nyílás 200×
3. Lateral view with the aperture — Oldalnézet a nyílással 200×
4. Detail of the surface with the pores — Felületrészlet a pórusokkal 200×

1—4: Borehole Diósgyőr 366, 125.00 m

Bulimina buchiana D'ORBIGNY

5. Total view — Totálkép 200×
6. The pores of the surface — A felület pórusai 1000×
7. Detail of the surface with the pores — Felületrészlet a pórusokkal 300×

5—7: Borehole Ormosbánya 322, 143.30 m

SEMs

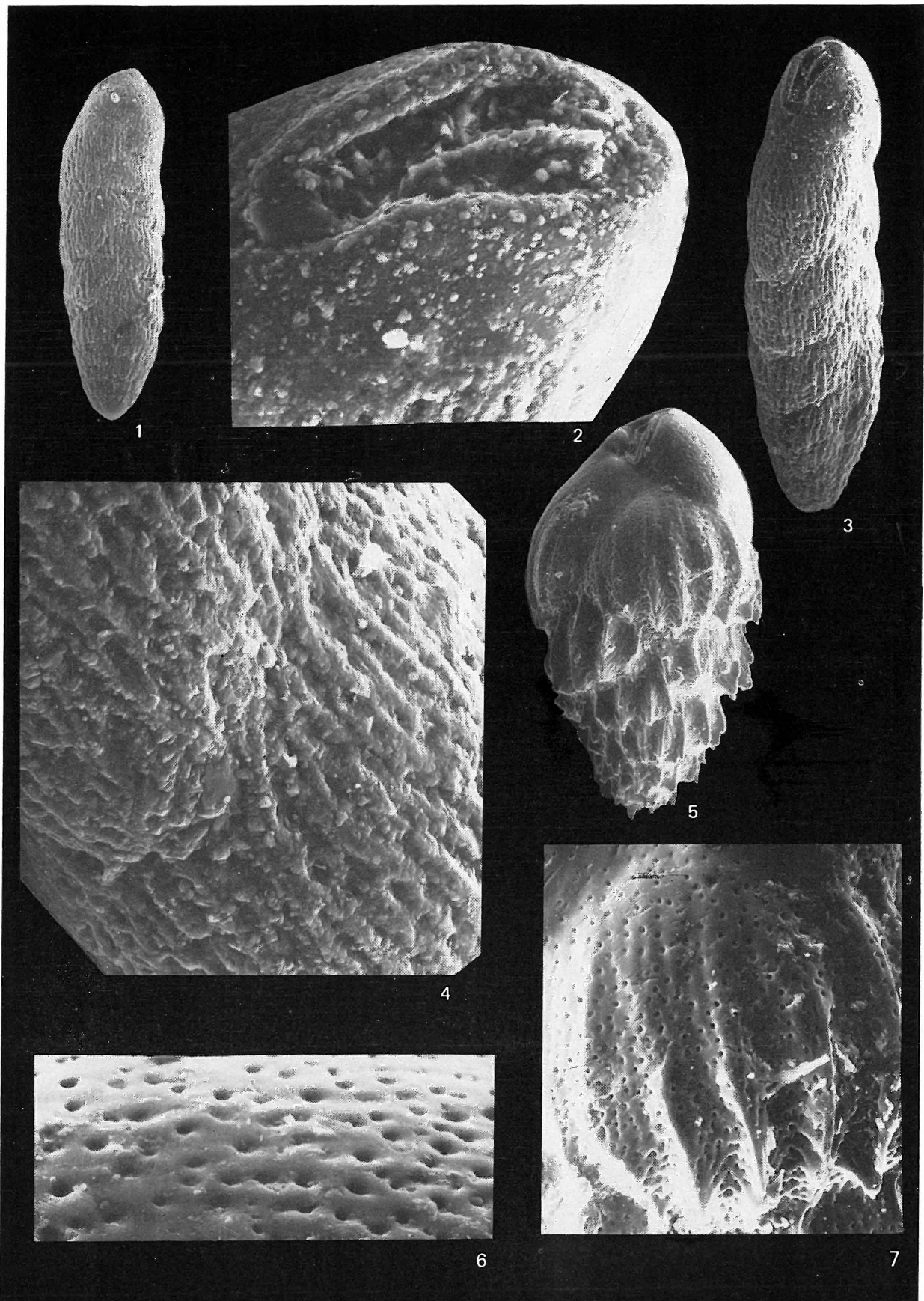


Plate VIII — VIII. tábla

Ottnangian

Globigerina praebulloides BLOW

1. Total view — Totálkép 200×
2. Detail of the surface — Felületrészlet 1000×
- 3—4. 100×
- 1—4: Borehole Sajószentpéter 120, 84.00—86.00 m

Globigerina ciperoensis ottnangensis RÖGL

- 5—6. 100×
- 5—6: Borehole Sajószentpéter 126, 231.50 m

Bulimina elongata d'ORBIGNY

7. Total view — Totálkép 200×
8. Total view (another specimen) — Totálkép (másik példány) 240×
- 7—8: Borehole Sajószentpéter 126, 209.30 m

SEMs

